

ALMA MATER STUDIORUM
UNIVERSITÀ DEGLI STUDI DI BOLOGNA

FACOLTÀ DI AGRARIA
DIPARTIMENTO DI COLTURE ARBOREE

DOTTORATO DI RICERCA (XXI CICLO)

IN COLTURE ARBOREE ED AGROSISTEMI FORESTALI,
ORNAMENTALI E PAESAGGISTICI

SETTORE SCIENTIFICO DISCIPLINARE:
AGR/03 ARBORICOLTURA GENERALE E COLTIVAZIONI ARBOREE

STUDIO MOLECOLARE DEI MECCANISMI
DELL'AUTOINCOMPATIBILITÀ GAMETOFITICA
IN PERO EUROPEO (*Pyrus communis*)

DISSERTAZIONE PRESENTATA DAL DOTT. PAOLO DE FRANCESCHI

Tutore:

Chiar.mo Prof.

SILVIERO SANSAVINI

Coordinatore:

Chiar.mo Prof.

LUCA CORELLI GRAPPADELLI

Cotutore:

Dr. LUCA DONDINI

Indice

Abstract	1
1 Introduzione	9
1.1 Inquadramento sistematico	9
1.2 Il miglioramento genetico del pero	10
1.3 L'autoincompatibilità	11
1.4 Le S-RNasi	15
1.4.1 Identificazione dei geni delle S-RNasi in pero europeo	16
1.5 I determinanti pollinici: S-Locus F-Box	17
1.5.1 Identificazione dei geni S-Locus F-Box nelle Pyrinae	20
1.6 Meccanismo d'azione	22
1.6.1 Modelli classici	22
1.6.2 Modelli recenti	23
1.7 Fattori esterni al locus S	28
1.7.1 La transglutaminasi	30
1.8 Superamento dell'autoincompatibilità	33
1.9 Aspetti evolutivi legati al locus S	35
2 Scopi della tesi	41
2.1 Caratterizzazione dei geni S-locus F-Box	42
2.2 Ricerca di fattori esterni al locus S	43
2.2.1 Sequenziamento del gene della transglutaminasi	44
3 Materiali e metodi	45
3.1 Materiale vegetale	45
3.2 Estrazione di DNA	46
3.2.1 Estrazione da embrioni	47
3.2.2 Quantificazione e diluizione	47

3.3	PCR	48
3.3.1	Realizzazione dei primer	49
3.3.2	Elettroforesi su gel d'agarosio	49
3.3.3	Elettroforesi su gel di poliacrilamide	50
3.3.4	Genotipizzazione al locus S	52
3.3.5	Marcatori CAPS	53
3.4	Clonaggio	54
3.4.1	Terreni di coltura	54
3.4.2	Cellule competenti	55
3.4.3	Amplificazione con DNA polimerasi High-Fidelity	56
3.4.4	Ligasi	57
3.4.5	Trasformazione	57
3.4.6	Estrazione di plasmidi	59
3.5	Impollinazioni e campionamento degli stili	59
3.6	Estrazione di RNA da stili	60
3.6.1	Trattamento dei materiali e dei reagenti	61
3.6.2	Protocollo d'estrazione	61
3.6.3	Trattamento con DNasi	62
3.6.4	Quantificazione	63
3.7	Retrotrascrizione	63
3.7.1	Sintesi del primo filamento di cDNA	63
3.7.2	Sintesi del secondo filamento di cDNA	63
3.8	cDNA-AFLP	65
3.8.1	Formazione dei campioni di cDNA	65
3.8.2	Restrizione	65
3.8.3	Ligasi	66
3.8.4	Preamplificazione	66
3.8.5	Amplificazione	67
3.8.6	Clonaggio dei TDF (Transcript-Derived Fragment)	68
3.9	RACE (Rapid Amplification of cDNA Ends)	70
3.10	Strumenti bioinformatici	71
4	Risultati e discussione	73
4.1	Ricerca e caratterizzazione di geni S-locus F-box	73
4.1.1	Analisi dell'omologia di sequenza: S-RNasi e SFBB	73
4.1.2	Geni F-box del gruppo P α	77
4.1.3	Geni F-box del gruppo P β	79

4.1.4	Geni F-box del gruppo Pp γ	82
4.1.5	Geni F-box del gruppo MdS9	84
4.1.6	Geni F-box del gruppo MdS3	86
4.1.7	Mappaggio dei geni identificati	88
4.1.8	Considerazioni sulla struttura del locus S nelle Pyrinae	92
4.2	Geni differenzialmente espressi in incroci compatibili/incompatibili	95
4.2.1	Analisi delle sequenze	98
4.2.2	Osservazioni sulla natura dei frammenti genici	101
4.3	Sequenziamento del gene della transglutaminasi	105
5	Conclusioni	111
A	Sequenze	113
B	Allineamenti	211
Bibliografia		241

Abstract

Molecular analysis of the gametophytic self-incompatibility mechanisms in European pear (*Pyrus communis*)

Self-incompatibility (SI) systems have evolved in many flowering plants to prevent self-fertilization and thus promote outbreeding. Pear and apple, as many of the species belonging to the Rosaceae, exhibit RNase-mediated gametophytic self-incompatibility, a widespread system carried also by the Solanaceae and Plantaginaceae. Pear orchards must for this reason contain at least two different cultivars that pollinate each other; to guarantee an efficient cross-pollination, they should have overlapping flowering periods and must be genetically compatible.

This compatibility is determined by the S-locus, containing at least two genes encoding for a female (pistil) and a male (pollen) determinant. The interaction between the two determinants occurs in the transmitting tissue of the style, and results in the selective inhibition of the growth of incompatible pollen tubes. Since this is a gametophytic self-incompatibility (GSI) system, the rejection occurs when the haploid genome of the male gametophyte (the pollen grain) carries a S-haplotype identical to one of the two possessed by the diploid pistil; cultivars possessing two common S-haplotypes are thus fully incompatible, since they cannot fertilize each other.

The female determinant in the Rosaceae, Solanaceae and Plantaginaceae system is a stylar glycoprotein with ribonuclease activity (S-RNase), that acts as a specific cytotoxin in incompatible pollen tubes degrading cellular RNAs. Since its identification, the S-RNase gene has been intensively studied and a large number of alleles has been characterized; now the sequence of the alleles carried by the most important cultivars of apple, pear and other cultivated species are available in online databases, and efficient S-genotyping molecular assays have been developed on this gene.

On the contrary, the male determinant has been only recently identified as a pollen-expressed protein containing a F-box motif, called S-Locus F-box (abbreviated SLF or SFB). Since F-box proteins are best known for their participation to the SCF (Skp1 - Cullin - F-box) E3 ubiquitine ligase enzymatic complex, that is involved in protein degradation through the 26S proteasome pathway, the male determinant is supposed to act mediating the ubiquitination of the S-RNases, targeting them for the degradation. Several models have been proposed to explain how this interaction takes

ABSTRACT

place; S-RNase degradation in compatible pollen tubes would result in the possibility to grow through the style and reach the ovary, where successful fertilization would take place; in incompatible pollen tubes, on the contrary, the specific interaction between the male and female determinants would not result in S-RNase ubiquitination, leaving them intact and allowing them to exert their cytotoxic activity.

SLF/SFB genes have been identified in many species of the three families carrying RNase-mediated GSI; transformation experiments and mutant analyses have demonstrated their role as male determinants of self-incompatibility in the Solanaceae, Plantaginaceae and, among the Rosaceae, in the genus *Prunus*. In the Pyrinae (formerly Maloideae) the situation is less clear: attempts to clone homologue genes produced no results until very recently, and available sequence informations are still very poor.

Important informations came from the use of a genomic library from the apple cultivar ‘Florina’ by Sassa *et al.* 2007; the sequencing of a 317 kb region surrounding the apple S₉-RNase led to the identification of two F-box genes, named MdSFBB^{9-α} and MdSFBB^{9-β} (MdSFBB standing for *Malus × domestica* S-locus F-Box Brothers); two homologue genes (MdSFBB^{3-α} and MdSFBB^{3-β}) were found in the same library in clones containing the S₃-RNase. In Japanese pear, three F-box genes linked to each of the S₄ and S₅ haplotypes were cloned from pollen cDNA, and named PpSFBB^{4/5-α}, PpSFBB^{4/5-β} and PpSFBB^{4/5-γ} (*Pyrus pyrifolia* SFBB).

The SFBB genes exhibit S haplotype-specific sequence divergence and pollen-specific expression; their multiplicity is a feature whose interpretation is unclear: it has been hypothesized that all of them participate in the S-specific interaction with the RNase, but it is also possible that only one of them is involved in this function.

Even if the S locus male and female determinants are the only responsible for the specificity of the pollen-pistil recognition, many other factors are supposed to play a role in GSI; these are not linked to the S locus and act in a S-haplotype independent manner. They can have a function in regulating the expression of S determinants (group 1 factors), modulating their activity (group 2) or acting downstream, in the accomplishment of the reaction of acceptance or rejection of the pollen tube (group 3).

The aim of this study was to contribute to elucidating the molecular mechanism of GSI in European pear (*Pyrus communis*) as well as in the other Pyrinae; it was divided in two parts, the first focusing on the characterization of male determinants, and the second on factors external to the S locus.

The research of S locus F-box genes was primarily aimed to the identification of such genes in European pear, for which sequence data are still not available; moreover, it allowed also to investigate about the S locus structure in the Pyrinae.

The recent discovery of SFBB genes led to a question around how the S locus is conserved among the different species; on one side, the presence of S-RNase alleles of almost identical sequence between the different species suggests that the current S haplotypes might derive from a very ancient common ancestor, and might have been maintained almost unaltered during the evolutionary story of the Pyrinae despite the species divergence; this has been possible due to the peculiar features of the S locus, in which recombination is very low and the loss of an haplotype is genetically strongly unfavoured, for a phenomenon called trans-specific evolution. On the other hand the evidence of the presence of very different F-box genes, for number and features, between apple and Japanese pear seems to suggest that the S locus has evolved in different structures in the two species.

To investigate this aspect, the analysis was carried out on a pool of varieties of the three species *Pyrus communis* (European pear), *Pyrus pyrifolia* (Japanese pear), and *Malus × domestica* (apple); varieties carrying S haplotypes whose RNases are highly similar were chosen, in order to check whether or not the same level of similarity is maintained also between the male determinants.

Primers were realized on each of the sequences of the SFBB genes, for the amplification of homologue genes in the three species; a total of 82 sequences was obtained, 47 of which represent the first S-locus F-box genes sequenced from European pear. The results show that all the SFBB genes that were thought to be specific for apple or Japanese pear, actually have homologs in all the three species, pointing out that the number of F-box genes linked to each S haplotype is indeed greater than thought; moreover, in some cases F-box genes with very similar sequences were obtained from genotypes carrying highly conserved RNase alleles.

These data strongly support the hypothesis that the S locus structure is conserved among the three species, and presumably among all the Pyrinae; at least five genes have homologs in the analysed S haplotypes, but the number of F-box genes surrounding the S-RNase could be even greater. The high level of sequence divergence and the similarity between alleles linked to highly conserved RNases, suggest a shared ancestral polymorphism also for the F-box genes; as expected for genes that are inherited together as an unique segregating unit, the phenomenon of trans-specific evolution produced the same effect on F-box genes and S-RNases, leading to higher level of homology between pairs of alleles of different species than within the

ABSTRACT

same species.

The F-box genes identified in European pear were mapped on a segregating population of 91 individuals from the cross ‘Abbé Fétel’ × ‘Max Red Bartlett’, for which a genetic linkage map was previously developed. All the genes were placed on the linkage group 17, where the S locus has been placed both in pear and apple maps, and resulted strongly associated to the S-RNase gene. The linkage with the RNase was perfect for some of the F-box genes, while for others, the PpSFBB α and PpSFBB γ homologs, very rare single recombination events were identified.

This demonstrates that PpSFBB α and PpSFBB γ homologs, despite a strong association with the S-RNase, cannot be considered as belonging to the S locus. Their role as the male determinants of self-incompatibility can thus be excluded. On the contrary, other F-box genes identified in this study exhibit all the genetic features expected for the pollen S, as the high level of divergence, the perfect linkage to the S locus, and the shared ancestral polymorphism; they can be thus considered as the best candidates for the role of male determinant of self-incompatibility in the Pyrinae.

The second part of this study was focused on the research of other genes involved in the SI response in pear; it was aimed on one side to the identification of genes differentially expressed in compatible and incompatible crosses, and on the other to the cloning and characterization of the transglutaminase (TGase) gene, whose role may be crucial in pollen rejection.

Some examples of factors requested for the SI response, but not linked to the S locus, have been described in the Solanaceae (*HT-B, 120K, 4936-factor*), but no homologue genes were identified in the Rosaceae. These factors were identified in self-compatible mutants; a mutation of one of these genes results in the breakdown of self-incompatibility, even though functional S haplotypes are carried by the S locus. However, such kind of mutants were never identified in the Pyrinae. Our study focused on the research of genic factors involved in SI response downstream the recognition of male and female determinants, involved in the execution of the triggered acceptance of rejection reaction.

For the identification of differentially expressed genes, controlled pollinations were carried out on the cultivar ‘Abbé Fétel’ using “self” pollen, incompatible pollen from the cultivar ‘Doyenne du Comice’, half-compatible pollen from ‘Cascade’ and fully compatible pollen from ‘Conference’; styles were collected at different times after pollination and expression profiles were compared through cDNA-AFLP.

28 fragments displaying an expression pattern related to compatibility or incompatibility were identified, cloned and sequenced; the sequence analysis allowed to assign a putative annotation to a part of them.

Among the identified genes, several were involved in the synthesis of cell wall components, suggesting a crucial role of this structure in the accomplishment of the pollen acceptance or rejection reaction; the other identified genes are involved in very different cellular processes or in defense mechanisms, suggesting a very complex change in gene expression following the pollen/pistil recognition.

The pool of genes identified with this technique offers a good basis for further study toward a better understanding of how the SI response is carried out.

Among the factors involved in SI response, an important role may be played by transglutaminase (TGase), an enzyme that catalyzes the covalent conjugation of polyamines or other amine donors (such as lysyl residues) to γ -carboxamide groups of protein glutamine residues. It is thus involved both in post-translational protein modification and in protein cross-linking, generating covalent bonds between lysine and glutamine, or binding the same poliamine to two glutamines from different proteins.

TGase activity was detected in pollen tubes, where the cytoskeletal proteins actin and α -tubulin were identified among the substrates processed by this enzyme. An abnormal cytoskeletal reorganization was observed in self-incompatible pollen tubes during the rejection reaction, resulting in the formation of high molecular mass aggregates of actin and tubulin; these aggregates may be formed through a series of protein cross-linking catalyzed by TGase. In fact, the TGase activity detected in pear styles was significantly higher when pollinated in incompatible combinations, than in compatible ones.

In spite of the possibly important role played by this enzyme in SI, sequence informations were still not available for the TGase gene in pear and the other Rosaceae; the aim of this part of the work was thus to identify and clone the pear TGase gene.

The first plant TGase was identified in *Arabidopsis thaliana*; this sequence was aligned to some apple ESTs and primers were realized for the amplification of the homologue gene in pear. Different fragments of the gene were amplified and cloned from both genomic DNA and cDNA from incompatible pollinated styles, leading to the assembly of the full-length coding sequence of the gene. The deduced protein sequence counts 725 aminoacids and shows a good homology with the *Arabidopsis* one, particularly in the active site where the three catalytic residues Cys-His-Asp,

ABSTRACT

typical of all TGases, were clearly identified.

The full-length coding sequence was cloned from cDNA, and provided a precious tool for the future production of the recombinant protein and further study of the *in vitro* and *in vivo* action of this enzyme.

Capitolo 1

Introduzione

1.1 Inquadramento sistematico

La famiglia delle Rosaceae comprende più di 90 generi e 3000 specie fra piante arboree, erbacee ed arbustive. Fra queste, oltre a specie coltivate a scopo ornamentale (come la rosa o il biancospino), si trovano molte delle più importanti specie da frutto, come melo, pero, cotogno, sorbo, nespolo, pesco, mandorlo, albicocco, susino, ciliegio, fragola, rovo e lampone.

Il pero europeo (*Pyrus communis*), così come il melo (*Malus × domestica*) e il pero giapponese (*Pyrus pyrifolia*), appartiene secondo la classificazione tradizionale alle Maloideae, una delle tre sottofamiglie delle Rosaceae insieme alle Rosoideae e alle Amygdaloideae (comprendenti il genere *Prunus*). Recentemente è però stata proposta una nuova classificazione, dedotta dallo studio di regioni genomiche nucleari e organellari, che suddivide la famiglia Rosaceae nelle sottofamiglie Rosoideae, Dryadoideae e Spiraeoideae; a quest'ultima apparterrebbero sia il genere *Prunus* (tribù Amygdaleae) che le specie precedentemente inserite fra le Maloideae (corrispondenti alla sottotribù Pyrinae della tribù Pyreae) [1, 2].

Le Pyrinae costituiscono un gruppo estremamente vasto, comprendendo circa 1000 specie (un terzo di tutte le Rosaceae) suddivise in 30 generi. Caratteristica comune e distintiva per queste specie è il numero cromosomico di base pari a 17; poichè nelle altre specie delle Rosaceae è compreso fra 7 e 9, è probabile che le Pyrinae siano di origine allopolidiploide. Già negli anni '30 [3] è stato ipotizzato che il numero cromosomico di base $x = 17$ sia stato generato da un'ibridazione spontanea fra una specie ancestrale con $x = 9$ ed una con $x = 8$, seguita da raddoppiamento cromosomico e diploidizzazione secondaria; secondo studi recenti sembra invece più probabile che l'ibridazione sia avvenuta fra due specie con $x = 9$ e che sia stata poi

INTRODUZIONE

seguita da una riduzione aneuploide [4].

Oltre ad aver svolto un ruolo importante nella storia evolutiva di queste specie, l'ibridazione è un fenomeno molto diffuso fra le Pyrinae; alcuni ibridi, sia interspecifici che intergenerici, sono molto fertili e si ritrovano spontaneamente in natura, oppure vengono realizzati appositamente dall'uomo nei programmi di miglioramento genetico, allo scopo di introdurre caratteri agronomicamente utili da specie selvatiche a specie coltivate.

1.2 Il miglioramento genetico del pero

La coltivazione del pero, sia europeo che giapponese, ha subito un forte aumento negli ultimi anni; secondo le stime fornite dalla FAO (Food and Agriculture Organization of the United Nations) la produzione di pere nell'anno 2007 ha superato i 20 milioni di tonnellate¹. Il maggior produttore mondiale è la Cina, che negli ultimi anni ha costantemente incrementato la produzione fino a superare i 12 milioni di tonnellate; l'Italia si colloca al secondo posto (il primo considerando il solo pero europeo) con più di 800.000 tonnellate; di queste, circa il 70% viene prodotto in Emilia Romagna.

Nonostante questa elevata e costante produzione, è stata osservata una forte contrazione del numero di varietà di pero utilizzate in agricoltura: nell'ultimo secolo si è passati da un centinaio ad appena una trentina, e l'80% del totale della produzione europea è concentrato su sole otto varietà: Conference, William e relativi mutanti rossi (fra cui Max Red Bartlett), Abate Fétel, Blanquilla/Spadona, Decana del Comizio, Coscia/Ercolini, Dr J. Guyot e Kaiser. Diversamente da quanto avviene per altre specie da frutto, la grande maggioranza delle varietà di pero attualmente coltivate è di origine piuttosto antica, costituita da genotipi ottenuti per lo più nel corso dei secoli XVII e XVIII e propagati per innesto. Si tratta nella quasi totalità dei casi di varietà diploidi ($2n = 2x = 34$), anche se esistono genotipi triploidi ($2n = 3x = 51$) o tetraploidi ($2n = 4x = 68$).

In Europa sono operativi almeno una quindicina di programmi di miglioramento genetico per questa specie; i principali obiettivi perseguiti sono i seguenti [5]:

- ampliamento del calendario di maturazione: molte delle varietà tradizionali maggiormente diffuse, come William, Conference, Abate Fétel, Decana del Comizio e Kaiser, occupano i due mesi principali della raccolta (agosto e settembre), mentre nel periodo precoce (da metà giugno a tutto luglio) e tardivo

¹<http://faostat.fao.org/>

1.3 L'autoincompatibilità

(dalla seconda metà di settembre a tutto ottobre) ci sono spazi copribili da nuove varietà;

- resistenza ad insetti (*Cacopsilla pyri*) e patogeni batterici (*Erwinia amylovora*, responsabile del “fire blight”) e fungini (*Venturia pyrina*, responsabile della ticchiolatura del pero);
- habitus compatto dell’albero;
- adattabilità ambientale, in particolare per quanto riguarda la resistenza alle basse temperature invernali ed al caldo estivo;
- vari aspetti della qualità del frutto, come forma, colore della buccia, polpa e qualità organolettiche;
- ottenimento di nuove tipologie di frutto, come ibridi fra pero europeo e pero giapponese, pere ad epidermide rossa o pere a polpa particolarmente soda e compatta, adatta alla trasformazione;
- superamento dell’autoincompatibilità gametofitica ed ottenimento di cultivar autoferti.

Il fenomeno dell’autoincompatibilità presente nella quasi totalità delle cultivar di pero europeo, come anche di pero giapponese e di melo, fa sì che il polline prodotto da un fiore non possa fecondare i fiori della stessa pianta o di piante della stessa varietà. Nel frutteto è quindi necessario associare due varietà diverse per consentire la reciproca impollinazione; le due varietà devono avere periodi di fioritura sovrapponibili ed essere compatibili fra loro.

Nel pero è comunque presente anche il fenomeno della partenocarpia, cioè la possibilità di sviluppare frutti in assenza di fecondazione; i frutti che ne derivano sono caratterizzati dall’assenza di semi. La tendenza alla partenocarpia varia a seconda del genotipo e può essere stimolata mediante l’uso di fitoregolatori, che quindi assumono una notevole importanza nella regolazione della fruttificazione e dello sviluppo vegetativo dell’albero, riducendo anche il fenomeno dell’alternanza di produzione [7].

1.3 L’autoincompatibilità

Le Rosaceae, come molte angiosperme, producono fiori ermafroditi in cui gli organi riproduttivi femminili (pistilli) e maschili (antere) si trovano in stretta prossimità;

INTRODUZIONE

questo produce una forte tendenza all’auto-impollinazione, e di conseguenza all’autogamia. Molte specie hanno evoluto specifici meccanismi di autoincompatibilità (SI, *Self-Incompatibility*) che prevengono questo fenomeno, promuovendo l’allogamia. La reazione di autoincompatibilità comporta un processo di riconoscimento fra polline e pistillo che innesca una risposta tale da impedire al polline “self”, proveniente dalla stessa pianta, di giungere a fecondare l’ovocellula.

Esistono diversi meccanismi di autoincompatibilità, evolutisi in maniera indipendente nelle diverse famiglie di angiosperme; caratteristica comune a tutti i meccanismi finora caratterizzati è il controllo genetico della specificità del riconoscimento fra polline e pistillo dovuto un singolo locus multiallelico, il locus S. Questo locus contiene almeno due geni: un determinante femminile (espresso nel pistillo) ed uno maschile (espresso nel polline), in stretta associazione fra loro e trasmessi alla progenie come un’unica entità nella segregazione, detta allele S o, più correttamente, aplotipo S. Il riconoscimento del polline “self” o “non-self” avviene grazie all’interazione fra i prodotti proteici di questi due geni, e la risposta di incompatibilità è innescata quando i due determinanti provengono dallo stesso aplotipo S [8].

I meccanismi di autoincompatibilità possono essere di tipo gametofitico (GSI, *Gametophytic Self-Incompatibility*) o sporofitico (SSI, *Sporophytic Self-Incompatibility*). Nel primo caso il riconoscimento del granulo pollinico è determinato dal genoma aploide del granulo stesso (il gametofito), mentre nel secondo dipende dal genoma diploide della pianta da cui il polline proviene (sporofito). Entrambi i sistemi risultano nell’impossibilità per un fiore di essere fecondato da polline della stessa pianta, mentre il comportamento è significativamente diverso nell’incrocio fra individui diversi (vedi figura 1.1). Nel caso della SSI infatti il polline prodotto da un individuo viene interamente rigettato da tutte le piante che possiedano uno qualsiasi o entrambi gli alleli S posseduti dall’individuo stesso (a meno che uno dei due alleli non sia dominante sull’altro e ne inibisca l’espressione); qualora due parentali abbiano in comune anche un solo allele S, quindi, l’incrocio risulta totalmente incompatibile. Nel caso della GSI invece l’impollinazione incrociata fra due individui può portare a tre esiti diversi:

- Compatibilità totale: si ha nel caso i due parentali non abbiano in comune alcun allele S; in questo caso tutti i granuli pollinici prodotti da una pianta vengono accettati dall’altra.
- Incompatibilità totale: si ha solo quando i due parentali hanno identico genotipo S, condividono cioè entrambi gli alleli; tutti i granuli pollinici vengono rigettati e non avviene la fecondazione.

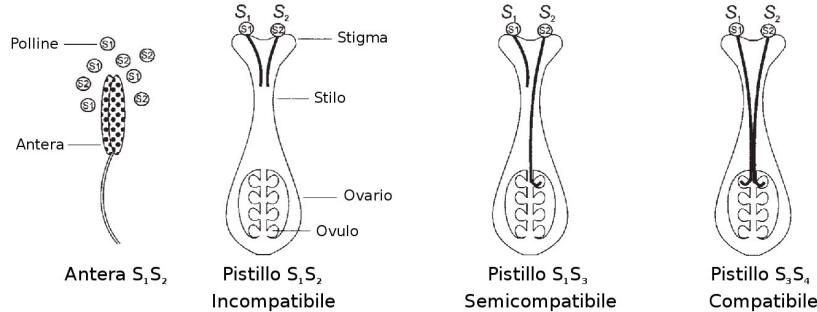
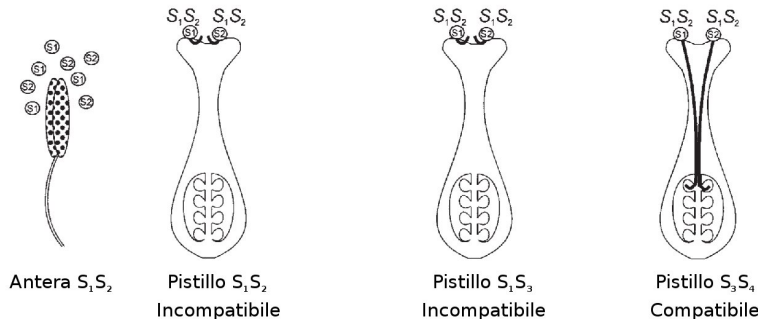
A. Autoincompatibilità gametofitica (GSI)

B. Autoincompatibilità sporofitica (SSI)


Figura 1.1: diverse combinazioni di incrocio in relazione all'autoincompatibilità. (A) nell'incompatibilità di tipo gametofitico il riconoscimento del polline, che avviene nel terzo superiore dello stilo, dipende esclusivamente dall'aplotipo S portato dal genoma aploide del granulo stesso, generando quindi tre possibili esiti nell'interazione fra due genotipi diploidi: incompatibilità, semicompatibilità e compatibilità totale. (B) nell'incompatibilità sporofitica invece il riconoscimento del polline avviene sulla papilla stigmatica, ed essendo determinato dal genotipo diploide del parentale maschile può portare solo a incompatibilità o compatibilità totale. Tratto da Silva and Goring, 2001 [6]

- **Semicompatibilità:** si ha quando i due parentali hanno in comune un allele S; i granuli pollinici contenenti l'allele comune vengono rigettati, mentre i restanti possono accrescere nel pistillo fino a fecondare l'ovocellula.

Attualmente sono stati caratterizzati a livello molecolare tre distinti sistemi di autoincompatibilità, uno di tipo sporofitico e due di tipo gametofitico; la tabella 1.1 ne fornisce un quadro riassuntivo.

L'autoincompatibilità sporofitica è presente nelle famiglie Brassicaceae, Asteraceae e Convolvulaceae, nelle quali probabilmente avviene attraverso meccanismi diversi; l'unico sistema sufficientemente caratterizzato è quello delle Brassicaceae. Il determinante femminile in questo caso è costituito da un recettore chinasio trans-

INTRODUZIONE

Famiglia	Tipo di SI	Determinante maschile	Determinante femminile
Brassicaceae	SSI	SP11/SCR	SRK
Solanaceae, Rosaceae, Plantaginaceae	GSI	SLF/SFB	S-RNasi
Papaveraceae	GSI	sconosciuto	Proteina S

Tabella 1.1: schema riassuntivo dei meccanismi di autoincompatibilità conosciuti. Tratto da Takayama and Isogai, 2005 [8]

smembrana (SRK, *S-locus Receptor Kinase*) [9], espresso soprattutto sulla papilla dello stigma; quello maschile da una piccola proteina ricca in cisteina (SCR, *S-locus Cysteine-Rich*, indicata anche come SP11, *S-locus Protein 11*) [10, 11]. Quest'ultima viene prodotta all'interno dell'antera nel tessuto diploide del tapetum, rimanendo poi sul rivestimento dei granuli pollinici maturi. Il riconoscimento avviene a livello dello stigma, dove il legame delle SP11/SCR ai recettori SRK innesca la reazione di rigetto del polline “self”, impedendone l'idratazione o arrestando la crescita del tubetto subito dopo la germinazione.

L'autoincompatibilità gametofitica ha una diffusione maggiore, essendo stata descritta in membri di almeno 8 famiglie (Solanaceae, Papaveraceae, Ranuncolaceae, Leguminosae, Onagraceae, Plantaginaceae, Rosaceae, Poaceae); a livello molecolare sono stati caratterizzati due meccanismi distinti: quello mediato da ribonucleasi (RNasi), presente nelle Rosaceae, Solanaceae e Plantaginaceae, e quello presente in *Papaver rhoeas* (Papaveraceae).

In quest'ultimo sistema il determinante femminile è una piccola proteina secreta nel tessuto stigmatico, detta proteina S [12], mentre non è ancora stato identificato il determinante maschile; la reazione di rigetto è mediata da una rapida crescita della concentrazione del calcio intracellulare ($[Ca^{2+}]_i$) all'interno del tubetto pollinico incompatibile [13]. La $[Ca^{2+}]_i$ è un secondo messaggero coinvolto in vie di trasduzione del segnale determinanti per la crescita apicale del tubetto; la sua rapida variazione indotta dal riconoscimento incompatibile innesca vari meccanismi, come la depolimerizzazione dei filamenti di actina [14], che portano alla morte del tubetto pollinico per PCD (*Programmed Cell Death*) [15].

L'autoincompatibilità gametofitica mediata da S-RNasi è il meccanismo più diffuso, essendo presente in molti generi delle Rosaceae (fra cui *Malus*, *Pyrus* e *Prunus*) e delle Solanaceae (*Lycopersicon*, *Nicotiana*, *Petunia*, *Solanum*) ed uno delle Plan-

taginaceae (*Antirrhinum*). In questo sistema il determinante femminile è costituito appunto da proteine stilari con attività ribonucleasica, mentre quello maschile è una proteina con dominio F-box detta SLF (*S-Locus F-box*) o SFB (*S-locus F-Box*).

1.4 Le S-RNasi

I determinanti femminili dell'autoincompatibilità mediata da S-RNasi nelle Solanaceae furono identificati per la prima volta in *Nicotiana alata* come glicoproteine stilari, di circa 30 kDa, associate al locus S [16, 17]; successivamente ne fu dimostrata l'attività ribonucleasica [18]. Il loro ruolo di determinanti stilari dell'incompatibilità è stato dimostrato con esperimenti di trasformazione in *Petunia* e *Nicotiana*: il silenziamento di una S-RNasi infatti produce incapacità di rigettare il polline dello stesso apotipo S, mentre la trasformazione con un nuovo allele causa l'acquisizione di nuove specificità nel rigetto stesso [19, 20].

Le S-RNasi sono espresse specificamente nel pistillo, in particolare nel terzo superiore dello stilo, dove avviene l'inibizione della crescita dei tubetti incompatibili; sono proteine glicosilate in uno o più punti, anche se la loro glicosilazione non è indispensabile per la capacità di rigetto del tubetto pollinico [21]. I diversi alleli di S-RNasi esibiscono una grande variabilità: l'identità di sequenza a livello aminoacidico all'interno della stessa specie può essere inferiore al 25% nelle Rosaceae ed al 40% nelle Solanaceae [22]; tuttavia è possibile identificare diverse regioni conservate. Nelle Solanaceae ne sono presenti 5, denominate C1 - C5, quattro delle quali (C1, C2, C3 e C5) sono presenti anche nelle Rosacee ed in *Antirrhinum*; la regione C4 delle Solanaceae è sostituita nelle Rosacee da un'altra regione conservata, denominata RC4. Oltre a queste, sono presenti regioni ipervariabili: due nelle solanaceae e in *Antirrhinum* (HV_a e HV_b) ed una nelle Rosacee (RHV, corrispondente alla HV_a), responsabili della maggior parte della variabilità fra alleli (vedi figura 1.2).

La struttura cristallina della proteina è stata determinata per la RNasi S_{F11} di *Nicotiana alata* e per la S₃ di *Pyrus pyrifolia* [24, 25]. Le due proteine hanno strutture molto simili, costituite da otto α -eliche e sette foglietti β , corrispondenti alla struttura tipica della famiglia delle RNasi T2 [26]. Le regioni ipervariabili sono esposte sulla superficie della molecola; è probabile che queste siano coinvolte nell'interazione con il determinante pollinico e, quindi, nella specificità del riconoscimento; tuttavia è stato osservato che nelle Rosacee alleli diversi di S-RNasi possono avere identiche regioni ipervariabili, suggerendo quindi che anche residui situati in altre posizioni della proteina siano responsabili della specificità dell'interazione [27].

INTRODUZIONE

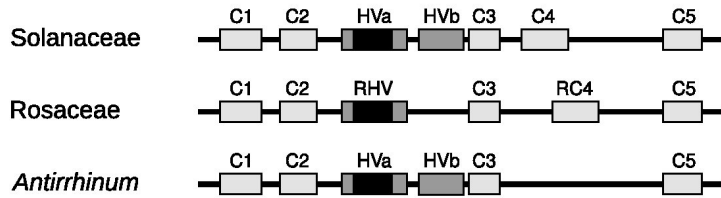


Figura 1.2: struttura dei geni delle S-RNasi nelle diverse famiglie. In grigio chiaro sono evidenziate le regioni conservate: quattro di queste sono comuni fra le tre famiglie, mentre le regioni C4 e RC4 sono specifiche, rispettivamente, delle Solanaceae e delle Rosaceae; in grigio scuro sono invece riportate le regioni ipervariabili. La sequenza codificante è interrotta da un solo introne (in nero nella figura) presente all'interno della regione HVa/RHV. Adattato da Vieira and Charlesworth, 2002 [23]

1.4.1 Identificazione dei geni delle S-RNasi in pero europeo

Le prime sequenze di S-RNasi nelle Rosaceae furono clonate in pero giapponese nel 1992 [28]; da allora molti studi sono stati finalizzati alla caratterizzazione degli alleli di questo gene ed all'ottenimento di un metodo molecolare per la genotipizzazione delle varietà al locus S, e quindi per la definizione dei gruppi di compatibilità, nelle specie coltivate autoincompatibili. A tale scopo risulta particolarmente utile l'unico introne che interrompe la sequenza codificante della S-RNasi (vedi figura 1.2), la cui dimensione, estremamente variabile, consente il più delle volte di distinguere i diversi alleli con semplici marcatori di tipo SCAR (*Sequence Characterized Amplified Regions*).

Ad oggi sono ormai state ottenute e rese disponibili in banche dati online le sequenze degli alleli di S-RNasi delle principali cultivar di molte Rosaceae, fra cui melo, pero giapponese e pero europeo. In quest'ultima specie le prime sequenze risalgono al 2002 [29]. Studi successivi hanno portato al sequenziamento di molti alleli, generando però un'ambiguità nella loro denominazione: inizialmente infatti i diversi alleli di pero europeo sono stati nominati utilizzando una lettera ($S_a, S_b, S_c\dots$) [29, 30, 31], al fine di distinguerli da quelli di pero giapponese che vengono identificati con un numero progressivo ($S_1, S_2, S_3\dots$); in alcuni altri lavori invece è stata adottata la nomenclatura basata sul numero [32, 33], che già era stata utilizzata nell'identificazione di alleli S su base fenotipica [34]. Recentemente è stato proposto un nuovo sistema di nomenclatura degli alleli S di pero europeo basato su una numerazione che, per evitare l'ambiguità con gli alleli di pero giapponese, parte dal numero 101 (vedi tabella 1.2); questa distinzione risulta utile soprattutto per i programmi di miglioramento genetico nei quali vengono incrociati fra loro genotipi appartenenti alle

1.5 I determinanti pollinici: S-Locus F-Box

due specie [35].

Allele S	Vecchie denominazioni	Accession number
S ₁₀₁	S _j /S _e /S ₁	AF457594
S ₁₀₂	S _l /S ₂	AY103409
S ₁₀₃	S _k /S ₃	AY103408
S ₁₀₄	S _b /S ₄	AJ458182
S ₁₀₅	S _a /S ₅	AJ458181
S ₁₀₆	S _i /S ₆	AF518319
S ₁₀₇	S _h /S ₇	AJ459776
S ₁₀₈	S _d /S ₈	AJ459775
S ₁₀₉	S _p /S ₉	AY421968
S ₁₁₀	S _g /S ₁₀	AB258360
S ₁₁₁	S _s /S ₁₁	AB258365
S ₁₁₃	S _t /S ₁₃	AB258366
S ₁₁₄	S _c /S ₁₄	AJ459774
S ₁₁₅	S _m	AY159323
S ₁₁₆	S _n	AY195840
S ₁₁₇	S _o	AY261994
S ₁₁₈	S _q	AB236424
S ₁₁₉	S _r	AB236426

Tabella 1.2: primi 18 apotipi S di pero europeo per i quali è stato sequenziato il gene della RNasi. Oltre alla denominazione secondo il nuovo sistema di nomenclatura, sono riportati i nomi precedentemente attribuiti agli stessi alleli ed il numero d'accessione delle sequenze delle RNasi nei database online. Tratto da Goldway *et al.*, 2008 [35]

1.5 I determinanti pollinici: S-Locus F-Box

Diversamente dal determinante femminile, che è conosciuto e caratterizzato ormai da più di un decennio, la natura del determinante maschile dell'autoincompatibilità mediata da RNasi è rimasta sconosciuta per lungo tempo. Inizialmente la ricerca è stata mirata ad identificare geni che fossero espressi in polline e mostrassero una diversità allelica collegata all'aplotipo S [36, 37, 38]; tuttavia questo tipo di approccio, condotto in *Nicotiana alata* e *Petunia inflata*, non si è mostrato efficace in quanto nelle Solanaceae il locus S è localizzato in posizione centromerica [39], cioè in una regione a bassissima frequenza di ricombinazione: pertanto anche geni esterni al

INTRODUZIONE

locus S e fisicamente molto distanti dalla S-RNasi mostrano un'altissima associazione ad essa, e di conseguenza una variabilità allelica correlabile all'aplotipo S [40].

I primi risultati significativi sono stati ottenuti grazie al sequenziamento di cloni genomici per un totale di 63 kb intorno alla RNasi S₂ di *Antirrhinum hispanicum* [41]. In questa regione sono state identificate 10 sequenze codificanti (ORFs, *Open Reading Frames*), di cui 4 corrispondenti a retrotrasposoni, elementi mobili estremamente diffusi nei genomi vegetali; delle restanti, si è verificato che una sola viene espressa specificamente nel tapetum dell'antera e nel polline. Questo gene, situato a circa 9 kb di distanza dalla RNasi S₂, codifica per una proteina contenente un dominio F-box ed è stato pertanto nominato AhSLF (*A. hispanicum S-Locus F-box*).

Lo stesso approccio è stato successivamente applicato alle Rosaceae *Prunus dulcis* (mandorlo) e *P. mume* (albicocco giapponese). Nel primo caso il sequenziamento della regione di 70 kb fiancheggiante la RNasi S_c ha consentito di identificare due geni F-box specificamente espressi in polline [42]; nel secondo è stata sequenziata la regione fiancheggiante la RNasi S₇, per un totale di 62,5 kb, che ha evidenziato la presenza di ben 4 geni F-box [43]. In entrambi i casi uno solo dei geni F-box presenti è stato considerato come possibile determinante maschile dell'autoincompatibilità, in quanto caratterizzato da una divergenza allelica simile a quella delle S-RNasi; questo gene è stato nominato SFB (*S haplotype-specific F-Box*) in *P. dulcis* e SLF (*S-Locus F-box*) in *P. mume*. Geni omologhi sono stati sequenziati da varie altre specie del genere *Prunus*, confermando una diversità allelica paragonabile a quella delle RNasi degli stessi apotipi S; inoltre è stata caratterizzata una struttura primaria conservata (vedi figura 1.3): il dominio F-box si trova nella porzione N-terminale della proteina, che è estremamente conservata fra i diversi alleli; esistono poi due regioni variabili (V1 e V2) e due ipervariabili (HV_a e HV_b). La porzione C-terminale della proteina è altamente variabile, contenendo le regioni V2, HV_a e HV_b; inoltre è ricca in aminoacidi idrofili, che ne indicano una probabile esposizione verso l'esterno nella struttura tridimensionale della proteina; ciò porta ad ipotizzare che questa regione sia coinvolta nell'interazione con il determinante femminile e sia responsabile della specificità del riconoscimento [44].

Il ruolo dei geni F-box come determinanti maschili dell'autoincompatibilità mediata da RNasi è stato dimostrato nel 2004 grazie ad esperimenti di trasformazione in *Petunia inflata* [45]. A tale scopo è stato sfruttato il fenomeno dell'interazione competitiva, osservato nelle Solanaceae in piante tetraploidi, che risulta nella perdita dell'autoincompatibilità a seguito di un'alterazione nella funzione pollinica. Queste piante infatti producono polline diploide, che pertanto contiene due apotipi S; i gra-



Figura 1.3: struttura dei geni SLF/SFB nel genere *Prunus*. Il dominio F-box è posizionato all'estremità ammino-terminale della proteina; sono inoltre state identificate due regioni variabili (V1 e V2) e due ipervariabili (HV_a e HV_b), in posizione carbossi-terminale; la sequenza codificante non è interrotta da alcun introne.

nuli omoallelili, cioè portatori di due alleli identici, conservano la loro funzione nel riconoscimento incompatibile e possono quindi essere rigettati; al contrario i granuli eteroallelili, portatori di due alleli diversi, non vengono inibiti anche se lo stilo contiene una o entrambe le RNasi degli stessi aplotipi [46]; la presenza di due determinanti pollinici diversi in uno stesso granulo, quindi, ne impedisce il rigetto. Il gene F-box isolato dall'aplotipo S₂ di *P. inflata*, PiSLF₂, è stato inserito mediante transgenesi ed espresso in piante con genotipo S₁/S₁, S₁/S₂ e S₂/S₃: in tutti e tre i casi le piante trasformate sono risultate autocompatibili per perdita della funzione pollinica; l'analisi della progenie da autofecondazione delle piante S₁/S₂ e S₂/S₃ ha inoltre evidenziato che ad essere accettati come compatibili sono solamente i granuli pollinici portatori dell'allele S₁ nel primo caso e S₃ nel secondo. Si è osservato cioè che l'espressione di PiSLF₂ in granuli contenenti un altro allele S porta alla perdita della funzione pollinica, esattamente come avviene nel polline diploide eteroallellico; ciò dimostra che PiSLF₂ è il determinante pollinico dell'aplotipo S₂ di *P. inflata*.

Nel genere *Prunus* la funzione dei geni SLF/SFB come determinanti maschili è supportata dalla caratterizzazione di alcuni aplotipi S di mutanti autocompatibili di tipo PPM (*Pollen-Part Mutant*); questi aplotipi presentano una funzione stilare intatta, producendo S-RNasi funzionali in grado di rigettare i tubetti pollinici incompatibili, mentre sono difettivi della funzione pollinica: i granuli portatori di questi aplotipi non possono cioè essere riconosciuti e rigettati.

- l'aplotipo S_{4'} di ciliegio dolce (*P. avium*), ottenuto dall'aplotipo S₄ per mutagenesi indotta tramite raggi X, ha evidenziato nella sequenza del gene SFB una delezione di 4 bp che produce un frame-shift a monte della regione HV_a, producendo quindi una proteina difettiva mancante della porzione C-terminale [47, 48];
- nell'aplotipo S_f di *P. mume* la sequenza codificante del gene SFB è interrotta da un'inserzione di 6,8 kb, che causa la produzione di trascritti anomali [47];

INTRODUZIONE

- l'aplotipo S_3' di *P. avium*, ottenuto anch'esso per mutagenesi indotta tramite raggi X dall'aplotipo S_3 , contiene una delezione che elimina completamente il gene SFB [48];
- l'aplotipo S_1' di ciliegio acido (*P. cerasus*), derivato da una mutazione naturale dell'aplotipo S_1 , contiene un trasposone di tipo *Ds* di 615 bp che interrompe la sequenza del gene SFB a livello della regione V1 [49].
- nell'aplotipo S_{13}' di *P. cerasus* la sequenza del gene SFB contiene una sostituzione puntiforme che genera un codone di stop della traduzione a monte della regione V2, generando quindi una proteina difettiva mancante della porzione C-terminale [50].

La verifica dell'associazione fra l'alterazione del gene SFB e la perdita della funzione pollinica nell'autoincompatibilità è estremamente significativa soprattutto per le specie arboree, nelle quali l'approccio della trasformazione, che potrebbe dare una prova definitiva del ruolo di SFB come determinante pollinico, è più complesso e richiede tempi molto più lunghi rispetto a *Petunia*.

1.5.1 Identificazione dei geni S-Locus F-Box nelle Pyrinae

Le prime sequenze di geni F-box associati al locus S nelle Pyrinae sono state ottenute nel 2006 in melo [51]. Tramite primer degenerati realizzati sulle regioni maggiormente conservate dei geni SLF/SFB di *Prunus* sono stati ottenuti cDNA di geni omologhi, retrotrascritti da RNA estratti da polline; l'amplificazione degli stessi frammenti da un pool di 7 cultivar dotate di aploidi S diversi ha poi permesso di verificare l'associazione di due di questi geni, nominati SLF_1 (*S-locus-Linked F-box*) e SLF_2 , rispettivamente agli aploidi S_1 e S_2 . Anche se l'associazione a specifici aploidi S e l'espressione in polline fanno di questi geni due possibili candidati al ruolo di determinanti pollinici, l'assenza di dati sulla loro posizione fisica e il basso numero di cultivar sulle quali la ricerca è stata condotta non danno informazioni certe sulla loro reale associazione al locus S.

Il sequenziamento di cloni genomici ha permesso anche in questo caso di chiarire la situazione ed ottenere informazioni di grande importanza. È stata utilizzata una libreria genomica ottenuta dalla varietà di melo 'Florina', il cui genotipo S è S_3/S_9 ; sei cloni contenenti la RNasi S₉ sono stati interamente sequenziati da Sassa *et al.* [52]. Ciò ha permesso di ottenere la sequenza di una regione di 317 kb all'interno della quale sono stati individuati due geni F-box, nominati MdSFBB (*Malus × domestica S-locus F-Box Brothers*): uno (MdSFBB^{9-α}) situato 42 kb a monte della S-RNasi, l'altro

1.5 I determinanti pollinici: S-Locus F-Box

(MdSFBB^{9-β}) 93 kb a valle. Nelle vicinanze di questi sono stati trovati anche due pseudogeni (ψ MdSFBB^{9-α} e ψ MdSFBB^{9-β}) ad essi omologhi ma contenenti diverse inserzioni e delezioni.

Primer realizzati sulle sequenze di questi due geni MdSFBB hanno permesso di ottenere ulteriori sequenze:

- due geni omologhi sono stati identificati nella stessa libreria genomica da due cloni contenenti la RNasi S₃, e sono stati pertanto nominati MdSFBB^{3-α} e MdSFBB^{3-β};
- da RNA estratto da polline di pero giapponese cv. ‘Kosui’ (S₄/S₅) sono stati clonati i cDNA di 6 geni F-box, nominati PpSFBB (*Pyrus pyrifolia S-locus F-Box Brothers*); un’analisi di associazione con il gene della S-RNasi condotta su una progenie di 40 individui ha permesso di verificare l’associazione di tre di questi (PpSFBB^{4-α}, PpSFBB^{4-β} e PpSFBB^{4-γ}) all’aplotipo S₄ e degli altri tre (PpSFBB^{5-α}, PpSFBB^{5-β} e PpSFBB^{5-γ}) all’aplotipo S₅.

Il grado di divergenza di questi geni è considerato compatibile con quello delle S-RNasi a cui sono associati; le sequenze di melo mostrano maggiore omologia fra geni dello stesso applotipo che non fra i due applotipi diversi, mentre quelli di pero giapponese sono chiaramente suddivisibili in tre gruppi ($α$, $β$ e $γ$) maggiormente conservati fra applotipi distinti. È stato inoltre verificato che tutti gli SFBB sono espressi in maniera specifica in polline, sia in melo che in pero giapponese.

Le informazioni fornite da questo studio non si prestano ad un’interpretazione univoca; se infatti da un lato l’appartenenza (dimostrata solo in melo) o associazione al locus S, la divergenza allelica correlata all’aplotipo S e l’espressione specifica in polline sono caratteristiche compatibili con il ruolo di determinanti pollinici per i geni SFBB, dall’altro la loro molteplicità pone un quesito tuttora irrisolto. In particolare, analogamente a quanto osservato in applotipi S nei generi *Prunus*, *Petunia* e *Antirrhinum*, il determinante pollinico potrebbe essere costituito da un solo gene F-box anche se altri ne sono presenti nel locus S o nelle immediate vicinanze; oppure, come ipotizzato dagli stessi autori del lavoro, tutti i prodotti dei geni SFBB potrebbero svolgere il ruolo di determinanti pollinici, eventualmente costituendo un complesso proteico multimerico.

1.6 Meccanismo d'azione

L'attività ribonucleasica del determinante stilare è essenziale per il rigetto dei tubetti incompatibili: è stato infatti verificato che S-RNasi mutagenizzate, contenenti alterazioni nel sito catalitico tali da impedirne la funzionalità, non sono in grado di innescare la reazione di autoincompatibilità [53]. Questo dato, unito alla degradazione di rRNA pollinici osservata in tubetti incompatibili [54], indica che le S-RNasi possono agire come specifiche citotossine all'interno dei tubetti pollinici, degradando gli RNA cellulari. Partendo da questa considerazione sono stati formulati diversi modelli per spiegare il meccanismo molecolare che innesca le reazioni di accettazione e rigetto del tubetto pollinico.

1.6.1 Modelli classici

Inizialmente, quando ancora non erano disponibili informazioni sulla natura del determinante pollinico, sono stati formulati due modelli principali: uno prevedeva che il determinante maschile fosse un recettore di membrana (*Receptor model*), l'altro un inibitore delle S-RNasi (*Inhibitor model*) [55, 56].

- *Receptor model*: l'inibizione specifica del polline “self” dipenderebbe semplicemente dalla traslocazione delle S-RNasi dalla matrice stilare all'interno del tubetto; secondo questo modello il determinante maschile dell'autoincompatibilità potrebbe agire come uno specifico recettore associato alla membrana, in grado di riconoscere la RNasi dello stesso apotipo S ed importarla nel tubetto, dove questa svolgerebbe la propria azione citotossica. La reazione compatibile, al contrario, sarebbe prodotta dall'incapacità del tubetto di importare le RNasi stilari.
- *Inhibitor model*: il determinante pollinico agirebbe come inibitore delle S-RNasi, in grado di bloccarne tutti gli alleli tranne quello “self”. Il modello più semplice ipotizza che il determinante pollinico contenga un dominio inibitore ed un dominio di specificità per il riconoscimento della RNasi corrispondente; il dominio inibitore sarebbe conservato fra tutti gli apotipi S ed aspecifico, in grado cioè di impedire l'attività di tutte le RNasi, mentre il dominio di specificità formerebbe un legame più stabile, e quindi termodinamicamente favorito, con la sola RNasi dello stesso apotipo. All'interno del tubetto “self” il legame del dominio specifico su una RNasi ne proteggerebbe l'attività enzimatica impedendo il legame del dominio inibitore. Una versione modificata di questo modello ipotizza invece che l'inibizione delle RNasi avvenga ad opera di una

terza proteina, aspecifica, mentre il determinante maschile sarebbe dotato del solo dominio specifico di riconoscimento e protezione della S-RNasi “self”.

L’osservazione che entrambe le S-RNasi prodotte in uno stilo vengono importate sia dai tubetti compatibili che da quelli incompatibili ha portato ad abbandonare il *Receptor model* [57]. Tuttavia neanche l’*Inhibitor model* è in grado di spiegare completamente il meccanismo dell’autoincompatibilità: infatti secondo questo modello il polline eteroallellico prodotto da piante tetraploidi, esprimendo due diversi determinanti maschili in grado di proteggere le rispettive RNasi dall’inibizione, dovrebbe risultare incompatibile su qualsiasi pistillo avente uno o entrambi gli apotipi S in comune; al contrario, come si è osservato nel fenomeno dell’interazione competitiva, l’espressione di due diversi determinanti pollinici risulta nella perdita dell’incompatibilità.

Per spiegare l’incapacità di rigetto del polline eteroallellico è stata proposta una versione ulteriormente modificata dell’*Inhibitor model*, secondo cui il determinante pollinico agirebbe in forma multimerica [58]. Nel normale polline aploide, quattro subunità identiche formerebbero un omotetramero in grado di svolgere la propria funzione di protezione della RNasi dall’inibitore aspecifico; nel polline eteroallellico invece due determinanti diversi risulterebbero espressi contemporaneamente ed a livelli simili, favorendo la formazione prevalente di eterotetrameri, che non sarebbero in grado di legarsi correttamente alla RNasi stilare. Questa non verrebbe quindi protetta dall’inibizione e non potrebbe di conseguenza svolgere la propria azione citotossica. In realtà esperimenti di over-espressione di un allele SLF/SFB in polline eteroallellico in *Petunia* sembrano indicare che, contrariamente a quanto ipotizzato da questo modello, la perdita della capacità di rigetto non dipenda dalla concentrazione relativa delle due proteine F-box all’interno del tubetto eteroallellico [59].

1.6.2 Modelli recenti

Dopo l’identificazione dei determinanti pollinici i modelli sono stati ridefiniti ed adattati alle nuove informazioni che mano a mano si rendono disponibili. Le proteine F-box, infatti, sono note per varie funzioni, fra le quali di particolare importanza è la partecipazione al complesso enzimatico E3 ubiquitina ligasi, coinvolto nella via di degradazione proteica ad opera del proteasoma 26S [60, 61, 62]. L’ubiquitina è un polipeptide di 76 aminoacidi che funge da marcatore per la degradazione proteica, in un sistema che prevede tre passaggi: l’ubiquitina viene prima di tutto attivata dal legame con l’enzima E1 (enzima di attivazione); successivamente viene trasferita all’enzima E2 (enzima di coniugazione); infine, tramite l’azione del complesso E3 (ubiquitina

INTRODUZIONE

ligasi) la molecola viene trasferita sulla proteina target; le proteine ubiquitinate in questo modo vengono riconosciute e degradate all'interno del proteasoma.

Il complesso E3, detto SCF per le tre subunità che lo compongono (Skp1, Cullina, F-box), è quindi responsabile del riconoscimento della proteina target da marcare per la degradazione, e del traferimento di più molecole di ubiquitina su di essa. Ciò porta ad ipotizzare che i determinanti pollinici SLF/SFB possano agire in maniera del tutto simile all'interno del tubetto compatibile [45, 63]. L'ubiquitinazione e la successiva degradazione delle RNasi “non-self” sarebbero quindi le condizioni che permetterebbero la crescita del tubetto all'interno dello stilo. Il modello proposto ipotizza, in particolare, che il determinante pollinico interagisca con la RNasi stilare in due possibili modi (vedi figura 1.4 A):

- tramite un dominio aspecifico, conservato fra tutti gli aplotipi S; il legame attraverso questo dominio consentirebbe al comlesso SCF, del quale il determinante SLF/SFB farebbe parte, di ubiquitinare la RNasi;
- tramite un dominio allele-specifico, in grado di legare soltanto la RNasi dello stesso aplotipo S; in questo caso il legame fra SLF/SFB e RNasi proteggerebbe quest'ultima dall'ubiquitinazione.

L'ipotesi del coinvolgimento del sistema proteolitico ubiquitina/proteasoma 26S nella degradazione delle S-RNasi è stata recentemente avvalorata da due ulteriori osservazioni: in *Antirrhinum* è stata identificata una proteina omologa alla Skp1, detta AhSSK1 (*A. hispanicum SLF-interacting Skp1-like 1*), che interagisce direttamente con il dominio F-box del determinante pollinico SLF₂ [64]; in *Petunia* è stato dimostrato che estratti pollinici sono in grado di ubiquitinare e degradare RNasi *in vitro*, anche se non in maniera allele-specifica [65, 66]. Tuttavia questo modello, detto *Protein-Degradation model*, ricalca in sostanza il precedente *Inhibitor model*, con l'unica differenza di proporre l'ubiquitinazione e successiva degradazione della S-RNasi anzichè la semplice inibizione; come il modello precedente, quindi, anche questo non è in grado di spiegare l'interazione competitiva: infatti teoricamente il polline diploide eteroallellico, producendo due F-box diversi, sarebbe in grado di proteggere dall'ubiquitinazione contemporaneamente entrambe le RNasi “self”, portando al rigetto del tubetto pollinico.

Risultati ottenuti dallo studio *in vitro* del legame fra S-RNasi e SLF di *Petunia* hanno consentito di ottenere nuove informazioni ed elaborare una versione modificata di questo modello. Si è osservato, prima di tutto, che l'interazione di una proteina SLF con la RNasi *self* è più debole che con le RNasi *non-self* [65]; esperimenti con-

dotti con proteine SLF chimeriche hanno inoltre permesso di identificare tre domini funzionali (FD1, FD2 e FD3), dei quali uno (FD2) tende a formare un legame estremamente forte con le S-RNasi in modo aspecifico, mentre gli altri due (FD1 e FD3) destabilizzano in maniera specifica l'interazione con la sola RNasi “self” [59]. Secondo il *Modified Protein-Degradation model* (vedi figura 1.4 B) a determinare l'accettazione o il rigetto del tubetto pollinico sarebbe quindi la forza del legame fra RNasi e SLF [67]:

- nel tubetto compatibile, l'interazione fra il dominio FD2 del determinante pollinico e le due RNasi *non-self* risulterebbe forte abbastanza da consentirne l'ubiquitinazione e, quindi, la degradazione;
- nel tubetto incompatibile, la proteina SLF potrebbe formare un legame sufficientemente stabile solo con la RNasi *non-self*; al contrario, il legame con la RNasi *self* sarebbe destabilizzato in maniera specifica a causa dei domini FD1 e FD3; questa non potrebbe quindi essere ubiquitinata e resterebbe attiva, svolgendo la propria azione citotossica che porterebbe al rigetto del tubo pollinico.

Questo modello è compatibile con il fenomeno dell'interazione competitiva: infatti, se una proteina SLF è in grado di mediare l'ubiquitinazione di tutte le RNasi tranne quella dello stesso apotipo S, questa verrebbe comunque ubiquitinata in caso di presenza nello stesso tubetto pollinico di un secondo SLF con specificità diversa; entrambe le RNasi stilari verrebbero quindi degradate e il polline eteroallellico non potrebbe in alcun caso essere rigettato.

Il *Modified Protein-Degradation model*, nonostante si adatti molto bene ai dati sperimentali ottenuti in *Petunia*, non può tuttavia essere considerato conclusivo. Altri fattori, infatti, potrebbero essere coinvolti nella modulazione della risposta di autoincompatibilità; fra questi potrebbe essere di particolare importanza la compartmentazione delle RNasi: è stato osservato che le RNasi, una volta importate dal tubetto, vengono inizialmente sequestrate all'interno di un vacuolo, per poi essere rilasciate nel citoplasma solo in caso di reazione incompatibile [68]. Inoltre, il *Modified Protein-Degradation model* non è in grado di spiegare la presenza di mutanti di parte pollinica (PPM): infatti secondo questo modello la delezione o mancata espressione del determinante SLF/SFB nel tubetto pollinico risulterebbe nell'inabilità di ubiquitinare le RNasi, e quindi inevitabilmente nella reazione di rigetto dello stesso. Questo può essere considerato plausibile nelle Solanaceae o in *Antirrhinum*, per le quali non sono noti casi di perdita della funzione pollinica; la mancanza

INTRODUZIONE

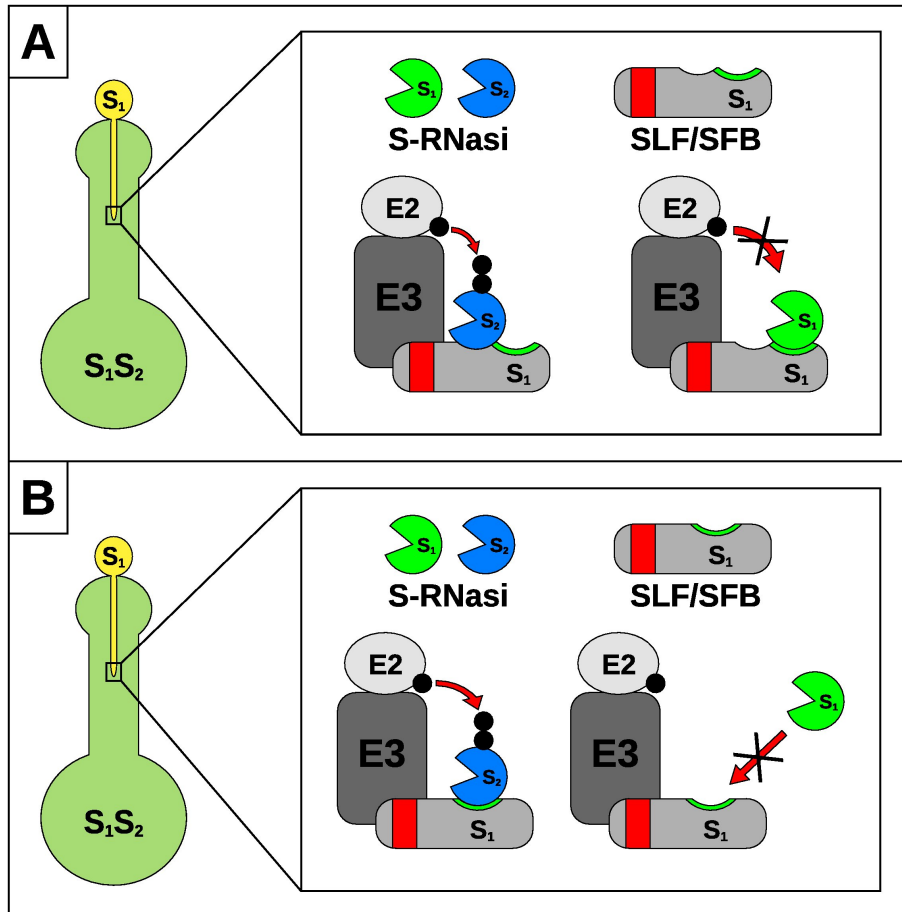


Figura 1.4: rappresentazione del meccanismo di ubiquitinazione della RNasi “self” secondo i due modelli di degradazione proteica. Il determinante maschile SLF/SFB, tramite il dominio F-box (rappresentato in rosso) partecipa alla formazione del complesso E3, che trasferisce la molecola di ubiquitina (in nero) dall’enzima E2 alla S-RNasi “non-self”. A) *Protein-Degradation model*: il determinante maschile SLF/SFB contiene due siti di legame con la RNasi, uno aspecifico ed uno allele-specifico; il legame della RNasi “non-self” avviene sul dominio aspecifico e porta all’ubiquitinazione della stessa (parte sinistra della figura); la RNasi “self”, al contrario, è termodinamicamente favorita a legarsi sul dominio allele-specifico, che la protegge dall’ubiquitinazione (parte destra). B) *Modified Protein-Degradation model*: il sito di interazione fra RNasi e SLF/SFB è unico, ma varia la stabilità del legame, che è più forte con le RNasi “non-self”; l’interazione con la RNasi “self” è destabilizzata da specifici domini sulla proteina SLF/SFB e risulta troppo debole per consentire l’ubiquitinazione della stessa.

di mutanti PPM potrebbe anzi essere spiegata proprio dal fatto che questo tipo di mutazione, risultando nell’impossibilità per il tubetto di giungere alla fecondazione, non potrebbe essere trasmesso alla progenie e verrebbe immediatamente eliminato.

1.6 Meccanismo d'azione

Tuttavia non può essere questo il caso del genere *Prunus*, nel quale è stata osservata associazione fra alterazione del gene SFB e perdita della funzione pollinica (come descritto nel par. 1.5). Occorre inoltre considerare che, almeno in alcune specie di *Prunus*, non è presente il fenomeno dell'interazione competitiva: *P. cerasus* è infatti una specie tetraploide, derivata dall'ibridazione fra *P. avium* e *P. fruticosa* [69]; in questa specie il polline eteroallellico contenente due aplotipi S funzionali viene rigettato da piante contenenti uno o entrambi gli stessi aplotipi S [49]. Sembra invece che l'interazione competitiva sia presente in altre specie tetraploidi di *Prunus*, fra cui *P. pseudocerasus* [70].

È quindi possibile che il meccanismo molecolare attraverso cui S-RNasi e SLF/SFB interagiscono sia diverso in *Prunus* rispetto alle Solanaceae ed *Antirrhinum*. In questo quadro non sarebbe assolutamente chiara la collocazione delle Pyrinae: questo gruppo è infatti filogeneticamente molto più vicino al genere *Prunus*, facendo parte della stessa famiglia, le Rosaceae; d'altro canto però le Pyrinae esibiscono per quanto riguarda l'autoincompatibilità un comportamento più simile a quello delle Solanaceae, essendo presente il fenomeno dell'interazione competitiva e non essendo noti mutanti di tipo PPM. Un'ipotesi è che il meccanismo presente nelle Solanaceae ed in *Antirrhinum* corrisponda al meccanismo ancestrale dell'autoincompatibilità mediata da RNasi; questo potrebbe aver subito una modifica durante la storia evolutiva delle Amygdaleae, risultando nel meccanismo attualmente presente in *Prunus*, mentre potrebbe essere stato mantenuto da una parte delle Rosaceae, fra cui appunto le Pyrinae.

1.7 Fattori esterni al locus S

Nelle fasi iniziali di germinazione e penetrazione nel tessuto trasmittente dello stilo, i tubetti compatibili ed incompatibili si comportano allo stesso modo. Successivamente, circa all'altezza del terzo superiore dello stilo, il riconoscimento del polline “self” innescata la reazione di rigetto: la crescita diviene irregolare, la parete si assottiglia, l'apice si ferma e si rigonfia, formando un grosso deposito di callosio [71].

Anche se S-RNasi e SLF/SFB sono gli unici responsabili della specificità del riconoscimento fra polline e pistillo, l'attuazione di questa reazione coinvolge molti altri fattori, codificati esternamente al locus S ed in grado di agire in maniera indipendente dall'aplotipo S [72, 73, 74, 75]. Questi fattori sono stati catalogati in tre gruppi a seconda delle loro caratteristiche d'azione [76]:

- Gruppo 1: fattori che modulano l'espressione dei determinanti; agiscono cioè “a monte” di S-RNasi e SLF/SFB, modulandone o la trascrizione o modifiche post-trascrizionali essenziali perché questi possano svolgere la loro attività. Mutazioni in uno di questi fattori possono quindi risultare nell'assenza o nella non funzionalità dei determinanti e quindi nell'interruzione dell'autoincompatibilità, nonostante la presenza al locus S di apotipi S integri e funzionali. Una mutazione di questo tipo è stata descritta in *Petunia* [75].
- Gruppo 2: fattori che interagiscono direttamente con i determinanti; questi agiscono congiuntamente ad S-RNasi e SLF/SFB, modulandone la funzione. Nelle Solanaceae sono stati caratterizzati diversi di questi fattori, fra cui *HT-B*, *120K* e *4936-factor* [77, 76, 78, 79], che si pensa possano agire sull'importazione e la compartimentazione delle RNasi stilari nel tubetto pollinico; il silenziamento di uno di questi geni risulta nell'interruzione dell'autoincompatibilità nonostante i determinanti siano funzionali ed espressi a livelli normali sia nel polline che nello stilo.
- Gruppo 3: fattori che non interagiscono direttamente con i determinanti, ma sono coinvolti nella reazione da essi innescata; a questo gruppo appartengono fattori che, oltre ad avere un ruolo nell'autoincompatibilità, possono agire su altri meccanismi più generali nell'interazione polline-pistillo o anche in altri processi cellulari. Questi fattori sono responsabili dell'attuazione del processo che porta al blocco della crescita del tubetto pollinico, agendo quindi “a valle” dell'azione di S-RNasi e SLF/SFB.

La conoscenza di fattori esterni al locus S nelle Pyrinae è piuttosto limitata;

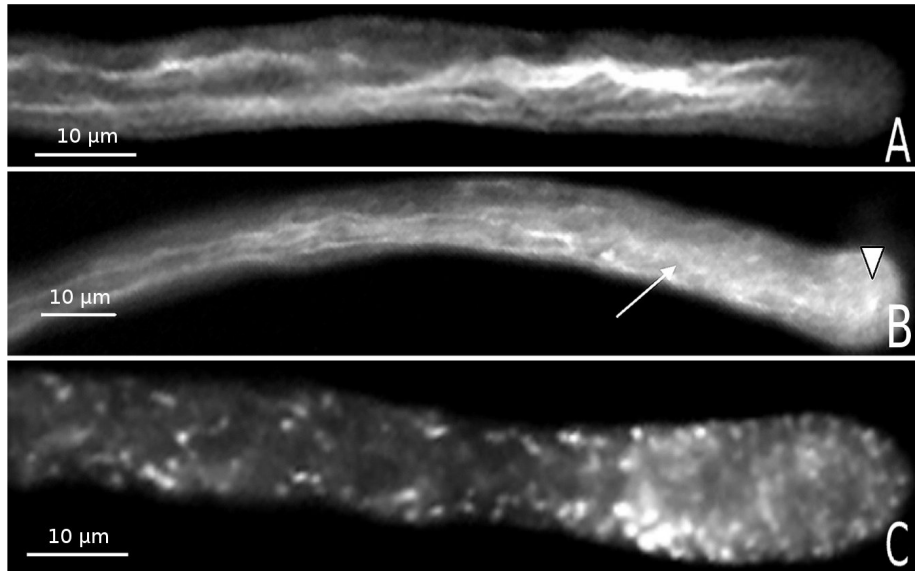


Figura 1.5: alterazioni a carico del citoscheletro del tubetto pollinico indotte dalla risposta di autoincompatibilità in *Pyrus pyrifolia*; la colorazione con fluorescina isotiocianato (FITC) e falloidina permette di evidenziare la distribuzione dell'actina. A) tubetto pollinico in condizioni normali: i filamenti di actina sono visibili principalmente in direzione parallela all'asse del tubetto ed arrivano fino a circa $10 \mu\text{m}$ dall'apice. B) dopo 20 minuti dall'aggiunta di S-RNasi “self” i filamenti si presentano parzialmente disgregati, sono visibili frammenti (indicati dalla freccia), l'apice si presenta rigonfio e denso di residui di actina. C) dopo 40 minuti i microfilamenti sono completamente disgregati e l'actina è accumulata in foci. Tratto da Liu *et al.*, 2007 [80].

la caratterizzazione del meccanismo cellulare che porta all’arresto della crescita del tubetto “self” è, insieme alla comprensione dell’interazione molecolare fra S-RNasi e SLF/SFB, uno degli obiettivi principali della ricerca nel campo della biologia fiorale.

La degradazione degli RNA pollinici è probabilmente il primo passaggio conseguente al riconoscimento specifico fra i determinanti. I passaggi successivi sono meno chiari, ma coinvolgono sicuramente una forte alterazione a carico del citoscheletro: è stato infatti osservato *in vitro* che le S-RNasi “self” inducono la degenerazione dei filamenti di actina, con formazione di foci [80]; il fenomeno osservato, visibile in figura 1.5, è del tutto analogo a quello prodotto dalla Citocalasina B, una tossina che agisce sui microfilamenti impedendo la polimerizzazione dell'actina.

I microfilamenti di actina, in condizioni normali, hanno all'interno della cellula un comportamento estremamente dinamico generato dalla continua addizione di monomeri ad un'estremità e dal loro distacco all'estremità opposta. Il citoscheletro ha un'importanza cruciale nella crescita del tubetto pollinico: fornisce infatti la strutt-

INTRODUZIONE

tura per il trasporto degli organelli, ad opera del motore molecolare della miosina, verso l'apice [81, 82]; l'inibizione della polimerizzazione dell'actina è sufficiente a causare l'arresto della crescita [83]. È stato inoltre osservato che l'inibizione sia della polimerizzazione che della depolimerizzazione dell'actina può indurre morte cellulare programmata (PCD) in cellule di lievito o animali [84, 85]. La stessa cosa sembra avvenga in *Papaver rhoeas* nella reazione di rigetto del polline incompatibile [86]: in questo caso l'alterazione del citoscheletro è innescata da una rapida variazione della concentrazione intracellulare di ioni calcio (come descritto nel par. 1.3). È stato recentemente ipotizzato che l'autoincompatibilità mediata da RNasi possa coinvolgere un meccanismo del tutto simile, in cui l'iniziale degradazione degli RNA cellulari innescherebbe la degradazione dei microfilamenti di actina e, successivamente, la morte cellulare programmata. Marcatori tipici dell'apoptosi delle cellule animali, come il rilascio del citocromo C nel citoplasma, la degenerazione dei mitocondri e la frammentazione del DNA genomico, sono infatti stati osservati *in vitro* in tubetti pollinici trattati con S-RNasi "self" [87].

1.7.1 La transglutaminasi

Un ruolo di particolare importanza nella reazione di autoincompatibilità potrebbe essere svolto dalla transglutaminasi (TGasi), un enzima calcio-dipendente che catalizza la reazione di transamidazione fra un gruppo amminico ed un gruppo γ -carbossiamidico di un residuo di lisina (vedi figura 1.6); il gruppo amminico può essere fornito da poliammine, fra cui le più diffuse nelle piante sono putrescina, spermidina e spermina, oppure da un residuo di glutammmina [88]. La TGasi è quindi in grado di creare legami crociati (cross-linking) fra proteine in due modi:

- legando direttamente un residuo di glutammmina al gruppo amminico di un residuo di lisina;
- legando i due gruppi amminici di una stessa poliammina a due residui di glutammmina di proteine diverse.

Il legame simultaneo di più proteine attraverso ponti di poliammine può portare alla formazione di complessi proteici ad alto peso molecolare.

Questo enzima è estremamente diffuso, essendo stato identificato in vari microrganismi, invertebrati, vertebrati e piante; si trova sia all'interno della cellula che nella matrice extracellulare, dove per la sua capacità di modifica post-traduzionale e cross-linking delle proteine può svolgere un ruolo in una grande varietà di funzioni

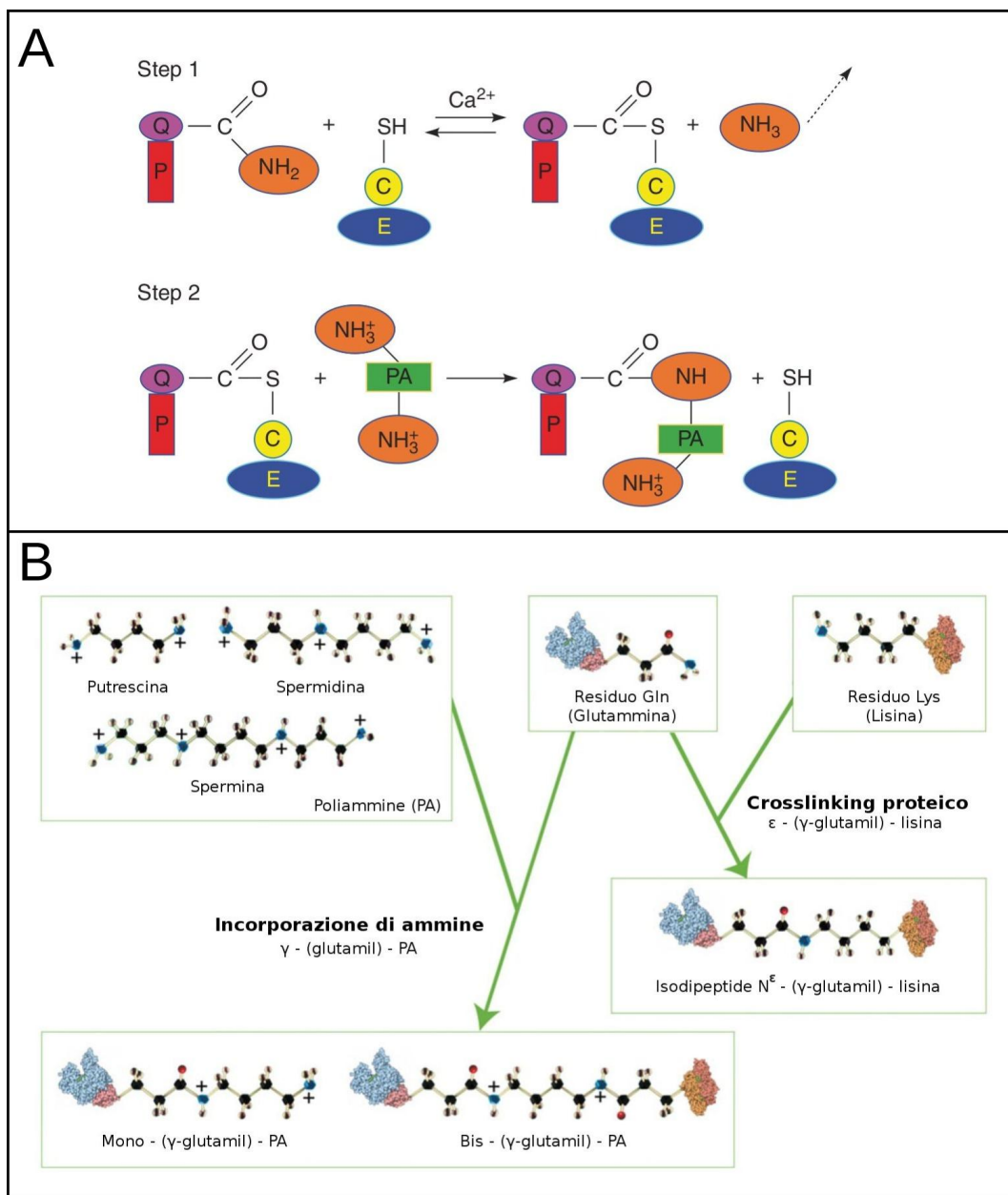


Figura 1.6: attività enzimatica della TGasi. A) Reazione di transamidazione fra una proteina (P) ed una poliammina (PA); la reazione avviene in due stadi: nel primo il residuo glutamminico (Q) viene legato al gruppo tiolico del residuo di cisteina (C) nel sito attivo dell’enzima (E); nel secondo si ha il trasferimento acilico sul gruppo amminico della poliammina. B) Substrati e prodotti della TGasi. Il residuo glutamminico può reagire con il gruppo amminico di una lisina creando un cross-linking fra le due proteine (parte sinistra), oppure con una poliammina (incorporazione di ammine, parte destra); anche questa reazione può risultare in un cross-linking proteico se un residuo glutamminico di una seconda proteina viene legato alla stessa poliammina. Tratto da Serafini-Fracassini and Del Duca, 2008 [89].

INTRODUZIONE

biologiche, fra cui il differenziamento cellulare, la trasduzione del segnale, l'adesione e la regolazione del meccanismo dell'apoptosi nelle cellule animali [90, 91].

Il possibile coinvolgimento della TGasi nel meccanismo dell'autoincompatibilità gametofitica è supportato da diversi indizi:

- con il blocco della crescita del tubetto pollinico incompatibile si ha la formazione di foci di F-actina (vedi figura 1.5 C) e aggregati ad alto peso molecolare di tubulina; la formazione di questi complessi avviene probabilmente attraverso una serie di cross-linking fra le proteine costituenti il citoscheletro: questo meccanismo non è ancora stato caratterizzato, ma potrebbe essere mediato appunto dalla TGasi.
- all'interno del tubetto pollinico di melo è rilevabile attività TGasica sia intrache extracellulare; fra i substrati della TGasi nel tubetto in crescita ci sono sia l'actina che la α -tubulina, sulle quali avviene incorporazione di poliammine [92].
- nel tubetto pollinico incompatibile di *Papaver rhoeas* la disorganizzazione del citoscheletro porta alla morte cellulare programmata (PCD); la TGasi è coinvolta, in cellule animali, nel meccanismo dell'apoptosi [93, 94], che per molti versi è analogo alla PCD nelle cellule vegetali [95]; l'azione della stessa sulla tubulina, in particolare, è stata associata all'induzione di apoptosi in cellule tumorali di neuroblastoma [96].
- in stili di pero europeo impollinati con polline incompatibile l'attività TGasica è più alta rispetto a stili impollinati con polline compatibile, suggerendo che la reazione di rigetto comporti un'aumento dell'espressione della TGasi [97].

È quindi possibile che l'anomala riorganizzazione del citoscheletro che avviene durante il rigetto del tubetto pollinico incompatibile sia mediata dall'azione della TGasi, che potrebbe quindi agire come fattore esterno al locus S del terzo gruppo; la sua azione potrebbe inoltre essere determinante nell'induzione della morte cellulare programmata, meccanismo che è alla base della reazione di incompatibilità nelle Papaveraceae e che potrebbe essere coinvolto anche nei sistemi di incompatibilità mediata da RNasi.

1.8 Superamento dell'autoincompatibilità

Nelle specie arboree ad impollinazione entomofila, il successo della fecondazione reciproca fra cultivar compatibili in campo dipende dall'efficienza degli insetti pronubi come vettori del polline, che a sua volta è fortemente influenzata dalle condizioni ambientali, quali temperatura e precipitazioni atmosferiche. Per questo motivo, condizioni sfavorevoli nel periodo della fioritura possono causare una scarsa efficienza dell'impollinazione incrociata e di conseguenza ridurre la produzione di frutti in alcune annate [98]. L'ottenimento di varietà autocompatibili può garantire una maggiore uniformità nella fecondazione e, quindi, nella produzione.

Varietà autocompatibili sono state ottenute in molte specie del genere *Prunus* attraverso mutagenesi indotta o selezione di mutanti naturali: sono noti genotipi S in cui l'autocompatibilità è legata alla perdita della funzionalità del determinante maschile (vedi par. 1.5), di quello femminile [50, 99, 100, 101] o a fattori esterni al locus S [102].

Nelle Pyrinae la frequenza di mutanti autocompatibili è molto più bassa. Il caso più noto e meglio caratterizzato è quello della cultivar ‘Osa Nijisseiki’ di pero giapponese, mutante gemmario della varietà ‘Nijisseiki’ [103]. L'autocompatibilità in questo caso è dovuta alla perdita della funzione del determinante femminile ed è legata all'aplotipo S_4^{sm} (mutante stilare dell'aplotipo S_4). Questo è caratterizzato da una vasta delezione che ha eliminato completamente il gene della RNasi S_4 [104]; recentemente, grazie all'impiego di librerie genomiche delle due varietà, è stata caratterizzata ed interamente sequenziata la regione dell'aplotipo S_4 deleta nel mutante [105]. Questa regione ha dimensione di 236 kb, estendendosi da 48 kb a monte fino a 188 kb a valle della RNasi S_4 ; al suo interno è stato individuato anche un gene F-box, denominato $S_4F\text{-box}0$. Nonostante questo gene presenti una buona omologia con gli SFBB identificati in melo e sia specificamente espresso in polline, la funzione maschile dell'autoincompatibilità è intatta nel polline S_4^{sm} : è quindi da escludere che $S_4F\text{-box}0$, pur essendo all'interno del locus S il gene F-box più vicino alla S-RNasi, possa essere il determinante pollinico dell'aplotipo S_4 .

In melo è stata riportata autocompatibilità per la varietà giapponese ‘Megumi’ [106], ma non ne è stata approfondita la base genetica. In pero europeo è stato recentemente identificato un aploido mutato che conferisce autocompatibilità nelle varietà ‘Abugo’ e ‘Ceremeño’ [107]. Anche in questo caso si tratta di una mutazione di parte stilare: l'autocompatibilità è conferita dall'aplotipo S_{121}° , mutante dell'aplotipo S_{121} ; il pistillo portatore di S_{121}° perde la capacità di riconoscere sia il polline “self” che quello portatore di S_{121} , mentre il polline S_{121}° viene normalmente rigetta-

INTRODUZIONE

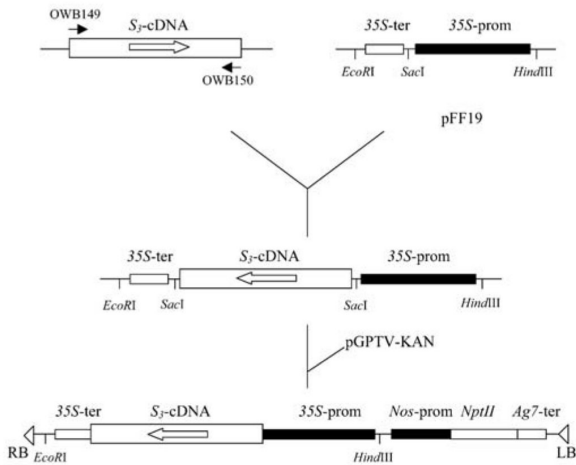


Figura 1.7: costruzione del vettore binario utilizzato per la trasformazione della cultivar ‘Elstar’ di melo. Il cDNA della RNasi *S₃* è stato clonato all’interno del plasmide pFF19, fra il promotore 35S-prom ed il terminatore 35S-ter; questi elementi regolatori di origine virale (CaMV, *Cauliflower Mosaic Virus*) inducono la trascrizione forte e costitutiva all’interno dei tessuti della pianta. Il costrutto è stato poi trasferito al vettore binario pGPTV-KAN per la trasformazione mediata da *Agrobacterium*, contenente un marcatore per la selezione dei trasformanti (il gene *NptII* per la neomicina fosfotrasferasi, che conferisce resistenza a kanamicina) e le regioni RB e LB (Right e Left-Border) del T-DNA. Tratto da Broothaerts *et al.*, 2004 [109].

to su pistilli *S₁₂₁*. Il confronto fra le sequenze geniche delle S-RNasi dei due aplotipi ha evidenziato nel gene della RNasi *S₁₂₁* l’inserzione di un elemento trasponibile di tipo TRIM [108] di 556 bp all’interno dell’introne, oltre a due delezioni di 2 e 30 bp nella regione 3’UTR (regione non tradotta all’estremità 3’ della sequenza genica) e 6 sostituzioni puntiformi. Tre di queste cadono all’interno della sequenza codificante, ma non generano cambiamenti di amminoacido: la sequenza proteica codificata dai due aplotipi è quindi identica; la perdita della funzione stilare è in questo caso associata alla mancata espressione del gene della RNasi *S₁₂₁* nel pistillo.

Un approccio alternativo alla ricerca di mutanti spontanei ed alla mutagenesi indotta è il ricorso all’ingegneria genetica. La trasformazione con determinanti stilari e pollinici in piante modello è stata utilizzata, come descritto nei par. 1.4 e 1.5, per dimostrare il ruolo degli stessi nell’autoincompatibilità, ottenendo mutanti con acquisizione di nuove specificità o perdita delle stesse. La stessa tecnologia può essere applicata su specie coltivate per ottenere genotipi autofertili; nelle piante arboree questo approccio è stato utilizzato su melo [109]. La cultivar ‘Elstar’, di genotipo

1.9 Aspetti evolutivi legati al locus S

S_3/S_5 , è stata trasformata con un costrutto contenente il cDNA della RNasi S_3 sotto controllo del promotore costitutivo 35S di CaMV (vedi figura 1.7). L'integrazione di più copie all'interno del genoma ha prodotto linee trasformate autocompatibili, ovviamente per perdita della funzione stilare; le piante trasformate producono polline funzionale, normalmente rigettato all'interno del pistillo della cultivar 'Elstar', mentre non sono in grado di riconoscere e bloccare tubetti pollinici "self" portatori degli aplotipi S_3 e S_5 : è stato infatti verificato che la trascrizione costitutiva ad alti livelli del gene della RNasi S_3 risulta in un'inibizione post-trascrizionale dell'espressione sia della RNasi S_3 che di quella S_5 per il fenomeno del silenziamento genico mediato da RNA [110, 111].

1.9 Aspetti evolutivi legati al locus S

Si stima che il fenomeno dell'autoincompatibilità si sia evoluto indipendentemente in almeno 21 momenti diversi nella storia delle angiosperme [112]; l'estremo successo di questo tipo di meccanismo indica che, almeno per la maggior parte delle specie, l'allogamia conferisce un importante vantaggio in termini evolutivi rispetto all'autogamia. Questo vantaggio può essere legato in particolare al fenomeno della "depressione da inbreeding", che si manifesta come perdita di vigore all'aumentare del grado di omozigosi. In questo senso la comparsa di mutazioni che eliminano l'autoincompatibilità, pur offrendo un immediato vantaggio in termini di successo riproduttivo grazie all'ampliamento delle possibilità di incrocio compatibile, comporta uno svantaggio dovuto alla generazione di progenie da autofecondazione caratterizzata da livelli di omozigosi che aumentano ad ogni generazione: quindi, anche se la diffusione di alleli mutati autocompatibili è favorita all'interno di una popolazione, ciò non si traduce in un beneficio per la popolazione stessa, per la quale al contrario è vantaggioso il mantenimento dell'autoincompatibilità.

Nelle specie autoincompatibili in natura, inoltre, è favorito il mantenimento di un alto numero di alleli S diversi. Infatti le caratteristiche peculiari del locus S fanno sì che questo sia sottoposto ad una selezione frequenza-dipendente [113]:

- un allele raro ha maggiore possibilità di essere trasmesso, in quanto il polline portatore dello stesso allele potrà essere accettato dalla grande maggioranza delle piante; la sua frequenza all'interno della popolazione tenderà quindi ad aumentare.
- un allele molto frequente, al contrario, può essere trasmesso in misura minore,

INTRODUZIONE

essendo rigettato da molti individui della popolazione; la sua frequenza tenderà quindi a diminuire.

Per questo motivo l'eliminazione di un apotipo S funzionale risulta estremamente difficile; si stima che la selezione frequenza-dipendente al locus S possa mantenere un apotipo per tempi talmente lunghi da superare la durata dell'esistenza della stessa specie in cui l'apotipo si genera [114, 115]. Di conseguenza alleli presenti in un progenitore ancestrale possono in molti casi essere mantenuti nelle specie diverse da esso discendenti: questo fenomeno, detto evoluzione trans-specifica [116], fa sì che in molti casi alleli di specie diverse mostrino un'omologia molto più alta di quella riscontrabile all'interno della stessa specie [117]. Per lo stesso meccanismo per cui l'eliminazione di un apotipo vecchio è estremamente difficile, l'insorgenza di un apotipo nuovo è fortemente favorita: nel momento in cui si genera un allele con nuove specificità, infatti, la sua diffusione all'interno della popolazione è favorita proprio in virtù della sua iniziale rarità, e la sua frequenza può raggiungere quella degli altri alleli in un numero relativamente limitato di generazioni. L'effetto di questa pressione selettiva per la formazione di nuovi alleli è riscontrabile nella variabilità di sequenza fra i geni delle S-RNasi. L'analisi dei polimorfismi riscontrabili nelle sequenze nucleotidiche infatti evidenzia un rapporto tra sostituzioni non-sinonime Ka (che generano un cambio di aminoacido) e mutazioni silenti Ks (che non producono variazioni nella sequenza proteica) molto più alto che per gli altri geni. Valori elevati di Ka/Ks indicano che, contrariamente a quanto avviene per la maggioranza dei geni, per le S-RNasi le mutazioni non silenti sono favorite [118, 119, 120, 121, 122].

Il meccanismo attraverso cui si generano nuovi apotipi S non è chiaro; infatti l'acquisizione di una nuova specificità richiede che entrambi i determinanti cambino in maniera coordinata, in quanto la mutazione di uno solo di essi risulterebbe in un apotipo non funzionale. L'evoluzione del locus S si traduce cioè in una coevoluzione dei due determinanti, in cui alla mutazione di uno deve sempre corrispondere una mutazione dell'altro affinché l'autoincompatibilità gametofitica venga mantenuta.

Le ipotesi formulate su come ciò possa avvenire partono dalla considerazione del rapporto di reciprocità fra apotipi S. In condizioni normali, infatti, il rapporto è sempre reciproco: un'apotipo accetta come compatibili quegli apotipi dai quali è a sua volta accettato (vedi figura 1.8 A). Tuttavia in seguito ad una mutazione la reciprocità può essere interrotta; in questo caso la selezione tende sempre ad avvantaggiare l'apotipo il cui polline è più compatibile, ed il cui pistillo viceversa è più selettivo. Se per esempio il polline di A è accettato da B , ma quello di B non è accettato da A , l'apotipo A grazie alle maggiori possibilità di successo nella fecondazione

zione potrà diffondersi nella popolazione a discapito di B , che tenderà ad estinguersi gradualmente con il succedersi delle generazioni [123].

Un'ipotesi prevede la formazione di nuovi aploplotipi attraverso intermedi non funzionali, con una temporanea perdita dell'autoincompatibilità [124, 125]. Come schematizzato nella figura 1.8 B, questa perdita sarebbe dovuta ad una mutazione iniziale del determinante maschile, che non verrebbe più rigettato dal determinante femminile dello stesso aploplotipo. Per esempio una mutazione del determinante maschile di un aploplotipo A potrebbe produrre un nuovo aploplotipo A' autocompatibile, che risulterebbe quindi nettamente avvantaggiato rispetto ad A . La frequenza dell'allele mutato A' aumenterebbe rapidamente all'interno della popolazione², causando peraltro anche un aumento della depressione da inbreeding. Tuttavia una seconda mutazione in A' a carico del determinante femminile potrebbe consentire a quest'ultimo di acquisire specificità per l'allele mutato del determinante pollinico, perdendo di conseguenza la capacità di riconoscimento per l'allele originale. Il nuovo aploplotipo A'' , pur essendo autoincompatibile, sarebbe nettamente avvantaggiato rispetto ad A' : infatti fra i due non ci sarebbe reciprocità, essendo il determinante stilare di A'' in grado di rigettare il polline A' e non viceversa; A'' inoltre produrrebbe una progenie di maggior vigore, evitando la depressione da inbreeding. La frequenza di A'' andrebbe quindi crescendo nella popolazione a discapito di quella di A' , fino all'eliminazione di quest'ultimo. A questo punto l'autoincompatibilità sarebbe ripristinata nell'intera popolazione e A'' costituirebbe un nuovo aploplotipo S, funzionalmente distinto dall'aploplotipo A da cui si è originato.

È anche possibile che una nuova specificità al locus S si evolva senza intermedi autocompatibili [126]. È stato infatti osservato che possono esistere varianti diverse di uno stesso aploplotipo, originate da mutazioni casuali e non soggette a pressione selettiva, caratterizzate da determinanti maschili o femminili leggermente diversi che però presentano la stessa specificità di riconoscimento; nel caso coesistano due varianti A_1 e A_2 di uno stesso aploplotipo, il rapporto fra le due è reciproco: l'aploplotipo A_1 riconosce e rigetta A_2 e l'aploplotipo A_2 a sua volta riconosce e rigetta A_1 ; non c'è alcuna distinzione a livello funzionale fra le due varianti ed entrambe possono essere mantenute. Tuttavia una mutazione del determinante maschile potrebbe produrre un nuovo aploplotipo A'_1 il cui polline, pur continuando ad essere autoincompatibi-

²Si noti che una mutazione per la funzione femminile, al contrario, sarebbe sfavorita rispetto all'originale autoincompatibile. Il polline portatore dell'allele mutato continuerebbe infatti ad essere rigettato dal pistillo portatore dell'allele wild-type, mentre il polline portatore dell'allele wild-type sarebbe accettato dal pistillo portatore dell'allele mutato. In questo caso la mancanza di reciprocità fra i due aploplotipi tenderebbe ad eliminare la mutazione.

INTRODUZIONE

le su pistilli portatori di A_1 , potrebbe essere accettato da A_2 (vedi figura 1.8 C). Questo nuovo apotipo sarebbe avvantaggiato rispetto ai precedenti per la maggiore possibilità di accettazione del proprio polline. In maniera del tutto analoga una mutazione dello stesso genere in A_2 potrebbe produrre un nuovo apotipo A'_2 il cui polline potrebbe essere accettato dai pistilli portatori di A_1 . A questo punto A'_1 e A'_2 tenderebbero gradualmente a sostituire A_1 e A_2 e, essendo compatibili fra loro, risulterebbero due nuovi apotipi S funzionali e distinti.

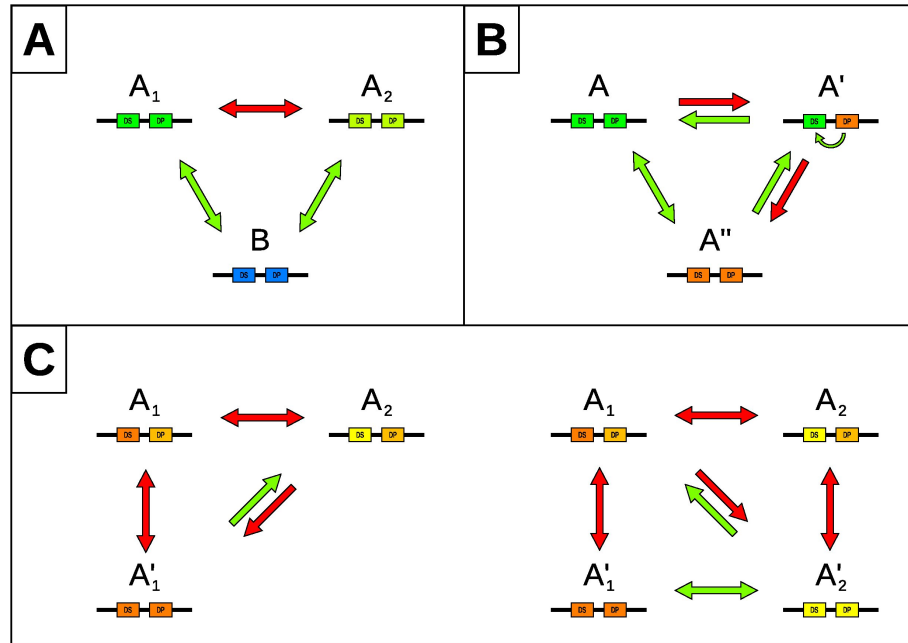


Figura 1.8: modelli teorici per la formazione di nuove specificità al locus S. Per ogni aplotipo è rappresentato schematicamente il locus, contenente i geni del determinante stilare (DS) e pollinico (DP); le frecce indicano il comportamento del polline nell’incrocio: frecce verdi indicano compatibilità, rosse rigetto. A) Normale situazione di reciprocità fra applotipi: il polline degli applotipi A è compatibile su B e viceversa; per uno stesso applotipo possono coesistere varianti leggermente differenti, A_1 e A_2 , che mantengono comunque la capacità di riconoscimento e rigetto reciproco. B) Formazione di un nuovo applotipo attraverso un intermedio autocompatibile. Una mutazione del determinante pollinico di A genera dapprima un applotipo A' il cui polline viene accettato sugli stili A (frecchia verde), mentre lo stilo mantiene la sua specificità originaria e continua quindi a rigettare il polline A (frecchia rossa); questa mancanza di reciprocità favorisce la diffusione di A' a discapito di A . In un secondo momento una mutazione nel determinante stilare di A' , che conferisce specificità di riconoscimento per il determinante pollinico mutato, genera un nuovo applotipo A'' in cui è ripristinata l’autoincompatibilità; questo applotipo rigetta sia il proprio polline, sia il polline di A' , mentre accetta quello di A . In questa situazione è A'' ad essere avvantaggiato rispetto ad A' , la cui frequenza nella popolazione tende a scendere fino ad estinguersi; A'' costituisce quindi un nuovo allele funzionalmente distinto da A . C) Formazione di un nuovo applotipo S senza interruzione dell’autoincompatibilità. Nell’ambito di uno stesso applotipo coesistono due varianti, A_1 e A_2 , dotate di determinanti stilari leggermente diversi; una prima mutazione di A_1 (parte sinistra della figura) genera un applotipo A'_1 il cui determinante pollinico mantiene la capacità di riconoscimento da parte del determinante stilare di A_1 , mentre risulta compatibile sugli stili di A_2 (frecchia verde). Analogamente una mutazione a carico di A_2 (parte destra) produce un applotipo A'_2 il cui polline risulta compatibile su A_1 e A'_1 . La mancanza di reciprocità fra A'_1 e A_2 e fra A'_2 e A_1 favorisce gli applotipi mutati, che risultando fra loro compatibili costituiscono due nuovi applotipi distinti.

INTRODUZIONE

Capitolo 2

Scopi della tesi

Lo studio dei determinanti genici dell'autoincompatibilità gametofitica mediata da RNasi ha portato negli ultimi vent'anni ad acquisire una notevole quantità di informazioni; tuttavia molti aspetti di questo meccanismo restano ancora da chiarire. Inoltre, la grande maggioranza delle attuali conoscenze molecolari deriva dallo studio di specie modello, su tutte le Solanaceae *Petunia* e *Nicotiana*: sebbene ci sia motivo di ritenere che le stesse informazioni siano in larghissima parte estensibili anche alle Rosaceae da frutto, i dati direttamente ottenuti sulle arboree sono molto più limitati; è inoltre possibile, come detto nel par. 1.6.2, che a fronte di un meccanismo ancestrale conservato nelle tre famiglie Solanaceae, Rosaceae e Plantaginaceae, si siano create nel corso della storia evolutiva di alcuni generi differenze riguardanti alcuni aspetti dell'attuazione dello stesso meccanismo.

Rispetto a specie erbacee come *Petunia* e *Nicotiana*, lo studio della biologia fiorale nelle specie arboree da frutto è complicato da una serie di fattori, primo fra tutti il lungo periodo di giovanilità durante il quale la pianta non fiorisce; è tuttavia necessario che questo tipo di ricerca prosegua, sia per verificare l'effettiva validità per queste specie dei modelli ottenuti nelle Solanaceae, sia per giungere ad una migliore comprensione di un fenomeno che, oltre all'indubbio interesse nel campo della biologia cellulare vegetale, ha sicuramente una sua importanza dal punto di vista culturale e quindi economico.

Questo studio si propone di ottenere attraverso analisi molecolari informazioni sul meccanismo dell'autoincompatibilità gametofitica in pero europeo (*Pyrus communis*), specie di grande importanza nell'agricoltura italiana, ma per la quale i dati sono ancora molto limitati. Fra le Rosaceae da frutto, infatti, la maggioranza dei dati ottenuti in questo ambito di ricerca deriva dal genere *Prunus*, mentre lo studio delle Pyrinae è più difficile sia per la maggiore complessità del genoma, di origine

allopoliploide, sia per l'estrema rarità di mutanti autocompatibili. Fra le Pyrinae inoltre le specie maggiormente studiate sono il melo (*Malus × domestica*) e il pero giapponese (*Pyrus pyrifolia*).

Lo studio procederà in due direzioni distinte: da un lato si cercherà di ottenere informazioni di sequenza sui geni F-box interni al locus S, che in pero europeo ancora non sono disponibili, e dall'altro si lavorerà all'identificazione di fattori esterni al locus S coinvolti nelle reazioni di rigetto o accettazione del tubetto pollinico.

2.1 Caratterizzazione dei geni S-locus F-Box

Il punto di partenza per questa parte del lavoro sarà fornito dalle sequenze dei geni SFBB identificate da Sassa *et al.* 2007 [52] in melo e pero giapponese, che costituiscono le prime sequenze di F-box nelle Pyrinae per le quali è stata dimostrata l'appartenenza al locus S. Successivamente a questo lavoro sono state clonate sequenze di PpSFBB γ da molte varietà di pero giapponese, e sulle stesse è stato messo a punto un metodo di genotipizzazione S [127]; non sono invece ancora disponibili sequenze di pero europeo.

L'elevata sintenia fra i genomi di queste specie è tale da garantire nella maggioranza dei casi il funzionamento di primer eterologhi; è inoltre da considerare il fenomeno dell'evoluzione trans-specifica, che come detto nel par. 1.9, fa sì che gli aplotipi S possano mostrare un'elevatissimo grado di conservazione anche successivamente alla divergenza delle specie. Questo fenomeno emerge chiaramente dall'analisi delle sequenze delle S-RNasi delle Pyrinae ed è plausibile che si manifesti in misura analoga anche per i geni S-locus F-box.

Tuttavia dal lavoro di Sassa *et al.* emerge un interrogativo a tale proposito; sono infatti stati ottenuti dati contrastanti per melo e pero giapponese: non solo per il numero di geni SFBB, due nella prima specie e tre nella seconda, ma anche per le caratteristiche degli stessi. I geni SFBB di melo infatti mostrano maggiore similitudine fra geni dello stesso aplotipo, mentre quelli di pero giapponese permettono di individuare chiaramente i tre gruppi α , β e γ altamente conservati fra aplotipi diversi.

Questo farebbe supporre una differenza nell'organizzazione del locus S fra le due specie, differenza che non era attesa sulla base delle sequenze delle S-RNasi, e che aprirebbe un ulteriore interrogativo sulla collocazione del pero europeo. Quest'ultima specie infatti appartiene al genere *Pyrus* come il pero giapponese, e con esso è perfettamente compatibile dando ibridi fertili; tuttavia il genoma di pero europeo presenta

2.2 Ricerca di fattori esterni al locus S

anche una forte similitudine con quello di melo, tale da consentire il trasferimento di un grande numero di marcatori SSR fra le due specie e la valutazione della colinearità fra i due genomi [128].

Al fine di investigare sui rapporti fra le tre specie per quanto riguarda la struttura del locus S, nelle analisi saranno inseriti genotipi di melo e pero giapponese, oltre a quelli di pero europeo. Si cercherà inoltre di scegliere coppie di genotipi di specie diverse aventi S-RNasi molto simili, per poter valutare se il fenomeno dell’evoluzione trans-specifica si riflette anche sui geni S-locus F-Box.

Dal punto di vista operativo, il lavoro partirà dalla realizzazione di primer sulle sequenze dei geni SFBB sia di melo che di pero giapponese; i prodotti amplificati dai genotipi delle tre specie saranno clonati e sequenziati, e se ne verificherà la co-segregazione con le S-RNasi, al fine di dimostrarne l’associazione al locus S. Per quanto riguarda il pero europeo, in particolare, si procederà al mappaggio degli stessi nella popolazione da incrocio ‘Abate Féte’ × ‘Max Red Bartlett’ per la quale è già disponibile una mappa genetica [128, 129, 130, 131].

2.2 Ricerca di fattori esterni al locus S

In parallelo alla ricerca e caratterizzazione dei determinanti pollinici, questo studio si propone come obiettivo l’identificazione di geni coinvolti nell’attuazione della risposta cellulare all’incompatibilità. A tale scopo si è scelto di procedere con la tecnica della cDNA AFLP [132, 133, 134].

L’analisi partirà da impollinazioni artificiali secondo tutte le combinazioni d’incrocio possibili: sarà utilizzato polline “self” (autoimpollinazione), incompatibile, semicompatibile e totalmente compatibile; gli stili saranno campionati al momento dell’impollinazione e successivamente ad intervalli regolari fino alle 48 ore dall’impollinazione. Verranno poi estratti gli RNA totali e si procederà alla retrotrascrizione del cDNA doppio filamento. Questo sarà utilizzato come da protocollo AFLP, con i passaggi di restrizione, ligazione ad oligonucleotidi adattatori, preamplificazione ed amplificazione.

L’obiettivo è riuscire a visualizzare profili polimorfici fra le diverse tesi, per poter identificare frammenti genici la cui trascrizione è modulata specificamente in risposta alla reazione compatibile o incompatibile. Tali frammenti saranno clonati e sequenziati per poter ottenere informazioni sulla natura di questi geni e formulare ipotesi sul loro possibile coinvolgimento in questo meccanismo.

2.2.1 Sequenziamento del gene della transglutaminasi

Nell'ambito dei fattori esterni al locus S, come spiegato nel par. 1.7.1, la transglutaminasi potrebbe svolgere un ruolo particolarmente significativo. Tuttavia il gene codificante per questo enzima in pero europeo non è ancora stato identificato e caratterizzato.

La prima TGasi vegetale ad essere caratterizzata a livello genico è stata quella di *Arabidopsis thaliana*, codificata dal gene *AtPng1p* [135]. Non sono note invece sequenze di TGasi nelle Rosaceae; tuttavia in banche dati online di ESTs (*Expressed Sequence Tags*) si possono trovare frammenti di geni espressi omologhi alla sequenza di *A. thaliana*.

Fra questi, in particolare, esistono due ESTs di melo¹ che si allineano a porzioni diverse della sequenza di *AtPng1p*. L'allineamento fra queste sequenze e il gene di *A. thaliana* sarà il punto di partenza per la realizzazione di primer eterologhi, disegnati sulle regioni maggiormente conservate, con i quali si tenterà di clonare da DNA genomico di pero europeo frammenti dello stesso gene. Sulla base delle informazioni disponibili, si tenterà poi di clonare il cDNA full-length; a tale scopo sarà utilizzato RNA estratto da stili impollinati in combinazione incompatibile, nei quali è stato dimostrato un'aumento dell'attività TGasica che fa supporre un buon livello di espressione dello stesso gene.

¹Sequenze MD4C477240 e MD4C271570 presenti nel “Tree Fruit Technology - Apple Database” della Michigan State University, <http://genomics.msu.edu/fruitdb/analyses/database.shtml>

Capitolo 3

Materiali e metodi

3.1 Materiale vegetale

Per il campionamento di materiale vegetale (foglie, stili, frutti) sono state utilizzate varietà di pero europeo, pero giapponese e melo allevate nei campi della Stazione Sperimentale del Dipartimento di Colture Arboree, Università di Bologna, in località Cadriano (BO), o presso i campi del CITA (Centro de Investigación y Tecnología Agroalimentaria de Aragón) in località Montañana, Saragozza (Spagna).

Per la ricerca dei geni F-box del locus S sono stati scelti i seguenti genotipi:

- ‘Abate Fétel’ (genotipo S:¹ PcS₁₀₄/PcS₁₀₅) e ‘Max Red Bartlett’ (PcS₁₀₁/PcS₁₀₂) di pero europeo, per la disponibilità di una mappa molecolare e della relativa popolazione derivante dal loro incrocio [128, 129, 130, 131], utile per verificare la segregazione degli alleli di geni F-box individuati nel corso del lavoro;
- le varietà ‘Conseiller a La Coeur’ di pero europeo (PcS₁₀₃/PcS₁₂₃) e ‘Fuji’ di melo (MdS₁/MdS₉), per l’elevata omologia fra le S-RNasi degli alleli PcS₁₂₃ e MdS₉, oltre alla disponibilità delle sequenze di geni F-box appartenenti all’aplotipo MdS₉ [52];
- le varietà ‘Wilder’ di pero europeo (PcS₁₀₁/PcS₁₁₁) e ‘Kumoi’ di pero giapponese (PpS₁/PpS₃), per l’elevata omologia fra le S-RNasi degli alleli PcS₁₁₁ e PpS₁; è stato inoltre scelto il genotipo ‘Chojuro’ di pero giapponese (PpS₂/PpS₃) per la disponibilità di una popolazione di embrioni ibridi ottenuti dall’incrocio con ‘Wilder’;

¹nell’indicazione dei genotipi S per chiarezza ogni applotipo sarà preceduto dalla sigla “Pc” (*Pyrus communis*) se appartenente a pero europeo, “Pp” (*Pyrus pyrifolia*) se appartenente a pero giapponese e “Md” (*Malus × domestica*) se appartenente a melo.

MATERIALI E METODI

- le varietà ‘Packham’s Triumph’ di pero europeo (PcS₁₀₁/PcS₁₀₃) e ‘McIntosh’ di melo (MdS₁₀/MdS₂₅), per l’elevata omologia fra le S-RNasi degli alleli PcS₁₀₃ e MdS₂₅; inoltre la presenza dei due aplotipi PcS₁₀₁ e PcS₁₀₃ nella varietà ‘Packham’s Triumph’ permette un controllo incrociato con le sequenze ottenute da ‘Max Red Bartlett’, ‘Wilder’ (entrambe portatrici di PcS₁₀₁) e ‘Conseiller a La Coeur’ (portatrice di PcS₁₀₃).

Per gli incroci necessari per la cDNA-AFLP si è deciso di procedere ad impollinazioni artificiali sulla varietà ‘Abate Fétel’, secondo quattro combinazioni:

- polline “self”, che innesca la reazione di autoincompatibilità;
- polline della varietà ‘Decana del Comizio’ (PcS₁₀₄/PcS₁₀₅), incompatibile;
- polline della varietà ‘Cascade’ (PcS₁₀₁/PcS₁₀₄), compatibile al 50%;
- polline della varietà ‘Conference’ (PcS₁₀₈/PcS₁₁₉), compatibile al 100%.

Per la ricerca del gene della transglutaminasi, infine, si è deciso di operare sui genotipi ‘Abate Fétel’ e ‘William’.

3.2 Estrazione di DNA

Per l'estrazione di DNA sono state utilizzate foglie giovani da germogli in attiva crescita; queste sono state congelate in azoto liquido e conservate a -80°C oppure liofilizzate. L'estrazione è stata condotta su campioni da 0,1-0,5 grammi di foglie fresche macinate in azoto liquido, oppure su 5 mg di foglie liofilizzate macinate con aggiunta di carburo di silicio ed agitazione tramite Mixer Mill a 29 colpi/minuto per 3 minuti.

Al campione così polverizzato sono stati aggiunti 900 μ l di buffer di estrazione CTAB preriscaldato, la cui composizione è riportata nella tabella 3.1; le provette sono state vortexate e lasciate in incubazione a 60°C per 30 minuti. Successivamente sono stati aggiunti 900 μ l di diclorometano/alcool isoamilico 24:1; il campione è stato emulsionato agitando dolcemente per 10 minuti e centrifugato a 5000 rpm per 5 minuti. Il soprannatante è stato trasferito in un tubo pulito e si è ripetuta l'estrazione con diclorometano/isoamilico e centrifugazione. Al soprannatante è stato quindi aggiunto un uguale volume di isopropanolo freddo (-20°C) per far precipitare l'acido nucleico; il campione è stato centrifugato a 13000 rpm per 5 minuti ed il soprannatante è stato eliminato. Il pellet di DNA è stato lavato con 500 μ l di washing

3.2 Estrazione di DNA

buffer per due volte, quindi è stato seccato all'aria e risospeso in 100 μl di acqua bidistillata sterile.

CTAB buffer	
CTAB (Sigma)	2 %
NaCl	1,4 M
Tris-HCl pH8	100 mM
EDTA	20 mM
PVP-40	2 %
β -mercaptoetanolo	1 %

Washing buffer	
Etanolo	76 %
Ammonio acetato	10 mM

Tabella 3.1: soluzioni per l'estrazione del DNA.

3.2.1 Estrazione da embrioni

Gli embrioni sono stati prelevati dai semi avendo cura di eliminare il tegumento esterno, il cui tessuto è di origine materna; sono stati macinati direttamente in eppendorf con appositi pestelli, insieme a 400 μl di CTAB buffer; si sono poi aggiunti altri 400 μl di buffer e, dopo aver miscelato bene, i campioni sono stati incubati a 60°C per 30 minuti. Sono stati effettuati due passaggi di estrazione con 800 μl di fenolo:cloroformio:alcool isoamilico 25:24:1 seguiti da centrifugazione a 5000 rpm per 5 minuti e prelevamento del soprannutante; a questo è stato poi aggiunto un uguale volume di isopropanolo freddo per la precipitazione del DNA ed il campione è stato centrifugato per 5 minuti a 13000 rpm. Il pellet è stato lavato con 800 μl di washing buffer incubando a temperatura ambiente per almeno 20 minuti, poi si è lasciato seccare brevemente all'aria e si è risospeso in 200 μl di acqua bidistillata sterile.

3.2.2 Quantificazione e diluizione

La concentrazione e la purezza del DNA estratto sono state misurate tramite spettrofotometro NanoDrop ND-1000 UV-Vis. Caricando 1 μl di DNA lo strumento fornisce sia la concentrazione del campione, espressa in ng/ μl , sia i rapporti di assorbanza 260/230 e 260/280 nm; questi ultimi parametri permettono di stimare la purezza del DNA da vari contaminanti quali proteine, polisaccaridi e fenoli: un valore prossimo

MATERIALI E METODI

o superiore a 2 per entrambi è indice di una purezza soddisfacente per il successivo impiego del campione in PCR.

Il DNA è stato quindi diluito per tutti i campioni ad una concentrazione standard di 50 ng/ μ l; nel caso del DNA di embrioni, una volta testata la stabilità della resa del processo di estrazione, non si è ritenuto necessario provvedere alla diluizione in quanto la concentrazione ottenuta risulta già idonea all'impiego in PCR.

3.3 PCR

L'amplificazione di frammenti di DNA tramite PCR (*Polymerase Chain Reaction*) è stata condotta utilizzando *Taq*-DNA polimerasi e relativi reagenti delle ditte Fisher e Invitrogen. La miscela di reazione standard è riportata nella tabella 3.2.

Miscela PCR standard	
Acqua bidistillata sterile	15,8 μ l
Buffer di reazione 10X	2 μ l
MgCl ₂ 25 mM	0,5 μ l
dNTPs (10 mM ognuno)	0,2 μ l
Primer Forward 10 μ M	0,2 μ l
Primer Reverse 10 μ M	0,2 μ l
<i>Taq</i> -DNA polimerasi 5U/ μ l	0,1 μ l
DNA 50 ng/ μ l	1 μ l
Volume finale	20 μ l

Tabella 3.2: miscela di reazione PCR standard su un volume finale di 20 μ l.

Il protocollo di amplificazione, schematizzato nella tabella 3.3, è stato di volta in volta adattato al frammento da amplificare; i principali parametri tenuti in considerazione sono stati:

- la temperatura di annealing, fortemente dipendente dalle sequenze dei primer utilizzati; temperature troppo alte infatti non consentono un efficiente appaiamento degli stessi sul template, risultando in amplificazioni deboli o assenti, mentre temperature troppo basse possono risultare nell'amplificazione di frammenti aspecifici.
- la durata della fase di estensione: generalmente è sufficiente un minuto per l'amplificazione di frammenti entro o poco oltre le 1000 bp, mentre per frammenti di dimensione maggiore è stato necessario impostare tempi più lunghi.

- il numero di cicli; un aumento rispetto al valore standard di 32 cicli, fino a 36-40, può in alcuni casi migliorare la resa, tuttavia aumenta il rischio che durante l'amplificazione si generino frammenti ricombinanti, in particolare quando si amplificano due alleli di uno stesso gene; in alcuni casi è quindi stato impostato un numero di cicli inferiore allo standard, che garantisce una resa sufficiente minimizzando al contempo la formazione di ricombinanti.

Protocollo PCR standard			
Fase	Temp.	Durata	N. cicli
Denaturazione iniziale	94°C	3'	1
Denaturazione	94°C	30"	
Annealing	58°C	45"	32
Estensione	72°C	1'	
Estensione finale	72°C	10'	1

Tabella 3.3: protocollo standard d'amplificazione.

3.3.1 Realizzazione dei primer

I primer sono stati realizzati sulla base delle informazioni di sequenza rinvenute in banche dati online per i geni di interesse, oppure sulle sequenze ottenute nel corso del lavoro. Le sequenze dei primer sono state testate utilizzando il programma Primer3 [136], disponibile online all'indirizzo:

http://frodo.wi.mit.edu/cgi-bin/primer3/primer3_www.cgi

Si è verificato che le temperature di melting fossero il più possibile simili per le coppie forward/reverse da utilizzare congiuntamente; si è generalmente considerata come ottimale una temperatura di annealing compresa fra 58 e 60°C.

3.3.2 Elettroforesi su gel d'agarosio

Per la separazione di frammenti di DNA di dimensione superiore alle 300 bp è stata utilizzata l'elettroforesi su gel d'agarosio. I campioni sono stati preparati aggiungendo 0,2 volumi di Blue Dye (vedi tabella 3.4). Il gel è stato preparato sciogliendo l'agarosio in polvere in buffer TAE 1X; sono state utilizzate concentrazioni di agarosio pari ad 1, 1,5 o 2% w/v a seconda del peso molecolare dei frammenti da visualizzare (concentrazioni maggiori per frammenti più piccoli). Insieme ai campioni è stato caricato un marcatore di peso molecolare; la corsa elettroforetica è stata condotta

MATERIALI E METODI

a 100/120 Volt per tempi compresi fra 45 minuti e 2 ore, a seconda delle esigenze di separazione. Il gel è stato colorato per immersione in una soluzione contenente il fluoroforo intercalante Etidio bromuro per 15/20 minuti, seguita da rilevazione su Kodak Image Station 440 CK.

TAE buffer 50X	
Tris Base	242 g
Acido acetico glaciale	57,1 ml
EDTA 0,5 M pH 8	100 ml
Acqua distillata	a vol. 1 l

Blue Dye	
TAE 50X	2 ml
Ficoll 400	2,5 g
Blu di bromofenolo	25 mg
Acqua distillata	a vol. 20 ml

Soluzione colorante	
Etidio bromuro 10 mg/ml	100 μ l
Acqua distillata	1 l

Tabella 3.4: soluzioni per l'elettroforesi su gel d'agarosio.

3.3.3 Elettroforesi su gel di poliacrilamide

L'elettroforesi su gel di poliacrilamide è stata utilizzata per la separazione di frammenti di dimensione inferiore alle 300 bp, per i quali la risoluzione dei gel di agarosio non è sufficiente.

Per questo tipo di elettroforesi è stato utilizzato il buffer TBE (vedi tabella 3.5); il gel viene preparato utilizzando un buffer contenente TBE e urea, per creare condizioni denaturanti, al quale vengono aggiunte acrilamide e bisacrilamide, il catalizzatore Temed ed il polimerizzante ammonio persolfato (APS) secondo la ricetta riportata nella tabella 3.5. Il gel viene colato fra due lastre di vetro appositamente trattate e polimerizza in un paio d'ore, al termine delle quali può essere montato nella camera elettroforetica con il buffer TBE 1X; prima dei campioni viene caricata una soluzione di pre-corsa, costituita da acqua e denaturante in parti uguali, e viene fatta partire la corsa in modo da riscaldare il gel. I campioni vengono preparati aggiungendo 0,5/1

3.3 PCR

volumi di denaturante, riscaldati a 95°C per 5/10 minuti, poi trasferiti rapidamente in ghiaccio. Quando il gel ha raggiunto una temperatura di circa 45°C i campioni vengono caricati, insieme ad un marcatore di peso molecolare, e la corsa viene fatta partire a 65 Watt; la durata varia da 45 minuti a 2 ore a seconda della dimensione dei frammenti da separare.

TBE buffer 5X

Tris Base	54 g
Acido borico	27,5 g
EDTA 0,5 M pH 8	20 ml
Acqua distillata	a vol. 1 l

TBE - Urea

Urea	210 g
TBE 5X	100 ml
Acqua distillata	a vol. 500 ml

Gel di poliacrilamide

TBE - Urea	55 ml
Liquacril (40% acrilamide, MP Biomedicals)	8,5 ml
Liquabis (2% bis-acrilamide, MP Biomedicals)	8,5 ml
Temed (N,N,N',N'-Tetramethyl-Ethylenediamine, Sigma)	45 μ l
APS (Ammonio persolfato 10%)	300 μ l

Denaturante

EDTA 0,5 M pH 8	0,5 ml
Blu di bromofenolo	25 mg
Xilene cianolo	25 mg
Formamide 98%	a vol. 25 ml

Tabella 3.5: soluzioni per l'elettroforesi su gel di poliacrilamide.

La colorazione avviene tramite silver staining con nitrato d'argento. Il gel viene

MATERIALI E METODI

prima lasciato mezz'ora in una soluzione fissativa (Fix solution, tabella 3.6; seguono due lavaggi da 5 minuti in acqua distillata, poi il gel viene trasferito nella staining solution, contenente nitrato d'argento, per altri 30 minuti. Lo sviluppo, preceduto da un ulteriore rapidissimo lavaggio in acqua distillata per pochi secondi, avviene in due passaggi in developing solution; quando la visibilità delle bande sul gel è ottimale, la reazione viene stoppata aggiungendo alla developing solution la fix precedentemente utilizzata. Il gel viene poi lavato in acqua e seccato all'aria, per poter essere acquisito tramite un normale scanner.

Fix solution	
Acido acetico 10% v/v in acqua distillata	
Staining solution	
AgNO ₃	1 g
Formaldeide 37%	1,5 ml
Acqua bidistillata	a vol. 1 l
Developing solution	
Na ₂ CO ₃	60 g
Formaldeide 37%	3 ml
Sodio tiosolfato 1%	400 μ l
Acqua bidistillata	a vol. 2 l

Tabella 3.6: soluzioni per la colorazione silver staining dei gel di poliacrilamide.

3.3.4 Genotipizzazione al locus S

Per determinare la composizione allelica al locus S degli individui appartenenti alle progenie segreganti, sono stati utilizzati primer (riportati nella tabella 3.7) disegnati sulle regioni maggiormente conservate del gene della S-RNasi, a monte e a valle dell'unico introne presente. La dimensione altamente variabile di quest'ultimo infatti permette di ottenere amplificati chiaramente distinguibili per gli alleli analizzati in elettroforesi su gel d'agarosio, consentendo quindi di determinare la composizione allelica con un semplice marcitore di tipo SCAR (*Sequence Charachterized Amplified Regions*, vedi figura 3.1).

SRNase_for	GTTCACGGWTTRTGGCCTTC
SRNase_rev	TACGTTSGGCCAAATAATTWCCA

Tabella 3.7: primer utilizzati per la genotipizzazione al locus S.

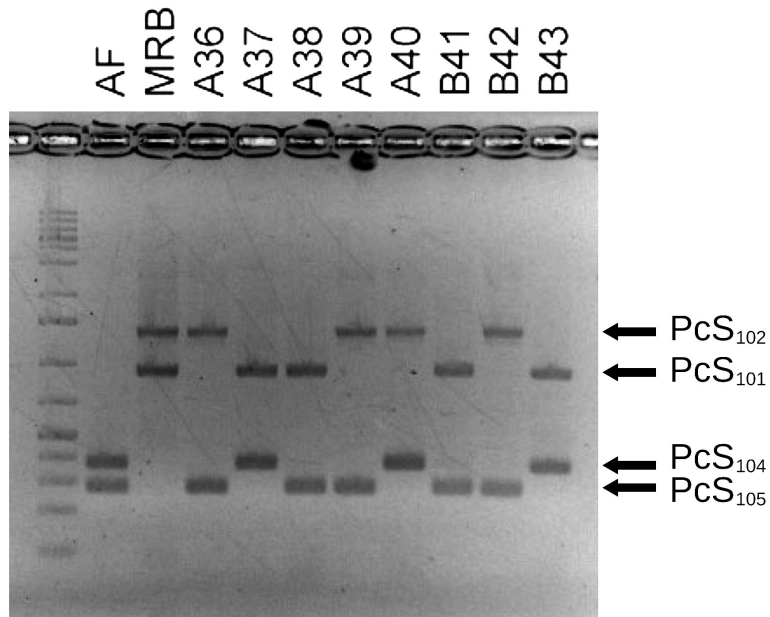


Figura 3.1: verifica della composizione allelica al locus S attraverso l'amplificazione di una porzione del gene della S-RNasi; sono presenti i genotipi ‘Abate Fétel’ (AF), ‘Max Red Bartlett’ (MRB) e 8 individui della progenie.

3.3.5 Marcatori CAPS

Per distinguere alleli diversi che producono amplificati della stessa dimensione si è proceduto ad un taglio con enzimi di restrizione, che possono produrre profili differenti nel caso i due alleli abbiano una diversa distribuzione dei siti di taglio lungo il frammento amplificato. Si parla in questo caso di marcatori CAPS (*Cleavage Amplified Polymorphic Sequence*). Questi sono stati utilizzati sia in fase di clonaggio, per tentare di distinguere gli alleli diversi appartenenti alla stessa cultivar, sia in fase di verifica della segregazione dei geni SFBB identificati; in quest'ultimo caso, avendo già a disposizione le informazioni di sequenza, è stata prima condotta un'analisi *in silico* della distribuzione dei siti di restrizione, per trovare l'enzima che consentisse la migliore distinzione degli alleli in questione.

In totale sono stati utilizzati cinque diversi enzimi di restrizione di tipo “frequent cutter”, che riconoscono cioè siti bersaglio di 4 bp, ed un “6-cutter”, riassunti nella

MATERIALI E METODI

tabella 3.8. Gli enzimi utilizzati sono della ditta Fermentas ed ognuno è dotato di un appropriato buffer di reazione a concentrazione 10X; la restrizione è avvenuta su 10 μl di prodotto PCR, con 1 unità di enzima ed il buffer alla concentrazione finale di 1X, per la durata di circa 90-120 minuti alla temperatura appropriata per ogni enzima.

Enzima	Sito di taglio	Temperatura
<i>Tru</i> II (<i>Mse</i> I)	5' - T/T A A - 3'	65°C
<i>Taq</i> I	5' - T/C G A - 3'	65°C
<i>Alu</i> I	5' - A G/C T - 3'	37°C
<i>Rsa</i> I	5' - G T/A C - 3'	37°C
<i>Bsu</i> RI	5' - G G/C C - 3'	37°C
<i>Eco</i> RI	5' - G/A A T T C - 3'	37°C

Tabella 3.8: enzimi di restrizione utilizzati per la distinzione degli alleli; i siti di taglio sono sequenze palindromiche di quattro bp.

3.4 Clonaggio

3.4.1 Terreni di coltura

Il terreno comunemente usato per la coltura di *Escherichia coli* è quello sviluppato da Luria e Bertani negli anni '50 (LB broth); altri tipi di terreno, come il SOC o il 2XYT, sono stati impiegati in fasi particolari come la preparazione delle cellule competenti o la trasformazione. La composizione dei diversi mezzi di coltura è riportata nella tabella 3.9; la preparazione è avvenuta sciogliendo i vari componenti in acqua distillata, aggiustando il pH al valore di 7.0 e sterilizzando in autoclave a 120°C per 20 minuti. I composti termolabili sono invece stati sterilizzati per filtrazione ed aggiunti dopo il passaggio in autoclave ed il raffreddamento del mezzo. Per la selezione dei batteri trasformati con plasmidi che conferiscono resistenza ad ampicillina, l'antibiotico è stato aggiunto al mezzo alla concentrazione finale di 50 mg/l.

Per la preparazione di terreno solido è stato aggiunto agar nella misura di 15 g/l prima della sterilizzazione in autoclave; quando richiesto, l'ampicillina è stata aggiunta al mezzo quando la temperatura è scesa sotto i 50°C. Il terreno è stato quindi versato nelle piastre petri e lasciato solidificare.

Per la selezione delle colonie trasformate (vedi par. 3.4.5), alle piastre contenenti

3.4 Clonaggio

LB - ampicillina sono stati aggiunti 4 μ l di una soluzione di IPTG (Isopropil β -D-1-tiogalattopiranoside) 24 mg/ml in acqua e 40 μ l di X-Gal 20 mg/ml in N,N'-dimetilformamide; questi sono stati distribuiti uniformemente sulla superficie della piastra utilizzando uno spreader.

Terreno LB	
Bacto-Tryptone	10 g/l
Bacto-Yeast extract	5 g/l
NaCl	10 g/l

Terreno 2XYT	
Bacto-Tryptone	16 g/l
Bacto-Yeast extract	10 g/l
NaCl	5 g/l

Terreno SOC	
Bacto-Tryptone	20 g/l
Bacto-Yeast extract	5 g/l
NaCl	10 mM
KCl	2,5 mM
MgCl ₂	20 mM
Glucosio	20 mM

Tabella 3.9: terreni di coltura batterica utilizzati nelle diverse fasi del clonaggio.

3.4.2 Cellule competenti

Sono state utilizzate cellule di *Escherichia coli* del ceppo DH5 α , privo di plasmidi e quindi idoneo alla trasformazione con vettori contenenti geni di antibiotico-resistenza.

Le cellule sono state piastrate su terreno LB e lasciate crescere a 37°C overnight; si è quindi prelevata una singola colonia ed è stata inoculata in 5 ml di LB liquido; questo è stato incubato in vigorosa agitazione a 37°C overnight. 1 ml della coltura batterica a confluenza è quindi stato inoculato in 100 ml di terreno 2XYT, posto anche in questo caso in vigorosa agitazione a 37°C, fino al raggiungimento della concentrazione ottimale; questa è stata valutata misurando l'assorbanza a 550 nm: quando la densità ottica ha raggiunto il valore di 0,6 la crescita è stata fermata trasferendo la coltura in ghiaccio per 10 minuti. Sono quindi state prelevate quattro

MATERIALI E METODI

aliquote da 10 ml, trasferite in tubi da 13 ml, e centrifugate a 5000 rpm per 10 minuti a 4°C. Il terreno è stato eliminato ed in ogni tubo le cellule sono state delicatamente risospese in 5 ml di una soluzione di cloruro di calcio 100 mM sterile. Si è lasciato in incubazione in ghiaccio per 20 minuti, al termine dei quali i tubi sono stati nuovamente centrifugati a 5000 rpm per 10 minuti a 4°C. Il pellet è quindi stato risospeso in 1 ml di cloruro di calcio 100 mM, al quale successivamente sono stati aggiunti 275 μ l di glicerolo 60% v/v in acqua. Le cellule sono infine state distribuite in aliquote di 200 μ l in tubi da 1,5 ml con tappo a vite e conservate a -80°C fino al momento dell'utilizzo.

3.4.3 Amplificazione con DNA polimerasi High-Fidelity

La *Taq*-DNA polimerasi è l'enzima utilizzato per tutte le PCR di routine; per alcune applicazioni, fra cui il clonaggio di geni per il successivo sequenziamento, è tuttavia consigliabile utilizzare altri enzimi caratterizzati da un tasso di errore molto inferiore a quello della *Taq*. In questo lavoro sono state utilizzate due DNA polimerasi ad alta fedeltà, fornite dalle ditte Takara e Finnzyme. La maggiore fedeltà di questi enzimi deriva dall'attività "proofreading", che consente agli stessi di agire come esonucleasi in direzione 3'-5' eliminando eventuali basi erroneamente incorporate che generano un appaiamento imperfetto, per poi riprendere la sintesi dello stesso filamento. Questo tipo di enzima richiede un'ottimizzazione del protocollo di amplificazione rispetto agli standard riportati nelle tabelle 3.2 e 3.3, in particolare per quanto riguarda il tempo di estensione (che generalmente deve essere di almeno 1 minuto per ogni 1000 bp di lunghezza dell'amplicone); le modifiche al protocollo sono state condotte seguendo le indicazioni fornite dai produttori.

A causa della loro attività 3'-5' exonucleasica queste DNA polimerasi generano frammenti blunt-end, a differenza della *Taq* che invece incorpora una base di adenina al 3' del filamento sintetizzato; poiché questa base sporgente è necessaria per il clonaggio in vettori di tipo pGEM-T, deve essere aggiunta successivamente alla PCR.

Per l'aggiunta di adenina al 3' (A-tailing) i frammenti PCR devono prima di tutto essere purificati. Al prodotto PCR è stato aggiunto un uguale volume di fenolo:cloroformio:alcool isoamilico 25:24:1 ed è stato centrifugato a 5000 rpm per 5 minuti; il sopraventante è stato trasferito in un tubo da 200 μ l pulito e si è aggiunto un volume di isopropanolo freddo per precipitare il frammento di DNA. Dopo centrifugazione alla massima velocità per 10 minuti, il pellet è stato delicatamente lavato

3.4 Clonaggio

con 100 μl di washing buffer (vedi tabella 3.1) e seccato all'aria, quindi risospeso in 10 μl di acqua bidistillata sterile.

La reazione di A-tailing è stata condotta aggiungendo la *Taq*-DNA polimerasi, con il proprio buffer, alla miscela contenente il prodotto PCR purificato e dATP secondo le concentrazioni riassunte nella tabella 3.10. Dopo aver miscelato bene, la reazione è stata incubata a 72°C per 20 minuti; il prodotto così ottenuto è utilizzabile nella reazione di ligazione al plasmide pGEM-T.

A-tailing	
Prodotto PCR purificato	10 μl
Buffer 10X	1,5 μl
ATP 10 mM	0,75 μl
<i>Taq</i> -DNA polimerasi 5U/ μl	0,2 μl
Acqua bidistillata sterile	2,55 μl
Volume finale	15 μl

Tabella 3.10: miscela di reazione per l'addizione della base di adenina al 3'.

3.4.4 Ligasi

Per i clonaggi è stato utilizzato il kit pGEM-T Easy Vector System della ditta Promega, il cui vettore è riportato nella figura 3.2. La reazione è stata condotta su un volume finale di 5 μl , come riportato nella tabella 3.11, ed incubata overnight a 4°C.

Ligasi	
Prodotto PCR	1,5 μl
pGEM-T 50 ng/ μl	0,5 μl
Buffer 2X	2,5 μl
T4 DNA ligasi 3U/ μl	0,5 μl
Volume finale	5 μl

Tabella 3.11: miscela di reazione per la ligazione dell'inserto al vettore di clonaggio.

3.4.5 Trasformazione

La trasformazione è avvenuta su cellule del ceppo DH5 α di *Escherichia coli* rese chimicamente competenti secondo il protocollo descritto nel par. 3.4.2.

MATERIALI E METODI

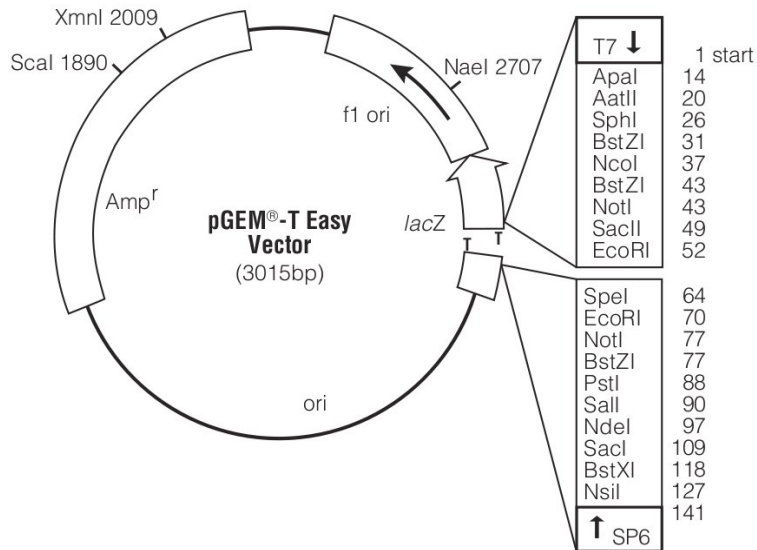


Figura 3.2: mappa del vettore di clonaggio pGEM-T Easy.

Le cellule competenti, conservate a -80°C, sono state fatte scongelare lentamente in ghiaccio; 100 μ l della sospensione cellulare sono quindi stati aggiunti a 2,5 μ l di miscela di ligasi in un tubo sterile da 2 ml e si è lasciato in incubazione per 30 minuti in ghiaccio. Per indurre uno shock termico tale da consentire alle cellule di incorporare il plasmide, la provetta è stata immersa in bagno termostatico a 42°C per 45 secondi e poi immediatamente riportata in ghiaccio. Si sono quindi aggiunti 900 μ l di mezzo SOC ed i tubi sono stati incubati a 37°C in vigorosa agitazione per 60/80 minuti, fino al raggiungimento di una crescita soddisfacente. Due aliquote di 90 e 180 μ l della sospensione cellulare sono state indipendentemente piastrate su petri con terreno LB addizionato di ampicillina, X-gal e IPTG, ed incubate a 37°C overnight.

La presenza sul plasmide del gene Amp^r consente la selezione positiva delle cellule trasformate in presenza di ampicillina. Inoltre il sito di inserzione del frammento clonato interrompe la sequenza del gene LacZ per la β -galattosidasi, la cui trascrizione è indotta dall'IPTG, analogo del galattosio; in presenza dell'enzima funzionale, cioè nelle cellule che hanno acquisito il plasmide privo dell'inserto, l'X-gal viene convertito in un composto di colore blu. Pertanto le colonie contenenti il plasmide ricombinante possono essere distinte in quanto risultano bianche, mentre quelle contenenti il plasmide privo dell'inserto risultano blu.

Le colonie positive sono state prelevate e singolarizzate su piastre contenenti LB addizionato di ampicillina; la verifica della presenza dell'inserto è avvenuta tramite

3.5 Impollinazioni e campionamento degli stili

colony-PCR ed elettroforesi su gel d'agarosio.

3.4.6 Estrazione di plasmidi

Per l'estrazione del plasmide sono state utilizzate cellule prelevate da una colonia singola e lasciate crescere fino a confluenza in tubi da 13 ml, con 5 ml di terreno LB addizionato di ampicillina; le soluzioni utilizzate sono riportate nella tabella 3.12.

Un'aliquota da 2 ml della sospensione cellulare è stata trasferita in un tubo eppendorf da 2 ml, centrifugata a 6000 rpm per 2 minuti ed il sopraventante è stato eliminato. Le cellule sono quindi state delicatamente risospese in 200 μ l di soluzione LYR ed incubate 5 minuti a temperatura ambiente. Sono quindi stati aggiunti 400 μ l di Alkaline SDS per provocare la lisi alcalina delle cellule, si è miscelato bene per inversione ed incubato 5 minuti a temperatura ambiente. Successivamente sono stati aggiunti 300 μ l di KOAc 5M pH 4.8, che provoca la flocculazione dei residui cellulari insieme al DNA cromosomiale, ed il tubo è stato lasciato in incubazione in ghiaccio per 30 minuti.

Il campione è quindi stato centrifugato per 5 minuti alla massima velocità ed il sopraventante è stato trasferito in un tubo pulito; questo passaggio è stato ripetuto per ottenere una migliore pulizia del campione dal residuo flocculante. Il DNA è stato fatto precipitare aggiungendo un volume di isopropanolo freddo (-20°C) e lasciando incubare 5 minuti. Dopo centrifugazione alla massima velocità per 5 minuti, il sopraventante è stato eliminato ed il pellet lavato con 1 ml di etanolo 80% e successivamente seccato all'aria. Il DNA è quindi stato risospeso in 100 μ l di acqua bidistillata sterile e quantificato al NanoDrop (vedi par. 3.2.2). Aliquote da 1 μ g sono state caricate su gel d'agarosio 1% insieme ad un marcatore di peso molecolare per verificare, dopo corsa elettroforetica a 100 Volt per 90 minuti, il corretto profilo e peso molecolare del plasmide.

Il plasmide, diluito alla concentrazione richiesta, è stato inviato a ditte esterne per il sequenziamento; la reazione di sequencing è stata effettuata utilizzando i primer universali M13 e SP6.

3.5 Impollinazioni e campionamento degli stili

I fiori delle varietà scelte come impollinatore sono stati prelevati, nella misura di 100-300 per incrocio, allo stadio di bottone fiorale; le antere sono state separate ed essiccate a 22-25°C per 24 ore, per provocarne la deiscenza ed ottenere quindi la

MATERIALI E METODI

Soluzione LYR	
Glucosio	10 % w/v
EDTA, pH 8	10 mM
Tris, pH 8	25 mM
Lisozima	2 mg/ml
RNasi A	2 mg/ml

Alkaline SDS	
NaOH	0,1 M
SDS	1 % w/v

KOAc 5M pH 4.8	
Potassio acetato	5 M
Acido acetico glaciale	0,23 % v/v

Tabella 3.12: soluzioni necessarie per l'estrazione di plasmidi.

liberazione del polline. Questo è stato raccolto e conservato a 4°C fino al momento dell'utilizzo.

Sulle piante delle varietà scelte come portaseme sono state selezionate branchette fruttifere con una buona densità di corimbi; queste sono state protette con sacchi di cartone o rete a maglia fitta per evitare contaminazioni. Immediatamente prima dell'antesi i fiori sono stati demascolati, asportando gli stami insieme a calice e corolla; si è quindi proceduto all'impollinazione manualmente. Al termine dell'operazione sulle branche sono stati rimessi i sacchi per proteggere i fiori dalle contaminazioni di polline estraneo portato dagli insetti pronubi.

Gli stili da destinare all'estrazione di RNA per l'analisi tramite cDNA-AFLP sono stati posti in tubi eppendorf da 2 ml, prelevando per ogni campione gli stili di 10 fiori; i campioni sono stati immediatamente congelati in azoto liquido e conservati a -80°C.

3.6 Estrazione di RNA da stili

Per l'estrazione di RNA da stili impollinati sono stati testati diversi protocolli, ottenendo risultati non soddisfacenti in termini di resa o di purezza; è quindi stato ottimizzato un protocollo, la cui versatilità è stata verificata anche nell'estrazione di

RNA da vari altri tessuti, e di cui è stata pubblicata la versione definitiva in Zamboni *et al.* 2008 [137].

3.6.1 Trattamento dei materiali e dei reagenti

La vetreria utilizzata per le soluzioni necessarie all'estrazione di RNA e alla successiva fasi di retrotrascrizione è stata sterilizzata in stufa a 200°C per 4 ore, oppure immersa in soluzione di NaOH 0,1 M per 60 minuti ed autoclavata a 120°C per 20 minuti; il doppio trattamento assicura infatti l'inattivazione delle RNasi contaminanti, che la semplice sterilizzazione in autoclave non è in grado di garantire.

Le soluzioni di lavoro sono state addizionate di DEPC (dietil-pirocarbonato) alla concentrazione dello 0,1% v/v per degradare le proteine presenti in soluzione, comprese le RNasi; le soluzioni sono quindi state agitate vigorosamente per 12 ore ed autoclavate a 120°C per 20 minuti per inattivare il DEPC rimanente. I tamponi contenenti Tris, non potendo essere addizionati di DEPC, sono stati preparati in vetreria sterilizzata secondo la procedura sopra descritta ed utilizzando acqua bidistillata precedentemente trattata con DEPC.

Il materiale plastico, se non garantito dal produttore con la dicitura “RNase-free”, è stato immerso per 30-60 minuti in acqua distillata addizionata di DEPC, quindi asciugato all'aria ed autoclavato a 120°C per 20 minuti.

3.6.2 Protocollo d'estrazione

La composizione delle soluzioni utilizzate è riportata nella tabella 3.13.

I campioni sono stati macinati in azoto liquido direttamente nei tubi eppendorf da 2 ml, grazie ad appositi pestelli in PTFE. Al campione così polverizzato è stato aggiunto 1 ml di buffer d'estrazione preriscaldato e si è posto in incubazione a 65°C per 15 minuti con occasionali vigorose agitazioni. Si è quindi aggiunto 1 ml di cloroformio:alcool isoamilico 24:1 e, dopo una vigorosa agitazione, il campione è stato centrifugato a 10000 rcf per 10 minuti a 4°C; il soprannatante è stato delicatamente trasferito in un tubo pulito e si è ripetuto il lavaggio con cloroformio:alcool isoamilico 24:1 seguito da centrifugazione. Al soprannatante è quindi stato aggiunto 1/3 vol di LiCl 8 M per la precipitazione selettiva dell'RNA e si è lasciato in incubazione in ghiaccio overnight.

Il campione è stato centrifugato alla massima velocità per 35 minuti a 4°C ed il soprannatante è stato eliminato; il pellet è stato risospeso delicatamente in 1 ml di soluzione SSTE. È stato effettuato un ulteriore lavaggio con cloroformio:alcool isoamilico 24:1 seguito da vigorosa agitazione e centrifugazione a 15000 rcf per 10

MATERIALI E METODI

Buffer d'estrazione	
CTAB	2 %
PVP	2 %
EDTA	0,5 M
NaCl	5,8 %
Spermidina	0,05 %
TrisHCl	5 %
β -mercaptoetanolo	0,2 %

SSTE	
NaCl	1 M
SDS	0,5 %
TrisHCl	10 mM
EDTA	1 mM

Tabella 3.13: soluzioni per l'estrazione di RNA.

minuti a 4°C. Il soprannatante è stato trasferito in un tubo pulito e si è aggiunto 1 ml di etanolo 100% freddo (-20°C) per la precipitazione dell'acido nucleico. Dopo un'incubazione a -80°C per 30 minuti, il campione è stato centrifugato alla massima velocità per 35 minuti a 4°C. Il pellet è stato asciugato rapidamente all'aria, risospeso in 30 μ l di acqua bidistillata sterile trattata con DEPC e conservato a -80°C.

3.6.3 Trattamento con DNasi

Anche se il protocollo d'estrazione si è dimostrato piuttosto efficace nella rimozione del DNA genomico, si è comunque deciso di trattare i campioni con l'enzima DNasi per evitare contaminazioni anche minime, che avrebbero potuto inficiare l'analisi cDNA-AFLP. Il trattamento è stato eseguito con Turbo DNAfree della ditta Ambion.

Al campione di RNA del volume di 30 μ l sono stati aggiunti 3 μ l di buffer 10X e 1 μ l di DNasi; dopo aver accuratamente risospeso, il campione è stato posto in incubazione a 37°C per 20-30 minuti. Si sono quindi aggiunti 3 μ l di DNase Inactivator Reagent e si è lasciato in incubazione a temperatura ambiente per 2 minuti. Il campione è stato centrifugato a 10000 rcf per 1 minuto e il soprannatante è stato trasferito in un nuovo tubo.

3.6.4 Quantificazione

La concentrazione e la purezza dell'RNA estratto sono state misurate con lo spettrofotometro NanoDrop ND-1000 UV-Vis; i rapporti di assorbanza 260/230 e 260/280 superiori a 2 indicano un'ottima purezza del campione da contaminanti di natura proteica, zuccherina o fenolica.

L'integrità è invece stata valutata caricando 1 μg di RNA su gel di agarosio 1% e verificando, dopo la corsa eletroforetica a 100 Volt per 60 minuti, che le bande caratteristiche degli RNA ribosomiali risultassero ben visibili e nitide.

3.7 Retrotrascrizione

La retrotrascrizione dell'RNA estratto da stili in cDNA a singolo o doppio filamento è stata condotta utilizzando l'enzima SuperScript II Reverse Transcriptase ed il kit SuperScript Double-Stranded cDNA Synthesis della ditta Invitrogen.

3.7.1 Sintesi del primo filamento di cDNA

Per la retrotrascrizione 2 μg di RNA totale sono stati trasferiti in un tubo da 200 μl ; è stato aggiunto 1 μl di primer oligo-dT(12-18) 500 $\mu\text{g}/\text{ml}$ e si è portato a volume di 12 μl con acqua bidistillata trattata con DEPC. Il campione è stato incubato a 70°C per 10 minuti e poi trasferito rapidamente in ghiaccio. Si sono quindi aggiunti 5 μl di buffer di reazione 5X, 2 μl di DTT 0,1 M e 1 μl di soluzione di dNTPs (10 mM ognuno); la miscela è stata risospesa accuratamente ed incubata a 45°C per 2 minuti. Per ultimo è stato aggiunto l'enzima SuperScript II RT; dopo aver risospeso delicatamente, la reazione è stata incubata per 60 minuti a 45°C. A reazione terminata il campione è stato traserito in ghiaccio.

Il prodotto così ottenuto è stato utilizzato come template per le reazioni di PCR, diluito 10 volte in acqua bidistillata trattata con DEPC, oppure per la sintesi del secondo filamento, necessaria per la cDNA-AFLP.

3.7.2 Sintesi del secondo filamento di cDNA

Al prodotto della reazione di sintesi del primo filamento sono stati direttamente aggiunti i componenti necessari per la sintesi del secondo, riportati nella tabella 3.15; dopo un'accurata risospensione il campione è stato incubato a 16°C per 120 minuti.

MATERIALI E METODI

Sintesi First-Strand	
RNA totale	2 μ g
Oligo-dT(12-18) 500 μ g/ml	1 μ l
Acqua DEPC	a vol. 12 μ l
5X First-Strand Buffer	4 μ l
DTT 0,1 M	2 μ l
dNTPs (10 mM ognuno)	1 μ l
SuperScript II RT 200 U/ μ l	1 μ l
Volume finale	20 μ l

Tabella 3.14: miscela di reazione per la retrotrascrizione del primo filamento di cDNA.

Sintesi Second-Strand	
cDNA First-Strand	20 μ g
Acqua DEPC	91 μ l
5X Second-Strand Buffer	30 μ l
dNTPs (10 mM ognuno)	3 μ l
DNA ligasi 10 U/ μ l	1 μ l
DNA polimerasi I 10 U/ μ l	4 μ l
RNasi H 2 U/ μ l	1 μ l
Volume finale	150 μ l

Tabella 3.15: miscela di reazione per la retrotrascrizione del secondo filamento di cDNA.

Al termine della reazione sono stati aggiunti 2 μ l di T4 DNA polimerasi 5 U/ μ l e si è lasciato il campione in incubazione a 16°C per ulteriori 5 minuti. Il tubo è stato quindi trasferito in ghiaccio e si sono aggiunti 10 μ l di EDTA 0,5 M.

Il campione è stato trasferito in un tubo eppendorf da 1,5 ml; sono stati aggiunti 160 μ l di fenolo:cloroformio:alcool isoamilico 25:24:1 e, dopo una vigorosa agitazione, il campione è stato centrifugato a 14000 rcf per 5 minuti. Il sopraventante è stato trasferito in un tubo pulito, al quale sono stati aggiunti 0,5 volumi di ammonio acetato 7,5 M e 500 μ l di etanolo 100% freddo (-20°C) per la precipitazione dei frammenti di DNA. Il campione è stato centrifugato alla massima velocità per 20 minuti; il pellet è stato lavato con 500 μ l di etanolo 70% freddo, velocemente seccato all'aria ed infine risospeso in 30 μ l di acqua bidistillata sterile.

3.8 cDNA-AFLP

La tecnica della cDNA-AFLP prevede le stesse fasi della normale AFLP descritta da Vos *et al.* 1995 [138]: restrizione, ligazione ad adattatori, preamplificazione ed amplificazione; il materiale di partenza è però costituito da cDNA a doppio filamento (dscDNA).

3.8.1 Formazione dei campioni di cDNA

Gli stili sono stati campionati immediatamente dopo l'impollinazione ($T=0$) ed a quattro tempi successivi: 4, 8, 24 e 48 ore; per ridurre il numero di tesi da confrontare nella cDNA-AFLP per ogni incrocio, si è deciso di creare un pool relativo a tutti tempi successivi all'impollinazione, mantenendo invece il $T=0$ singolo come controllo. A tale scopo sono stati uniti 2 μ g di RNA da ognuna delle quattro tesi e la retrotrascrizione è stata condotta su un totale di 8 μ g di RNA.

3.8.2 Restrizione

Dopo la sintesi del cDNA a doppio filamento, il prodotto è stato quantificato utilizzando lo spettrofotometro NanoDrop. Per la reazione di restrizione si sono quindi prelevati 500 ng di dscDNA per ogni campione; la reazione è stata condotta utilizzando un enzima di tipo 4-cutter, *MseI*, ed un 6-cutter, *EcoRI* (vedi tab. 3.8). La miscela di reazione, riportata nella tabella 3.16, è stata incubata 120 minuti a 37°C.

Restrizione	
dscDNA	500 ng
Buffer 5X RL	8 μ l
<i>EcoRI</i> 10 U/ μ l	1 μ l
<i>MseI</i> 10 U/ μ l	1 μ l
Acqua bidistillata sterile	a vol. 40 μ l

Buffer 5X RL	
Buffer One-Phor-All 10X	500 μ l
BSA 20 mg/ml	12,5 μ l
DTT 1M	25 μ l
Acqua bidistillata sterile	a vol. 1 ml

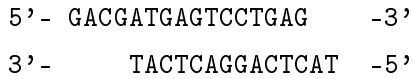
Tabella 3.16: miscela di reazione per la digestione enzimatica del dscDNA e composizione del buffer RL, utilizzato sia per la restrizione che per la ligasi.

MATERIALI E METODI

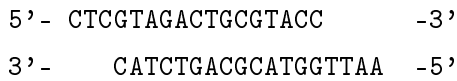
3.8.3 Ligasi

I frammenti di dscDNA digeriti sono stati legati ad oligonucleotidi adattatori specifici, dotati di estremità complementari a quelle lasciate dagli enzimi *MseI* e *EcoRI*.

Struttura *MseI*-Adapter:



Struttura *EcoRI*-Adapter:



La reazione di ligazione è stata preparata secondo la ricetta riportata nella tabella 3.17 ed incubata a 37°C per 3 ore.

Ligazione	
Prodotto della restrizione	40 µl
Buffer 5X RL	2 µl
<i>MseI</i> -Adapter 5 pmol/µl	1 µl
<i>EcoRI</i> -Adapter 5 pmol/µl	1 µl
ATP 10 mM	1 µl
T4 DNA ligasi 5 U/µl	0,2 µl
Acqua bidistillata sterile	4,8 µl
Volume finale	50 µl

Tabella 3.17: miscela di reazione per la ligazione dei frammenti di dscDNA agli adattatori.

3.8.4 Preamplificazione

La preamplificazione è stata condotta utilizzando come template il prodotto della reazione di ligazione diluito 1:10 in acqua bidistillata sterile. Sono stati utilizzati due primer realizzati sulla sequenza dell'adattatore e del sito di restrizione di ognuno dei due enzimi, con in più una base di specificità all'estremità 3':

Primer Eco-A: 5'- GACTGCGTACCAATTCA -3'

Primer *Mse*-C: 5'- GATGAGTCCTGAGTAAC -3'

Nelle tabelle 3.18 e 3.19 sono riportati rispettivamente la miscela di reazione ed il programma d'amplificazione usati.

Miscela di reazione	
Acqua bidistillata sterile	9,48 μ l
Buffer di reazione 10X	2 μ l
MgCl ₂ 25 mM	1 μ l
dNTPs (10 mM ognuno)	0,4 μ l
Primer Eco-A 30 ng/ μ l	1 μ l
Primer Mse-C 30 ng/ μ l	1 μ l
Taq-DNA polimerasi 5U/ μ l	0,12 μ l
Template	5 μ l
Volume finale	20 μ l

Tabella 3.18: miscela di reazione per la preamplificazione della cDNA-AFLP.

Programma preamplificazione			
Fase	Temp.	Durata	N. cicli
Denaturazione	94°C	30"	
Annealing	56°C	30"	32
Estensione	72°C	1'	

Tabella 3.19: profilo termico della reazione di preamplificazione della cDNA-AFLP

3.8.5 Amplificazione

L'amplificazione è stata condotta utilizzando come template il prodotto della preamplificazione diluito 1:250 in acqua bidistillata sterile, secondo la miscela di reazione descritta nella tabella 3.20. I primer utilizzati, riportati nella tabella 3.21, corrispondono a quelli utilizzati in preamplificazione con in più due ulteriori basi di specificità [139]; in totale sono state testate 96 diverse combinazioni di primer Eco e Mse, come riportato nella tabella 3.22.

Il prodotto è stato separato tramite corsa eletroforetica su gel di poliacrilamide per 2 ore a 65 Watt.

MATERIALI E METODI

Miscela di reazione	
Acqua bidistillata sterile	12,48 μ l
Buffer di reazione 10X	2 μ l
MgCl ₂ 25 mM	1 μ l
dNTPs (10 mM ognuno)	0,4 μ l
Primer Eco-N 30 ng/ μ l	1 μ l
Primer Mse-N 30 ng/ μ l	1 μ l
Taq-DNA polimerasi 5U/ μ l	0,12 μ l
Template	2 μ l
Volume finale	20 μ l

Tabella 3.20: miscela di reazione per l'amplificazione della cDNA-AFLP.

3.8.6 Clonaggio dei TDF (Transcript-Derived Fragment)

Le bande polimorfiche che presentavano un pattern di presenza/assenza o di intensità chiaramente correlabile al grado di compatibilità dell'incrocio sono state clonate e sequenziate.

Si è proceduto incidendo delicatamente con un bisturi il contorno della banda sul gel essiccato; sulla banda sono poi stati aggiunti 15-20 μ l di acqua bidistillata sterile per consentire la reidratazione della matrice. La banda è quindi stata staccata dalla lastra di vetro con l'aiuto di una spatolina e trasferita in un tubo eppendorf pulito. Si sono aggiunti 30 μ l di acqua e si è incubato a 65°C per 5 minuti; infine il campione è stato centrifugato a 13000 rpm per 1 minuto e 2 μ l del sopranatante sono stati utilizzati come template in PCR utilizzando gli stessi primer Eco e Mse già utilizzati in fase di amplificazione. Il prodotto è stato visualizzato tramite elettroforesi su gel d'agarosio 1,5% e clonato come descritto nel par. 3.4.4.

Primer Eco
E31 : GACTGCGTACCAATT C AAA
E32 : GACTGCGTACCAATT C AAC
E33 : GACTGCGTACCAATT C AAG
E34 : GACTGCGTACCAATT C AAT
E35 : GACTGCGTACCAATT C ACA
E36 : GACTGCGTACCAATT C ACC
E37 : GACTGCGTACCAATT C ACG
E38 : GACTGCGTACCAATT C ACT
E39 : GACTGCGTACCAATT C AGA
E40 : GACTGCGTACCAATT C AGC
E43 : GACTGCGTACCAATT C ATA
E44 : GACTGCGTACCAATT C ATC

Primer Mse
M47 : GATGAGTCCTGAGTAA CAA
M48 : GATGAGTCCTGAGTAA CAC
M49 : GATGAGTCCTGAGTAA CAG
M50 : GATGAGTCCTGAGTAA CAT
M51 : GATGAGTCCTGAGTAA CCA
M52 : GATGAGTCCTGAGTAA CCC
M53 : GATGAGTCCTGAGTAA CCG
M54 : GATGAGTCCTGAGTAA CCT
M55 : GATGAGTCCTGAGTAA CGA
M56 : GATGAGTCCTGAGTAA CGC
M57 : GATGAGTCCTGAGTAA CGG
M58 : GATGAGTCCTGAGTAA CGT
M59 : GATGAGTCCTGAGTAA CTA
M60 : GATGAGTCCTGAGTAA CTC
M61 : GATGAGTCCTGAGTAA CTG
M62 : GATGAGTCCTGAGTAA CTT

Tabella 3.21: sequenze dei primer utilizzati nelle amplificazioni della cDNA-AFLP.

MATERIALI E METODI

	E31	E32	E33	E34	E35	E36	E37	E38	E39	E40	E43	E44
M47		×		×		×		×		×		×
M48		×		×		×		×		×		×
M49		×		×		×		×		×		×
M50		×		×		×		×		×		×
M51	×		×		×		×		×		×	
M52	×		×		×		×		×		×	
M53	×		×		×		×		×		×	
M54	×		×		×		×		×		×	
M55		×		×		×		×		×		×
M56		×		×		×		×		×		×
M57		×		×		×		×		×		×
M58		×		×		×		×		×		×
M59	×		×		×		×		×		×	
M60	×		×		×		×		×		×	
M61	×		×		×		×		×		×	
M62	×		×		×		×		×		×	

Tabella 3.22: combinazioni di primer Eco/Mse testate.

3.9 RACE (Rapid Amplification of cDNA Ends)

Per il clonaggio del gene full-length della TGasi è stato tentato un approccio tramite RACE, impiegando il kit “GeneRacer” della ditta Invitrogen. È stato utilizzato RNA estratto da stili impollinati nelle combinazioni autoincompatibili ‘Abate Fétel’ × ‘Abate Fétel’ e ‘William’ × ‘William’. Il kit utilizzato impiega un metodo mediato da RNA ligasi (RLM-RACE, *RNA Ligase Mediated RACE*); si è quindi proceduto secondo le indicazioni fornite dal produttore alle fasi di defosforilazione dell’RNA, eliminazione del “cap” di 7-metil-guanosina al 5’, ligazione dell’oligonucleotide di RNA e retrotrascrizione.

L’amplificazione è stata condotta utilizzando i primer forniti nel kit insieme a primer gene-specifici realizzati secondo le indicazioni, le cui sequenze sono riassunte nella tabella 3.23.

TGase5'race	TCTAGCCAATTCCCTCGTCCGATTCA
TGase5'nested	GATTCAGCAATTCGTCGTTCTGAG
TGase3'race	TTTGCTTGCCTCTTTGAAGCTAAC
TGase3'nested	GCATTGATGGATAACGCATGTCTAA

Tabella 3.23: sequenze dei primer utilizzati nella RACE.

3.10 Strumenti bioinformatici

Durante le fasi di pianificazione del lavoro e di analisi dei risultati sono stati impiegati i seguenti software bioinformatici:

- **FinchTV 1.3.1** (Geospiza Inc., <http://www.geospiza.com/>) per la visualizzazione e la manipolazione dei cromatogrammi risultanti dal sequenziamento;
- **Clustal X 2.0.3** [140] per l'allineamento globale fra sequenze multiple, nucleotidiche o aminoacidiche;
- **Lalign** (http://www.ch.embnet.org/software/LALIGN_form.html) per l'allineamento locale a coppie;
- **Blast** [141] e **Fasta** [142] per l'allineamento e la ricerca di sequenze omologhe in database;
- **MEGA 4** [143] per l'analisi delle distanze e la costruzione di alberi filogenetici sulla base dell'allineamento di sequenze;
- **JoinMap 3.0** [144] per il mappaggio dei geni SFBB identificati nella popolazione ‘Abate Fétel’ × ‘Max Red Bartlett’;
- **MapChart 2.0** per la rappresentazione grafica dei linkage group ottenuti dall'elaborazione con JoinMap [145]

MATERIALI E METODI

Capitolo 4

Risultati e discussione

4.1 Ricerca e caratterizzazione di geni S-locus F-box

4.1.1 Analisi dell'omologia di sequenza: S-RNasi e SFBB

Come descritto nel par. 3.1, sono state scelte varietà appartenenti a specie diverse dotate di aploidi S le cui RNasi presentassero un'elevata omologia, per poter successivamente valutare se il fenomeno dell'evoluzione trans-specifica si riflette allo stesso modo sui determinanti femminili e maschili del locus S. Nella tabella 4.1 sono riassunti i genotipi S di tutte le varietà analizzate.

Specie	Varietà	Genotipo S
Pero europeo	'Abate Fétel'	PcS ₁₀₄ /PcS ₁₀₅
	'Max Red Bartlett'	PcS ₁₀₁ /PcS ₁₀₂
	'Conseiller a La Coeur'	PcS ₁₀₃ /PcS ₁₂₃
	'Wilder'	PcS ₁₀₁ /PcS ₁₁₁
	'Packham's Triumph'	PcS ₁₀₁ /PcS ₁₀₃
Melo	'Fuji'	MdS ₁ /MdS ₉
	'McIntosh'	MdS ₁₀ /MdS ₂₅
Pero giapponese	'Kumoi'	PpS ₁ /PpS ₃
	'Chojuro'	PpS ₂ /PpS ₃

Tabella 4.1: riassunto delle varietà analizzate e dei rispettivi genotipi S.

Le sequenze delle S-RNasi possedute dai genotipi utilizzati sono quindi state allineate per verificarne l'omologia; le percentuali di identità calcolate attraverso il programma ClustalX sono riassunte nella tabella 4.2. L'elevato grado di similarità fra le coppie di alleli PcS₁₀₃ e MdS₁₀ (con un'identità di sequenza pari al 98%), PcS₁₂₃

RISULTATI E DISCUSSIONE

e MdS₉ (98%), PcS₁₁₁ e PpS₁ (99%), è evidente nell'albero filogenetico derivante da questo allineamento (figura 4.1).

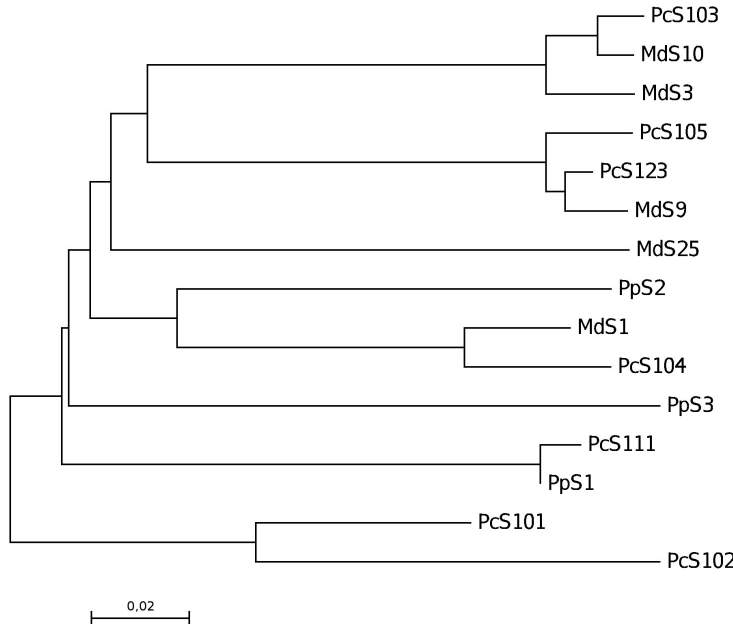


Figura 4.1: albero filogenetico ottenuto dal confronto dei dati di sequenza delle S-RNasi dei genotipi analizzati; si noti come, a testimonianza del fenomeno dell'evoluzione trans-specifica, le sequenze appartenenti a specie diverse possano mostrare un grado di omologia molto più alto di quello che si riscontra all'interno della stessa specie.

4.1 Ricerca e caratterizzazione di geni S-locus F-box

	Pc S ₁₀₁	Pc S ₁₀₂	Pc S ₁₀₃	Pc S ₁₀₄	Pc S ₁₀₅	Pc S ₁₁₁	Pp S ₁₂₃	Pp S ₁	Pp S ₂	Pp S ₃	Pd S ₁	Pd S ₃	Pd S ₉	Pd S ₁₀	Pd S ₂₅
PcS ₁₀₁	100														
PcS ₁₀₂	87	100													
PcS ₁₀₃	80	78	100												
PcS ₁₀₄	81	78	83	100											
PcS ₁₀₅	80	77	82	81	100										
PcS ₁₁₁	81	78	80	81	82	100									
PcS ₁₂₃	81	78	82	82	97	82	100								
PpS ₁	81	79	81	81	82	99	83	100							
PpS ₂	80	78	81	82	80	80	81	81	81	100					
PpS ₃	79	76	78	78	79	79	79	80	80	80	100				
MdS ₁	81	77	82	95	81	81	81	82	83	78	100				
MdS ₃	79	78	96	82	80	83	81	80	77	82	100				
MdS ₉	81	77	81	81	96	82	98	82	80	79	80	82	100		
MdS ₁₀	80	78	98	83	82	80	82	81	80	78	82	96	82	100	
MdS ₂₅	81	78	80	80	81	80	81	80	78	81	80	81	81	100	

Tabella 4.2: percentuali di identità fra le sequenze delle S-RNAsi di tutti i genotipi utilizzati; in grassetto sono riportati i valori relativi alle tre coppie di alleli maggiormente simili.

RISULTATI E DISCUSSIONE

Le sequenze dei geni SFBB di melo e pero giapponese riportate da Sassa *et al.* 2007 [52] e presenti in database, sono state utilizzate per disegnare i primer per l’amplificazione di geni omologhi.

Per le sequenze di pero giapponese, chiaramente suddivisibili nei gruppi α , β e γ altamente conservati, si è deciso di realizzare una coppia di primer per ognuno dei tre gruppi (primer P $p\alpha$ -for/rev, P $p\beta$ -for/rev e P $p\gamma$ -for/rev). A questo scopo sono state ricercate le regioni in prossimità degli estremi 5' e 3' che fossero il più possibile conservative fra le sequenze appartenenti allo stesso gruppo, ed il più possibile divergenti rispetto agli altri gruppi. Per il gruppo β , in particolare, dopo i primi clonaggi che hanno consentito di verificare l’elevata omologia fra le sequenze ottenute e quelle in database, si è deciso di realizzare un secondo primer reverse che consentisse l’amplificazione del gene “full-length” (P $p\beta$ -FL-rev); questo infatti inizialmente non era stato possibile a causa delle ridotte dimensioni della regione 3' non tradotta della sequenza P p SFBB $^{5-\beta}$, che termina a sole 17 basi a valle del codone di stop.

Lo stesso approccio non è stato possibile per le sequenze di melo; in questo caso infatti l’omologia che si riscontra fra sequenze appartenenti allo stesso gruppo, α o β , è nettamente inferiore rispetto a quella riscontrabile fra sequenze di gruppi diversi appartenenti allo stesso apotipo, MdS₃ o MdS₉. Non è stata quindi giudicata conveniente la realizzazione di primer per i due gruppi α e β , preferendo invece lavorare sulle singole sequenze.

Per l’apotipo MdS₉ sono stati quindi disegnati due primer forward specifici per le due sequenze MdSFBB $^{9-\alpha}$ MdSFBB $^{9-\beta}$ (primer Md9 α -for e Md9 β -for). La realizzazione di primer reverse specifici si è rivelata più difficoltosa, anche a causa della presenza di regioni ripetute a valle della porzione codificante dei due geni; si è pertanto deciso di realizzare un unico primer reverse in una regione conservata fra le due sequenze (Md9-rev), considerando l’ipotesi, peraltro poi confermata dai successivi dati ottenuti, che le differenze nei primer forward fossero sufficienti a conferire la necessaria specificità.

Per l’apotipo MdS₃ sono state realizzate due coppie di primer specifiche per ciascuna delle due sequenze MdSFBB $^{3-\alpha}$ MdSFBB $^{3-\beta}$ (primer Md3 α -for/rev e Md3 β -for/rev); tuttavia queste non hanno prodotto amplificati da nessuno dei genotipi analizzati. L’amplificazione di frammenti omologhi è invece stata possibile realizzando due primer su regioni della porzione codificante conservative fra le due sequenze (primer Md3-for/rev).

La tabella 4.3 riporta le sequenze di tutti i primer, mentre la figura B.1 in appendice B mostra l’allineamento fra le sequenze utilizzate nella realizzazione degli stessi.

4.1 Ricerca e caratterizzazione di geni S-locus F-box

Tutte le coppie di primer sono state testate sui 9 genotipi oggetto di studio; in totale sono state ottenute 82 sequenze di geni omologhi, suddivise nei 5 gruppi citati nella tabella 4.3, riportate in appendice A.

Primer	Sequenza	Prodotti amplificati
P α -for	tcttgtggaatgataactgc	Gruppo P α
P α -rev	atatcatgcatacaaattaaatggAAC	
P β -for	gtcccaggtgcgtaaaagtG	Gruppo P β
P β -rev	cacataaataagagAGCTCSAAATCTG	
P β -FL-rev	ttaaataggagaaaatggAAGTTGC	
P γ -for	gtgtgaataattcatgtgcattGG	Gruppo P γ
P γ -rev	ggAACGTTCCCTCAACTCAA	
Md9 α -for	tgtgaattttgtgaaataacacaac	Gruppo MdS9
Md9 β -for	attcctgtggaccaatacAGTTG	
Md9-rev	ccacaaAGCaaaattagaAGATGC	
Md3 α -for	gttcttatcctgcaaACAAAATTATTG	<i>nessun prodotto</i>
Md3 α -rev	acttttcctcaattcacttgacat	
Md3 β -for	taaggTggcgaaatcctgtG	<i>nessun prodotto</i>
Md3 β -rev	acttctccctcaactcacttgagt	
Md3-for	aaccgttctcaggctcaca	Gruppo MdS3
Md3-rev	cacataaataagamcttcaaaatccac	

Tabella 4.3: primer realizzati sui geni SFBB e gruppi di sequenze derivate dall'amplificazione con gli stessi; i gruppi sono stati nominati in base alle sequenze su cui sono stati disegnati.

4.1.2 Geni F-box del gruppo P α

La coppia di primer P α -for/rev ha permesso di amplificare frammenti omologhi da tutti i genotipi analizzati, appartenenti alle tre specie. Sono state ottenute in totale 17 sequenze, riassunte nella tabella 4.4, corrispondenti a due alleli diversi per ogni genotipo testato ad eccezione di ‘Abate Fétel’, per il quale è stato possibile amplificare un solo frammento.

Tutti i frammenti sequenziati presentano un'elevata omologia con le sequenze PpSFBB $^{4-\alpha}$ e PpSFBB $^{5-\alpha}$, formando con queste un cluster ben delineato; le percentuali di identità a coppie fra sequenze appartenenti a questo cluster sono infatti superiori al 95%.

RISULTATI E DISCUSSIONE

Genotipo	Sequenze
‘Abate Fétel’	AF Alfa A
‘Max Red Bartlett’	MRB Alfa A, MRB Alfa B
‘Conseiller a La Coeur’	Cons Alfa A, Cons Alfa B
‘Wilder’	Wild Alfa A, Wild Alfa B
‘Packham’s Triumph’	Pack Alfa A, Pack Alfa B
‘Fuji’	Fuji Alfa A, Fuji Alfa B
‘McIntosh’	McInt Alfa A, McInt Alfa B
‘Kumoi’	Kum Alfa A, Kum Alfa B
‘Chojuro’	Cho Alfa A, Cho Alfa B

Tabella 4.4: sequenze ottenute per i frammenti omologhi ai geni PpSFBB α ; le sequenze sono riportate per esteso nell’appendice A.

Sequenze identiche sono state ottenute da tutti i genotipi che condividono un applotipo S: in particolare, sono identiche le sequenze MRB Alfa A, Pack Alfa A e Wild Alfa B ottenute dalle varietà ‘Max Red Bartlett’, ‘Packham’s Triumph’ e ‘Wilder’, tutte e tre portatrici dell’aplotipo PcS₁₀₁; le sequenze Cons Alfa B e Pack Alfa A, da ‘Conseiller a La Coeur’ e ‘Packham’s Triumph’, portatrici di PcS₁₀₃; infine le sequenze Kum Alfa A e Cho Alfa A, da ‘Kumoi’ e ‘Chojuro’, portatrici di PpS₃.

Anche se questo testimonia una probabile forte associazione del gene al locus S, non è tuttavia riscontrabile alcuna analogia nei livelli di similarità fra alleli S, derivanti dal confronto fra le S-RNasi e da quello fra i frammenti del gruppo Pp α . Infatti le tre coppie di genotipi ‘Conseiller a La Coeur’ e ‘Fuji’, ‘Wilder’ e ‘Kumoi’, ‘Packham’s Triumph’ e ‘McIntosh’, dotate di RNasi con sequenze estremamente simili (vedi figura 4.1), non hanno prodotto in questo gruppo sequenze di SFBB con gli stessi livelli di similarità, cosa che invece è plausibile debba presentarsi per i geni del determinante pollinico per il fenomeno dell’evoluzione trans-specifica degli applotipi S.

Al contrario è individuabile nell’albero riportato in figura 4.2 una suddivisione delle sequenze più in base alla specie che non alla similarità delle RNasi: le quattro sequenze di melo infatti si distinguono abbastanza chiaramente da quelle di pero europeo e giapponese. Questa distribuzione induce ad ipotizzare che il gene in questione, pur essendo associato al locus S, non sia un buon candidato per il ruolo di reale determinante pollinico dell’autoincompatibilità.

4.1 Ricerca e caratterizzazione di geni S-locus F-box

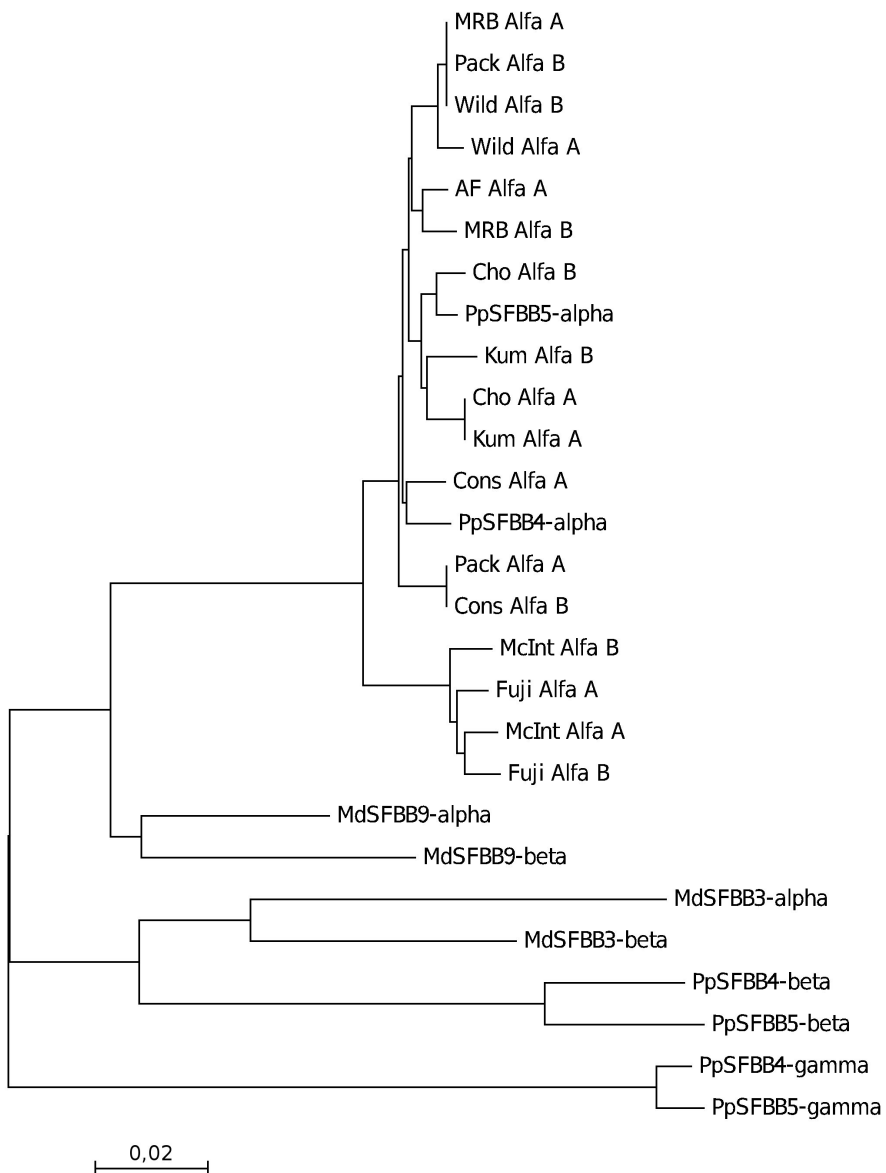


Figura 4.2: albero ottenuto dal confronto fra le sequenze ottenute per il gruppo $Pp\alpha$ e quelle degli SFBB di melo e pero giapponese presenti in database. Le sequenze ottenute confermano un'elevata omologia con le $PpSFBB^\alpha$; si noti inoltre come le quattro sequenze di melo (McInt Alfa A/B, Fuji Alfa A/B) formino un cluster distinto da quelle di pero europeo e giapponese.

4.1.3 Geni F-box del gruppo $Pp\beta$

Anche in questo caso è stata ottenuta l'amplificazione di frammenti omologhi da tutti i genotipi analizzati; sono state ottenute da due a quattro sequenze per ogni

RISULTATI E DISCUSSIONE

genotipo, per un totale di 25 frammenti, riassunti nella tabella 4.5.

Genotipo	Sequenze
‘Abate Fétel’	AF Beta A FL, AF Beta B FL
‘Max Red Bartlett’	MRB Beta A FL, MRB Beta Z
‘Conseiller a La Coeur’	Cons Beta A FL, Cons Beta B, Cons Beta C FL, Cons Beta D FL
‘Wilder’	Wild Beta A FL, Wild Beta B FL, Wild Beta C
‘Packham’s Triumph’	Pack Beta A FL, Pack Beta B
‘Fuji’	Fuji Beta A FL, Fuji Beta B FL, Fuji Beta Z
‘McIntosh’	McInt Beta A, McInt Beta B FL, McInt Beta C FL, McInt Beta Z
‘Kumoi’	Kum Beta A FL, Kum Beta B FL, Kum Beta Z
‘Chojuro’	Cho Beta A FL, Cho Beta B FL

Tabella 4.5: sequenze ottenute per i frammenti omologhi ai geni $PpSFBB^\beta$; le sequenze siglate con “FL” sono state amplificate con i primer $Pp\beta$ -for/FL-rev, le restanti con $Pp\beta$ -for/rev.

In questo caso la situazione si presenta decisamente più complicata rispetto al gruppo $Pp\alpha$. Quattro delle sequenze ottenute (MRB Beta Z, Kum Beta Z, Fuji Beta Z e McInt Beta Z), appartenenti alle tre specie, hanno una dimensione inferiore di circa 50 bp rispetto alle altre, e presentano un’omologia di sequenza minore con le sequenze $PpSFBB^{4-\beta}$ e $PpSFBB^{5-\beta}$; si collocano infatti in una posizione separata nell’albero risultante dall’analisi delle sequenze (figura 4.3).

Le restanti 21 sequenze mostrano invece una buona omologia con i geni $PpSFBB^\beta$, con cui formano un cluster chiaramente individuabile, all’interno del quale le percentuali di identità non scendono sotto al 93%. Il numero di sequenze ottenute per genotipo, fino a 4, indica che indubbiamente il gene è andato incontro a duplicazione, per lo meno in alcuni aplotipi; non è detto inoltre che, anche nei genotipi che hanno prodotto solo due sequenze distinte, non siano presenti altre copie che non è stato possibile clonare. Risulta quindi piuttosto difficile stabilire delle chiare corrispondenze alleliche, anche se alcuni genotipi portatori degli stessi aplotipi S hanno prodotto sequenze identiche: è il caso delle sequenze Cons Beta A e Cons Beta B di ‘Conseiller a La Coeur’, identiche rispettivamente a Pack Beta A e Pack Beta B di ‘Packham’s Triumph’, che potrebbero quindi essere entrambe associate all’aplotipo PcS_{103} .

Anche la distribuzione delle sequenze nel cluster non si presta ad una facile interpretazione; infatti, diversamente dalle sequenze del gruppo $Pp\alpha$, non è presente una

4.1 Ricerca e caratterizzazione di geni S-locus F-box

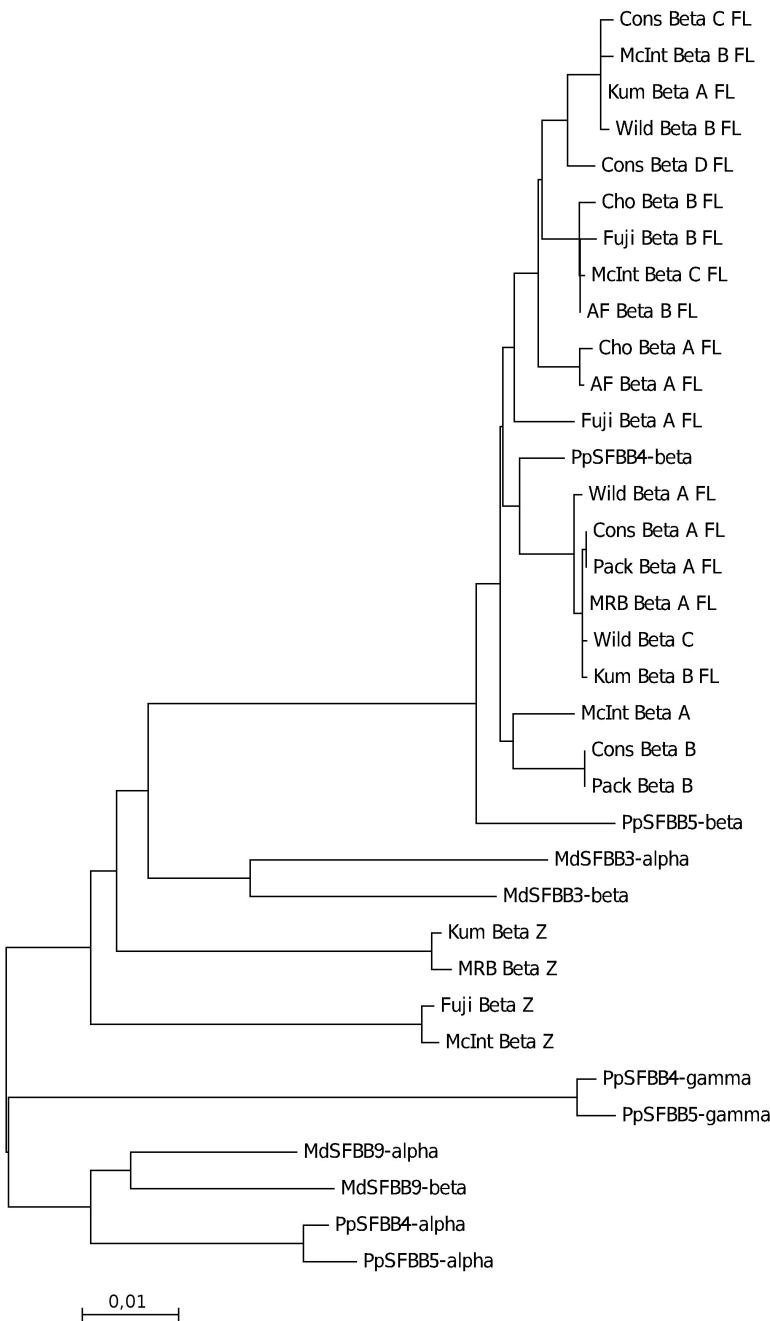


Figura 4.3: albero ottenuto dal confronto fra le sequenze ottenute per il gruppo $Pp\beta$ e quelle degli SFBB di melo e pero giapponese presenti in database. Quattro delle sequenze ottenute, marcate con la lettera Z, sono posizionate fuori dal cluster dei geni $PpSFBB^\beta$; le restanti formano un gruppo caratterizzato da una struttura piuttosto complessa, sicuramente dovuta anche alla presenza di più copie del gene.

RISULTATI E DISCUSSIONE

distinzione netta fra frammenti di specie diverse, come è atteso che debba essere per i geni interni al locus S; tuttavia non è neanche riscontrabile alcuna corrispondenza tra sequenze di apotipi S con RNasi altamente conservate.

4.1.4 Geni F-box del gruppo Pp γ

Anche la coppia di primer Pp γ -for/rev ha permesso di amplificare frammenti omologhi da tutti i genotipi analizzati; sono state ottenute 17 sequenze, riportate nella tabella 4.4, corrispondenti a due alleli diversi per ogni varietà ad eccezione di ‘Fuji’, per la quale è stato amplificato un solo frammento.

Genotipo	Sequenze
‘Abate Fétel’	AF Gamma A, AF Gamma B
‘Max Red Bartlett’	MRB Gamma A, MRB Gamma B
‘Conseiller a La Coeur’	Cons Gamma A, Cons Gamma B
‘Wilder’	Wild Gamma A, Wild Gamma B
‘Packham’s Triumph’	Pack Gamma A, Pack Gamma B
‘Fuji’	Fuji Gamma A
‘McIntosh’	McInt Gamma A, McInt Gamma B
‘Kumoi’	Kum Gamma A, Kum Gamma B
‘Chojuro’	Cho Gamma A, Cho Gamma B

Tabella 4.6: sequenze ottenute per i frammenti omologhi ai geni PpSFBB γ .

Le sequenze ottenute formano un cluster chiarissimamente delineato insieme alle sequenze PpSFBB γ , con le quali mostrano un’alta omologia; le percentuali di identità a coppie fra sequenze interne a questo cluster sono in tutti i casi superiori al 95%.

Come per il gruppo Pp α , anche in questo caso le corrispondenze alleliche sono evidenti: sono infatti identiche le sequenze MRB Gamma A, Pack Gamma A e Wild Gamma B, ottenute dalle varietà ‘Max Red Bartlett’, ‘Packham’s Triumph’ e ‘Wilder’, associabili quindi all’apotipo Pcs₁₀₁; le sequenze Cons Gamma B e Pack Gamma B, da ‘Conseiller a La Coeur’ e ‘Packham’s Triumph’, associabili a Pcs₁₀₃; infine le sequenze Kum Gamma B e Cho Gamma B, da ‘Kumoi’ e ‘Chojuro’, associabili a PpS₃.

Neanche in questo gruppo si riscontra una corrispondenza fra i livelli di omologia delle RNasi e i frammenti genici ottenuti; è invece individuabile nell’albero riportato in figura 4.4 una suddivisione legata alla divergenza delle specie, con le tre sequenze

4.1 Ricerca e caratterizzazione di geni S-locus F-box

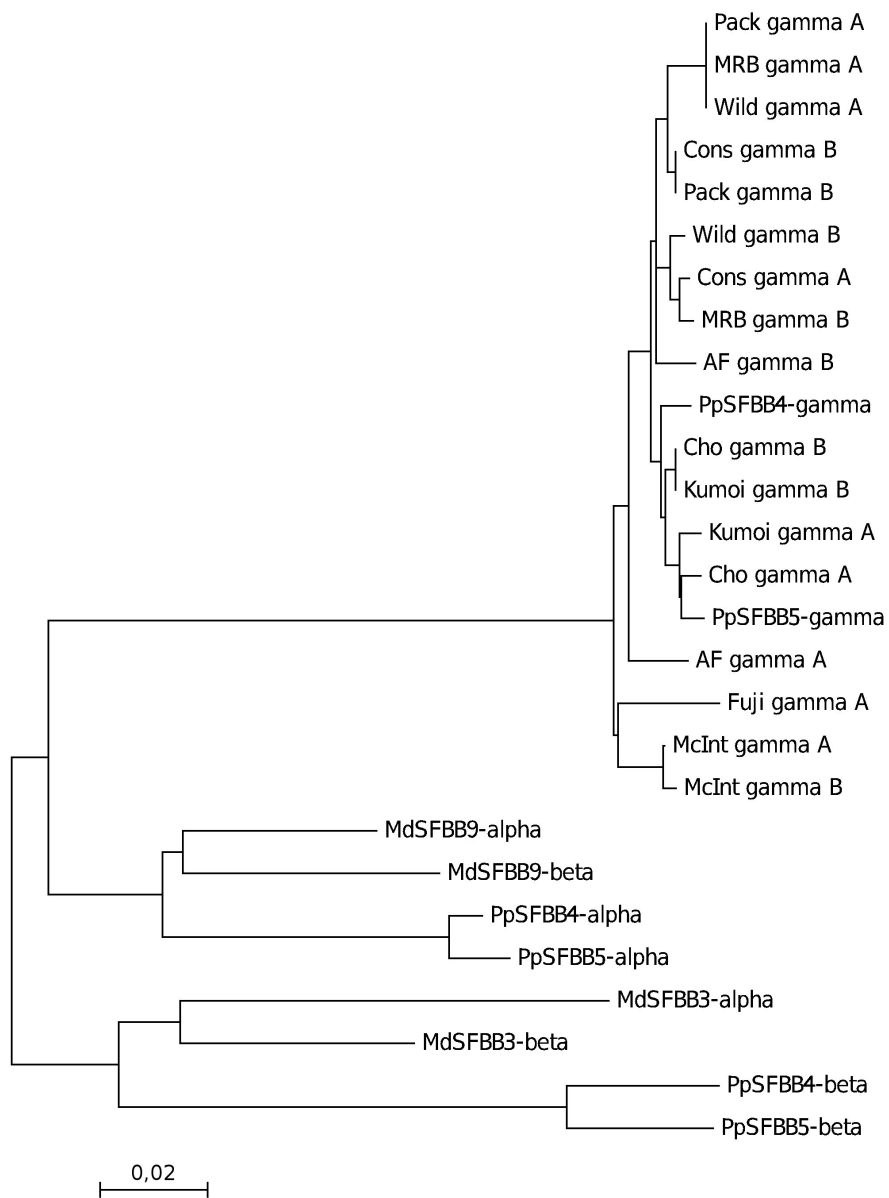


Figura 4.4: albero ottenuto dal confronto fra le sequenze ottenute per il gruppo Pp γ e quelle degli SFBB di melo e pero giapponese presenti in database. Le sequenze ottenute confermano un'elevata omologia con le PpSFBB γ ; anche in questo caso le sequenze di melo (McInt Gamma A/B, Fuji Gamma A) si collocano in posizione distinta rispetto alle sequenze di pero europeo e giapponese.

di melo posizionate a formare un cluster interno distinto da quelle di pero europeo e giapponese.

RISULTATI E DISCUSSIONE

4.1.5 Geni F-box del gruppo MdS9

La coppia di primer Md9 α -for/Md9-rev ha prodotto un amplificato da due sole varietà: ‘Fuji’ e ‘Conseiller a La Coeur’, mentre la coppia Md9 β -for/Md9-rev ha amplificato da 8 genotipi. Si è deciso di non sequenziare i frammenti amplificati da ‘Fuji’, in quanto la varietà è portatrice dell’aplotipo MdS₉, al quale appartengono appunto le sequenze MdSFBB^{9- α} e MdSFBB^{9- β} sulle quali sono stati realizzati questi primer. In totale sono quindi stati sequenziati 10 frammenti (tabella 4.7).

Genotipo	Sequenze S9 α
‘Fuji’	MdSFBB ^{9-α}
‘Conseiller a La Coeur’	Cons S9Alfa

Genotipo	Sequenze S9 β
‘Fuji’	MdSFBB ^{9-β}
‘Max Red Bartlett’	MRB S9Beta A, MRB S9Beta B
‘Conseiller a La Coeur’	Cons S9Beta
‘Wilder’	Wild S9Beta
‘Packham’s Triumph’	Pack S9Beta A, Pack S9Beta B
‘McIntosh’	McInt S9Beta
‘Kumoi’	Kum S9Beta
‘Chojuro’	Cho S9Beta

Tabella 4.7: sequenze ottenute per i frammenti omologhi ai geni MdSFBB⁹.

L’unico frammento omologo al gene MdSFBB^{9- α} è stato individuato nella varietà di pero europeo ‘Conseiller a La Coeur’: ciò appare estremamente significativo in considerazione dell’omologia fra le RNasi degli applotipi MdS₉ e PcS₁₂₃. Inoltre la percentuale di identità fra la sequenza Cons S9Alfa e MdSFBB^{9- α} è del 98%, lo stesso valore che si riscontra fra le sequenze codificanti delle due RNasi. Ciò supporta fortemente l’ipotesi che i due applotipi MdS₉ e PcS₁₂₃ si siano originati da uno stesso applotipo ancestrale, risalente al periodo evolutivo precedente alla divergenza delle specie melo e pero, mantenuto poi pressoché inalterato nel corso della storia evolutiva delle due specie per il fenomeno dell’evoluzione trans-specifica.

Frammenti omologhi a MdSFBB^{9- β} sono invece stati ottenuti da più genotipi; queste sequenze formano un cluster al cui interno le percentuali di identità non scendono sotto al 93%. Curiosamente, la sequenza Cons S9Beta ottenuta da ‘Conseiller a La Coeur’ non presenta un’alto grado di omologia con MdSFBB^{9- β} , diversamente da

4.1 Ricerca e caratterizzazione di geni S-locus F-box

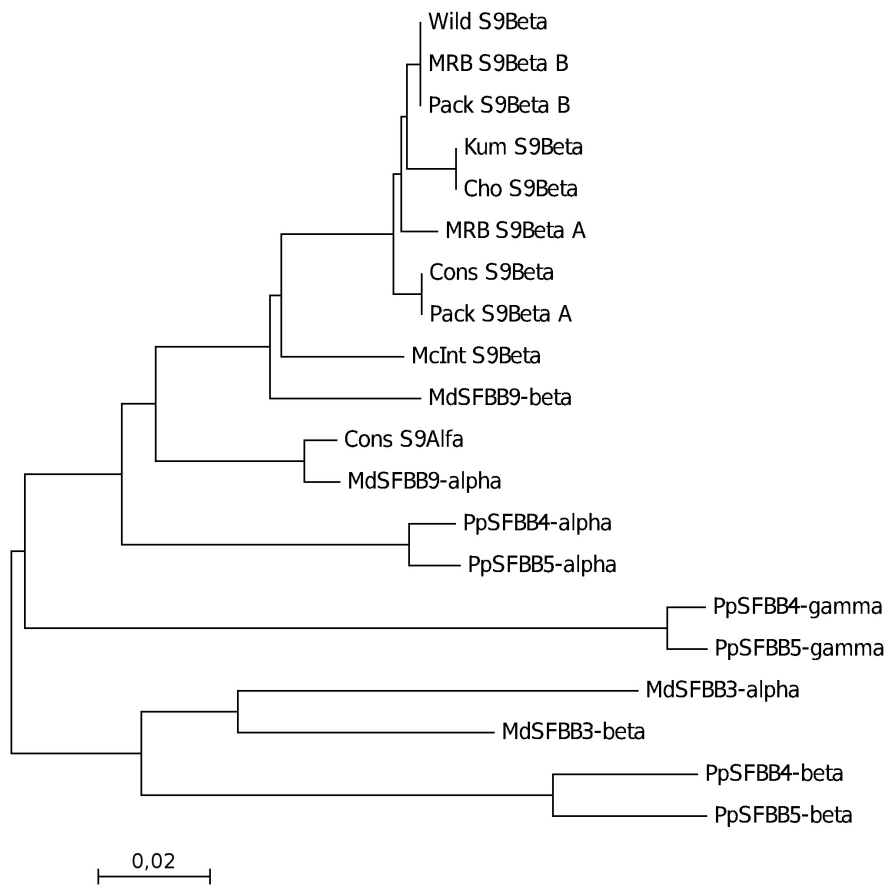


Figura 4.5: albero ottenuto dal confronto fra le sequenze ottenute per il gruppo MdS9 e quelle degli SFBB di melo e pero giapponese presenti in database. Si noti come il gene $MdSFBB^{9-\alpha}$ abbia un omologo solo nella varietà di pero ‘Conseiller a La Coeur’, portatrice dell’allele PcS_{123} la cui RNasi è estremamente conservata rispetto alla RNasi dell’aplotipo MdS₉.

quanto osservato con Cons S9Alfa e $MdSFBB^{9-\alpha}$; è invece perfettamente identica alla sequenza Pack S9Beta A, essendo quindi più verosimilmente associata all’aplotipo PcS_{103} . È tuttavia ragionevole ipotizzare che anche l’aplotipo PcS_{123} contenga un gene omologo a $MdSFBB^{9-\beta}$; questo in fase di amplificazione potrebbe essere risultato sfavorito rispetto al frammento associato a PcS_{103} , non potendo quindi essere clonato.

Altre associazioni alleliche facilmente individuabili sono quelle delle tre sequenze identiche MRB S9Beta B, Pack S9Beta A e Wild S9Beta all’aplotipo PcS_{101} , e delle due sequenze Kum S9Beta e Cho S9Beta all’aplotipo PpS_3 .

La maggiore divergenza fra le sequenze di questo gruppo rispetto ai gruppi pre-

RISULTATI E DISCUSSIONE

cedentemente analizzati, pur non raggiungendo il livello di divergenza riscontrabile fra le S-RNasi, induce ad ipotizzare una più stretta associazione di questi frammenti al locus S, o addirittura l'appartenenza allo stesso, come peraltro dimostrato per il gene $MdSFBB^{9-\beta}$. Tuttavia non è possibile trarre conclusioni certe in questo senso: infatti il ridottissimo tasso di ricombinazione che caratterizza il locus S rende ogni aplotipo virtualmente isolato dagli altri; quindi, anche se $MdSFBB^{9-\beta}$ è situato a soli 93 kb di distanza dalla MdS_9 -RNasi [52], non è assolutamente scontato che anche i frammenti omologhi individuati occupino la stessa posizione nei rispettivi aplotipi S.

4.1.6 Geni F-box del gruppo $MdS3$

La coppia di primer $Md3$ -for/rev ha consentito di clonare e sequenziare un totale di 13 frammenti da 8 genotipi, riassunti nella tabella 4.8.

Genotipo	Sequenze
'Abate Fétel'	AF S3 A
'Max Red Bartlett'	MRB S3 A, MRB S3 B
'Conseiller a La Coeur'	Cons S3 A, Cons S3 B
'Wilder'	Wild S3 A
'Packham's Triumph'	Pack S3 A, Pack S3 B
'Fuji'	Fuji S3 A
'McIntosh'	McInt S3 A, McInt S3 B
'Chojuro'	Cho S3 A, Cho S3 B

Tabella 4.8: sequenze ottenute per i frammenti omologhi ai geni $MdSFBB^3$.

Le sequenze ottenute presentano un'omologia maggiore con $MdSFBB^{3-\beta}$ rispetto a $MdSFBB^{3-\alpha}$, con l'unica eccezione di Cho S3 B di 'Chojuro' che presenta con quest'ultima un'identità di sequenza pari al 94%. Il cluster comprendente le altre 12 sequenze e $MdSFBB^{3-\beta}$ presenta percentuali di identità a coppie non inferiori al 93%.

Anche in questo cluster sequenze identiche sono state ottenute da genotipi che condividono un aplotipo S: le sequenze MRB S3 A, Pack S3 A e Wild S3 A, provenienti da 'Max Red Bartlett', 'Packham's Triumph' e 'Wilder' ed identiche fra loro, possono essere associate all'aplotipo PcS_{101} ; analogamente le sequenze Pack S3 B e Cons S3 B, da 'Packham's Triumph' e 'Conseiller a La Coeur', sono state associate all'aplotipo PcS_{103} .

La distribuzione delle sequenze nel cluster non riflette differenze legate alla divergenza delle specie, come invece osservato per i gruppi $Pp\alpha$ e $Pp\gamma$; sono invece

4.1 Ricerca e caratterizzazione di geni S-locus F-box

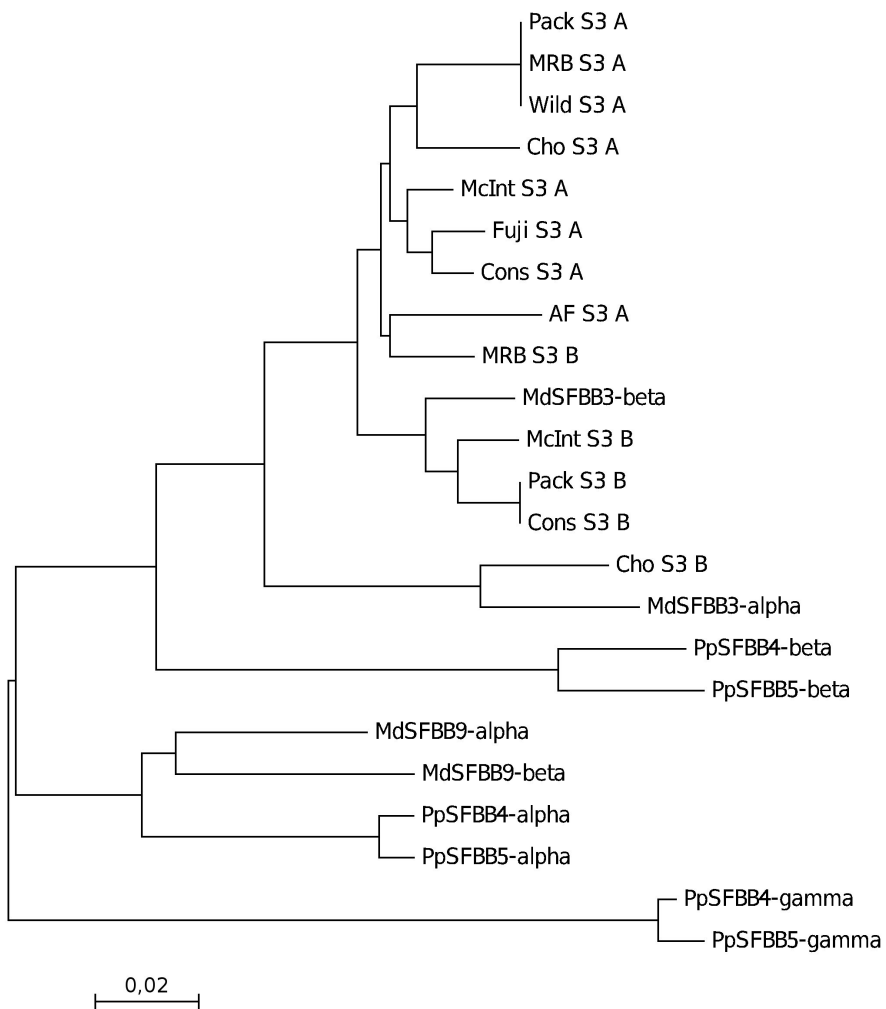


Figura 4.6: albero ottenuto dal confronto fra le sequenze ottenute per il gruppo MdS3 e quelle degli SFBB di melo e pero giapponese presenti in database.

rilevabili omologie maggiori fra coppie di sequenze di specie diverse, piuttosto che fra sequenze della stessa specie, esattamente come avviene per le S-RNasi. È inoltre interessante notare come i maggiori livelli di similarità si riscontrino fra sequenze dotate di RNasi altamente conservative: è il caso di Fuji S3 A e Cons S3 A delle varietà ‘Fuji’ e ‘Conseiller a La Coeur’, identiche al 98% esattamente come le RNasi MdS₉ e Pcs123, alle quali potrebbero quindi essere associate; lo stesso discorso potrebbe valere per le sequenze Pack S3 B e Cons S3 B, associate come detto all’aplotipo Pcs103, identiche al 97% con McInt S3 B di ‘McIntosh’; si può quindi ipotizzare che quest’ultima sequenza sia associata all’aplotipo MdS₁₀, la cui RNasi è al 98% identica a quella appunto dell’aplotipo Pcs103.

RISULTATI E DISCUSSIONE

La distribuzione delle sequenze e delle ramificazioni in questo cluster potrebbe-
ro quindi, almeno in una certa misura, riflettere la struttura del cluster relativo alle
RNasi, riportato nella figura 4.1. Ciò porta ad ipotizzare una stretta associazione delle
sequenze ottenute per questo gruppo al locus S; questa osservazione appare compati-
bile con la posizione dei geni $MdSFBB3^{3-\alpha}$ e $MdSFBB3^{3-\beta}$, isolati da cloni genomici
contenenti la MdS_3 -RNasi e quindi ad essa fisicamente molto vicini. Tuttavia, poichè
317 kb dell'aplotipo MdS_9 sono state interamente sequenziate e contengono solo i
due geni $MdSFBB^{9-\alpha}$ e $MdSFBB^{9-\beta}$ [52], se almeno una delle due sequenze ottenute
da ‘Fuji’ è effettivamente associata all'aplotipo MdS_9 , è da escludere che questa si
trovi nelle 317 kb fiancheggianti la MdS_9 -RNasi.

4.1.7 Mappaggio dei geni identificati

I 91 individui della popolazione ‘Abate Fétel’ × ‘Max Red Bartlett’, di cui è già
disponibile una mappa genetica [128, 129, 130, 131], sono stati prima di tutto analiz-
zati per determinarne il genotipo S, verificando la distribuzione delle quattro S-RNasi
tramite il marcitore SCAR descritto nel par. 3.3.4. L’analisi di mappa si è focalizzata
sul linkage group (LG) 17, sede del locus S in melo [146] ed in pero [147].

I dati relativi a tutte le segregazioni analizzate sono stati inseriti nel dataset della
mappa disponibile per questa popolazione ed elaborati con il programma JoinMap; la
RNasi e tutti i frammenti di geni F-box identificati sono stati posizionati sul linkage
group 17, in stretta associazione fra loro. La mappa del cromosoma 17 ottenuta è
riportata nella figura 4.7.

Il LG 17 di ‘Max Red Bartlett’, in particolare, è denominato ed orientato dalla
presenza dei microsatelliti ch01h01 e ch04c10; prima di questo lavoro di tesi il LG
17 di ‘Abate Fétel’ invece non era identificato, in quanto i due microsatelliti sopra
citati sono caratterizzati da una segregazione dominante. I marcatori relativi al locus
S sviluppati ed analizzati nel corso di questo studio sono stati associati al LG 17 di
‘Max Red Bartlett’ e, per quanto riguarda il parentale ‘Abate Fétel’, ad un gruppo
di associazione formato solo da marcatori AFLP; in questo modo il LG 17 di ‘Abate
Fétel’ è stato identificato dagli stessi marcatori del locus S.

Sulla base delle informazioni di sequenza ottenute per i geni F-box dei due pa-
rentali sono poi stati realizzati specifici marcatori di tipo CAPS per poter verificare
la segregazione nella progenie dei geni identificati. La tabella 4.9 riassume gli enzimi
di restrizione utilizzati per ogni gruppo di sequenze e i frammenti dei quali è stato
possibile seguire la distribuzione.

La verifica della segregazione ha confermato l’associazione al locus S di tutti i

4.1 Ricerca e caratterizzazione di geni S-locus F-box

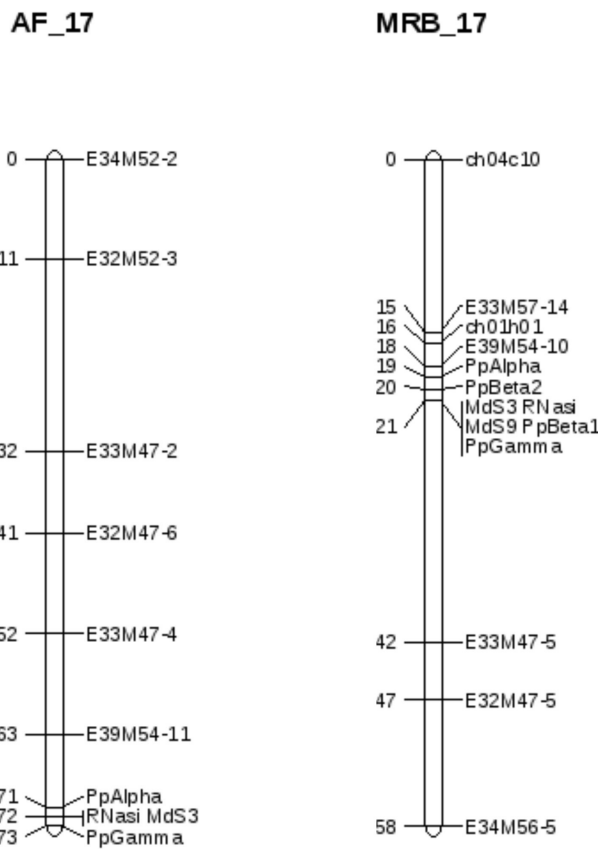


Figura 4.7: mappa relativa al linkage group 17 di ‘Abate Fétel’ × ‘Max Red Bartlett’; i geni PpBeta1 e PpBeta2 corrispondono, rispettivamente, alle sequenze MRB Beta A e MRB Beta Z. Il cromosoma 17 è chiaramente identificato dalla presenza del microsatellite ch01h01, mappato sia in melo [148, 149, 150] che in pero [147], e del microsatellite ch04c10, mappato soltanto in pero [129].

gruppi genici analizzati. Come atteso, inoltre, tutte le sequenze di ‘Max Red Bartlett’ che erano state putativamente attribuite all’aplotipo S₁₀₁ per l’identità con frammenti di altri genotipi dotati dello stesso applotipo, hanno confermato di essere associate ad esso. La tabella 4.10 riassume le associazioni stabilite fra le sequenze analizzate e gli applotipi S.

Le tre sequenze del gruppo Pp α sono state mappate come marcatore codominante di tipo “a0 × bc”; pur confermando una forte associazione alle S-RNasi, sono stati individuati due genotipi ricombinanti: si tratta degli individui A36 e B42. Entrambi hanno genotipo S Pcs₁₀₂/Pcs₁₀₅, ma contengono, oltre al frammento AF Alfa A associato a Pcs₁₀₅, la sequenza MRB Alfa A, che in tutti gli altri individui è stata trovata associata all’aplotipo Pcs₁₀₁. È quindi presumibile che entrambi i casi siano

RISULTATI E DISCUSSIONE

Gruppo	Enzima	Sequenze mappate
P $\rho\alpha$	<i>Rsa</i> I	AF Alfa A, MRB Alfa A, MRB Alfa B
P $\rho\beta$	<i>Rsa</i> I	MRB Beta A, MRB Beta Z
P $\rho\gamma$	<i>Mse</i> I	AF Alfa A, AF Alfa B, MRB Alfa A, MRB Alfa B
MdS9	<i>Eco</i> RI	MRB S9Beta A, MRB S9Beta B
MdS3	<i>Taq</i> I, <i>Rsa</i> I	AF S3 A, MRB S3 A, MRB S3 B

Tabella 4.9: enzimi di restrizione usati per lo sviluppo di marcatori CAPS e sequenze per le quali è stata verificata la segregazione.

stati originati da un analogo evento di ricombinazione a carico del parentale maschile ‘Max Red Barlett’, causato da un crossing-over fra il gene della S-RNasi e il gene F-box in questione durante la microsporogenesi.

Le quattro sequenze del gruppo P $\rho\gamma$ sono state mappate come marcatore codominante di tipo “ab × cd”; anche in questo caso, nonostante la forte associazione al gene della RNasi, è stato individuato un genotipo ricombinante: l’individuo A38. Questo ha genotipo S PcS₁₀₁/PcS₁₀₅ ed ha mostrato di possedere le sequenze MRB Gamma A, associata appunto a PcS₁₀₁, e AF Gamma B che invece è stata in tutti gli altri genotipi associata all’aplotipo PcS₁₀₄. In questo caso l’evento di ricombinazione è a carico del parentale materno ‘Abate Fétel’, ed ha riguardato un crossing-over durante la macrosporogenesi.

Poichè i primer Md9β-for e Md9-rev non hanno prodotto nessun amplificato dalla varietà ‘Abate Fétel’, è stato possibile mappare le due sequenze ottenute da ‘Max Red Bartlett’ come marcatore di tipo “00 × ab”. Le due sequenze MRB S9Beta A e MRB S9Beta B hanno confermato una perfetta associazione rispettivamente agli apotipi PcS₁₀₂ e PcS₁₀₁; nessun genotipo ricombinante è stato individuato.

Le tre sequenze del gruppo MdS3 sono state mappate come marcatore codominante di tipo “a0 × bc” ed hanno confermato di essere perfettamente associate al locus S; nessun genotipo ricombinante è stato infatti individuato per le sequenze di questo gruppo.

Il mappaggio delle sequenze del gruppo P $\rho\beta$ è stato meno facile perchè, come discusso precedentemente, il gene è sicuramente presente in più copie, e non è stato possibile ottenere le sequenze di tutte; i profili di restrizione del marcitore CAPS realizzato hanno infatti mostrato più bande rispetto a quanto atteso dall’analisi *in silico* dei siti di restrizione, generando pattern complessi ed impedendo di ottenere risultati certi per alcune delle segregazioni ottenute. Uniche eccezioni sono state le due sequenze di ‘Max Red Bartlett’ MRB Beta A e MRB Beta Z, che hanno prodotto

4.1 Ricerca e caratterizzazione di geni S-locus F-box

Sequenza	Aplotipo associato
AF Alfa A	PcS ₁₀₅
MRB Alfa A	PcS ₁₀₁
MRB Alfa B	PcS ₁₀₂
MRB Beta A	PcS ₁₀₁
MRB Beta Z	PcS ₁₀₂
AF Gamma A	PcS ₁₀₅
AF Gamma B	PcS ₁₀₄
MRB Gamma A	PcS ₁₀₁
MRB Gamma B	PcS ₁₀₂
MRB S9Beta A	PcS ₁₀₂
MRB S9Beta B	PcS ₁₀₁
AF S3 A	PcS ₁₀₅
MRB S3 A	PcS ₁₀₁
MRB S3 B	PcS ₁₀₄

Tabella 4.10: associazione delle sequenze mappate agli aplotipi S.

bande della dimensione attesa univocamente associabili ad esse, grazie alle quali è quindi stato possibile seguirne la segregazione. L'analisi delle sequenze discussa nel par. 4.1.3 mette tuttavia in forte dubbio l'allelismo fra le due sequenze; si è anzi ritenuto molto più probabile che la sequenza MRB Beta Z, che si posiziona fuori dal cluster principale (figura 4.5), appartenga ad un locus distinto, diverso da quello di MRB Beta A. Per questo motivo si è deciso di mappare le due sequenze in questione indipendentemente l'una dall'altra, entrambe come marcatori dominanti di tipo presenza/assenza. La sequenza MRB Beta A ha dimostrato di essere associata alla RNasi dell'aplotipo PcS₁₀₁, non producendo alcun genotipo ricombinante; La sequenza MRB Beta Z è stata invece associata all'aplotipo PcS₁₀₂, ma in questo caso è stato individuato un evento di ricombinazione: la sequenza infatti si è rivelata assente nell'individuo A36, con genotipo PcS₁₀₂/PcS₁₀₅, già identificato come ricombinante per il gruppo Pp α . È quindi probabile che i due geni in questione siano situati in prossimità sul cromosoma e che lo stesso evento di crossing-over abbia prodotto la ricombinazione per entrambi.

Occorre sottolineare come il numero di individui della progenie, 91, non consenta un mappaggio fine dei geni analizzati; infatti il ridottissimo tasso di ricombinazione che caratterizza il locus S richiederebbe un'analisi su un numero molto maggiore di

RISULTATI E DISCUSSIONE

Locus	Segregazione	ac	ad	bc	bd	nn	np	md	χ^2
RNasi	<ab×cd>	25	19	21	26	-	-	0	1.4
PpAlpha	<ab×cd>	25	19	23	24	-	-	0	0.9
PpBeta1	<nn×np>	-	-	-	-	44	46	1	0.0
PpBeta2	<nn×np>	-	-	-	-	47	43	1	0.2
PpGamma	<ab×cd>	26	19	20	26	-	-	0	1.9
MdS3	<ab×cd>	25	19	21	26	-	-	0	1.4
MdS9	<nn×np>	-	-	-	-	45	46	0	0.0

Tabella 4.11: Single Locus Analysis relativa ai geni del locus S mappati; sono riportati il tipo di segregazione, il numero di individui in ogni classe genotipica, il numero di dati mancanti (“md”) ed il test χ^2 .

genotipi per poter stabilire sia le effettive frequenze di ricombinazione fra il gene della RNasi e i geni F-box individuati, sia la reale perfetta associazione per quei geni che non hanno prodotto ricombinanti.

Tuttavia dall’analisi condotta si può comunque concludere che tutti i geni F-box analizzati sono associati al locus S; fra questi, i geni del gruppo P α e P γ e la sequenza MRB Beta Z pur essendo associati al locus S non possono probabilmente essere considerati appartenenti ad esso; infatti si trovano ad una distanza dalla RNasi tale da consentire di individuare genotipi ricombinanti. Il loro ruolo come determinanti maschili dell’autoincompatibilità è quindi estremamente improbabile: infatti una ricombinazione fra la RNasi e il determinante maschile produrrebbe un apotipo mutante autocompatibile, in cui le specificità di riconoscimento sarebbero diverse da parte stilare e pollinica; tuttavia mutanti di questo tipo non sono mai stati individuati nelle Pyrinae. I geni F-box dei gruppi Md9 e Md3 e la sequenza MRB Beta A, che non mostrano eventi di ricombinazione con la RNasi, restano invece ottimi candidati a svolgere il ruolo di determinanti maschili.

4.1.8 Considerazioni sulla struttura del locus S nelle Pyrinae

I dati prodotti nel presente studio mettono in discussione l’ipotesi, formulata da Sassa *et al.* 2007 [52], secondo cui il locus S potrebbe avere una struttura diversa fra melo e pero giapponese, essendo dotato nella prima specie di due geni F-box e nella seconda di tre. Emerge invece chiaramente come tutti i geni SFBB identificati in melo e pero giapponese abbiano omologi in tutte e tre le specie analizzate nel presente studio.

4.1 Ricerca e caratterizzazione di geni S-locus F-box

È quindi presumibile che le specie melo, pero europeo e pero giapponese condividano la stessa struttura del locus S. Questa ipotesi appare peraltro decisamente più plausibile non solo per l'elevata similitudine fra i genomi delle tre specie, ma anche e soprattutto per le caratteristiche peculiari dello stesso locus S; infatti, come citato nel par. 1.9, l'estrema improbabilità dell'eliminazione di un apotipo S in condizioni naturali fa sì che molti degli apotipi attuali si siano originati in tempi antichissimi, precedenti la divergenza delle specie, e si siano mantenuti pressoché inalterati anche grazie al ridottissimo tasso di ricombinazione che contraddistingue questo locus [114, 115].

Il fenomeno dell'evoluzione trans-specifica [116] è testimoniato anche dall'identificazione nella varietà ‘Conseiller a La Coeur’ di una sequenza altamente omologa al gene $PpSFBB^{9-\alpha}$, dato che supporta una volta di più l'ipotesi dell'origine comune degli apotipi PcS_{123} e MdS_9 .

A questo proposito occorre fare una considerazione sul comportamento di alcuni dei geni F-box identificati; infatti, se è vero che i geni interni al locus S sono stati mantenuti inalterati o quasi durante la storia evolutiva delle tre specie, e che i geni ad esso esterni sono invece andati incontro ad un'evoluzione indipendente, appare chiaro come almeno due dei geni clonati, corrispondenti ai gruppi $Pp\alpha$ e $Pp\gamma$, debbano essere considerati geni esterni al locus S: in questi gruppi la suddivisione delle sequenze riflette appunto la divergenza delle specie, risultando particolarmente evidente per le sequenze di melo che si presentano in un cluster separato rispetto a quelle di pero. L'identificazione di genotipi ricombinanti nella progenie di ‘Abate Féte’ × ‘Max Red Bartlett’ conferma ulteriormente questo dato; sui geni $PpSFBB\gamma$ è stato anche sviluppato un saggio di genotipizzazione S [127], che alla luce dei dati presentati è possibile sia soggetto ad errori, sia pure in percentuali molto basse.

Rimangono invece ancora da chiarire tre questioni fondamentali:

- il numero di geni F-box associati ad ogni apotipo S. È infatti chiaro che ne esistono più dei 2 o 3 identificati da Sassa *et al.* rispettivamente in melo e pero giapponese; per almeno 5 geni sono stati trovati omologhi in vari apotipi delle tre specie, ma il numero potrebbe essere ancora ampiamente sottostimato sia per l'eventuale presenza di altri geni (come quelli identificati da Cheng *et al.* in melo [51]), sia per la possibile duplicazione di alcuni di questi, come verificato per il gruppo $Pp\beta$. Dati definitivi in questo senso probabilmente verranno solo dai programmi di sequenziamento del genoma.
- la dimensione del locus S. La regione dell'apotipo S_9 sequenziata misura 317 kb, una delle regioni sequenziate del locus S più ampie insieme a quella dell'a-

RISULTATI E DISCUSSIONE

plotipo S₂ di *Petunia* [151]. Evidentemente però possono esistere geni F-box anche più distanti dalla RNasi; anche se è chiaro che il determinante pollinico debba trovarsi sufficientemente vicino alla RNasi da essere ereditato con essa come un'unica unità segregante, non si possono trarre conclusioni certe su quali valori possa raggiungere questa distanza. È degno di nota, a questo proposito, come il gene F-box fisicamente più vicino alla RNasi S₄ di pero giapponese, S₄F-box0, sia inequivocabilmente non necessario per il riconoscimento, visto che la sua delezione non modifica la funzione pollinica [105].

- la natura del determinante pollinico. Non è infatti chiaro quanti e quali dei geni F-box che circondano la RNasi siano effettivamente responsabili della specificità di riconoscimento fra polline e pistillo; un'ipotesi è quella formulata da Sassa *et al.*, secondo la quale i diversi geni SFBB cooperano nello svolgimento di questo ruolo [52]; tuttavia il numero maggiore di geni F-box identificati e l'evidenza che alcuni di questi possono andare incontro a ricombinazione rispetto alla RNasi, sembrano indicare una risposta differente. Così come avviene in diversi aplotipi S di *Prunus*, *Petunia* e *Antirrhinum*, nei quali il determinante è un singolo gene SLF/SFB ma altri geni F-box esistono nelle immediate vicinanze della RNasi [41, 42, 43, 151], analogamente anche nelle Pyrinae un solo gene F-box potrebbe essere responsabile della funzione pollinica dell'autoincompatibilità, mentre tutti gli altri potrebbero svolgere ruoli accessori.

Anche se non è possibile trarre conclusioni definitive in merito al determinante pollinico, l'analisi condotta fornisce comunque una serie di informazioni importanti in merito; infatti, se da un lato è probabile che per alcuni dei geni SFBB noti sia da escludere il diretto coinvolgimento come determinanti dell'autoincompatibilità (gruppi Pp α e Pp γ), altri, come i geni F-box dei gruppi MdS3 e MdS9, al contrario esibiscono tutte le caratteristiche genetiche attese per questo ruolo:

- la perfetta associazione al gene della S-RNasi;
- un'alto livello di divergenza delle sequenze;
- la similarità fra geni di aplotipi S le cui RNasi sono estremamente conservate.

Per questo motivo, i geni identificati nel corso di questo lavoro costituiscono i candidati più credibili al ruolo di determinante maschile dell'autoincompatibilità gametofitica in pero europeo e negli altri membri delle Pyrinae.

4.2 Geni differenzialmente espressi in incroci compatibili/incompatibili

4.2 Geni differenzialmente espressi in incroci compatibili ed incompatibili identificati tramite cDNA-AFLP

L’analisi è stata condotta partendo da stili impollinati secondo quattro combinazioni d’incrocio (autoimpollinazione, impollinazione incompatibile, semicompatibile e compatibile), confrontando i profili d’espressione relativi al tempo zero (T_0) e ad un pool di quattro tempi successivi (T_{1-4} : 4, 8, 24 e 48 ore dall’impollinazione).

I profili di trascrizione prodotti, come previsto, si sono rivelati piuttosto complessi; la grande parte di questa complessità è indubbiamente da attribuire alla variabilità ambientale, che ovviamente deve essere limitata al massimo in fase sperimentale, ma che risente del fatto che il campionamento debba essere effettuato su alberi in pieno campo. Per questo motivo, nella ricerca di frammenti con espressione correlata alle reazioni di accettazione o rigetto, non sono state considerate bande che non presentassero il profilo atteso in almeno 7 delle 8 tesi testate; due esempi sono riportati nella figura 4.8.

I profili presi in considerazione, in particolare, sono stati i seguenti:

- frammenti, sempre assenti o sempre presenti nei T_0 , presenti solo nei T_{1-4} relativi agli incroci compatibile e semicompatibile; questo tipo di pattern corrisponde teoricamente a geni la cui espressione è attivata o mantenuta attiva solo in presenza di tubetti compatibili.
- frammenti, sempre assenti o sempre presenti nei T_0 , presenti solo nei T_{1-4} relativi agli incroci incompatibili ed al semicompatibile, corrispondenti a geni la cui trascrizione è attivata o mantenuta attiva solo in presenza di tubetti incompatibili.
- frammenti, sempre assenti o sempre presenti nei T_0 , presenti solo nei T_{1-4} relativi all’incrocio 100% compatibile, corrispondenti a geni la cui trascrizione è attivata o mantenuta attiva solo in assenza di tubetti incompatibili.
- frammenti, sempre assenti o sempre presenti nei T_0 , presenti solo nei T_{1-4} relativi agli incroci incompatibili, corrispondenti a geni la cui trascrizione è attivata o mantenuta attiva solo in assenza di tubetti compatibili.
- frammenti con pattern corrispondente a uno dei quattro precedenti, ma caratterizzati, anzichè dalla presenza/assenza della banda, da una sua più che evidente differenza di intensità fra le tesi.

RISULTATI E DISCUSSIONE

In totale, grazie alle 96 combinazioni di primer AFLP testate, sono state individuate 36 bande con profilo rispondente ai requisiti; per 28 di queste è stato possibile ottenere la sequenza. I pattern d'espressione relativi ai 28 TDF (*Transcript Derived Fragments*) risultanti sono schematizzati nella tabella 4.12; tutte le sequenze sono riportate in appendice A.

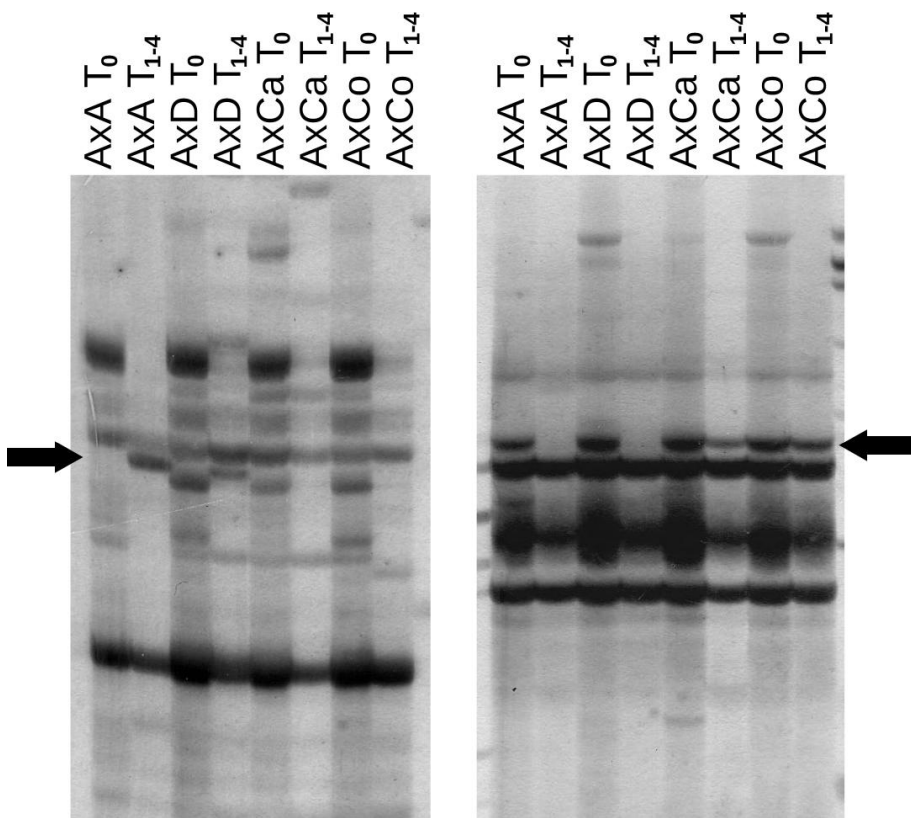


Figura 4.8: esempio di profili cDNA-AFLP relativi ai quattro incroci (la denominazione dei campioni è la stessa utilizzata nella tabella 4.12); a sinistra la freccia indica la banda da cui è stato ricavato il TDF 30, assente nei T_0 e presente nei pool T_{1-4} solo degli incroci incompatibili (AxA e AxD); a destra il profilo del TDF 04, presente in tutti i T_0 e nei T_{1-4} solo delle combinazioni semicompatibile (AxCa) e compatibile (AxCo).

4.2 Geni differenzialmente espressi in incroci compatibili/incompatibili

Frammento	Primer	Dim.	Pattern di espressione								
			A×A		A×D		A×Ca		A×Co		
			T ₀	T ₁₋₄	T ₀	T ₁₋₄	T ₀	T ₁₋₄	T ₀	T ₁₋₄	
TDF 02	E40 - M47	128 bp	+	-	+	-	+	+	+	+	
TDF 03	E36 - M49	152 bp	0	0	1	0	1	1	1	1	
TDF 04	E40 - M47	364 bp	1	0	1	0	1	1	1	1	
TDF 05	E36 - M47	107 bp	0	0	0	-	0	+	0	++	
TDF 06	E40 - M48	200 bp	-	-	-	-	-	+	-	+	
TDF 07	E43 - M52	103 bp	+	0	+	0	+	-	+	+	
TDF 09	E43 - M54	472 bp	1	0	1	0	1	1	1	1	
TDF 11	E37 - M51	101 bp	0	1	0	1	0	0	0	0	
TDF 12	E38 - M58	210 bp	1	0	1	0	1	1	1	1	
TDF 14	E44 - M57	127 bp	1	0	1	0	1	1	1	1	
TDF 15	E39 - M62	319 bp	1	0	1	0	1	0	1	1	
TDF 16	E39 - M62	97 bp	-	0	-	0	-	+	-	++	
TDF 18	E32 - M47	238 bp	0	0	1	0	1	0	1	1	
TDF 19	E31 - M62	190 bp	0	0	1	0	1	-	1	+	
TDF 20	E31 - M60	190 bp	1	0	1	0	1	1	1	1	
TDF 21	E33 - M51	238 bp	1	0	1	0	1	1	1	1	
TDF 23	E35 - M59	305 bp	0	0	1	0	1	0	1	1	
TDF 24	E35 - M59	372 bp	1	0	1	0	1	-	1	+	
TDF 26	E38 - M49	358 bp	1	1	1	1	1	-	1	0	
TDF 27	E35 - M52	268 bp	1	1	0	1	0	1	0	0	
TDF 28	E35 - M53	169 bp	0	0	1	0	1	1	1	1	
TDF 30	E37 - M59	384 bp	0	1	0	1	0	0	0	0	
TDF 31	E43 - M60	289 bp	1	1	0	1	0	0	0	0	
TDF 32	E43 - M61	250 bp	1	0	1	0	1	1	1	1	
TDF 33	E44 - M48	187 bp	1	0	1	0	1	1	1	1	
TDF 34	E32 - M57	96 bp	1	1	0	1	0	1	0	0	
TDF 35	E33 - M61	158 bp	0	0	0	0	0	1	0	1	
TDF 36	E33 - M62	523 bp	1	0	1	0	1	0	1	1	

RISULTATI E DISCUSSIONE

Tabella 4.12: (pagina precedente) schema riassuntivo dei 28 Transcript-derived fragments (TDF) identificati attraverso l'analisi di cDNA-AFLP. Per ognuno sono riportati i primer AFLP attraverso i quali il frammento è stato amplificato, la dimensione ed il livello di espressione del frammento al tempo 0 (T_0) e nel pool di tempi successivi (T_{1-4}) nelle 4 combinazioni testate:

“A×A” = ‘Abate Fétel’ × ‘Abate Fétel’ (autoincompatibilità)

“A×D” = ‘Abate Fétel’ × ‘Decana’ (incompatibilità)

“A×Ca” = ‘Abate Fétel’ × ‘Cascade’ (semicompatibilità)

“A×Co” = ‘Abate Fétel’ × ‘Conference’ (compatibilità)

Simboli utilizzati per definire l'espressione:

“0”, “1” = banda assente/presente

“,“, “+”, “++” = banda di intensità debole, forte, molto forte.

4.2.1 Analisi delle sequenze

Le sequenze ottenute sono state allineate in database utilizzando gli strumenti Fasta e Blast, alla ricerca di omologie con geni conosciuti per poter trarre informazioni sulla natura dei frammenti identificati.

Sei delle sequenze ottenute (TDF 07, 14, 16, 23, 32, 33) non hanno prodotto alcun allineamento significativo, mentre per altre 12 (TDF 03, 09, 11, 12, 15, 24, 26, 27, 28, 34, 35, 36) l'allineamento è stato ottenuto con sequenze ESTs o genomiche non annotate, che non hanno quindi consentito di trarre le informazioni desiderate. Solo per le restanti 10 è stato quindi possibile individuare, in diversi gradi, omologia con geni noti.

TDF 02. La sequenza del TDF 02, la cui trascrizione sembra essere fortemente repressa negli incroci incompatibili, presenta un'identità del 96% con la EST di melo numero CN444502¹; questa EST non è annotata, ma presenta un'Open Reading Frame (ORF) di 303 bp, seguita dal codone di stop e quindi probabilmente corrispondente alla porzione 3' della sequenza codificante del gene. Questa regione presenta un'elevata omologia, sia a livello di cDNA che di sequenza proteica dedotta, con

¹tutti i numeri di accessione di ESTs e proteine riportati in questo capitolo sono riferiti al database dell'EBI (European Bioinformatics Institute), <http://www.ebi.ac.uk/Databases/>

4.2 Geni differenzialmente espressi in incroci compatibili/incompatibili

il gene AT4G04970² di *Arabidopsis thaliana*, codificante per una putativa callosio sintasi (1,3- β -glucano sintasi).

TDF 04. Il pattern d'espressione di questo TDF indica un silenziamento nei soli incroci incompatibili. La sequenza si allinea molto bene a varie ESTs, fra cui le AM289644 e DY649229 di pesco e la CO722274 di melo; corrisponde ad una porzione interna alla sequenza codificante, dalla quale può quindi essere dedotta una sequenza aminoacidica di 114 residui. Questa presenta una buona omologia con le sequenze di varie UDP-glucosio o UDP-saccarosio pirofosforilasi, fra cui le proteine DQ399739 di *Cucumis melo* e DQ267699 di *Glycine max*.

TDF 05. La sequenza di questo TDF, la cui espressione sembra essere attivata in proporzione al grado di compatibilità dell'incrocio, si allinea bene con la EST CV880781 di melo; quest'ultima contiene una porzione codificante di 624 bp, tradotta in una sequenza di 208 aminoacidi altamente omologa al gene "TUA5" per la α -tubulina 5 di *Arabidopsis* (locus AT5G19780).

TDF 06. Il TDF 06, il cui pattern indica una trascrizione silenziata negli incroci incompatibili e nel semicompatibile, presenta un'ottima omologia con diverse ESTs di melo, fra cui in particolare la CV630007, nella porzione codificante; la sequenza proteica dedotta, di 66 aminoacidi, si allinea quasi perfettamente ad una regione della proteina codificata dal locus AT3G62830 di *Arabidopsis* e corrispondente ad una UDP-acido glucuronico decarbossilasi probabilmente di membrana.

TDF 18. Il pattern d'espressione del TDF 18 indica, come per il TDF 06, un silenziamento in tutti gli incroci tranne il 100% compatibile. La sua sequenza mostra omologia con varie ESTs di melo, fra cui la CV092062, nella porzione codificante; la sequenza proteica dedotta, di 79 aminoacidi, esibisce una buona omologia con diverse proteine contenenti PPR (*Pentatricopeptide Repeat*), come la EEF36579 di *Ricinus communis* e la NP_172694 di *Arabidopsis*.

TDF 19-20. I TDF 19 e 20 sono stati isolati indipendentemente l'uno dall'altro ma hanno fornito sequenze identiche al 98%. Il pattern d'espressione di entrambi indica un silenziamento negli incroci incompatibili; le sequenze si allineano bene a varie ESTs, fra cui la numero DR996645 di melo. Anche in questo caso la sequenza

²i numeri di accessione di geni di *Arabidopsis* citati appartengono al database TAIR (The *Arabidopsis* Information Resource), <http://www.arabidopsis.org/>

RISULTATI E DISCUSSIONE

dei TDF può essere tradotta in una porzione aminoacidica di 63 residui; le sequenze dedotte per i due TDF differiscono per due soli aminoacidi, e mostrano omologia con varie proteine disolfuro isomerasi (PDI) fra le quali la Q84XU4 di *Elaeis guineensis*.

TDF 21. La sequenza del TFD 21, che sembra avere un'espressione silenziata negli incroci incompatibili, si allinea alla EST CO898236 e a varie altre di melo, a ridosso del codone di stop della traduzione. La porzione codificante del TDF permette di dedurre una sequenza di sole 17 bp, che però è identica alla sequenza dedotta per la EST CO898236; quest'ultima contiene 79 aminoacidi e presenta omologia con la proteina O24591 di *Zea mays*, una istone deacetilasi.

TDF 30. Questo TDF presenta un pattern che ne indica un'attivazione dell'espressione solo negli incroci incompatibili; la sequenza presenta omologia con alcuni cDNA di *Prunus serotina* codificanti per idrolasi di glucosidi cianogenetici, come la prunasina idrolasi (sequenza AF411009) e la amigdalina idrolasi (U50201).

TDF 31. Anche il pattern relativo al TDF 31 indica un'attivazione dell'espressione solo negli incroci incompatibili; la sequenza si allinea perfettamente alla EST AJ504952 di pero europeo e di varie altre ESTs di melo, a ridosso del codone di stop della traduzione. La sequenza aminoacidica dedotta, di 51 residui, si allinea alla porzione carbossi-terminale di diversi carrier di membrana, fra cui la proteina A0FKR1, un Citrato/H⁺ symporter vacuolare di *Citrus sinensis*.

TDF	Distribuzione	Allineamenti rilevati
TDF 02	T ₀ , T ₁₋₄ compatibili	Callosio sintasi
TDF 04	T ₀ , T ₁₋₄ compatibili	UDP-zucchero pirofosforilasi
TDF 05	T ₁₋₄ compatibili	α-tubulina 5
TDF 06	T ₁₋₄ compatibili	UDP-acido glucuronico decarbossilasi
TDF 18	T ₀ , T ₁₋₄ 100% compatibile	Proteine contenenti PPR
TDF 19, TDF 20	T ₀ , T ₁₋₄ compatibili	Proteina disolfuro isomerasi
TDF 21	T ₀ , T ₁₋₄ compatibili	Istone deacetilasi
TDF 30	T ₁₋₄ incompatibili	Prunasina idrolasi
TDF 31	T ₁₋₄ incompatibili	Citrato/H ⁺ symporter vacuolare

Tabella 4.13: tabella riassuntiva dei TDF per i quali è stato possibile trovare allineamenti significativi con geni noti.

4.2 Geni differenzialmente espressi in incroci compatibili/incompatibili

4.2.2 Osservazioni sulla natura dei frammenti genici

Il quadro che emerge da questa analisi è piuttosto complesso, come peraltro era atteso in considerazione del profondo riassetto dell'espressione genica che investe il tubetto pollinico e lo stilo dal momento in cui avviene il riconoscimento.

Sulla base dei pattern di espressione è possibile suddividere i frammenti identificati in tre gruppi.

1. frammenti la cui espressione, attiva al tempo T_0 , viene mantenuta attiva solo in presenza di tubetti compatibili;
2. frammenti la cui espressione, assente o molto debole al tempo T_0 , viene attivata solo in presenza di tubetti compatibili;
3. frammenti la cui espressione, assente al tempo T_0 , viene attivata solo in assenza di tubetti compatibili.

Gruppo 1. Il primo gruppo è prevedibilmente il più ampio; al suo interno infatti possono ricadere, oltre a eventuali fattori stilari che consentono la crescita del tubetto, anche tutti quei geni pollinici i cui mRNA vengono degradati dall'azione della RNasi in caso di incompatibilità. Appartengono a questo gruppo i TDF 02, 04, 18, 19, 20, 21.

In questo gruppo l'annotazione putativamente attribuita al TDF 02, corrispondente ad una callosio sintasi, appare particolarmente coerente. Il callosio è infatti il componente dello strato interno della parete del tubetto pollinico e dei cosiddetti tappi che si formano lungo la crescita del tubetto, mediante i quali il citoplasma in avanzamento verso l'apice viene separato dalle sezioni più arretrate del tubo; l'irregolare deposizione del callosio è peraltro una caratteristica osservabile al microscopio tipica del tubetto incompatibile subito prima del blocco [152, 153, 154].

È significativo che due frammenti, i TDF 19 e 20, abbiano fornito lo stesso allineamento; in entrambi i casi si tratta di sequenze omologhe a PDI, proteina disolfuro isomerasi. Questi enzimi agiscono sui ponti disolfuro fra residui di cisteina nelle catene proteiche, regolandone quindi l'assunzione ed il mantenimento della corretta struttura terziaria e quaternaria; agiscono sia come chaperon molecolari per il folding proteico, sia nella regolazione di vari processi, e nelle piante ne esistono almeno 10 famiglie [155, 156]. Il ruolo svolto da questi enzimi potrebbe quindi essere coinvolto anche nella modulazione della risposta di incompatibilità. L'attività disolfuro isomerasica è peraltro caratteristica anche dell'enzima transglutaminasi [88, 89]; tuttavia non vi è omologia fra i TDF in questione e la sequenza della TGasi ottenuta in

RISULTATI E DISCUSSIONE

questa tesi (par. 4.3), inoltre la trascrizione di questi due TDF sembra sia mantenuta in caso di compatibilità del tubetto, mentre per l'attività TGasica si è riscontrato un aumento associato alla reazione incompatibile [97].

La UDP-zucchero pirofosforilasi, con cui il TDF 04 ha esibito omologia, è un enzima che può operare su vari zuccheri come substrato ed i cui prodotti, come appunto l'UDP-glucosio, sono precursori per la biosintesi di glicolipidi, glicoproteine e componenti della parete cellulare come pectine ed emicellulose. La sua regolazione può quindi rientrare anche in questo caso in una notevole varietà di processi cellulari, ma appare particolarmente significativo che lo stesso enzima sia risultato essenziale per lo sviluppo del polline in *Arabidopsis* [157, 158]; è possibile quindi che un analogo ruolo sia richiesto per la crescita del tubetto nello stilo, e che il suo silenziamento sia associato all'arresto nella reazione incompatibile.

Meno chiara appare infine l'interpretazione da attribuire all'annotazione dei TDF 18 e 21; le proteine contenenti PPR (TDF 18) sono conosciute come famiglia di proteine con domini di legame all'RNA e coinvolte nell'espressione genica organellare all'interno di cloroplasti e mitocondri [159]. L'enzima istone deacetilasi (TDF 21) catalizza la deacetilazione dei residui di lisina negli istori H2A, H2B, H3 e H4 (che formano il core del nucleosoma), passaggio che innesca la eterocromatinizzazione del DNA [160].

Gruppo 2. I frammenti appartenenti al gruppo 2 (TDF 05 e 06) possono invece derivare da geni funzionali alla crescita del tubetto la cui espressione è indotta a seguito del riconoscimento compatibile.

Il TDF 06 sembra corrispondere ad una UDP-acido glucuronico decarbossilasi; questo enzima converte l'UDP-acido glucuronico in UDP-xilosio, un coniugato zucchero-nucleotide richiesto nella via biosintetica di diversi polisaccaridi componenti la parete, come xilano e xiloglucano [161]. Anche questo enzima quindi, come la callosio sintasi (TDF 02) e la UDP-zucchero pirofosforilasi (TDF 04), rientra nel metabolismo della parete vegetale, struttura la cui regolazione sembra quindi giocare un ruolo fondamentale nella crescita del tubetto nello stilo.

Anche in questo caso appare di meno facile interpretazione la presenza di una tubulina (TDF 05); se infatti è vero che il citoscheletro svolge un ruolo fondamentale nella crescita del tubetto, e che una parte importante delle alterazioni innescate dalla reazione di autoincompatibilità è a carico proprio di actina e tubulina (peraltro entrambe substrato della TGasi), è anche vero che i geni della tubulina sono normalmente considerati geni “housekeeping”, la cui espressione dovrebbe essere co-

4.2 Geni differenzialmente espressi in incroci compatibili/incompatibili

stitutivamente attiva su tutti i tessuti della pianta. Future verifiche via Real Time PCR potranno fornire le indicazioni mancanti per definire un modello interpretativo dell'attività di questi geni.

Gruppo 3. Al terzo gruppo, nel quale ricadono i TDF 30 e 31, sono ascrivibili quei geni necessari a modulare la reazione di rigetto, espressi quindi solo a seguito del riconoscimento incompatibile.

Il TDF 30 ha esibito omologia con l'amigdalina e la prunasina idrolasi di *Prunus*, enzimi coinvolti nel metabolismo dei glucosidi cianogenetici; l'idrolisi di amigdalina e prunasina produce mandelonitrile, che successivamente si dissocia spontaneamente o enzimaticamente a formare benzaldeide ed acido cianidrico [162]. È interessante notare come questi composti siano coinvolti nella difesa della pianta contro patogeni, insetti ed erbivori; il rigetto del polline incompatibile potrebbe quindi coinvolgere in qualche misura vie normalmente deputate alla difesa contro i patogeni. Un parallelo fra il riconoscimento del polline incompatibile e del patogeno è peraltro già stato ipotizzato nell'incompatibilità sporofitica in *Brassica* [163].

Il TDF 31, infine, potrebbe corrispondere ad una proteina di trasporto associata al tonoplasto, deputata al simporto di citrato ed ioni H₊; questo carrier è quindi coinvolto nella segregazione degli acidi organici e nell'acidificazione del vacuolo, e la sua attivazione potrebbe essere correlata alla disaggregazione vacuolare osservata all'interno del tubetto negli stadi conclusivi della reazione di rigetto [68].

La cDNA-AFLP è una tecnica che conta ancora pochi esempi di impiego nelle specie arboree, pur essendo stata applicata alle tematiche di studio più diverse, quali la disidratazione della mandorla in *Prunus amygdalus* [164], l'embriogenesi somatica in *Fraxinus angustifolia* [165], la maturazione del frutto di albicocco [166], l'acidità del frutto di melo [167] e la risposta a *Plasmopara viticola* in vite [168].

Come avvenuto negli esempi precedenti, anche in questo sistema modello il quadro emerso è piuttosto complesso, poiché coinvolge vie biosintetiche diverse, tutte importantissime per la cellula, la cui interconnessione è sicuramente cruciale non solo nei fenomeni di rigetto ed accettazione del tubetto pollinico; le speculazioni rese possibili dall'annotazione di alcuni frammenti hanno comunque bisogno di ulteriori verifiche sperimentali per poter essere accettate. Innanzitutto sarà necessaria una validazione attraverso Real-Time PCR dell'effettivo livello di up- o down-regulation dei geni identificati.

Sin dalla pubblicazione del metodo, rispetto alla precedente tecnica del Differential Display [169] veniva osservata una considerevole riduzione dei "falsi positivi",

RISULTATI E DISCUSSIONE

cioè di geni risultati differenzialmente espressi con la tecnica ma che non venivano confermati tali dalle successive validazioni molecolari; tali frammenti infatti venivano stimati già da Bachem *et al.* 1998 [132] sotto l'1%. Fra i limiti della tecnica bisogna ricordare la ridotta dimensione dei frammenti identificati, che in diversi casi, come si è visto, non hanno consentito l'annotazione delle sequenze. Le verifiche dovranno inoltre escludere le eventuali possibilità di errore legate all'influenza dei fattori ambientali ed alla possibile diversità allelica fra i genotipi utilizzati nelle impollinazioni (una diversa distribuzione dei siti di taglio per gli enzimi utilizzati in fase di digestione del cDNA a doppio filamento potrebbe produrre profili polimorfici anche per geni non coinvolti nel meccanismo oggetto di studio).

Attraverso questa tecnica è comunque stato possibile individuare un buon numero di geni, sui quali potranno proseguire gli studi volti a chiarirne il coinvolgimento nei meccanismi dell'autoincompatibilità; una migliore caratterizzazione dei frammenti individuati, che richiederà anche l'ottenimento di sequenze più lunghe, ed una verifica più fine dei livelli di espressione degli stessi all'interno degli stili impollinati (attraverso Real-Time PCR), potrà sicuramente fornire informazioni più chiare sull'azione di questi geni, i quali, pur essendo esterni al locus S, possono svolgere un ruolo importante nel meccanismo di autoincompatibilità modulando o la risposta compatibile o quella incompatibile.

4.3 Sequenziamento del gene della transglutaminasi

Per il gene *AtPng1p* di *Arabidopsis thaliana*, primo gene di una transglutaminasi vegetale identificato e sequenziato [135], sono disponibili in database la sequenza genomica, per un totale di 4327 basi, e quella del cDNA, di 2438 bp; la sequenza codificante è suddivisa in 17 esoni, separati fra loro da 16 introni di dimensioni variabili fra le 71 e le 288 bp, e misura in totale 2166 bp; la proteina è costituita da 721 residui aminoacidici.

Questa proteina ha dimostrato di possedere attività TGasica dipendente da Ca^{2+} e GTP; pur non mostrando grande omologia con le TGasi animali, ne condivide la struttura tridimensionale e le proprietà biochimiche ed immunologiche, essendo riconosciuta dagli stessi anticorpi; è mantenuta anche la triade catalitica tipica delle TGasi, costituita da tre residui di cisteina, istidina e acido aspartico. Sembra essere un enzima estremamente diffuso nelle piante: attività TGasica è infatti stata rilevata in diversi organi e componenti sub-cellulari, in particolare nei cloroplasti dove la sua funzione è stata più approfonditamente studiata. I suoi possibili ruoli *in vivo* riguardano principalmente la modificazione post-traduzionale delle proteine mediante legame a poliammine e cross-linking proteico; agisce sui complessi fotosintetici, sul citoscheletro, probabilmente su varie componenti della parete ed altri substrati. È stato ipotizzato che la sua funzione rientri nella modulazione di una vasta gamma di meccanismi cellulari, come la risposta a stress biotici ed abiotici, la risposta di ipersensibilità, la morte cellulare programmata, la senescenza ed appunto il controllo della fertilizzazione, giocando quindi un ruolo importante anche nell'ambito dell'autoincompatibilità gametofitica [89].

Pur non essendo disponibili le sequenze di geni omologhi di pero o altre Rosaceae, nel database TFT (*Tree Fruit Technology*) della Michigan State University³ sono presenti due ESTs di melo che presentano omologia con la sequenza di *AtPng1p*:

- la EST MD4C477240, di 1094 bp, si allinea al cDNA di *AtPng1p* nella porzione compresa fra le basi 1037 e 2133, fra il dodicesimo ed il sedicesimo esone; l'omologia fra le due sequenze è del 64% a livello nucleotidico e del 57% nelle sequenze aminoacidiche dedotte.
- la EST MD4C271570 misura 1233 bp e si allinea alla porzione 5' del cDNA di *Arabidopsis*; le prime 70 basi di questa sequenza, putativamente corrispondenti alla regione 5' non tradotta (5'UTR) del cDNA di melo, non presentano un'omologia apprezzabile. La porzione compresa fra le basi 71 e 898 si allinea

³<http://genomics.msu.edu/fruitdb/analyses/database.shtml>

RISULTATI E DISCUSSIONE

al cDNA di *AtPng1p* nella regione che va dal codone ATG di inizio della traduzione alla fine del nono esone; la MD4C271570 contiene poi una sequenza di 246 bp in cui si ha perdita di omologia, probabilmente corrispondente ad un introne; le ultime 89 basi della EST infatti si allineano agli esoni 10 e 11 di *AtPng1p*. La sequenza codificante dedotta per la MD4C271570, ottenuta eliminando il presunto introne, misura 987 bp e presenta un'omologia del 65% con la sequenza di *Arabidopsis*; la sequenza aminoacidica dedotta conta 305 residui e presenta un'omologia con la proteina *AtPng1p* del 68%.

La figura 4.9 riassume le zone di omologia fra il gene di *Arabidopsis* e le due ESTs considerate, mentre gli allineamenti sono riportati in appendice B nelle figure B.2 e B.3.

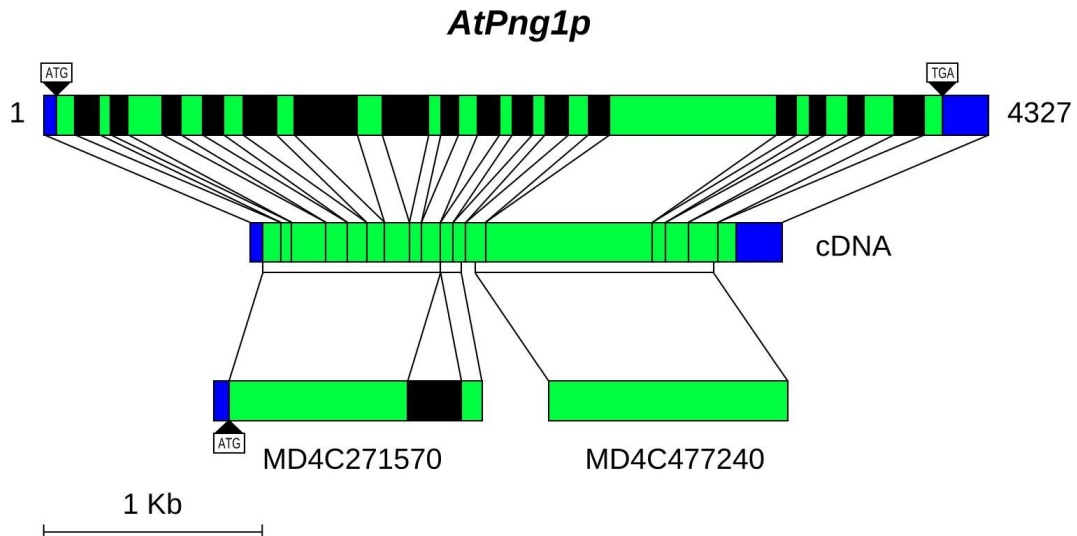


Figura 4.9: rappresentazione schematica delle regioni di omologia fra la sequenza del gene *AtPng1p* della TGasi di *Arabidopsis* e le ESTs MD4C477240 e MD4C271570 di melo. La regione codificante è colorata in verde, le regioni non tradotte al 5' e al 3' in blu, gli introni in nero.

Per clonare un primo frammento del gene di pero e verificarne quindi l'omologia con le sequenze disponibili, sono stati disegnati due primer su regioni conservate individuabili nell'allineamento fra la EST MD4C477240 e la sequenza di *Arabidopsis*; si è deciso di realizzare il forward in corrispondenza dell'esone 12 (primer TGex12_for) ed il reverse dell'esone 14 (TGex14_rev): in questo modo è infatti possibile amplificare un frammento contenente per intero l'esone 13, il più grande dei 17 del gene *AtPng1p*, e solo due introni.

I primer TGex12_for e TGex14_rev (la cui posizione è riportata nella figura

4.3 Sequenziamento del gene della transglutaminasi

B.2) hanno permesso di amplificare un frammento di 1036 bp del gene omologo dal DNA genomico delle varietà ‘Abate Fétel’ e ‘William’; il frammento è stato clonato e sequenziato da entrambe le varietà; l’allineamento con la EST di melo e la sequenza genomica di *Arabidopsis* è riportato nella figura B.4.

Le due sequenze di pero, oltre ad essere estremamente conservate fra loro (99% di identità), mostrano un’elevatissima omologia con la EST di melo: a livello della sequenza codificante si osserva un’identità del 96%. L’omologia con la sequenza di *Arabidopsis* è invece del 62%.

Sfruttando questa omologia fra le sequenze di melo e pero, si è deciso di realizzare una serie di primer sulle ESTs MD4C477240 e MD4C271570 per l’amplificazione di una serie di frammenti che, sommati, coprissero tutta la regione del gene compresa fra gli esoni 2 e 14; la posizione di questi primer sulle sequenze EST è rappresentata negli allineamenti nelle figure B.2 e B.3, mentre le sequenze di tutti i primer utilizzati sono riportate nella tabella 4.14.

Il sequenziamento di questi frammenti ha permesso di assemblare per la varietà ‘Abate Fétel’ una sequenza complessiva di 3731 bp; l’allineamento con le ESTs di melo e la sequenza di *Arabidopsis* ha permesso di individuare esoni ed introni, evidenziando una porzione di 1758 bp di sequenza codificante.

Per ottenere la sequenza delle estremità del gene si è deciso di utilizzare la tecnica RACE (Rapid Amplification of cDNA Ends), utilizzando RNA estratto da stili da autoimpollinazione delle varietà ‘Abate Fétel’ e ‘William’; nelle combinazioni di impollinazione incompatibile è stata infatti riportata una maggiore attività della TGasi rispetto alle combinazioni compatibili. L’effettiva espressione del gene in questi campioni è stata verificata amplificando dal cDNA un frammento del gene, utilizzando i primer “TGex12_for” e “TGex14_rev”. I primer utilizzati per la RACE, disegnati direttamente sulle sequenze di ‘Abate Fétel’, sono riportati nella tabella 3.23. Questa tecnica ha permesso di amplificare l’estremità 3’ del gene, che è stata clonata e sequenziata, mentre nessun amplificato è stato ottenuto per l’estremo 5’.

Un tentativo di amplificazione dell’estremità 5’ del gene è stato condotto utilizzando la EST MD4C271570 per disegnare un primer a monte del codone di start della traduzione, nella regione non tradotta al 5’ (5’UTR); questo primer (“TG_5’_for”, riportato nella tabella 4.14) tuttavia non ha prodotto alcun amplificato, né da cDNA né da DNA genomico, indicando che probabilmente l’elevata omologia fra le sequenze di melo e pero è limitata solo alla porzione codificante. Un ultimo primer è quindi stato realizzato sulla stessa EST esattamente a ridosso del codone di start (“TG_atg_for”), consentendo in questo caso l’amplificazione da DNA genomico.

RISULTATI E DISCUSSIONE

TGex2_for	AACTGTTCTCCCTCACCTCC
TGex7_for	GTTAACTCGCCTGCCTGTG
TGex8_for	TTCCCACGCTACAATGATCC
TGex12_for	CGCTATACGAGGAAGTGGC
TG_5'_for	GATCATTCCGCCACTGT
TG_atg_for	GACAAGATGGTGGCTCGG
TGex7_rev	TATTACGGTGTTATTGCCACA
TGex9_rev	ACGCCCTCTTCTTGTTC
TGex13_rev	TCCTTCTCATCACGCTCTC
TGex14_rev	CACCATTGGTTCTTCCCA

Tabella 4.14: sequenze dei primer utilizzati per l’amplificazione e il clonaggio di frammenti del gene della TGasi di pero europeo. Tutti i primer riportati sono stati disegnati sulle ESTs MD4C477240 e MD4C271570 di melo; la posizione degli stessi sulle sequenze è rappresentata nelle figure B.2 e B.3

Il sequenziamento di quest’ultimo frammento al 5’ del gene dalla varietà ‘Abate Fétel’ ha permesso di assemblare la sequenza genomica, per un totale di 3893 bp, compresa fra il codone di start e l’esone 14, riportata in appendice A a pagina 206; l’allineamento di quest’ultima alle ESTs di melo e alla sequenza di *AtPng1p* ha permesso di individuare i primi 13 introni del gene, di dimensione fra le 65 e le 492 bp, la cui posizione è conservata fra *Arabidopsis* e pero.

L’assemblaggio della porzione codificante del gene dedotta dalla sequenza genetica con l’estremità 3’ del cDNA sequenziata tramite RACE, ha infine permesso di assemblare la sequenza di 2569 bp del cDNA dal codone di start fino all’estremità poliadenilata, riportata a pagina 208, e comprendente l’intera porzione codificante del gene; questo assemblaggio è schematizzato nella figura 4.10.

In totale la regione codificante conta 2178 bp, producendo una proteina di 725 residui aminoacidici. La sequenza dedotta per la proteina è riportata a pagina 210, mentre le figure B.5 e B.6 mostrano l’allineamento fra le sequenze dei cDNA e delle proteine di pero e *Arabidopsis*. L’omologia fra il gene individuato in pero europeo e *AtPng1p* è del 66% nella sequenza codificante e del 64% nella sequenza proteica. Come atteso, la regione maggiormente conservata è quella del dominio catalitico; in particolare sono facilmente individuabili i tre residui che compongono la triade catalitica tipica delle transglutaminasi: cisteina, istidina e acido aspartico, che si trovano rispettivamente nelle posizioni 256, 283 e 300 della sequenza dedotta della proteina di pero.

4.3 Sequenziamento del gene della transglutaminasi

Per rendere disponibile la sequenza codificante “full-length” del gene per la successiva produzione della proteina ricombinante, sono stati realizzati due primer (riportati nella tabella 4.15) per l’amplificazione del frammento compreso esattamente fra il codone ATG di start e quello TGA di stop della traduzione; questo frammento è stato amplificato da cDNA utilizzando una DNA polimerasi “high-fidelity” e clonato in un plasmide di tipo pGEM-T.

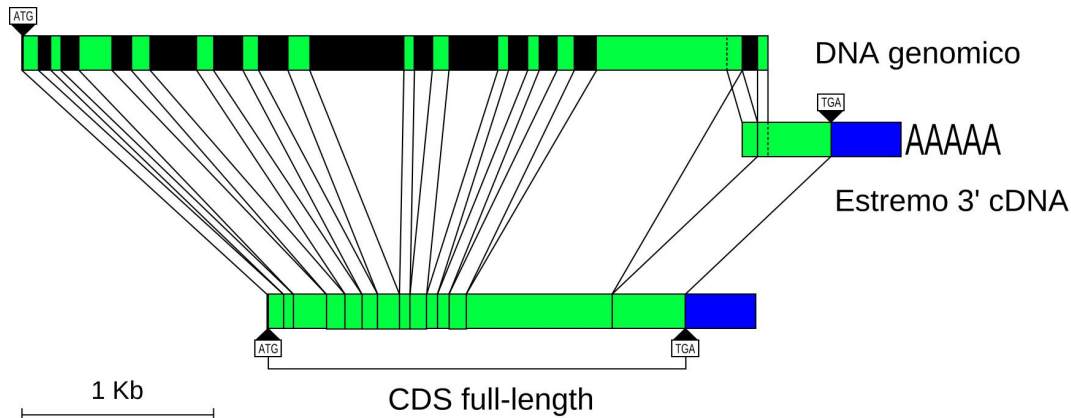


Figura 4.10: schema dell’assemblaggio dei dati di sequenza genomici e di cDNA per l’ottenimento della sequenza codificante completa del gene della TGasi di pero europeo. La regione codificante è colorata in verde, la regione non tradotta al 3’ in blu, gli introni in nero.

TG_FL_for	ATGGTGGCTCGGAGCTTC
TG_FL_rev	TCAACTGCTTCTAGAATAGAGGTCAATG

Tabella 4.15: sequenze dei primer utilizzati per l’amplificazione e il clonaggio della sequenza codificante “full-length” della TGasi di pero; la posizione degli stessi sulle sequenze è rappresentata nella figura B.5.

RISULTATI E DISCUSSIONE

Capitolo 5

Conclusioni

Questa tesi si è proposta di studiare il meccanismo dell'autoincompatibilità gametofitica nel pero a livello molecolare, orientandosi non solo sui determinanti maschili e femminili appartenenti al locus S, ma concentrandosi anche sulla ricerca e sull'identificazione di geni esterni a questo locus.

La ricerca di geni F-box interni al locus S ha permesso di identificare un grande numero di sequenze, fra le quali le prime isolate da pero europeo; queste forniscono una notevole quantità di informazioni di estremo rilievo in un ambito, quello delle Pyrinae, in cui la ricerca del determinante pollinico si è rivelata decisamente più complicata che in molte altre specie, portando solo in tempi recentissimi ai primi risultati.

I dati ottenuti in questo lavoro di tesi hanno permesso di chiarire l'ambiguità sulla struttura del locus S delle Pyrinae; se da un lato, infatti, l'evidenza di alleli di RNasi altamente omologhe fra le diverse specie testimonia l'estremo grado di conservazione di questo locus, dall'altro ciò appariva in contrasto con la presenza di geni F-box diversi per numero e caratteristiche fra melo e pero giapponese precedentemente descritta in letteratura [52]. Questa tesi dimostra che pero europeo, pero giapponese e melo condividono un numero di geni F-box, appartenenti o quantomeno strettamente associati al locus S, superiore a quanto si credesse; i tre geni che si ipotizzava fossero specifici di *Pyrus pyrifolia*, così come i due di *Malus × domestica*, hanno in realtà omologi nelle tre specie.

Le sequenze ottenute sono state mappate in una popolazione segregante di pero europeo, permettendo di verificare per tutte l'associazione al locus S. Per alcuni di questi geni la presenza di singoli eventi di ricombinazione (molto rari) con il gene

CONCLUSIONI

della RNasi, ha permesso di escluderne il diretto coinvolgimento come determinanti maschili dell'autoincompatibilità; altri, caratterizzati da un'associazione perfetta al gene della RNasi e da un maggiore livello di divergenza fra alleli, sono invece candidati credibili per questo ruolo. Ulteriori studi sono comunque necessari per chiarire quanti e quali dei geni F-box che circondano il locus della RNasi siano effettivamente coinvolti nella specificità del riconoscimento fra polline e pistillo.

Attraverso una serie di incroci controllati condotti in campo secondo combinazioni compatibili ed incompatibili, sono stati ottenuti campioni di stili impollinati i cui profili d'espressione sono stati analizzati tramite la tecnica cDNA-AFLP. Questo approccio ha consentito di ottenere un pool di sequenze di geni la cui espressione appare coinvolta nei meccanismi di accettazione o rigetto del tubetto pollinico. È noto che, anche se la specificità dell'interazione polline/pistillo dipende esclusivamente dai determinanti interni al locus S, altri fattori debbano essere coinvolti nella mediazione della risposta susseguente; le sequenze ottenute costituiscono quindi un ottimo punto di partenza per la ricerca di quei fattori esterni al locus S, di cui si conoscono casi ben documentati in altri sistemi, ma che costituivano, prima di questo lavoro di tesi, un campo non ancora investigato nell'ambito delle Pyrinae.

Infine, nel corso di questo studio si è giunti al clonaggio ed alla caratterizzazione del gene della transglutaminasi (TGasi) di pero europeo, il primo noto nelle specie arboree da frutto. Questo enzima, la cui attività sembra svolgere un ruolo determinante nella reazione di incompatibilità, potrà ora essere studiato più a fondo, anche mediante la produzione della proteina ricombinante, per studiare *in vitro* ed *in vivo*, unitamente ai suoi substrati, in quale misura la sua attività risulti coinvolta nell'autoincompatibilità.

Nel complesso il lavoro presentato in questa tesi ha consentito, attraverso l'impiego di tecniche molecolari diverse, di raccogliere informazioni nuove su alcuni dei principali fattori coinvolti nell'autoincompatibilità gametofitica in pero europeo e nelle altre Pyrinae. La conoscenza di tali fattori è importante non solo per lo studio della biologia cellulare vegetale, ma anche per l'importanza che il fenomeno dell'autoincompatibilità ha per la coltura di queste specie.

Appendice A

Sequenze

Geni S-Locus F-Box

gruppo P α	pag. 114 - 130
gruppo P β	pag. 131 - 155
gruppo P γ	pag. 156 - 172
gruppo MdS9	pag. 173 - 182
gruppo MdS3	pag. 183 - 195

TDF derivati da cDNA-AFLP pag. 196 - 205

TGasi pag. 206 - 210

SEQUENZE

Sequenza AF Alfa A

Varietà: 'Abate Fétel'; coppia di primer: Ppafor-rev

```
1 CGAAATGTCC CAGGTGCATG AAAGTGAAAC TCCTGAAGAT AAGGTGGTCG AAATGTTGTC
 61 CAGGTTGCCG CCCAAGTCCC TGATGAGATT CAAATGCGTA CACAAATCAT GGTGCACTAT
121 CATCAATAGT CCAAGTTTG TGGCCAAACA CGTCAGCAAT ACAGTGGACA ACAAAATTCTC
181 ATCCTTCACT TGCATCCTTT TCAACCGATC TCAGGTTCAT GTTTTCGCGG ACAGGAGTTG
241 GAAAAGAGAT GTTTTCTGGT CTATGATTAA TCTTTCATT GAAAGTGTGATG AGCCCAACCT
301 TCATTATGAT GTCGAGGACC TAAATATAAC CTTTCCTATG GAAGTTCAAG ACAATGTACA
361 GCTTTACGGT TACTGCAATG GGATTGTCTG TGTAATAGTA GGGGAAAATG TTCTTCTATG
421 CAATCCTGCA ACAAGAGAAAT TCAAGCAACT TCCCGATTCA TCCCTTCTTC TACCCCTTCC
481 CACGGGAAAAA TTGGATTGG AAACGCTCTT TAAGGGATTG GGATTTGGCT ATGATTGCAA
541 AACTAAAGAA TATAAGGTTG TCGAATTAT AGAAAATTGT GATTGTGAGT ATTCAAGAAGG
601 TAAAGAACATCA TATCATGAGC GTATTCTTCT TCCCTACACG GCAGAGGTAT ACACCGCGGC
661 TGCTAACTCT TGAAAGAGA TCAAGATTGA TACATCAAGT GATACTGATC CGTATTGCAT
721 TCCCTATTCT TGTCAGTGT ACTTGAAGGG ATTTTGTAT TGGTTTGCCT ACGATAACGG
781 GGAGTACATA TTTTCATTTG ATTTAGGTGA TGAGATATTT CATAGAATAG AATTGCCTTT
841 TAGGAGAGAA TCCGATTTA ATTTTATGG TCTTTTCTG TATAATGAAT CCGTCGCTTC
901 TTATTGCTCT CGTTACGAAG AGGATTGTAA ATTGCTTGA ATATGGTAA TGGACGACTA
961 TGATGGAGTG AAGAGTTCAT GGACAAAAT CCTAACCGTT GGACCCCTTA AAGACATTGA
1021 GTCTCCTTCG ACATTTGGA AATGTGACGA GGTTCTTATC CTTTCCTCAT ATGGAAAAGC
1081 CACCTCTTAT AATTCTAGTA CCGGAAATCT CAAGTATCTT CATATTCCCTC CTATTATCAA
1141 TTGGATGATA GATTATGTGG AACTATTGT TCCAGTCAGG TGAATTGAGG ACAAA
```

Sequenza MRB Alfa A

Varietà: 'Max Red Barlett'; coppia di primer: Ppafor-rev

1 CGAAATGTCC CAGGTGCATG AAAGTGAAAC TCCTGAAGAT AAGGTGGTCG AAATCTTGTG
6 1 CAGGTTGCCG CCCAAGTCCT TGATGAGATT CAAATGCGTA CACAAATCAT GGTGCACTAT
121 CATCAATAGT CCAAGTTTG TGGCCAAACA CCTCAGCAAT ACAGTGGACA ACAAATTCTC
181 ATCCTTCACT TGCATCCTT TCAACCGATC TCAGGTTCAT GTTTTCGCGG ACAGGAGTTG
241 GAAAAGAGAT GTTTCTGGT CTATGATTAA TCTTCCATT GAAAGTGATG AGCACAAACCT
301 TCATTATGAT GTCGAGGACC TAAATATAACC CTTTCCTATG GAAGTTCAAG ACAATGTACA
361 GCTTACGGT TACTGCAATG GAATTGTCTG TGTAATAGTA GGGGAAAATG TTCTTCTATG
421 CAATCCTGCA ACAAGAGAAT TCAAGCAACT TCCCGATTCA TCCCTCTTC TACCCCTTCC
481 CACGGGAAAA TTCGGATTGG AAACGCTCTT TAAAGGATTG GGATTGGCT ATGATTGCAA
541 AACTAAAGAA TATAAGGTTG TGCGAATTAT AGAAAATTGT GATTGTGAGT ATTCAAGAAGG
601 TAAAGAATCA TATCATGAGC GTATTCTTCT TCCCTACACG GCTGAGGTAT ACACCACGGC
661 TGCTAACTCT TGGAAAGAGA TCCAAATTGA TACATCAAGT GATACTGATC CGTATTGCAT
721 TCCCTATTCT TGTCAGTGT ACTTGAAGGG ATTCTGTTAT TGGTTGCAA ACGATAACGG
781 GGAATACATA TTTTCATTG ATTTAGGTGA TGAGATATT CATAGAATAG AATTGCCTT
841 TAGGAGAGAA TCCGATTAA ATTTTATGG TCTTTTCTG TATAATGAAT CCGTCGCTTC
901 TTATTGCTCT CGTTACGAAG AGGATTGTAA ATTGCTTCAA ATATGGTAA TGGACGACTA
961 TGATAGAGTG AAGAGTCAT GGACAAAACT CCTAACCGTT GGACCCTTA AAGACATTGA
1021 GTCTCCTTCG ACATTTGGA AATGTGACGA GGTTCTTATC CTTTCCTCAT ATGGAAAAGC
1081 CACCTCTTAT AATTCTAGTA CCGGAAATCT CAAGTATCTT CATATTCTC CTATTATTAA
1141 TTGGATGATA GATTATGTGG AAACTATTGT TCCAGTCAAG TGAATTGAGG ACAAA

SEQUENZE

Sequenza MRB Alfa B

Varietà: 'Max Red Barlett'; coppia di primer: Pp α for-rev

```
1 CGAAATGTCC CAGGTGCATG AAAGTGAAAC TCCTGAAGAT AAGGTGGTCG AAATCTTGTG
 61 CAGGTTGCCG CCCAAGTCCC TGATGAGATT CAAATGCGTA CACAAATCAT GGTGCACTAT
121 CATCAATAGT CCAAGTTTG TGGCCAAACA CCTCAGCAAT ACAGTGGACA ACAAAATTCTC
181 ATCCTTCACT TGCATCCTT TCAACCGATC TCAGGTTCAT GTTTCGCGG ACAGGAGTTG
241 GAAAAGAGAT GTTTCTGGT CTATGATTAA TCTTCCATT GAAAGTGTGAG AGCACAACCT
301 TCATTATGAT GTCGAGGACC TAAATATAAC CTTTCCTATG GAAGTTCAAG ACAATGTACA
361 GCTTTACGGT TACTGCAATG GGATTGTCTG TGTAATAGTA GGGGAAAATG TTCTTCTATG
421 CAATCCTGCA ACAAGAGAAAT TCAAGCAACT TCCCGATTCA TCCCTTCTTC TACCCCTTCC
481 CACGGGAAAAA TTGGATTGG AAACGCTCTT TAAAGGATTG GGATTTGGCT ATGATTGCAA
541 AACTAAAGAA TATAAGGTTG TCGAATTAT AGAAAATTGT GATTGTGAGT ATTCAAGAAGG
601 TAAAGAACATCA TATCATGAGC GTATTCTTCT TCCCTACACG GCAGAGGTAT ACACCGCGAC
661 TGCTAACTCT TGAAAGAGA TCAAGATTGA TACATCGAGT GATACTGATC CGTATTGCAT
721 TCCCTATTCT TGTCAGTGT ATTTGAAGGG ATTTTGTAT TGGTTGCAA ACGATAACGG
781 GGAATACATA TTTTCATTTG ATTTAGGTGA TGAGATATTT CATAGAATAG AATTGCCTTT
841 TAGGAGAGAA TCCGATTTA ATTTTATGG TCTTTTCTG TATAATGAAT CCGTTGCTTC
901 TTATTGCTCT CGTTACGAAG AGGATTGTAA ATTGCTTGAAT ATATGGATAA TGGACGACTA
961 TGATCAAGTG AAGAGTTCAT GGACAAAATC CCTAACCGTT GGACCCCTTA AAGACATTGA
1021 GTCTCCTTCG ACATTTGGA AATGTGACGA GGTTCTTATC CTTCCCTCAT ATGGAAAAGC
1081 CACCTCTTAT AATTCTAGTA CCGGAAATCT CAAGTATCTT CATATTCCCTC CTATTATCAA
1141 TTGGATGATA GATTATGTGG AACTATTGT TCCAGTCAAG TGAATTGAGG ACAAA
```

Sequenza Cons Alfa A

Varietà: ‘Conseiller a La Coeur’; coppia di primer: Ppofor-rev

1 CGAAATGTCC CAGGTGCATG AAAGTGAAAC TCCTGAAGAT AAGGTGGTCG AAATCTTGTG
6 1 CAGGTTGCCG CCCAACTCCC TGATGAGATT CAAATGCGTA CACAAATCAT GGTGCACTAT
121 CATCAAATAGT CCAAGTTTG TGGCCAAACA CCTCAGCAAT ACCGTGGACA ACAAATTCTC
181 ATCCTTCACT TGCATCCTT TCAACCGATC TCAGGTTCAT GTTTTCGCGG ACAGGAGTTG
241 GAAAAGAGAT GTTTTCTGGT CTATGATTAA TCTTCCATT GAAAGTGATG AGCACAACCT
301 TCATTATGAT GTCGAGGACC TAAATATAACC CTTTCCTATG GAAGTTCAAG ACAATGTACA
361 GCTTACGGT TACTGCAATG GGATTGTCTG TGTAATAGTA GGGGAAAATG TTCTTCTATG
421 CAATCCTGCA ACAAGAGAAT TCAAGCAACT TCCGGATTCA TCCCTCTTC TACCCCTTCC
481 CACGGGAAAA TTCGGATTGG AAACGCTCTT TAAAGGATTG GGATTGGCT ATGATTGCAA
541 AACTAAAGAA TATAAGGTTG TCGAATTAT AGAAAATTGT GATTGTGAGT ATTCAAGAAGG
601 TAAAGAATCA TATCATGAGC GTATTCTTCT TCCCTACACG GCTGAGGTAT ACACCACGGC
661 TGCTAACTCT TGGAAAGAGA TCAAGATTGA CACATCAAGT GATACTGATC CGTATTGCAT
721 TCCCTATTCT TGTCAGTGT ACTTGAAGGG ATTTTGTAT TGGTTGCAA ACGATAACGG
781 GGAATACATA TTTTCATTG ATTTAGGTGA TGAGATATT CATAGAATAG AATTGCCTT
841 TAGGAGAGAA TCCGATTTA ATTTTATGG TCTTTTCTG TATAATGAAT CCGTCGCTTC
901 TTATTGCTCT CGTTACGAAG AGGATTGTAA ATTGCTTCAA ATATGGTAA TGGACGACCA
961 TGATGGAGTG AAGAGTTCAT GGACAAAACT CCTAACCGTT GGACCCTTA AAGACATTGA
1021 GTCTCCTTCG ACATTTGGA AATGTGACGA TGTTCTTATC CTTTCCTCAT ATGGAAAAGC
1081 CACCTCTTAT AATTCTAGTA CCAGAAATAT CAAGTATCTT CATATTCTC CTATTATCAA
1141 TTGGATGATA GATTATATGG AAACTATTGT TCCAGTCAAG TGAATTAAGG ACAAA

SEQUENZE

Sequenza Cons Alfa B

Varietà: ‘Conseiller a La Coeur’; coppia di primer: Ppafor-rev

```
1 CGAAATGTCC CAGGTGCATG AAAGTGAAAC TCCTGAAGAT AAGGTGGTCG AAATCTTGTG
 61 CAGGCTGCCA CCCAAGTCCC TGATGAGATT CAAATGCGTA CACAAATCAT GGTGCACTGT
121 CATCAATAGT CCAAGTTTG TGGCCAAACA CCTCAGCAGT ACCGTGGACA ACAAAATTCTC
181 ATCCTTCACT TGCATCCTTT TCAACCGATC TCAGGTTCAT GTTTTCGCGG ACAGGAGTTG
241 GAAAAGAGAT GTTTTCTGGT CTATGATTAA TCTTTCATT GATA GTGATG AGCACAACCT
301 TCATTATGAT GTCGAGGACC TAAATATACC CTTTCCTATG GAAGTTCAAG ACAATGTACA
361 GCTTTACGGT TATTGCAATG GGATTGTCTG TGTAATAGTA GGGGAAAATG TTCTTCTATG
421 CAATCCTGCA ACAAGAGAAC TCAAGCAACT TCCCGGTTCA TCCCTTCTTC TACCCCTTCC
481 CACGGGAAAAA TT CGGATTGG AAACGCTCTT TAAAGGATTG GGATTTGGCT ATGATTGCAA
541 AACTAAAGAA TATAAGGTTG TCGAATTAT AGAAAATTGT GATTGTGAGT ATT CAGAAGG
601 TAAAGAACATCA TATCATGAGC GTATTCTTCT TCCCTACACG GCAGAGGTAT ACACCACGGC
661 TGCTAACTCT TGAAAGAGA TCAAGATTGA TGCATCAAGT GATACTGATC CGTATTGCAT
721 TCCCTATTCT TGTTCACTGT ACTTGAAGGG ATTTTGTAT TGGTTGCAA ACGATAACGG
781 GGAATACATA TTTTCATTTG ATTTAGGTGA TGAGATATTT CATAGAATAG AATTGCCTTT
841 TAGGAGAGAA TCCGATTTA ATTTTATGG TATTTTCTG TATAATGAAT CTGTCGCTTC
901 TTATTGCTCT CGTTACGAAG AGGATTGTAA ATTGCTTGA ATATGGTAA TGGACGACTA
961 TGATGGAGTG AAGAGTTCAT GGACAAAATC CCTAACCGTT GGACCCCTTA AAGACATTGA
1021 GTCTCCTTCG ACATTTGGA AATGTGACGA GGTTCTTATC CTTTCCTCAT ATGGAAAAGC
1081 CACCTCTTAT AATTCTAGTA CCGGAAATCT CAAGTATCTT CATATTCTC CTATTATCAA
1141 TTGGATGATA GATTATATGG AACTATTGT TCCAGTCAAG TGAATTAAGG ACAAA
```

Sequenza Wild Alfa A

Varietà: 'Wilder'; coppia di primer: Ppαfor-rev

1 CGAAATGTCC CAGGAGCATG AAAGTGAAAC TCCTGAAGAT AAGGTTGGTCG AAATCTTGTG
61 CAGGTTGCCG CCCAAGTCCC TGATGAGATT CAAATGCGTA CACAAATCAT GGTGCACTAT
121 CATCAATAGT CCAAGTTTG TGGCCAAACA CCTCAGCAGT ACCGTGGACA ACAAAATTCTC
181 ATCCTTCAGT TGCATCCTT TCAACCGATC TCAGGTTCAT GTTTTCGCGG ACAGGAGTTG
241 GAAAAGAGAT GTTTTCTGGT CTATGATTAA TCTTTCCATT GAAAGTGATG AGCACAAACCT
301 TCATTATGAT GTCGAGGACC TAAATATAACC CTTTCCTATG GAAGTTCAAG ACAATGTACA
361 GCTTTACGGT TACTGCAATG GAATTGTCTG TGTAATAGTA GGGGAAAATG TTCTTCTATG
421 CAATCCTGCA ACAAGAGAAT TCAAGCAACT TCCCGATTCA TCCCTCTTC TACCCCTTCC
481 CACGGGAAAA TTCGGATTGG AAACGCTCTT TAAAGGATTG GGATTGGCT ATGATTGCAA
541 AACTAAAGAA TATAAGGTTG TGCGAATTAT AGAAAATTGT GATTGTGAGT ATTCAAGAAGG
601 TAAAGAATCA TATCATGAGC GTATTCTTCT TCCCTACACA GCTGAGGTAT ACACCACGGC
661 TGCTAACTCT TGGAAAGAGA TCCAAATTGA TACATCAAGT GATACTGATC CGTATTGCAT
721 TCCCTATTCT TGTTCACTGT ACTTGAAGGG ATTCTGTTAT TGGTTGCAA ACGATAACGG
781 GGAATACATA TTTTCATTG ATTTAGGTGA TGAGATATT CATAGAATAG AATTGCCTT
841 TAGGAGAGAA TCCGATTAA ATTTTCTGG TCTTTTCTG TATAATGAAT CCGTCGCTTC
901 TTATTGCTCT CGTTACGAAG AGGATTGTAA ATTGCTTCAA ATATGGTAA TGGACGACTA
961 TGATAGAGTG AAGAGTTCAT GGACAAAACT CCTAACCGTT GGACCCTTA AAGACATTGA
1021 GTCTCCTTCG ACATTTGGA AATGTGACGA GGTTCTTATC CTTTCCTCAT ATGGAAAAGC
1081 CACCTCTTAT AATTCTAGTA CCGGAAATCT CAAGTATCTT CATATTCTC CTATTATTAA
1141 TTGGATGATA GATTATGTGG AAACTATTGT TCCAGTCAAG TGAATTGAGG ACAAA

SEQUENZE

Sequenza Wild Alfa B

Varietà: 'Wilder'; coppia di primer: Ppofor-rev

```
1 CGAAATGTCC CAGGTGCATG AAAGTGAAAC TCCTGAAGAT AAGGTGGTCG AAATCTTGTG
 61 CAGGTTGCCG CCCAAGTCCT TGATGAGATT CAAATGCGTA CACAAATCAT GGTGCACTAT
121 CATCAATAGT CCAAGTTTG TGGCCAAACA CCTCAGCAAT ACAGTGGACA ACAAAATTCTC
181 ATCCTTCACT TGCATCCTT TCAACCGATC TCAGGTTCAT GTTTCGCGG ACAGGAGTTG
241 GAAAAGAGAT GTTTCTGGT CTATGATTAA TCTTCCATT GAAAGTGTG AGCACAACCT
301 TCATTATGAT GTCGAGGACC TAAATATAAC CTTTCCTATG GAAGTTCAAG ACAATGTACA
361 GCTTTACGGT TACTGCAATG GAATTGTCTG TGTAATAGTA GGGGAAAATG TTCTTCTATG
421 CAATCCTGCA ACAAGAGAAAT TCAAGCAACT TCCCGATTCA TCCCTTCTTC TACCCCTTCC
481 CACGGGAAAAA TTGGATTGG AAACGCTCTT TAAAGGATTG GGATTTGGCT ATGATTGCAA
541 AACTAAAGAA TATAAGGTTG TCGAATTAT AGAAAATTGT GATTGTGAGT ATTCAAGAAGG
601 TAAAGAACATCA TATCATGAGC GTATTCTTCT TCCCTACACG GCTGAGGTAT ACACCACGGC
661 TGCTAACTCT TGAAAGAGA TCCAAATTGA TACATCAAGT GATACTGATC CGTATTGCAT
721 TCCCTATTCT TGTCAGTGT ACTTGAAGGG ATTCTGTTAT TGTTTGCAA ACGATAACGG
781 GGAATACATA TTTTCATTTG ATTTAGGTGA TGAGATATTT CATAGAATAG AATTGCCTTT
841 TAGGAGAGAA TCCGATTTA ATTTTATGG TCTTTTCTG TATAATGAAT CCGTCGCTTC
901 TTATTGCTCT CGTTACGAAG AGGATTGTAA ATTGCTGAA ATATGGTAA TGGACGACTA
961 TGATAGAGTG AAGAGTCAT GGACAAAATC CCTAACCGTT GGACCCCTTA AAGACATTGA
1021 GTCTCCTTCG ACATTTGGA AATGTGACGA GGTTCTTATC CTTCCCTCAT ATGGAAAAGC
1081 CACCTCTTAT AATTCTAGTA CCGGAAATCT CAAGTATCTT CATATTCTC CTATTATTAA
1141 TTGGATGATA GATTATGTGG AACTATTGT TCCAGTCAAG TGAATTGAGG ACAAA
```

Sequenza Pack Alfa A

Varietà: 'Packham's Triumph'; coppia di primer: Ppafor-rev

1 CGAAATGTCC CAGGTGCATG AAAGTGAAAC TCCTGAAGAT AAGGTGGTCG AAATCTTGTG
6 1 CAGGTGCCA CCCAAGTCCC TGATGAGATT CAAATCGTA CACAAATCAT GGTGCACTGT
121 CATCAATAGT CCAAGTTTG TGGCCAAACA CCTCAGCAGT ACCGTGGACA ACAAATTCTC
181 ATCCTTCACT TGCATCCTT TCAACCGATC TCAGGTTCAT GTTTTCGCGG ACAGGAGTTG
241 GAAAAGAGAT GTTTTCTGGT CTATGATTAA TCTTCCATT GATA GTGATG AGCACAACCT
301 TCATTATGAT GTCGAGGACC TAAATATAACC CTTTCCTATG GAAGTTCAAG ACAATGTACA
361 GCTTACGGT TATTGCAATG GGATTGTCTG TGTAATAGTA GGGGAAAATG TTCTTCTATG
421 CAATCCTGCA ACAAGAGAAT TCAAGCAACT TCCCGGTTCA TCCCTCTTC TACCCCTTCC
481 CACGGGAAAA TTCGGATTGG AAACGCTCTT TAAAGGATTG GGATTGGCT ATGATTGCAA
541 AACTAAAGAA TATAAGGTTG TCGAATTAT AGAAAATTGT GATTGTGAGT ATTCAAGAAGG
601 TAAAGAATCA TATCATGAGC GTATTCTTCT TCCCTACACG GCAGAGGTAT ACACCACGGC
661 TGCTAACTCT TGGAAAGAGA TCAAGATTGA TGCATCAAGT GATACTGATC CGTATTGCAT
721 TCCCTATTCT TGTCAGTGT ACTTGAAGGG ATTTTGTAT TGGTTGCAA ACGATAACGG
781 GGAATACATA TTTTCATTG ATTTAGGTGA TGAGATATT CATAGAATAG AATTGCCTT
841 TAGGAGAGAA TCCGATTTA ATTTTATGG TATTTTCTG TATAATGAAT CTGTCGCTTC
901 TTATTGCTCT CGTTACGAAG AGGATTGTAA ATTGCTTCAA ATATGGTAA TGGACGACTA
961 TGATGGAGTG AAGAGTTCAT GGACAAAATC CCTAACCGTT GGACCCTTA AAGACATTGA
1021 GTCTCCTTCG ACATTTGGA AATGTGACGA GGTTCTTATC CTTTCCTCAT ATGGAAAAGC
1081 CACCTCTTAT AATTCTAGTA CCGGAAATCT CAAGTATCTT CATATTCTC CTATTATCAA
1141 TTGGATGATA GATTATATGG AAACTATTGT TCCAGTCAAG TGAATTAAGG ACAAA

SEQUENZE

Sequenza Pack Alfa B

Varietà: 'Packham's Triumph'; coppia di primer: Ppafor-rev

```
1 CGAAATGTCC CAGGTGCATG AAAGTGAAAC TCCTGAAGAT AAGGTGGTCG AAATCTTGTG
 61 CAGGTTGCCG CCCAAGTCCT TGATGAGATT CAAATGCGTA CACAAATCAT GGTGCACTAT
121 CATCAATAGT CCAAGTTTG TGGCCAAACA CCTCAGCAAT ACAGTGGACA ACAAAATTCTC
181 ATCCTTCACT TGCATCCTT TCAACCGATC TCAGGTTCAT GTTTCGCGG ACAGGAGTTG
241 GAAAAGAGAT GTTTCTGGT CTATGATTAA TCTTCCATT GAAAGTGTGAG AGCACAACCT
301 TCATTATGAT GTCGAGGACC TAAATATAAC CTTTCCTATG GAAGTTCAAG ACAATGTACA
361 GCTTTACGGT TACTGCAATG GAATTGTCTG TGTAATAGTA GGGGAAAATG TTCTTCTATG
421 CAATCCTGCA ACAAGAGAAAT TCAAGCAACT TCCCGATTCA TCCCTTCTTC TACCCCTTCC
481 CACGGGAAAAA TTGGATTGG AAACGCTCTT TAAAGGATTG GGATTTGGCT ATGATTGCAA
541 AACTAAAGAA TATAAGGTTG TCGAATTAT AGAAAATTGT GATTGTGAGT ATTCAAGAAGG
601 TAAAGAACATCA TATCATGAGC GTATTCTTCT TCCCTACACG GCTGAGGTAT ACACCACGGC
661 TGCTAACTCT TGAAAGAGA TCCAAATTGA TACATCAAGT GATACTGATC CGTATTGCAT
721 TCCCTATTCT TGTCAGTGT ACTTGAAGGG ATTCTGTTAT TGTTTGCAA ACGATAACGG
781 GGAATACATA TTTTCATTTG ATTTAGGTGA TGAGATATTT CATAGAATAG AATTGCCTTT
841 TAGGAGAGAA TCCGATTTA ATTTTATGG TCTTTTCTG TATAATGAAT CCGTCGCTTC
901 TTATTGCTCT CGTTACGAAG AGGATTGTAA ATTGCTGAA ATATGGTAA TGGACGACTA
961 TGATAGAGTG AAGAGTCAT GGACAAAATC CCTAACCGTT GGACCCCTTA AAGACATTGA
1021 GTCTCCTTCG ACATTTGGA AATGTGACGA GGTTCTTATC CTTCCCTCAT ATGGAAAAGC
1081 CACCTCTTAT AATTCTAGTA CCGGAAATCT CAAGTATCTT CATATTCTC CTATTATTAA
1141 TTGGATGATA GATTATGTGG AACTATTGT TCCAGTCAAG TGAATTGAGG ACAAA
```

Sequenza Fuji Alfa A

Varietà: 'Fuji'; coppia di primer: Ppafor-rev

1 CGAAATGTCC CAGGTGCATG AAAGTGAAAC TCCTGAAGAT AAGGTGGTCG AAATCTTGTG
61 AAGGTTGTCG CCCAAGTCCC TGATGAGATT CAAATCGTA CACAAATCAT GGTGCACTAT
121 CATCAATAGT CCAAGTTTG TGGCCAAACA CCTCAGCAAT ACCGTGGACA ACAAATTCTC
181 ATCCTTCACT CGCATCCTT TCAACCGATG TCAGGTTCAT GTCTTCCGG ACAGGAGTTG
241 GAAAAGAGAT GTTTCTGGT CTATGATTAA TCTTCCATT GATA GTGATG AGCACAACCT
301 TCGTTATGAT GTCGAGGACC GAAATATAACC CTTTCCTATA GAAGTTCAAG ACAATGTACA
361 GCTTACGGT TATTGCAATG GGATTGTCTG TGTAATAGTA GGGGAAAATG TTCTTCTATG
421 CAATCCTGCA ACAAGAGAAT TCAAGCAACT TCCCGATTCA TCCCTCTTC TACCCCTTCC
481 CATGGGAAAA TTCGGATTGG AAACCCTCTT TAAAGGATTG GGATTGGCT ACGATTGCAA
541 AACTAAAGAA TATAAGGTTG TGCGAATTAT AGAAAATTGT GATTGTGAGT ATTCAAGATGG
601 TAAAGAATCA TATATTGAGC GTATTCTTCT CCCTTACACG GCTGAGGTAT ACACCACGGC
661 TGCTAACTCT TGGAAAGAGA TCAAGATTGA TACATCAAGT GATACTGATC CCTATTGCAT
721 TCCCTATTCT TGTTCAATGT ACTTGAAGGG ATTTTGTAT TGGTTGCAA ACGATAACGG
781 GGAATACATA TTTTCATTG ATTTAGGTGA TGAGATATT CATAGAATAG AATTGCCTT
841 TCGGAGAGAA TCCGATTTA AGTTTGTGG TCTTTTCTG TATAATGAAT CCGTCGCTTC
901 TTATTGCTCT TGTTACGAAG AGGATTGTAA ATTGGTTGAA ATATGGTAA TGGATGATTA
961 TGATGGAGTG AAGAGTTCAT GGACAAAATCTAACCCTTGGACCCCTTA AAGACATTGA
1021 GTCTCCTTG AAATTTGGA AATGTGACGA GGTTCTTAGC CTTTCCTCGT ATGGAAAAGC
1081 CACCTCTTAT AATTCTAGTA CCGGAAATCT CAAGTATTTT CATATTCTC CTATTATCAA
1141 TTGGATGATA GATTATGTGG AAACTATTTT TCCTGTCAAG TGAATTGAGG ACAAA

SEQUENZE

Sequenza Fuji Alfa B

Varietà: 'Fuji'; coppia di primer: Ppαfor-rev

```
1 CGAAATGTCC CAGGTGCATG AAAGTGAAAC TCCTGAAGAT AAGGTGGTCG AAATCTTGTG
61 AAGGTTGTCG CCCAAGTCCC TGATGAGATT CAAATGCGTA CACAAATCAT GGTGCACTAT
121 CATCAATAGT CCAAGTTTG TGGCCAAACA CCTCAGCAAT ACCGTGGACA ACAAAATTCTC
181 ATCCTGCACT CGCATCCTTT TCAACCGATG TCAGGTTCAT GTCTTCCGG ACAGGAGTTG
241 GAAAAGAGAT GTTTCTGGT CTATGATTAA TCTTCCTTT GATA GTGATG AGCACAACCT
301 TCATTATGAT GTCGAGGACC GAAATATACC CTTTCCTATA GAAGTTCAAG ACAATGTACA
361 GCTTTACGGT TATTGCAATG GGATTGTCTG TGTAATAGTA GGGGAAAATG TTCTTCTATG
421 CAATCCTGCA ACAAGAGAAAT TCAAGCAACT TCCTGATTCA TCCCTTCTTC TACCCCTTCC
481 CACGGGAAAAA TTCGGATTGG AAACGCTCTT TAAAGGATTG GGATTTGGCT ACGATTGCAA
541 AACTAAAGAA TACAAGGTTG TCGAATTAT AGAAAATTGT GATTGTGAGT ATTCAAGATGG
601 TAAAGAACATCA TATATTGAGC GTATTCTTCT TCCTTACACG GCTGAGGTAT ACACCACGGC
661 TGCTAACTCT TGAAAGAGA TCAAGATTGA TACATCAAGT GATACTGATC CCTATTGCAT
721 TCCCTATTCT CGTTCAATGT ACTTGAAGGG ATTTTGTAT TGGTTGCAA ACGATAACGG
781 GGAATACATA TTTTCATTTG ATTTAGGTGA TGAGATGTTT CATAGAATAG AATTGCCCTT
841 TCGGAGAGAA TCCGATTTA AGTTTTGTGG TCTTTTCTG TATAATGAAT CCGTCGCTTC
901 TTATTGCTCT TGTTACGAAG AGGATTGTA ATTGGTTGAA ATATGGGTAATGGATGATTA
961 TGATGGAGTG AAGAGTTCAT GGACAAAATCTCTAACCCTTGGACCCCTTA AAGACATTGA
1021 GTCTCCTTG AAATTTGGA AATGTGACGA GGTTCTTATC CTTCCCTCGT ATGGAAAAGC
1081 CACATCTTAT AATTCTAGTA CCGGAAATCT CAAGTATTTT CATATTCCGC CTATTATCAA
1141 TTGGATGATA GATTATGTGG AACTATTGT TTCAGTCAAG TGAATTGAGG ACAAA
```

Sequenza McInt Alfa A

Varietà: 'McIntosh'; coppia di primer: Ppafor-rev

1 CGAAATGTCC CAGGTGCATG AAAGTGAAAC TCCTGAAGAT AAGGTTGGTCG AAATCTTGTG
61 AAGGTTGTCG CCCAAGTCCC TGATGAGATT CAAATGCGTA CACAGATCAT GGTGCACTAT
121 CATCAGTAGT CCAAGTTTG TGGCCAAACA CCTCAGCAAT ACCGTGGACA ACAAATTCTC
181 ATCCTTCACT TGCATCCTT TCAACCGATG TCAGGTTCAT GTCTTCCCGG ACAGGAGTTG
241 GAAAAGAGAT GTTTCTGGT CTATGATTAA TCTTCCATT GATA GTGATG AGCACAAACCT
301 TCATTATGAT GTCGAGGACC GAAATATAACC CTTTCCTATA GAAGTCAAG ACAATGTACA
361 GCTTACGGT TATTGCAATG GGATTGTCTG TGTAATAGTA GGGGAAAATG TTCTTCTATG
421 CAATCCTGCA ACAAGAGAAT TCAAGCAACT TCCCGATTCA TCCCTCTTC TACCCCTTCC
481 CATGGGAAAA TTCGGATTGG AAACCCTCTT TAAAGGATTG GGATTGGCT ACGATTGCAA
541 AACTAAAGAA TACAAGGTTG TGCGAATTAT AGAAAATTGT GATTGTGAGT ACTCAGATGG
601 TAAAGAATCA TATATTGAGC GTATTCTTCT CCCTTACACG GCTGAGGTAT ACACCACGGC
661 TGCTAACTCT TGGAAAGAGA TCAAGATTGA TACATCAAGT GATACTGATC CCTATTGCAT
721 TCCCTATTCT TGTCATTGT ACTTGAAGGG ATTTGTTAT TGTTTGCAA ACGATAACGG
781 GGAATACATA TTTTCATTG ATTTAGGTGA TGAGATGTT CATAGAATAG AATTGCCTT
841 TCGGAGAGAA TCCGATTTA AGTTTGTGG TCTTTTCTG TATAATGAAT CCGTTGCTTC
901 TTATTGCTCT TGTTACGAAG AGGATTGTAA ATTGGTTGAA ATATGGTAA TGGATGACTA
961 TGATGGAGTG AAGAGTTCAT GGACAAAATCTCAACCGTT GGACCCTTA AAGACATTGA
1021 GTCTCCTTG AAATTTGGA AATGTGACGA GGTTCTTATC CTTTCCTCGT ATGGAAAAGC
1081 CACCTCTTAT AATTCTAGTA CCGGAAATCT CAAGTATTTT CATATTCCGC CTATTATCAA
1141 TTGGATGATA GATTATGTGG AAACTATTGT TTCAGTCAAG TGAATTGAGG ACAAA

SEQUENZE

Sequenza McInt Alfa B

Varietà: 'McIntosh'; coppia di primer: Ppofor-rev

```
1 CGAAATGTCC CAGGTGCATG AAAGTGAAAC TCCTGAAGAT AAGGTGGTCG AAATCTTGTG
 61 AAGGTTGTCG CCCAAGTCCC TGATGAGATT CAAATGCGTA CACAAATCAT GGTGCACTAT
121 CATCAATAGT CCAAGTTTG TGGCCAAACA CCTCAGCAAT ACCGTGGACA ACAAAATTCTC
181 ATCCTTCACT CGCATCCTTT TCAACCGGTG TCAGGTTCAT GTTTTCCCGG ACAGGAGTTG
241 GAAAAGAGAT GTTTTCTGGT CTATGATTAA TCTTTCATT GATA GTGATG AGCACAACCT
301 TCGTTATGAT GTCGAGGACC GAAATATACC CTTTCCTATA GAAGTTCAAG ACAATGTACA
361 GCTTTACGGT TATTGCAATG GGATTGTCTG TGTAATAGTA GGGGAGAATG TTCTTCTATG
421 CAATCCTGCA ACAAGAGAAC TCAAGCAACT TCCCGATTCA TCCCTTCTTC TACCCCTTCC
481 CACGGGAAAA TTCGGATTGG AAACGCTCTT TAAAGGATTG GGATTTGGCT ACGATTGCAA
541 AACTAAAGAA TACAAGGTTG TCGAATTAT AGAAAATTGT GATTGTGAGT ATTCAAGATGG
601 TAAAGAACATCA TATATTGAGC GTATTCTTCT TCCTTACACG GCTGAGGTAT ACACCACGGC
661 TGCTAACTCT TGGAAAGAGA TCAAGATTGA TACATCAAGT GATACTGATC CGTATTGCAT
721 TCCCTATTCT CGTTCAATGT ACTTGAAGGG ATTTTGTAT TGGTTTGCCTT ACGATAACGG
781 GGAATACATA TTTTCATTTG ATTTAGGTGA TGAGATATTT CATAGAATAG AATTGCCTTT
841 TCGGAGAGAA TCCGATTTA AGTTTTGTGG TCTTTTCTG TATAATGAAT CCGTCGCTTC
901 TTATTGCTCT TGTTACGAAG AGGATTGTAA ATTGGTTGAA ATATGGGTAA TGGATGATTA
961 TGATGGAGTG AAGAGTTCAT GGACAAAAGT CCTAACCGTT GGACCCCTTA AAGACATTGA
1021 GTCTGCTTTG ACATTTGGA AATGTGACGA GGTTCTTATC CTTTCCTCGT ATGGAAAAGC
1081 CACATCTTAT AATTCTAGTA CCGGAAATCT CAAGTATTTT CATATTCTC CTATTATCAA
1141 TTGGATGATA GATTATGTGG AACTATTGT TTAGTCAAG TGAATTGAGT ACAAA
```

Sequenza Kum Alfa A

Varietà: 'Kumoi'; coppia di primer: Ppαfor-rev

1 CGAAATGTCC CAGGTGCATG AAAGTGAAAC TCCTCAAGAT AAGGTGGTCG AAATCTTGTG
6 1 CAGGTTGCCG CCCAAGTCCC TGATGAGATT CAAATGCGTA CACAAATCAT GGTGCACTAT
121 CATCAATAGT CCAAGTTTG TGGCCAAACA CCTCAGCAAT ACCGTGGACA ACAAATTCTC
181 ATCCTTCACT TGCATCCTT TCAACCGATC TCAGGTTCAT GTTTTCGCGG ACAGGAGTTG
241 GAAAAGAGAT GTTTTCTGGT CTATGATTAA TCTTCCATT GAAAGTGATG AGCACAAACCT
301 TCATTATGAT GTCAAGGACC TAAATATAACC CTTTCCTATG GAAGTTCAAG ACAATGTACA
361 GCTGTACGGT TACTGCAATG GAATTGTCTG TGTAATAGTA GGGGGAAATG TTCTTCTATG
421 CAATCCTGCA ACAAGAGAAT TCAAGCAACT TCCCGATTCA TCCCTCTTC TACCCCTTCC
481 CACGGGAAGA TTCGGATTGG AAACGCTCTT TAAAGGATTG GGATTGGCT ATGATTGCAA
541 AACTAAAGAA TATAAGGTTG TGCGAATTAT AGAAAATTGT GATTGTGAGT ATTCAAGAAGG
601 TAAAGAATCA TATTATGAGC GTATTCTTCT TCCCTACACG GCTGAGGTAT ACACCACGGC
661 TGCTAAATCT TGGAAAGAGA TCAAGATTGA TACATCAAGT GATACTGATC CGTATTGCAT
721 TCCCTATTCT TGTCAGTGT ACTTGAAGGG ATTTTGTAT TGGTTGCAA ACGATAACGG
781 GGAATACATA TTTTCATTG ATTTAGGTGA TGAGATATT CATAGAATAG AATTGCCTT
841 TAGGAGAGAA TCCGATTTA ATTTTATGG TCTTTTCTG TATAATGAAT CTGTCGCTTC
901 TTATTGCTCT CGTTATGAAG AGGATTGTAA ATTGCTTCAA ATATGGTAA TGGACGACGA
961 TGATGGAGTG AAGAGTTCAT GGACAAAAGT CCTAACAGTT GGACCCTTA AAGACATTGA
1021 GTCTCCTTCG ACATTTGGA AATGTGACGA GGTTCTTATC CTTTCCTCAT ATGGAAAAGC
1081 CACCTCTTAT AATTCTAGTA CTGGAAATCT CAAGTATCTT CATATTCTC CTATTATCAA
1141 TTGGATGATA GATTATGTGG AAACTATTGT TCCAGTCAAG TGAATTGAGG ACAAA

SEQUENZE

Sequenza Kum Alfa B

Varietà: 'Kumoi'; coppia di primer: Ppofor-rev

```
1 CGAAATGTCC CAGGTGCATG AAAGTGAAAC TCCTCAAGAT AAGGTGGTTG AAATCTTGTG
 61 CAGGTTGCCG CCCAAGTCCC TGATGAGATT CAAATGCGTA CACAAATCAT GGTGCACTAT
121 CATCAATAGT CCAAGTTTG TGGCCAAACA CCTCAGCAAT ACCGTGGACA ACAAAATTCTC
181 ATCCTTCACT TGCATCCTT TCAACCGATC TCAGGTTCAT GTTTCGCGG ACAGGAGTTG
241 GAAAAGAGAT GTTTCTGGT CTACGATTAA TCTTCCATT GAAAGTGTGAG AGCACAACCT
301 TCATTATGAT GTCAAGGACC TAAATATAAC CTTTCCTATG GAAGTTCAAG ACAATGTACA
361 GCTTTACGGT TACTGCAATG GAATTGTCTG TGTAATAGTA GGGGAAAATG TTCTTCTATG
421 CAATCCTGCA ACAAGAGAAC TCAAGCAACT TCCAATTCA TCCCTCCTCC TACCCCTTCC
481 CACGGGAAAAA TTGGATTGG AAACGCTCTT TAAAGGATTG GGATTGGCT ATGATTGCAA
541 AACTAAAGAA TATAAGGTTG TCGAATTAT AGAAAATTGT GATTGTGAGT ATTCAAGAAGG
601 TAAAGAACATCA TATTATGAGC GTATTCTTCT TCCCTACACG GCTGAGGTAT ACACCGCGGT
661 TGCTAACTCT TGAAAGAGA TCAAGATTGA TACATCAAGT GATACTGATC CGTATTGCAT
721 TCCCTATTCT TGTCAGTGT ACTTGAAGGG ATTTTGTAT TGGTTGCAA ACGATAACGG
781 GGAATACATA TTTTCATTTG ATTTAGGTGA TGAGATATTT CATAGAATAG AATTGCCTTT
841 TAGGAGAGAA TCCGATTTA ATTTTATGG TCTTTTCTG TATAAGGAAT CCGTCGCTTC
901 TTATTGCTCT CGTTACGAAG AGGATTGTAA ATTGCTGAA ATATGGTAA TGGACGACTA
961 TGATGGAGTG AAGAGTTCAT GGACAAAATC CCTAACAGTT GGACCCCTTA AAGACATTGA
1021 GTCTCCTTCG ACATTTGGA AATGTGACGA GGTTCTTATC CTTTCCTCAT ATGGAAAAGC
1081 CACCTCTTAT AATTCTAGTA CCGGAAATCT CAAGTATCTT CATATTCCCTC CTATTATCAA
1141 TTGGATGATA GATTATGTGG AACTATTGT CCCAGTCAAG TGAATTGAGG ACAAA
```

Sequenza Cho Alfa A

Varietà: 'Chojuro'; coppia di primer: Ppafor-rev

1 CGAAATGTCC CAGGTGCATG AAAGTGAAAC TCCTCAAGAT AAGGTTGGTCG AAATCTTGTG
6 1 CAGGGTGC CGC CCCAAGTCCC TGATGAGATT CAAATGCGTA CACAAATCAT GGTGCACTAT
121 CATCAATAGT CCAAGTTTG TGGCCAAACA CCTCAGCAAT ACCGTGGACA ACAAAATTCTC
181 ATCCTTCACT TGCATCCTT TCAACCGATC TCAGGTTCAT GTTTTCGCGG ACAGGAGTTG
241 GAAAAGAGAT GTTTTCTGGT CTATGATTAA TCTTTCCATT GAAAGTGATG AGCACAACCT
301 TCATTATGAT GTCAAGGACC TAAATATAACC CTTTCCTATG GAAGTTCAAG ACAATGTACA
361 GCTGTACGGT TACTGCAATG GAATTGTCTG TGTAATAGTA GGGGGAAATG TTCTTCTATG
421 CAATCCTGCA ACAAGAGAAT TCAAGCAACT TCCCGATTCA TCCCTCTTC TACCCCTTCC
481 CACGGGAAGA TTCGGATTGG AAACGCTCTT TAAAGGATTG GGATTGGCT ATGATTGCAA
541 AACTAAAGAA TATAAGGTTG TGCGAATTAT AGAAAATTGT GATTGTGAGT ATTCAAGAAGG
601 TAAAGAATCA TATTATGAGC GTATTCTTCT TCCCTACACG GCTGAGGTAT ACACCACGGC
661 TGCTAAATCT TGGAAAGAGA TCAAGATTGA TACATCAAGT GATACTGATC CGTATTGCAT
721 TCCCTATTCT TGTTCAGTGT ACTTGAAGGG ATTTTGTAT TGGTTGCAA ACGATAACGG
781 GGAATACATA TTTTCATTG ATTTAGGTGA TGAGATATT CATAGAATAG AATTGCCTT
841 TAGGAGAGAA TCCGATTTA ATTTTATGG TCTTTTCTG TATAATGAAT CTGTCGCTTC
901 TTATTGCTCT CGTTATGAAG AGGATTGTAA ATTGCTTCAA ATATGGTAA TGGACGACGA
961 TGATGGAGTG AAGAGTTCAT GGACAAAACT CCTAACAGTT GGACCCTTA AAGACATTGA
1021 GTCTCCTTCG ACATTTGGA AATGTGACGA GGTTCTTATC CTTTCCTCAT ATGGAAAAGC
1081 CACCTCTTAT AATTCTAGTA CTGGAAATCT CAAGTATCTT CATATTCTC CTATTATCAA
1141 TTGGATGATA GATTATGTGG AAACTATTGT TCCAGTCAAG TGAATTGAGG ACAAA

SEQUENZE

Sequenza Cho Alfa B

Varietà: 'Chojuro'; coppia di primer: Ppαfor-rev

```
1 CGAAATGTCC CAGGTGCATG AAAGTGAAAC TCCTGAAGAT AAGGTGGTCG AAATCTTGTG
 61 CAGGTTACCG CCCAAGTCCC TGATGAGATT CAAATGCGTA CACAAATCAT GGTGCACTAT
121 CATCAATAGT CCAAGTTTG TGGCCAAACA CCTCAGCAAT ACGGTGGACG ACAAAATTCTC
181 ATCCTTCACT TGCATCCTT TCAACCGATC TCAGGTTCAT GTTTCGCGG ACAGGAGTTG
241 GAAAAGAGAT GTTTCTGGT CTATGGTAA TCTTCCATT GATA GTGATG AGCACAACCT
301 TCATTATGAT GTCAAGGACC TAAATATACC CTTTCCTATG GAAGTTCAAG ACAATGTACA
361 GCTTTACGGT TACTGCAATG GAATTGTCTG TGTAATAGTA GGGACAAATG TTCTTCTATG
421 CAATCCTGCA ACAAGAGAAC TCAAGCAACT TCCCGATTCA TCCCTTCTTC TACCCCTTCC
481 CACGGGAAGA TTCGGATTGG AAACGCTCTT TAAAGGATTG GGATTTGGCT ATGATTGCAA
541 AAGTAAAGAA TATAAGGTTG TCGAATTAT AGAAAATTGT GATTGTGAGT ATTCAAGAAGG
601 TAAAGAACATCA TATTATGAGC GTATTCTTCT TCCCTACACG GCTGAGGTAT ACACCGCGGC
661 TGCTAACTCT TGAAAGAGA TCAAGATTGA TACATCAAGT GATACTGATC CGTATTGCAT
721 TCCCTATTCT TGTCAGTGT ACTTGAAGGG ATTTTGTAT TGGTTGCAA ACGATAACGG
781 GGAATACATA TTTTCATTTG ATTTAGGTGA TGAGATATTT CATAGAATAG AATTGCCTTT
841 TAGGAGAGAA TCCGATTTA ATTTTATGG TCTTTTCTG TATAATGAAT CCGTCGCTTC
901 TTATTGCTCT CGTTACGAAG AGGATTGTAA ATTGCTTGA ATATGGTAA TGGACGACTA
961 TGATGGAGTG AAGAGTTCAT GGACAAAATC CCTAACCGTT GGACCCCTTA AAGACATTGA
1021 GTCTCCTTCG ACACTTGGA AATGTGACGA GGTTCTTATC CTTCCCTCAT ATGGAAAAGC
1081 CACCTCTTAT AATTCTAGTA CCGGAAATCT CAAGTATCTT CATATTCCCTC CTATTATCAA
1141 TTGGATGATA GATTATGTGG AAACTATTGT TCCAGTCAAG TGAATTGAGG ACAAA
```

Sequenza AF Beta A FL

Varietà: ‘Abate Fétel’; coppia di primer: Pp β for/FL-rev

1 AAACTCTTAA AGATAGGGTG ACCGAAATGA CCCAGGTACG TGAAAGTGAA ACTCCTGAAG
61 TTAGGGTGGC CGAAATCCTA TCCAGGTGC CTCCGAAGTC TCTGATGCGC TTCAAATGTA
121 TACGCAAGTC TTGGGGCACG ATCATCAACA ATCCAAGTTT TATGCCAAA CACCTCAGCA
181 ATTCCGTTGA CAACAAATTTC TCATCCTCCA CTTGTATCCT TCTCCGCCGT TCTCAGATGC
241 CCGTTTCCC GGACAGAAAGT TGGAAACGAG AATATTCTG GTCCATGATT AATCTTCCC
301 ATGATAGTGA TGAGCACAAC CTTTATTATG ATGTTGAGGA CCTAAATATA CAATTTCCAT
361 TGGAAGATCA TGATCATGTA TCGATTCATG GCTATTGCAA TGGGATTGTC TGTCTAATAG
421 TAGGGAAAAA TGCTGTTTA TACAATCCTG CAACGAGGG ACTGAAGCAG CTACCTGATT
481 CATGCCTTCT TCTACCTTCC CCTCCGGAGG GAAAATTGCA ATTGGAATCG ACCTTCAAG
541 GAATGGGATT TGGCTATGAT AGCAAAGCTA AAGAATACAA GGTTGTGAAA ATTATAGAAA
601 ATTGTGAGTA TTCAGATGAT ATGCGAACAT TTTCTCATCG TATTGCTCTT CCTCACACAG
661 CTGAGGTATA TGTCATGACT ACTAACTCTT GGAGAGTGAT CGAGATTGAA ATATCAAGTG
721 ATACCTATAA TTGTTCTTGT TCAGTATACT TGAAGGGATT TTGTTATTGG TTTGCAAGCG
781 ATGACGAGGA ATACGTACTT TCATTTGATT TAGGTGATGA GATATTTCAT AGAATACAAT
841 TGCCTTATAG GAAAGAATCC GGTTTTTGT TTTATGATCT TTTCTGTAT AATGAATCCA
901 TTGCTTCTTT TTGCTCTCAT TATGATAATG ACGATTCTGG AATATTGAA ATACTTGAAA
961 TATGGGTAAT GGACGATTGT GACAGAGTCA AGAGCCCCATG GACAAAACCA CAAACCCTTG
1021 GACCCTTAA AGACAATGAG AATTATTGA CATTGGAA AAGTGACGAG CTTCTTATGG
1081 TTACCTCTGA TAAAAGAGTC ATCTCTTATA ATTCTAGTAC TGGAAATCTC AAGTATATTG
1141 ATATTCCCTCC TATTATCAAT ACGGTTGCAG ATTCGAAGC TCTTATTTAT GTGGAAAGTA
1201 TTGTTTCAGT CTAGTGAGTT GAGG

SEQUENZE

Sequenza AF Beta B FL

Varietà: 'Abate Fétel'; coppia di primer: Pp β for/FL-rev

```
1 AACTCTTAA AGATAGGGTG ACTGAAATGA CCCAGGTACG TGAAAGTGAA ACTCCTGAAG
 61 ATAGGGTAGC CGAAATCCTG TCCAGGTTGC CTCCGAAGTC TCTGATGCGG TTCAAATGTA
121 TACGCAAGTC TTGGGGCACG ATCATCAACA ATCCAAGTTT TATGCCAAA CACCTCAGCA
181 ATTCCGTTGA CAACAAATT TCATCCTCCA CTTGTATCCT TCTCCACC GT TCTCAGATGC
241 CCGTTTCCC GGACAGAA GT TGAAACGAG AATATTCTG GTCCATGATT AATTTCCC
301 ATGATAGTGA TGAGCACAA AC CTTTATTATG ATGTTGAGGA CCTAAATATA CAATTTCCAT
361 TGGAAGATCA TGATCATGTA TCGATT CATG GCTATTGCAA TGGGATTGTC TGTCTAATAG
421 TAGGGAAAAA TGCTGTTTA TACAATCCTG CAACGAGGGA ACTGAAGCAA CTACCTGATT
481 CATGCCTTCT TCTACCTTCC CCTCCGGATG GAAAATTG AATTGGAATCG ACCTTCAAG
541 GAATGGGATT TGGCTATGAT AGCAAAGCTG AAGAATACAA GGTTGTGAAA ATTATAGAAA
601 ATTGTGAGTA TTCAGATGAT ATGCGAACAT TTTCTCATG TATTGCTCTT CCTCACACGG
661 CTGAGGTATA TGTCACGACT ACTAACTCTT GGAGAGTGAT CGAGATTGAA ATATCAAGTG
721 ATACCTATAA TTGTTCTTGT TCAGTATACT TGAAGGGACT TTGTTATTGG TTTGCAAGTG
781 ATGACAAGGA ATACGTACTT TCATTTGATT TAGGTGATGA GATATTTTAT AGAATACAAT
841 TGCCTTGTAG GAAAGAATCC GGTGTTTGT TTTATGATCT TTTCTGTAT AATGAATCCA
901 TCGCTTCTTT TTGCTCTCAT TATGATAATG ACAATTCTGG AACATTGGAA ATACTTGAAA
961 TATGGGTAAT GGACGATTGT GATGGAGTCA AGAGCTCATG GACAAAAC TA CAAACCTTG
1021 GACCCTTAA AGACAATGAG AATTATTG A CATTTGGAA AAGTGACGAG CTTCTTATGG
1081 TTACCTCTGA TAAAAGAGTC ATCTCTTATA ATTCTAGTAC TGGAAATCTC AAGTATATTG
1141 ATATTCCCTCC TATTATCAAT ACGGTTGCAG ATTCGAAGC TCTTATTGAT GTGGAAAGTA
1201 TTGTTTCAGT CTAGTGAGTT GAGG
```

Sequenza MRB Beta A FL

Varietà: 'Max Red Bartlett'; coppia di primer: Pp β for/FL-rev

1 AAACTCTTAA AGATAGGGTG ACTGAAATGA CCCATGTACG TGCAAGTGAA ATCCTTGAAG
61 ATAGGGTGGC CGAAATCCTG TCCAGGTGTC TACCAAAGTC TCTGATGCGG TTCAAATGTA
121 TACGCAAGTC TTGGTGCACG GTCATCAACA ATCCAAGTTT TATGCCAAA CACCTCAGCA
181 ATTCCGTTGA CAACAAATTTC TCATCCTCCA CTTGTATCCT TCTCCGCCGT TCTCAGATGC
241 CCGTTTCCC GGACAGAAGT TGGAAACGAG AATATTCTG GTCCATGATT AATCTTCCC
301 ATGATAGTGA TGAGCACAAC CTTTATTACG ATGTTGAGGA CCTAAATATA CAATTTCCAT
361 TGGAAGATCA TGATCATGTA TCGATTCATG GCTATTGCAA TGGGATTGTC TGTCTAATAG
421 TAGGGAAAAA TGCTGTTTA TACAATCCTG CAACGAGGG ACTGAAGCAA CTACCTGATT
481 CATGCCTTCT TCTACCTTCC CCTCCGGAGG GAAAATTGCA ATTGGAATCG ACCTTCAAG
541 GAATGGGATT TGGCTATGAT AGCAAAGCTA ATGAGTACAA GGTTGTGAAA ATTATAGAAA
601 ATTGTGAGTA TTCAGATGAT ATGCGAACAT TTTCTCATTG TATTGCTCTT CCTCACACGA
661 CTGAGGTATA TGTCACGACT ACTAACTCTT GGAGAGTGAT CGAGATTGAA ATATCAAGTG
721 ATACCTATAA TTGTTCTTGT TCAGTATACT TGAAAGGATT TTGTTATTGG TTTGCAAGCG
781 ATGACGAGGA ATACGTACTT TCATTTGATT TAGGTGATGA GATATTTCAT AGAATACAAT
841 TGCCTTATAG GAAAGAATCC GGTTTTTGT TTTATGATCT TTTCTGTAT AATGAATCCA
901 TCGCTTCTT TTGCTCTCAT TATGATAATG ACAATTCTGG AATATTGGAA ATACTTGAAA
961 TATGGGTAAT GAACGACTGT GACGGAGTTA AGAGTTCATG GACAAAACTA CTAACCCTTG
1021 GACCCTTGA AGACAATGAG AATTATTAA CATTGGAA AAGTGATGAG CTTCTTATGG
1081 TTACCTCCGA TAAAAGAGCC ATTTCTTATA ATTCTAGTAC CGGAAATCTT AAGTATATTG
1141 ATATTCCCTCC TATTATGAAT AAGGTTACAG ATTTCGAAGC TCTTATTTAT GTGAAAAGTA
1201 TTGTTTCAGT CAAGTGAGTT GAGG

SEQUENZE

Sequenza MRB Beta Z

Varietà: 'Max Red Bartlett'; coppia di primer: Pp β for/rev

```
1 AACTCCTGA AGATAAGGTG GTTCAAATTT TGTCCAGGTT GCCACCCAAG TCTCTGATGC
 61 GATTCAAATG CATA CGCAAG TCTTGGTGCA CTCTCATCAA TGGTCCAAGT TTTGTGCCG
121 AACACCTCAA CAATTCCATG GACAGCAAAC GCTCGTCAA CACTTTTATC CTTCTCAACC
181 GTTCTCAGAT GCCCGTTTC CCAGACAACA GTTGGAAATA TGAAGTTTT TGTTCCATGA
241 TTAGTCTTTC CATTGATAGT GATGAGCACA ACCTTCATTA TGATGTTGAG GACCTAAATA
301 TACCGTTCC AATGGAAGAC CATCATCCTG TAGTGATTCA CGGTCAATTGC AATGGGATTG
361 TCTGTGTAAT AACAGGGAAA AATGTTGTT TATGCAATCC TGCAATTGGG GAATTCAAGGC
421 AACTCCCAGA TTGCCTCCTT CTACCCCTTC CCAACATAAA ATTCCAATTG GAGACGAGCT
481 TTGGAGGATT GGGATTCCGC TATGATTGCA AAGCTAAAGA ATACAAGGTT GTGCGAATTAA
541 CGGAAAATTG TGAGTATTCA GATGCTGAAC GAACATATTA CCATCGTATT GATCTTCCTC
601 ATACGGCTCA GGTATAACACC ACGACTGCTA ACTCTTGGAA AGAGATCAAG ATTGATATAT
661 CAAGTAAAAG CTATCTTGAT TCTTGTCCAG TGTACTTGAA GCGATTTGT TATTGGATTG
721 CAAATGATGG CGAGGAATTG ATACTTTCAT TTGATTAGG TGATGAGATA TTTCATAGAA
781 TACAAATGCC TCTTGGGAGA GAATCCAGTT TGCAAGTTTG TAATCTTTT CTGTATAATG
841 AATCCCTCGC TTGTTTTGC TCTCTTACG GTCCAAGTGG CAATTCTAGA TTATTTGAAA
901 TATTTGAAAT ATGGGTAATG GACGACTATC ACGGAGTTAA GAGTTCATGG ACAAAACTTC
961 TAGCCATTGG ACCCTTTAAG CACAATGAGA ATCCATTGAC ATTTTGAAA AGTGACCGAGT
1021 TTCTTATGGT TACCTCAGAT AGAAGAGCCA CCTCTTATAA TTCAAGTACC GGAAATCTCA
1081 AGTATCTTCT TATTCCCTCCT ATTATGAATG AGGTTATAGA ATTACAAGCT CTTATTTATG
1141 TGAAAGTAT TGTTCCAGTC AACTGAGTTG AGG
```

Sequenza Cons Beta A FL

Varietà: 'Conseiller a La Coeur'; coppia di primer: Pp β for/FL-rev

1 AAACTCTTAA AGATAGGGTG ACTGAAATGA CCCATGTACG TGCAAGTGAA ATCCTTGAAG
61 ATAGGGTGGC CGAAATCCTG TCCAGGTGTC TACCAAAGTC TCTGATGCGG TTCAAATGTA
121 TACGCAAGTC TTGGTGCACG GTCATCAACA ATCCAAGTTT TATGCCAAA CACCTCAGCA
181 ATTCCGTTGA CAACAAATTTC TCATCCTCCA CTTGTATCCT TCTCCGCCGT TCTCAGATGC
241 CCGTTTCCC GGACAGAAGT TGGAAACGAG AATATTCTG GTCCATGATT AATCTTCCC
301 ATGATAGTGA TGAGCACAAC CTTTATTACG ATGTTGAGGA CCTAAATATA CAATTTCCAT
361 TGGAAGATCA TGATCATGTA TCGATTCATG GCTATTGCAA TGGGATTGTC TGTCTAATAG
421 TAGGGAAAAA TGCTGTTTA TACAATCCTG CAACGAGGGA ACTGAAGCAA CTACCTGATT
481 CATGCCTTCT TCTACCTTCC CCTCCGGAGG GAAAATTGCA ATTGGAATCG ACCTTCAAG
541 GAATGGGATT TGGCTATGAT AGCAAAGCTA ATGAGTACAA AGTTGTGAAA ATTATAGAAA
601 ATTGTGAGTA TTCAGATGAT ATGCGAACAT TTTCTCATTG TATTGCTCTT CCTCACACGA
661 CTGAGGTATA TGTCACGACT ACTAACTCTT GGAGAGTGAT CGAGATTGAA ATATCAAGTG
721 ATACCTATAA TTGTTCTTGT TCAGTATACT TGAAAGGATT TTGTTATTGG TTTGCAAGCG
781 ATGACGAGGA ATACGTACTT TCATTTGATT TAGGTGATGA GATATTTCAT AGAATACAAT
841 TGCCTTATAG GAAAGAATCC GGTTTTGT TTTATGATCT TTTCTGTAT AATGAATCCA
901 TCGCTTCTT TTGCTCTCAT TATGATAATG ACAATTCTGG AATATTGGAA ATACTTGAAA
961 TATGGGTAAT GAACGACTGT GACGGAGTTA AGAGTTCATG GACAAAACTA CTAACCCTTG
1021 GACCCTTGA AGACAATGAG AATTATTAA CATTGGAA AAGTGATGAG CTTCTTATGG
1081 TTACCTCCGA TAAAAGAGCC ATTTCTTATA ATTCTAGTAC CGGAAATCTT AAGTATATTG
1141 ATATTCCCTCC TATTATGAAT AAGGTTACAG ATTCGAAGC TCTTATTTAT GTGAAAAGTA
1201 TTGTTTCAGT CAAGTGAGTT GAGG

SEQUENZE

Sequenza Cons Beta B

Varietà: ‘Conseiller a La Coeur’; coppia di primer: Pp β for/rev

```
1 CAACTCTTAA AGATAGGGTG ACTGAAATGA CCCATGTACG TGAAAGTGAA ATTCTGAAAC
61 ATAGGGTGGC CGAAATCCTG TCCAGGTTGC CGCCGAAGTC TCTGATGCGG TTCAAATGTA
121 TACGCAAGTC TTGGTGCACG GTCATCAACA ATCCAAGTTT TATGCCAAA CACCTCAGCA
181 ATTCCGTTGA CAACAAATT TCATCCTCCA CTTGTATCCT TCTCCATCGT TCTCAGATGC
241 CCGTTTCCC GGACAGAACT TGAAACGAG AATATTCTG GTCCATGATT AATTTCCCC
301 ATGATAGTGA TGAGCACAAAC TTTTATTATG ATGTTGAGGA CCTAAATATA CAATTTCCAT
361 TGGAAGATCA TGATCATGTA TCGATTCATG GCTATTGCAA TGGGATTCTC TGTCTAATAG
421 TAGGGAAAAA TGCTGTTTA TACAATCCTG CAACGAGGGA ACTGAAGCAC CTACCTGATT
481 CATGCCTTCT TCTACCTTCC CCTCCGGAGG GAAAGTTAGA ATTGGAATCG ACCTTCAAG
541 GAATGGGATT TGGCTATGAT AGCCAAGCTA AAGAATACAA GGTTGTGAAA ATTATAGAAA
601 ATTGTGAGTA TTCAGATGAT ATGCGAACAT TTTCTCATCG TATTGCTCTT CCTCACACGG
661 CTGAGGTATA TGTCACAACT ACTAACTCTT GGAGAGTGAT CGAGATTGAA ATATCAAGTG
721 ATACCTATAA CTGTTCTTGT TGAGTATACT TGAAGGGATT TTGTTATTGG TTTGCAAGCG
781 ATGACGAGGA ATACATACTT TCATTTGATT TAGGTGATGA GATATTCAT AGAATACAAT
841 TGCCTTGTAG GAAAGAATCC GGTGTTTGT TTTATGATCT TTTTTGTAT AGTGAATCCA
901 TCGCTTCTTT TTGCTCTCAT TATGATAAAA GTGACAATTG TGGAAATAATG GAAATACTTG
961 AAATATGGGT AATGGATGAC TGTGACGGTG TCAAGAGTTC ATGGACAAAA CTGCTAACCC
1021 TTGGACCCTT TAAAGACAAT GAGAATTAT TGACATTTG GAAAAGTGAT GAGCTTCTTA
1081 TGGTTACCTC CGATAAAAAGA GCCATCTCTT ATAATTCTAG TACCAGAAAT CTCAAGTATA
1141 TTCATATTCC TCCTATTATC ACGGTAA
```

Sequenza Cons Beta C FL

Varietà: 'Conseiller a La Coeur'; coppia di primer: Pp β for/FL-rev

1 AAACTCTTAA AGATAGGGTG ACTGAAATGA CCCAGGTACG TGAAAGTGAA ACTCCTGAAG
61 ATAGGGTGGC CGAAATCCTG TCCAGGTGC CTCCAAAGTC TCTGATGCGG TTCAAATGTA
121 TACGCAAGTC TTGGGGCACG ATCATCAACA ACCCAAGTTT TATGCCAAA CACCTCAGCA
181 ATTCCGTTGA CAACAAATTTC TCATCCTCCA CTTGTATCCT TCTCCGCCGG TCTCAGATGC
241 CCGTTTCCC GGACAGAAGT TGGAAACGAG AACATTCTG GTCCATGATT AATCTTCCC
301 ATGATAGTGA TGAGCACAAC CTTTATTATG ATGTTGAGGA CCTAAATATA CAATTTCCAT
361 TGGAAGATCA TGATCATGTA TCGATTCATG GCTATTGCAA TGGGATTGTC TGTCTAATAG
421 TAGGAAAAAA TGCTGTTTA TACAATCCTG CAACGAGGGA ACTGAAGCAA CTACCTGATT
481 CATGCCTTCT TCTACCTTCC CCTCCGGAGG GAAAATTGCA ATTGGAATCG ACCTTCAAG
541 GAATGGGATT TGGCTATGAT AGCAAAGCTA AAGAATACAA GGTTGTGAAA ATTATAGAAA
601 ATTGTGAGTA CTCAGATGAT CAACGAACAT TTTCTCATCG TATTGCTCTT CCTCACACGG
661 CTGAGGTATA TGTCACGACT ACTAACTCTT GGAGAGTGAT CGAGATTGAA ATATCAAGTG
721 ATACCTATAA CTGTTCTTGT TCAGTATACT TGAAGGGATT TTGTTATTGG TTTGCAAGCG
781 ATGATGAGGA ATACATACTT TCATTTGATT TAGGTGATGA AATATTCAT AGAATACAAT
841 TGCCTTATAG GAAAGAATCC GGTTTTGT TTTATGATT TTTCTGTAT AATGAATCCA
901 TCGCTTCTT TTGCTCTCAT TATGATAAAA GTGACAATTG TGGAATATTG GAAATACTTG
961 AAATATGGAT AATGGACGAT TGTGATGGAG TCAAGAGCTC ATGGACAAAA CTACAAACCC
1021 TTGGACCCTT TAAAGGCAAT GAGAATTAT TGACATTTG GAAAAGTGAC GAGTTTCTTA
1081 TGGTTACCTC TGATAAAAAGA GTCATCTCTT ATAATTCTG TACTGGAAAT CTCAAGTATA
1141 TTCATATTCC TCCTATTATC AATACGGTTG CAGATTTGA AGCTCTTATT TATGTGGAAA
1201 GTATTGTTTC AGTCCAGTGA GTTGAG

SEQUENZE

Sequenza Cons Beta D FL

Varietà: ‘Conseiller a La Coeur’; coppia di primer: Pp β for/FL-rev

```
1 AAACTCTTAA AGATAGGGTG ACTGAAATGA CCCAGGTACG TGAAAGTGAA ACTCCTGAAG
 61 ATAGGGTGGC CGAAATCCTG TCCAGGTTGC CTCCAAAGTC TCTGATGCGG TTCAAATGTA
121 TACGCAAGTC TTGGGGCACG ATCATCAACA ATCCAAGTTT TATGCCAAA CACCCCAGCA
181 ATTCCGTTGA CAACAAATT TCATCCTCCA CTTGTATCCT TCTCCGCCGG TCTCAGATGC
241 CCGTTTCCC GGACAGAACT TGAAACGAG AACATTCTG GTCCATGATT AATTTCCC
301 ATGATAGTGA TGAGCACAAAC CTTTATTATG ATGTTGAGGA CCTAAATATA CAATTTCCAT
361 TGGAAGATCA TGATCATGTA TCGATTCATG GCTATTGCAA TGGGATTGTC TGTCTAATAG
421 TAGGGAAAAA TGCTTTTA TACAATCCTG CAACGAGGGA ACTGAAGCAA CTACCTGATT
481 CATGCCTTCT TCTACCTTCC CCTCCGGAGG GAAAATTGAA ATTGGAATCG ACCTTCAAG
541 GAATGGGATT TGGCTATGAT AGCAAAGCTA AAGAATACAA GGTTGTGAAA ATTATAGAAA
601 ATTGTGAGTA CTCAGATGAT CAACGAACAT TTTCTCATCG TATTGCTCTT CCTCACACGG
661 CTGAGGTATA TGTCACGACT ACTAACTCTT GGAGAGTGAT CGAGATTGAA ATATTAAGTG
721 ATACCTATAA TTGTTCTTGT TCAGTATACT TGAAGGGACT TTGTTATTGG TTTGCAAGCG
781 ATGACGAGGA ATATGTACTT TCATTTGATT TAGGTGATGA GATATTCAT AGAATACAAT
841 TGCCTTGTAG GAAAGAATCC GGTGTTTGT TTTATGATCT TTTCGGTAT AATGAATCCA
901 TCGCTTCTTT TTGCTCTCAT TATGATAATG ACAATTCTGG AATATTGGAA ATACTTGAAA
961 TATGGGTAAT GGACGATTGT GATGGAGTCA AGAGCTCATG GACAAAACCA CAAACCCCTG
1021 GACCCTTAA AGACAATGAG AATTTATTGA CATTGGAA AAGTGACGAG CTTCTTATGG
1081 TTACCTCTGA TAAAAGAGTC ATCTCTTATA ATTCTTGTAC TGGAAATCTC AAGTATATTG
1141 ATATTCCCTCC TATTATCAAT ACGGTTGCAG ATTCGAAGC TCTGTTTAC GTGGAAAGTA
1201 TTGTTTCAGT CCAGTGAGTT GAGG
```

Sequenza Wild Beta A FL

Varietà: 'Wilder'; coppia di primer: P_p/for/FL-rev

1 AAACTCTTAA AGATAGGGTG ACTGAAATGA CCCATGTACG TGCAAGTGAA ATCCTTGAAG
61 ATAGGGTGGC CGAAATCCTG TCCAGGTGC TACCAAAGTC TCTGATGCGG TTCAAATGTA
121 TACGCAAGTC TTGGTGCACG GTCATCAACA ATCCAAGTTT TATGCCAAA CACTCAGCAA
181 TTCCGTTGAC AACAAATTCT CATCCTCCAC TTGTATCCTT CTCCGCCGTT CTCAGATGCC
241 CGTTTCCCG GACAGAAGTT GGAAACGAGA ATATTCCTGG TCCATGATTA ATCTTCCC
301 TGATAGTGAT GAGCACACC TTTATTACGA TGTTGAGGAC CTAAATATAAC AATTTCCATT
361 GGAAGATCAT GATCATGTAT CGATTGATGG CTATTGCAAT GGGATTGTCT GTCTAATAGT
421 AGGGAAAAAT GCTGTTTAT ACAATCCTGC AACGAGGGAA CTGAAGCAAC TACCTGATT
481 ATGCCCTCTT CTACCTTCCC CTCCGGAGGG AAAATTGAA TTGGAATCGA CCTTTCAAGG
541 AATGGGATTG GGCTATGATA GCAAAGCTAA TGAGTACAAG GTTGTGAAAA TTATAGAAAA
601 TTGTGAGTAT TCAGATGATA TGTGAACATT TTCTCATCGT ATTGCTCTTC CTCACACGAC
661 TGAGGTATAT GTCACGACTA CTAACTCTTG GAGAGTGATC GAGATTGAAA TATCAAGTGA
721 TACCTATAAT TGTTCTTGTGTT CAGTATACTT GAAAGGATT TGTTATTGGT TTGCAAGCGA
781 TGACGAGGAA TACGTACTTT CATTGATTT AGGTGATGAG ATATTCATA GAATACAATT
841 GCCTTATAGG AAAGAATCCG GTTTTTATT TTATGATCTT TTTCTGTATA ATGAATCCAT
901 CGCTTCTTT TGCTCTCATT ATGATAATGA CAATTCTGGA ATATTGGAAA TACTTGAAAT
961 ATGGGTAATG GACGACTGTG ACGGAGTTAA GAGTCATGG ACAAAACTAC TAACCCTTGG
1021 ACCCTTGAA GACAATGAGA ATTTATTAAC ATTTTGAAAGT GATGAGC TTCTTATGGT
1081 TACCTCCGAT AAAAGAGCCA TTTCTTATAA TTCTAGTACC GGAAATCTTA AGTATATTCA
1141 TATTCCCT ATTATGAATA AGGTTACAGA TTTCGAAGCT CTTATTATG TGGAAAGTAT
1201 TGTTTCAGTC AAGTGAGTTG AGG

SEQUENZE

Sequenza Wild Beta B FL

Varietà: 'Wilder'; coppia di primer: Pp β for/FL-rev

```
1 AACTCTTAA AGATAGGGTG ACTGAAATGA CCCAGGTACG TGAAAGTGAA ACTCCTGAAG
 61 ATAGGGTGGC CGAAATCCTG TCCAGGTTGC CTCCAAGTC TCTGATGCGG TTCAAATGTA
121 TACGCAAGTC TTGGGGCACG ATTATCAACA ATCCAAGTTT TATGCCAAA CACCTCAGCA
181 ATTCCGTTGA CAACAAATT TCATCCTCCA CTTGTATCCT TCTCCGCCGG TCTCAGATGC
241 CCGTTTCCC GGACAGAACT TGAAACGAG AACATTCTG GTCCATGATT AATTTCCC
301 CTGATAGTGA TGAGCACAAAC CTTTATTATG ATGTTGAGGA CCTAAATATA CAATTTCCAT
361 TGGAAGATCA TGATCATGTA TCGATTCATG GCTATTGCAA TGGGATTGTC TGTCTAATAG
421 TAGGGAAAAA TGCTGTTTA TACAATCCTG CAACGAGGGA ACTGAAGCAA CTACCTGATT
481 CATGCCTTCT TCTACCTTCC CCTCCGGAGG GAAAATTGGA ATTGGAATCG ACCTTCAAG
541 GAATGGGATT TGGCTATGAT AGCAAAGCTA AAGAATACAA GGTTGTGAAA ATTATAGAAA
601 ATTGTGAGTA CTCAGATGAT CAACGAACAT TTTCTCATCG TATTGCTCTT CCTCACACGG
661 CTGAGGTATA TGTCACGACT ACTAACTCTT GGAGAGTGAT CGAGATTGAA ATATCAAGTG
721 ATACCTATAA CTGTTCTTGT TCAGTATACT TGAAGGGATT TTGTTATTGG TTTGCAAGCG
781 ATGATGAGGA ATACATACTT TCATTTGATT TAGGTGATGA AATATTTCAT AGAATACAAT
841 TGCCTTATAG GAAAGAATCC GGTGTTTGT TTTATGATTT TTTCTGTAT AATGAATCCA
901 TCGCTTCTT TTGCTCTCAT TATGATAAAA GTGACAATT TGGAAATATTG GAAATACTTG
961 AAATATGGAT AATGGACGAT TGTGATGGAG TCAAGAGCTC ATGGACAAAA CTACAAACCC
1021 TTGGACCCTT TAAAGGCAAT GAGAATTAT TGACATTTG GAAAAGTGAC GAGTTCTTA
1081 TGTTTACCTC TGATAAAAGA GTCATCTCTT ATAATTCTAG TACTGGAAAT CTCAAGTATA
1141 TTCATATTCC TCCTATTATC AATACGGTTG CAGATTTCGA AGCTCTTATT TACGTGGAAA
1201 GTATTGTTTC AGTCCAGTGA GTTGAGG
```

Sequenza Wild Beta C

Varietà: 'Wilder'; coppia di primer: P_p/for/rev

1 AAACTCTTAA AGATAGGGTG ACTGAAATGA CCCATGTACG TGCAAGTGAA ATCCTTGAAG
61 ATAGGGTGGC CGAAATCCTG TCCAGGTGC TACCAAAGTC TCTGATGCGG TTCAAATGTA
121 TACGCAAGTC TTGGTGCACG GTCATCAACA ATCCAAGTTT TATGCCAAA CACCTCAGCA
181 ATTCCGTTGA CAACAAATTTC TCATCCTCCA CTTGTATCCT TCTCCGCCGT TCTCAGATGC
241 CCGTTTCCC GGACAGAAGT TGGAAACGAG AATATTCTG GTCCATGATT AATCTTCCC
301 ATGATAGTGA TGAGCACAAC CTTTATTACG ATGTTGAGGA CCTAAATATA CAATTTCCAT
361 TGGAAGATCA TGATCATGTA TCGATTGATG GCTATTGCAA TGGGATTGTC TGTCTAATAG
421 TAGGGAAAAA TGCTGTTTA TACAATCCTG CAACGAGGG ACTGAAGCAA CTACCTGATT
481 CATGCCTTCT TCTACCTTCC CCTCCGGAGG GAAAATTGCA ATTGGAATCG ACCTTCAAG
541 GAATGGGATT TGGCTATGAT AGCAAAGCTA ATGAGTACAA GGTTGTGAAA ATTATAGAAA
601 ATTGTGAGTA TTCAGATGAT ATGCGAACAT TTTCTCATTG TATTGCTCTT CCTCACACGA
661 CTGAGGTATA TGTCACGACT ACTAACTCTT GGAGAGTGAT CGAGATTGAA ATATCAAGTG
721 ATACCTATAA TTGTTCTTGT TCAGTATACT TGAAAGGATT TTGTTATTGG TTTGCAAGCG
781 ATGACGAGGA ATACGTACTT TCATTTGATT TAGGTGATGA GATATTTCAT AGAATACAAT
841 TGCCTTATAG GAAAGAATCC GGTTTTGT TTTATGATCT TTTCTGTAT AATGAATCCA
901 TCGCTTCTT TTGCTCTCAT TATGATAATG ACAATTCTGG AATATTGGAA ATACTTGAAA
961 TATGGCAAT GAACGACTGT GACGGAGTTA AGAGTTGATG GACAAAACTA CTAACCCTTG
1021 GACCCTTGA AGACAATGAG AATTATTAA CATTGGAA AAGTGATGAG CTTCTTATGG
1081 TTACCTCCGA TAAAAGAGCC ATTTCTTATA ATTCTAGTAC CGGAAATCTT AAGTATATTG
1141 ATATTCCCTCC TATTATGAAT AAGGTTA

SEQUENZE

Sequenza Pack Beta A FL

Varietà: 'Packham's Triumph'; coppia di primer: Pp β for/FL-rev

```
1 AAACTCTTAA AGATAGGGTG ACTGAAATGA CCCATGTACG TCGAAGTGAA ATCCTTGAAG
 61 ATAGGGTGGC CGAAATCCTG TCCAGGTTGC TACCAAAGTC TCTGATGCGG TTCAAATGTA
121 TACGCAAGTC TTGGTGCACG GTCATCAACA ATCCAAGTTT TATGCCAAA CACCTCAGCA
181 ATTCCGTTGA CAACAAATT TCATCCTCCA CTTGTATCCT TCTCCGCCGT TCTCAGATGC
241 CCGTTTCCC GGACAGAACT TGAAACGAG AATATTCTG GTCCATGATT AATTTCCC
301 ATGATAGTGA TGAGCACAAAC CTTTATTACG ATGTTGAGGA CCTAAATATA CAATTTCCAT
361 TGGAAGATCA TGATCATGTA TCGATTCATG GCTATTGCAA TGGGATTGTC TGTCTAATAG
421 TAGGGAAAAA TGCTGTTTA TACAATCCTG CAACGAGGGA ACTGAAGCAA CTACCTGATT
481 CATGCCTTCT TCTACCTTCC CCTCCGGAGG GAAAATTGGA ATTGGAATCG ACCTTCAAG
541 GAATGGGATT TGGCTATGAT AGCAAAGCTA ATGAGTACAA AGTTGTGAAA ATTATAGAAA
601 ATTGTGAGTA TTCAGATGAT ATGCGAACAT TTTCTCATTG TATTGCTCTT CCTCACACGA
661 CTGAGGTATA TGTCACGACT ACTAACTCTT GGAGAGTGAT CGAGATTGAA ATATCAAGTG
721 ATACCTATAA TTGTTCTTGT TGAGTATACT TGAAAGGATT TTGTTATTGG TTTGCAAGCG
781 ATGACGAGGA ATACGTACTT TCATTTGATT TAGGTGATGA GATATTCAT AGAATACAAT
841 TGCCTTATAG GAAAGAATCC GGTGTTTGT TTTATGATCT TTTCTGTAT AATGAATCCA
901 TCGCTTCTTT TTGCTCTCAT TATGATAATG ACAATTCTGG AATATTGGAA ATACTTGAAA
961 TATGGGTAAT GAACGACTGT GACGGAGTTA AGAGTTCATG GACAAAACCA CTAACCCTTG
1021 GACCCTTGA AGACAATGAG AATTTATTAA CATTGGAA AAGTGATGAG CTTCTTATGG
1081 TTACCTCCGA TAAAAGAGCC ATTTCTTATA ATTCTAGTAC CGGAAATCTT AAGTATATTG
1141 ATATTCCCTCC TATTATGAAT AAGGTTACAG ATTTCGAAGC TCTTATTAT GTGAAAAGTA
1201 TTGTTTCAGT CAAGTGAGTT GAGG
```

Sequenza Pack Beta B

Varietà: 'Packham's Triumph'; coppia di primer: Pp β for/rev

```
1 CAACTCTTAA AGATAGGGTG ACTGAAATGA CCCATGTACG TGAAAGTGAA ATTCTGTGAA
61 ATAGGGTGGC CGAAATCCTG TCCAGGTGCG CGCCGAAGTC TCTGATGCGG TTCAAATGTA
121 TACGCAAGTC TTGGTGCACG GTCATCAACA ATCCAAGTTT TATGCCAAA CACCTCAGCA
181 ATTCCGTTGA CAACAAATTTC TCATCCTCCA CTTGTATCCT TCTCCATCGT TCTCAGATGC
241 CCGTTTCCC GGACAGAAGT TGGAAACGAG AATATTCTG GTCCATGATT AATTTTCCC
301 ATGATAGTGA TGAGCACAAC TTTTATTATG ATGTTGAGGA CCTAAATATA CAATTTCCAT
361 TGGAAGATCA TGATCATGTA TCGATTCATG GCTATTGCAA TGGGATTCTC TGTCTAATAG
421 TAGGGAAAAA TGCTGTTTA TACAATCCTG CAACGAGGGA ACTGAAGCAC CTACCTGATT
481 CATGCCTTCT TCTACCTTCC CCTCCGGAGG GAAAGTTAGA ATTGGAATCG ACCTTCAAG
541 GAATGGGATT TGGCTATGAT AGCCAAGCTA AAGAATACAA GGTTGTGAAA ATTATAGAAA
601 ATTGTGAGTA TTCAGATGAT ATGCGAACAT TTTCTCATCG TATTGCTCTT CCTCACACGG
661 CTGAGGTATA TGTCACAACT ACTAACTCTT GGAGAGTGAT CGAGATTGAA ATATCAAGTG
721 ATACCTATAA CTGTTCTTGT TCAGTATACT TGAAGGGATT TTGTTATTGG TTTGCAAGCG
781 ATGACGAGGA ATACATACTT TCATTTGATT TAGGTGATGA GATATTTCAT AGAATACAAT
841 TGCCTGTAG GAAAGAATCC GGTTTTGT TTTATGATCT TTTTTGTAT AGTGAATCCA
901 TCGCTTCTT TTGCTCTCAT TATGATAAAA GTGACAATTG TGGAATAATG GAAATACTTG
961 AAATATGGGT AATGGATGAC TGTGACGGTG TCAAGAGTTC ATGGACAAAA CTGCTAACCC
1021 TTGGACCCTT TAAAGACAAT GAGAATTAT TGACATTTG GAAAAGTGAT GAGCTTCTTA
1081 TGGTTACCTC CGATAAAAAGA GCCATCTCTT ATAATTCTAG TACCAGAAAT CTCAAGTATA
1141 TTCATATTCC TCCTATTATC ACGGTTA
```

SEQUENZE

Sequenza Fuji Beta A FL

Varietà: 'Fuji'; coppia di primer: P β for/FL-rev

```
1 AACTCTTAA AGATAAGGTG ACTGAAATGA CTAAGGTACG TGAAAGTGAA ACTCCTGAAG
 61 ATAGGGTGGC CGAAATCTTG TCCAGGTTGC CTCCGAAGTC TCTGATGCGT TTCAAATGTA
121 TAAGCAAGTC TTGGTGCACG GTCATCAACA ATCCAAGTTT TATGCCAAA CACCTCAGCA
181 ATTCCGTTAA CAACAAATTTC TCATCCTCCA CTTGTATCCT TCTCCACC GT TCTCAGATGC
241 CCGTTTCCC GGACAGAACT TGAAACGAG AATATTCTG GTCCATGATT AATTTCCC
301 ATGATAGTGA TGAACACAAAC CTTTATTATG ATGTTGAGGA CCTAAATATA CAATTCCAT
361 TGGAAGATCA TGATCATGTA TCGATTATG GCTATTGCAA TGGGGTTGTC TGTCTAATAG
421 TAGGGAAAAA TGCTGTTTA TACAATCCTG CAACGAGGGA ACTGAAGCAA CTGCCTGATT
481 CATGCCTTCT TCTACCTTCC CCTCCGGAGG GAAAATTGAA ATTGGAATCG ACCTTTCAAG
541 GAATGGGATT TGGATATGAT AGCAAAGCTA AAGAATACAA GGTTGTGAAA ATTATAGAAA
601 ATTGTGAGTA TTCAGATGAT ATGCGAACAT TTTCTCATCG TATTGCTCTT CCTCACACGG
661 CTGAGGTATA TATCAGACT ACTAACTCTT GGAGAGTGAT CGAGATTGAA ATATCAAGTG
721 ATACCTATAA TTGTTCTTGT TGAGTATACT TGAAGGGATT TTGTTATTGG TTTGCAAGCG
781 ATGACGAGGA ATACATACTT TCATTTGATT TAGGTAATGA GATATTCAT AGAATACAAT
841 TGCCTTATAG GAAAGAATCC GGTGTTTGT TTTATGATCT TTTCTGTAT AATGAATCCA
901 TCGCTTCTTT TTGCTCTCTT TATGATAAAA GTGACAATTG TGGAATATTG GAAATACTTG
961 AAATATGGGT AATGGACAAT TGTGACAGAG TCAAGAGTTC ATGGACAAAA CTGCAAACCC
1021 TTGGACCCCTT TAAAGACAAT GAGAATTATG TGACATTTG GAAAAGTGAC GAGCTTCTTA
1081 TGTTTACCTC CGATAAAAAGA GTCAATCTCTT ATAATTATAG TACCGGAAAT CTCAAGTATA
1141 TTCATATTCC TCCTATTATC AATAAGGTAA CAGATTGAGA AGCTCTTATT TATGTGGAAA
1201 GTATTGTTTC AGTCAAGTGA GTTGAGG
```

Sequenza Fuji Beta B FL

Varietà: 'Fuji'; coppia di primer: Pp β for/FL-rev

1 AAACTCTTAA AGATAGGGTG ACTGAAATGA CCCAGGTACG TGAAAGTGAA ACTCCTGAAG
61 ATAGGGTAGC CGAAATCCTG TCCAGGTTGC CTCCGAAGTC TCTGATGCGG TTCAAATGTA
121 TACGCAAGTC TTGGGGCACG ATCATCAACA ATCCAAGTTT TATGCCAAA CACCTCAGCA
181 ATTCCGTTGA CAACAAATTTC TCATCCTCCA CTTGTATCCT TCTCCACC GT TCTCAGATGC
241 CCGTTTCCC GGACAGAAGT TGGAAACGAG AATATTCTG GTCCATGATT AATCTTCCC
301 ATGATAGTGA TGAGCACAAC CTTTATTATG ATGTTGAGGA CCTAAATATA CAATTTCCAT
361 TGGAAGATCA TGATCATGTA TCGATTGATG GCTATTGCAA TGGGATTGTC TGTCTAATAG
421 TAGGGAAAAA TGCTGTTTA TACAATCCTG CAACGAGGG ACTGAAGCAA CTACCTGATT
481 CATGCCTTCT TCTACCTTCC CCTCCGGATG GAAAATTGAA ATTGGAATCG ACCTTCAAG
541 GAATGGGATT TGGCTATGAT AGCAAAGCTG AGAATACAAA GGTTGTGAAA ATTATAGAAA
601 ATTGTGAGTA TTCAGATGAT ATGCGAACAT TTTCTCATCG TATTGCTCTT CCTCACACGG
661 CTGAGGTATA TGTCACGACT ACTAACTCTT GGAGAGTGAT CGAGATTGAA ATATCAAGTG
721 ATACCTATAA TTGTTCTTGT TCAGTATACT TGAAGGGACC TTGTTATTGG TTTGCAAGTG
781 ATGACAAGGA ATACGTACTT TCATTTGATT TAGGTGATGA GATATTTAT AGAATACAAT
841 TGCCTGTAG GAAAGAATCC GGTTTTGT TTTATGATCT TTTCTGTAT AATGAATCCA
901 TCGCTTCTT TTGCTCTCGT TATGATAATG ACAATTCTGG AACATTGGAA ATACTTGAAA
961 TATGGGTAAT GGACGATTGT GATGGAGTCA AGAGCTCATG GACAAAAGT CAAACCCCTTG
1021 GACCCTTAA AGACAATGAG AATTATTGA CATTGAA AGGTGACGAG CTTCTTATGG
1081 TTACCTCTGA TAAAAGAGTC ATCTCTTATA ATTCTAGTAC TGGAAATCAC AAGTATATTG
1141 ATATTCCCTCC TATTATCAAT ACGGTTGCAG ATTTCGAAGC TCTTATTAT GTGGAAAGTA
1201 TTGTTTCAGT CTAGTGAGTT GAGG

SEQUENZE

Sequenza Fuji Beta Z

Varietà: 'Fuji'; coppia di primer: P_pβfor/rev

```
1 AAACTCCTGA AGATAAGGTG GTCGAAATCC TGTCGAGGTT GCCGCCAAG TCTCTCATGC
61 GATTCAAATG CATAACACAAG TCTTGGTGCA CTCTCATCAA AAGTTCAAGT TTTGTGCCA
121 AACACCTCAG TAATTCAATG GACAACAAAC TCTCAACCTC CACTTGTATC CTTCTCAACC
181 GTTCTGAAAT GCCCGTTTC CCGGACGACA GTTCCAAGTA TGAAGTTTA TGGTCCATGA
241 TTAATCTTC CATTGATAGT GATGAGCACA ACCTTCATTA TAATGTTGAG GACCTAAATA
301 TACCGTTCC AATGGAATAC CATCACCCCTG TATTGATTCA CGGTTATTGC GATGGTATTT
361 TCTGTGTAAT TACAGGGAA AATGTTGTT TATGCAATCC TGCAATTGGG GAATTCAAGC
421 AACTTCCCAGA TTCATGCCCTT CTTCTACCTG CCCCTCCTGA GAGAAAATTC GAATTGGAAA
481 CGACCTTTCG GGCATTGGGA TTTGGCTATG ATTGCAAAGC TAAAGAATAC AAGGTTGTGC
541 GAATTATAGA AAATTGTGAA TATTCTGATG ATGAGCAAAC ATATAATCAT CGTATTTCTC
601 TTCCCTTACAC TGCTGAGGTA TACACAACGA CTGGTAACTC TTGGAAAGAG ATCAATATTG
661 ATGTATCAAG TAAAGCCTAT CCATGTTCTT GTTCAGTGT A CTTGAAGGGA TTTTGTATT
721 GGTTTGCAAC AGATGGCGAG GAATACATAC TTTCATTG A CTTAGGAGAT GAGATATTTT
781 ACAGAAATACA ATTGCCTTCT AGGAAAGAAT CCGGTTTAA GTTTTATAGT CTTTTCTGT
841 ACAATGAATC AGTCACTTCT TATTGCTCTC ATTACGATCC AAGCGAGGAT TCTAAATTAT
901 TTGAAATATG GGTGATGGAC AACTATGACG GAGTTAAGAG CTCATGGAAG AAACCTCAA
961 CCGTTGGACC CCTTAAAGGC ATTGTTATC CATTGACACT TTGGAAAGGT GATGAACCTC
1021 TTATGCTTGC CTCCGACAAA AGAGTCACCT CCTATAATTC TAGTACCAGA AATCTCAAGT
1081 ATCTTCATAT TCCTCCTATT ATCGATGAGA TCA
```

Sequenza McInt Beta A

Varietà: 'McIntosh'; coppia di primer: Pp β for/rev

1 AAAGTCTTAA AGATAGGGTG ACTGAAATGA CTCAGGTACG TGAAAGTGAA ACTCCTGAAG
61 ATAGGGTGGC CGAAATCCTG TCCAGGTGC CGCCGAAGTC TCTGATGCGG TTCAAATGTA
121 TACGCAAGTC TTGGTACAAG GTCATCAAAA ATCCAAGTTT TATGCCAAA CACCTCAGCA
181 AAAATTCCGT TGACAACAAA TTCTCATCCT CCACTTGTAT CCTTCTCCAC CGTTCTCAGA
241 TGCCCCTTT CCCGGACAGA AGTTGGAAC GAGAATATT CTGGTCCATG ATTAATCTT
301 CCCATGATAG TGATAAGCAC AACCTTTATT ATGATGTTGA GGACCTAAAT ATACAATTTC
361 CATTGGAAGA TCATGATCAT GTATCGATTG ATGGCTATTG TAATGGGATT GTCTGTCTAA
421 TAGTAGGGAA AAATGCTGTT TTATACAATC CTGCAACGAG GGAACTGAAG CAACTACCTG
481 ATTGATGCCT TCTTCTACCT TCCCCTCCGG AGGGAAAATT CAAATTGGAA TCGACCTTC
541 AAGGAATGGG ATTTGGCTAT GATAGCCAAG CAAAGAATA CAAGGTTGTC AAAATTATAG
601 AAAATTGTGA GTATTGAGAT GATATGAGAA CATTTCCTCA TCGTATTGCT CTTCCCTCACA
661 CGGCTGAGGT ATATGTCATG ACTACTAACT CTTGGAGAGT GATCGAGATT GAAATATCAA
721 GTGATACCTA TAACTGTTCT TGTTCAAGTAT ACTTGAAGGG ATTTGTTAT TGGTTTGCAA
781 GCGATGACGA GGAATATATA CTTTCATTTG ATTTAGGTGA TGAGATATT CATAGAATAC
841 AATTGCCTTA TAGGAAAGAA TCCGGTTTT TGTTTATAA TCTTTTCTG TATAATGAAT
901 CCATCGCTTC TTTTGCTCT CATTATGATA AAAGTGACAA TTCTGGAATA CTGGAAATAC
961 TTGAAATATG GGTAAATGGAC GACTGTGATG GAGTCAGAG TTCATGGACA AAACGTCTAA
1021 CCCTTGGACC CTTTAAAGAC AATGAGAATT TATTGACATT TTGGAAAAGT GACGAGCTTC
1081 TTATGGTTAC CTCCGATAAA AAAACCATCT CTTATAATTG TAGTACCGGA AATCTCAAGT
1141 ATATTCAATAT TCCTCCTATT ATCAATAAGG TTA

SEQUENZE

Sequenza McIntosh Beta B FL

Varietà: 'McIntosh'; coppia di primer: Pp β for/FL-rev

```
1 AACTCTTAA AGATAGGGTG ACTGAAATGA CCCAGGTACG TGAAAGTGAA ACTCCTGAAG
 61 ATAGGGTGGC CGAAATCCTG TCCAGGTTGC CTCCAAAGTC TCTGATGCGG CTCAAATGTA
121 TACGCAAGTC TTGGGGCACG ATCATCAACA ATCCAAGTTT TATGCCAAA CACCTCAGCA
181 ATTCCGTTGA CAACAAATT TCATCCTCCA CTTGTATCCT TCTCCGCCGG TCTCAGATGC
241 CCGTTTCCC GGACAGAACT TGAAACGAG AACATTCTG GTCCATGATT AATTTCCC
301 ATGATAGTGA TGAGCACAAAC CTTTATTATG ATGTTGAGGA CCTAAATATA CAATTTCCAT
361 TGGAAGATCA TGATCATGTA TCGATTCATG GCTATTGCAA TGGGATTGTC TGTCTAATAG
421 TAGGGAAAAA TGCTGTTTA TACAATCCTG CAACGAGGGA ACTGAAGCAA CTACCTGATT
481 CATGCCTTCT TCTACCTTCC CCTCCGGAGG GAAAATTGGA ATTGGAATCG ACCTTCAAG
541 GAATGGGATT TGGCTATGAT AGCAAAGCTA AAGAATACAA AGTTGTGAAA ATTATAGAAA
601 ATTGTGAGTA CTCAGATGAT CAACGAACAT TTTCTCATCG TATTGCTCTT CCTCACACGG
661 CTGAGGTATA TGTCACGACT ACTAACTCTT GGAGAGTGAT CGAGATTGAA ATATCAAGTG
721 ATACCTATAA CTGTTCTTGT TCAGTATACT TGAAGGGATT TTGTTATTGG TTTGCAAGCG
781 ATGATGAGGA ATACATACTT TCATTTGATT TAGGTGATGA AATATTTCAT AGAATACAAT
841 TGCCTTATAG GAAAGAATCC GGTGTTTGT TTTATGATTT TTTCTATAT AATGAATCCA
901 TCGCTTCTT TTGCTCTCAT TATGATAAAA GTGACAATT TGGAAATATTG GAAATACTTG
961 AAATATGGAT AATGGACGAT TGTGATGGAG TCAAGAGCTC ATGGACAAAA CTACAAACCC
1021 TTGGACCCTT TAAAGGCAAT GAGAATTAT TGACATTTG GAAAAGTGAC GAGTTCTTA
1081 TGGTTACCTC TGATAAAAAGA GTCACTCTT ATAATTCTAG TACTGGAAAT CTCAAGTATA
1141 TTCATATTCC TCCTATTATC AATACGGTTG CAGATTGCA AGCTCTTATT TACGTGGAAA
1201 GTATTGTTTC AGTCCAGTGA GTTGAGG
```

Sequenza McInt Beta C FL

Varietà: 'McIntosh'; coppia di primer: Pp β for/FL-rev

1 AAACTCTTAA AGATAGGGTG ACTGAAATGA CCCAGGTACG TGAAAGTGAA ACTCCTGAAG
61 ATAGGGTAGC CGAAATCCTG TCCAGGTTGC CTCCGAAGTC TCTGATGCGG TTCAAATGTA
121 TACGCAAGTC TTGGGGCACG ATCATCAACA ATCCAAGTTT TATGCCAAA CACCTCAGCA
181 ATTCCGTTGA CAACAAATTTC TCATCCTCCA CTTGTATCCT TCTCCACCCT TCTCAGATGC
241 CCGTTTCCC GGACAGAAGT TGGAAACGAG AATATTCTG GTCCATGATT AATCTTCCC
301 ATGATAGTGA TGAGCACAAC CTTTATTATG ATGTTGAGGA CCTAAATATA CAATTTCCAT
361 TGGAAGATCA TGATCATGTA TCGATTCATG GCTATTGCAA TGGGATTGTC TGTCTAATAG
421 TAGGAAAAAA TGCTGTTTA TACAATCCTG CAACGAGGGA ACTGAAGCAA CTACCTGATT
481 CATGCCTTCT TCTACCTTCC CCTCCGGATG GAAAATTGCA ATTGGAATCG ACCTTCAAG
541 GAATGGGATT TGGCTATGAT AGCAAAGCTG AAGAATACAA GGTTGTGAAA ATTATAGAAA
601 ATTGTGAGTA TTCAGATGAT ATGCGAACAT TTTCTCATCG TATTGCTCTT CCTCACACGG
661 CTGAGGTATA TGTCACGACT ACTAACTCTT GGAGAGTGAT CGAGATTGAA ATATCAAGTG
721 ATACCTATAA TTGTTCTTGT TCAGTATACT TGAAGGGACT TTGTTATTGG TTTGCAAGTG
781 ATGACAAGGA ATACGTACTT TCATTTGATT TAGGTGATGA GATATTTAT AGAATACAAT
841 TGCCTGTAG GAAAGAATCC GGTTTTTGT TTTATGATCT TTTCTGTAT AATGAATCCA
901 TCGCTTCTT TTGCTCTCAT TATGATAATG ACAATTCTGG AACATTGGAA ATACTTGAAA
961 TATGGGTAAT GGACGATTGT GATGGAGTCA AGAGCTCATG GACAAAACCA CAAACCCCTTG
1021 GACCCTTAA AGACAATGAG AATTATTGA CATTGGAA AAGTGACGAG CTTCTTATGG
1081 TTACCTCTGA TAAAAGAGTC ATCTCTTATA ATTCTAGTAC TGGAAATCTC AAGTATATTG
1141 ATATTCCCTCC TATTATCGAT ACGGTTGCAG ATTCGAAGC TCTTATTTAT GTGGAAAGTA
1201 TTGTTTCAGT CTAGTGAGTT GAGG

SEQUENZE

Sequenza McInt Beta Z

Varietà: 'McIntosh'; coppia di primer: Pp β for/rev

```
1 AACTCCTGA AGATAAGGTG GTCGAAATCC TGTCGAGGTT GCCGCCAAG TCTCTCATGC
61 GATTCAAATG CATAACACAGG TCTTGGTGCA CTCTCATCAA AAGTTCAAGT TTTGTGCCA
121 AACACCTCAG TAATTCTATA GACAACAAAC TCTCAGCCTC CACTTGTATC CTTCTCAACC
181 GTTCTGAAAT GCCCGTTTC CCGGACGACA GTTCCAAGTA TGAAGTTTA TGGTCCATGA
241 TTAATCTTC CATTGATAGT GATGAGCACA ACCTTCATTA TAATGTTGAG GGCCTAAATA
301 TACCGTTCC AATGGAATAC CATCATCCTG TATTGATTCA CGGTTATTGC GATGGTATTT
361 TCTGTGTAAT TACAGGGAA AATGTTGTT TATGCAATCC TGCAATTGGG GAATTCAAGC
421 AACTCCCAGA TTCATGCCCT CTTCTACCTG CCCCTCCTGA GAGAAAATTC GAATTGGAAA
481 CGACCTTTCG GGCATTGGGA TTTGGCTATG ATTGCAAAGC TAAAGAATAC AAGGTTGTGC
541 GAATTATAGA AAATTGTGAA TATTCTGATG ATGAGCAAAC ATATAATCAT CGTATTTCTC
601 TTCCCTTACAC TGCTGAGGTA TACACAACGA CTGGTAACTC TTGGAAAGAG ATCAATATTG
661 ATGTATCAAG TAAAGCCTAT CCATGTTCTT GTTCAGTGT A CTTGAAGGGA TTTTGTATT
721 GGTTTGCAAC AGATGGCGAG GAATACATAC TTTCATTGA CTTAGGAGAT GAGATATTTT
781 ACAGAATACA ATTGCCTTCT AGGAAAGAAT CCGGTTTAA GTTTTATAGT CTTTTCTGT
841 ACAATGAATC AGTCACTTCT TATTGCTCTC ATTACGATCC AAGCGAGGAT TCTAAATTAT
901 TTGAAATATG GGTGATGGAC AACTATGACG GAGTTAAGAG TTCAATGGAAG AAACCTCAA
961 CCGTTGGACC CCTTAAAGGC ATTGTTATC CATTGACACT TTGGAAAGGT GATGAACCTC
1021 TTATGCTTGC CTCCGACAAA AGAGTCACCT CCTATAATTC TAGTACCAGA AATCTCAAGT
1081 ATCTTCATAT TCCTCCTATT ATCGATGAGA TCA
```

Sequenza Kum Beta A FL

Varietà: 'Kumoi'; coppia di primer: P_pfor/FL-rev

1 AAACTCTTAA AGATAGGGTG ACTGAAATGA CCCAGGTACG TGAAAGTGAA ACTCCTGAAG
61 ATAGGGTGGC CGAAATCCTG TCCAGGTGC CTCCAAAGTC TCTGATGCGG TTCAAATGTA
121 TACGCAAGTC TTGGGGCACG ATCATCAACA ATCCAAGTTT TATGCCAAA CACCTCAGCA
181 ATTCCGTTGA CAACAAATT TCATCCTCCA CTTGTATCCT TCTCCGCCGG TCTCAGATGC
241 CCGTTTCCC GGACAGAAGT TGGAAACGAG AACATTCTG GTCCATGATT AATTTCCCC
301 ATGATAGTGA TGAGCACAAC CTTTATTATG ATGTTGAGGA CCTAAATATA CAATTTCCAT
361 TGGAAGATCA TGATCATGTA TCGATTCATG GCTATTGCAA TGGGATTGTC TGTCTAATAG
421 TAGGAAAAAA TGCTGTTTA TACAATCCTG CAACGAGGGA ACTGAAGCAA CTACCTGATT
481 CATGCCTTCT TCTACCTTCC CCTCCGGAGG GAAAATTGCA ATTGGAATCG ACCTTCAAG
541 GAATGGGATT TGGCTATGAT AGCAAAGCTA AAGAATACAA GGTTGTGAAA ATTATAGAAA
601 ATTGTGAGTA CTCAGATGAT CAACGAACAT TTTCTCATCG TATTGCTCTT CCTCACACGG
661 CTGAGGTATA TGTCACGACT ACTAACTCTT GGAGAGTGAT CGAGATTGAA ATATCAAGTG
721 ATACCTATAA CTGTTCTTGT TCAGTATACT TGAAGGGATT TTGTTATTGG TTTGCAAGCG
781 ATGATGAGGA ATACATACTT TCATTTGATT TAGGTGATGA AATATTTCAT AGAATACAAT
841 TGCCTTATAG GAAAGAATCC GGTTTTGT TTTATGATT TTTCTGTAT AATGAATCCA
901 TCGCTTCTT TTGCTCTCAT TATGATAAAA GTGACAATT TGAAATATTG GAAATACTTG
961 AAATATGGAT AATGGACGAT TGTGATGGAG TCAAGAGCTC ATGGACAAAA CTACAAACCC
1021 TTGGACCCTT TAAAGGCAAT GAGAATTAT TGACATTTG GAAAAGTGAC GAGTTTCTTA
1081 TGGTTACCTC TGATAAAAAGA GTCATCTCTT ATAATTCTAG TACTGGAAAT CTCAAGTATA
1141 TTCATATTCC TCCTATTATC AATACGGTTG CAGATTCGA AGCTCTTATT TACGTGGAAA
1201 GTATTGTTTC AGTCCAGTGA GTTGAGG

SEQUENZE

Sequenza Kum Beta B FL

Varietà: 'Kumoi'; coppia di primer: Pp β for/FL-rev

```
1 AAACTCTTAA AGATAGGGTG ACTGAAATGA CCCATGTACG TCGAAGTGAA ATCCTTGAAG
 61 ATAGGGTGGC CGAAATCCTG TCCAGGTTGC TACCAAAGTC TCTGATGCGG TTCAAATGTA
121 TACGCAAGTC TTGGTGCACG GTCATCAACA ATCCAAGTTT TATGCCAAA CACCTCAGCA
181 ATTCCGTTGA CAACAAATTG TCATCCTCCA CTTGTATCCT TCTCCGCCGT TCTCAGATGC
241 CCGTTTCCC GGACAGAACT TGAAACGAG AATATTCTG GTCCATGATT AATTTCCC
301 ATGATAGTGA TGAGCACAAAC CTTTATTACG ATGTTGAGGA CCTAAATATA CAATTTCCAT
361 TGGAAGATCA TGATCATGTA TCGATTCATG GCTATTGCAA TGGGATTGTC TGTCTAATAG
421 TAGGGAAAAA TGCTGTTTA TACAATCCTG CAACGAGGGA ACTGAAGCAA CTACCTGATT
481 CATGCCTTCT TCTACCCTCC CCTCCGGAGG GAAAATTGAA ATTGGAATCG ACCTTCAAG
541 GAATGGGATT TGGCTATGAT AGCAAAGCTA ATGAGTACAA GGTTGTGAAA ATTATAGAAA
601 ATTGTGAGTA TTCAGATGAT ATGCGAACAT TTTCTCATTG TATTGCTCTT CCTCACACGA
661 CTGAGGTATA TGTCACGACT ACTAACTCTT GGAGAGTGAT CGAGATTGAA ATATCAAGTG
721 ATACCTATAA TTGTTCTTGT TGAGTATACT TGAAAGGATT TTGTTATTGG TTTGCAAGCG
781 ATGACGAGGA ATACGTACTT TCACTTGATT TAGGTGATGA GATATTCAT AGAATACAAT
841 TGCCTTATAG GAAAGAATCC GGTGTTTGT TTTATGATCT TTTCTGTAT AATGAATCCA
901 TCGCTTCTTT TTGCTCTCAT TATGATAATG ACAATTCTGG AATATTGGAA ATACTTGAAA
961 TATGGGTAAT GAACGACTGT GACGGAGTTA AGAGTTCATG GACAAAACCA CTAACCCCTG
1021 GACCCTTGA AGACAATGAG AATTTATTAA CATTGGAA AAGTGATGAG CTTCTTATGG
1081 TTACCTCCGA TAAAAGAGCC ATTTCTTATA ATTCTAGTAC CGGAAATCTT AAGTATATTG
1141 ATATTCCCTCC TATTATGAAT AAGGTTACAG ATTTCGAAGC TCTTATTAT GTGAAAAGTA
1201 TTGTTTCAGT CAAGTGAGTT GAGG
```

Sequenza Kum Beta Z

Varietà: 'Kumoi'; coppia di primer: P β for/rev

1 AAACTCCTGA AGATAAGGTG GTTGAATTT TGTCCAGGT GCCACCCAAG TCTCTGATGC
61 GATTCAAATG CATACGCAAG TCTTGGTGCA CTCTCATCAA TGGTCCAAGT TTTGTGCCCG
121 AACACCTCAA CAATTCCGTG GACAGCAAAC GCTCGTCCAA CACTTGTATC CTTCTCAACC
181 GTTCTCAGAT GCCCGTTTC CCAGACAACA GTTGGAAATA TGAAGTTTT TGGTCCATGA
241 TTAGTCTTTC CATTGATAGT GATGAGCACA ACCTTCATTA TGATGTTGAG GACCTAAATA
301 TACCGTTTCC AATGGAAGAC CATCATCCIG TAGTGATTCA CGGTCAATTGC AATGGGATTG
361 TCTGTGTAAT AACAGGGAAA AATGTTGTT TATGCAATCC TGCAATTGGG GAATTCAAGGC
421 AACTTCCCAGA TTGCCTCCTT CTACCCCTTC CCAACATAAA ATTCAATTG GAGACGAGCT
481 TTGGAGGATT GGGATTCGGC TATGATTGCA AAGCTAAAGA ATACAAGGTT GTGCGAATT
541 CAGAAAATTG TGAGTATTCA GATGCTGAAC GAACATATTA CCATCGTATT GATCTTCCTC
601 ATACGGCTCA GGTATAACACC ACGACTGCTA ACTCTTGGAA AGAGATCAAG ATTGATATAT
661 CAAGTAAAAG CTATCTTGAT TCTTGTCCAG TGTACTTGAA GGGATTTGT TATTGGATTG
721 CAAATGATGG CGAGGAATTG ATACTTCAT TTGATTTAAG TGATGAGATA TTTCATAGAA
781 TACAAATGCC TCTTGGGAGA GAATCCAGTT TGCAGTTTG TAATCTTTT TTGTATAATG
841 AATCCCTCGC TTGTTTTGC TCTCTTACG GTCCAAGTGG CAATTCTAGA TTATTTGAAA
901 TATTTGAAAT ATGGGTAATG GACGACTATC ACGGAGTTAA GAGTTCATGG ACAAAACTTC
961 TAGCCATTGG ACCCTTTAAG CACAATGAGA ATCCATTGAC ATTTGGAAA AGTGACGAGT
1021 TTCTTATGGT TACCTCAGAT AGAAGAGTCA CCTCTTATAA TTCAAGTACC GGAAATCTCA
1081 AGTATCTTCT TATTCCCTCCT ATTATGAATG AGGTTATAGA TTTACAAGCT CTTATTTATG
1141 TGGAAAGTAT TGTCCAGTC AACTGAGTTG AGG

SEQUENZE

Sequenza Cho Beta A FL

Varietà: ‘Chojuro’; coppia di primer: Pp β for/FL-rev

```
1 AACTCTTAA AGATAGGGTG ACCGAAATGA CCCAGGTACG TGAAAGTGAA ACTCCTGAAG
 61 TTAGGGTGGC CGAAATCTA TCCAGGTTGC CTCCGAAGTC TCTGATGCGC TTCAAATGTA
121 TACGCAAGTC TTGGGGCACG ATCATCAACA ATCCAAGTTT TATGCCAAA CACCTCAGCA
181 ATTCCGTTGA CAACAAATT TCATCCTCCA CTTGTATCCT TCTCCGCCGT TCTCAGATGC
241 CCGTTTCCC GGACAGAACT TGAAACGAG AATATTCTG GTCCATGATT AATTTCCC
301 ATGATAGTGA TGAGCACAAAC CTTTATTATG ATGTTGAGGA CCTAAATATA CAATTTCCAT
361 TGGAAGATCA TGATCATGTA TCGATTCATG GCTATTGCAA TGGGATTGTC TGTCTAATAG
421 TAGGGAAAAA TGCTGTTTA TACAATCCTG CAACGAGGGA ACTGAAGCAG CTACCTGATT
481 CATGCCTTCT TCTACCTTCC CCTCCGGAGG GAAAATTGGA ATTGGAATCG ACCTTCAAG
541 GAATGGGATT TGGCTATGAT AGCAAAGCTA AAGAATACAA GGTTGTGAAA ATTATAGAAA
601 ATTGTGAGTA TTCAGATGAT ATGCGAACAT TTTCTCATCG TATTGCTCTT CCTCACACAG
661 CTGAGGTATA TGTCTGACT ACTAACTCTT GGAGAGTGAT CGAGATTGAA ATATCAAGTG
721 ATACCTATAA TTGTTCTTGT TCAGTATACT TGAAGGGATT TTGTTATTGG TTTGCAAGCG
781 ATGACGAGGA ATACGTACTT TCATTTGATT TAGGTGATGA GATATTCAT AGAATACAAT
841 TGCCTTATAG GAAAGAATCC GGTGTTTGT TTTATGATCT TTTCTGTAT AATGAATCCA
901 TTGCTTCTTT TTGCTCTCAT TATGATAATG ACGATTCTGG AATATTGGAA ATACTTGAAA
961 TATGGGTAAT GGACGATTGT GACAGAGTCA AGAGCTCATG GACAAAACCA CAAACCCCTG
1021 GACCCTTAA AGACAATGAG AATTTATTGA CATTGGAA AAGTGACGAG CTTCTTATGG
1081 TTACCTCTGA TAAAAGAGTC GTCTCTTATA ATTCTACTAC TGGAAATCTC AAGTATATTG
1141 ATATTCCCTCC TGTTATCAAT ACGGTTGCAG ATTCGAAGC TCTTATTAT GTGGAAAGTA
1201 TCGTTTCAGT CCAGTGAGTT AAGG
```

Sequenza Cho Beta B FL

Varietà: 'Chojuro'; coppia di primer: Pp β for/FL-rev

1 AAACTCTTAA AGATAGGGTG ACTGAAATGA CCCAGGTACG TGAAAGTGAA ACTCCTGGAG
61 ATAGGGTAGC CGAAATCCTG TCCAGGTTGC CTCCGAAGTC TCTGATGCGG TTCAAATGTA
121 TACGCAAGTC TTGGGGCACG ATCATCAACA ATCCAAGTTT TATGCCAAA CACCTCAGCA
181 ATTCCGTTAA CAACAAATTTC TCATCCTCCA CTTGTATCCT TCTCCACCCT TCTCAGATGC
241 CCGTTTCCC GGACAGAAGT TGGAAACGAG AATATTCTG GTCCATGATT AATTTTCCC
301 ATGATAGTGA TGAGCACAAC CTTTATTATG ATGTTGAGGA CCTAAATATA CAATTTCCAT
361 TGGAAGATCA TGATCATGTA TCGATTCATG GCTATTGCAA TGGGATTGTC TGTCTAATAG
421 TAGGGAAAAA TGCTGTTTA TACAATCCTG CAACGAGGGA ACTGAAGCAA CTGCCTGATT
481 CATGCCTTCT TCTACCTTCC CCTCCGGATG GAAAATTGCA ATTGGAATCG ACCTTCAAG
541 GAATGGGATT TGGCTATGAT AGCAAAGCTG AAGAATACAA GGTTGTGAAA ATTATAGAAA
601 ATTGTGAGTA TTCAGATGAT ATGCGAACAT TTTCTCATCG TATTGCTCTT CCTCTCACGG
661 CTGAGGTATA TGTCACGACT ACTAACTCTT GGAGAGTGAT CGAGATTGAA ATATCAAGTG
721 ATACCTATAA TTGTTCTTGT TCAGTATACT TGAAGGGACT TTGTTATTGG TTTGCAAGTG
781 ATGACAAGGA ATACGTACTT TCATTTGATT TAGGTGATGA GATATTTAT AGAATACAAT
841 TGCCTGTAG GAAAGAATCC GGTTTTTGT TTTATGATCT TTTCTGTAT AATGAATCCA
901 TCGCTTCTT TTGCTCTCAT TATGATAATG ACAATTCTGG AACATTGGAA ATACTTGAAA
961 TATGGGTAAT GGACGATTGT GATGGAGTCA AGAGCTCATG GACAAAACCA CAAACCCCTTG
1021 GACCCTTAA AGACAATGAG AATTATTGA CATTGGAA AAGTGACGAG CTTCTTATGG
1081 TTACCTCTGA TAAAAGAGTC ATCTCTTATA ATTCTAGTAC TGGAAATCTC AAGTATATTG
1141 ATATTCCCTCC TATTATCAAT ACGGTTGCAG ATTCGAAGC TCTTATTTAT GTGGAAAGTA
1201 TTGTTTCAGT CTAGTGAGTT GAGG

SEQUENZE

Sequenza AF Gamma A

Varietà: 'Abate Fétel'; coppia di primer: Ppγfor-rev

```
1 AACAAAATTG CCGAAATGTC CCAGGTGCGT GAAAGTGAAA CTCTGAAGA TAGGATGGTC
61 GAAATCTTGT CCAGGTTGCC ACCCAAGTCT CTGATGCGAT TCAAATGCAT ACGCAAATCT
121 TGGTGCACTC TTATCAATAG TCCATGTTT GTGGCCAAAC ACCTCAGCGA TTCTGTGGAC
181 AACAAACTCT CATCCTCCAC TTGTATCCTT CTCAACTGTT CTCAGGCTCA CGTTGCTCG
241 GAAAAAAAGTT GGAAACAAGA AGTTTCATGG TCCGTGATTA ATCTTTCCAT TGATGGTGAT
301 GAGCTTCATT ATGATATTGA GGACCTAACT ATTGTACCGT TTCTAAAGGA TGACCCICAT
361 GAAGTAGAGA TTCACGGTTA TTGCGATGGG ATTGTTGTG TAACAGTAGA CGAAAATTTC
421 TTTTGTGCA ATCCTGCAAC GGGGAATTC AGGCAACTTC CTGATTGATG CCTTCTTCTA
481 CCCCTTCCCCG GGGTAAAAGA AAAATTGGA TTGGAAACGA CACTTAAAGG ACTGGGATTT
541 GGTTATGATT GCAAAGCTAA AGAATACAAG GTTGTGCGAA TTATAGATAA TTATGATTGT
601 GAGTATTTCAG ATGATGGAGA AACATATATC GAGCATATTG CTCTTCCTTA CACTGCTGAA
661 GTATACACCA TGACTACTAA CTCTTGAAA GAGATCACGA TTGATATACT AAGTAAAATA
721 TTATCATCAT ATAGCGAACC ATATTCTTAT TCAGTGTATT TGAAAGGGTT TTGTTATTGG
781 TTGTCATGCG ATGTAGAGGA ATACATATTT TCATTTGATT TATCTAATGA AATATCTGAT
841 ATGATAGAAT TGCCTTTAG GGGAGAATTC GGTTTAAGC GTGATGGTAT TTTTCTGTAT
901 AATGAATCCC TCACTTATTA TTGCACTAGT TACGAAGAGC CTTCCACATT ATTTGAAATA
961 TGGGTAATGG ACTACGATGA TGGATTAAAG AGTTCATGGA CAAAACACCT AACTGCTGGA
1021 CCTTTAAAG ACATGGACTT TCCATTGACA CATTGAAAC GTGACGAGTT TCTTATGATT
1081 GCTTCAGATG GAAGAGTTGC CTCTTATAAT TCTTGTACCG GAAATTCAA GTATCTTCAT
1141 ATTCTGTAA TTATTAATGA GAATAGGGTT GTAGATTACG TGAAAAGTAT TGTTTAGTC
1201 AA
```

Sequenza AF Gamma B

Varietà: 'Abate Fétel'; coppia di primer: Pp γ for-rev

1 AACAAAATTG TCGAAATGTC CCAGGTGCGT GAAAGTGAAA CTCCCGAAGA TAGGATGGTC
61 GAAATCTTGT CCAGGTTACC ACCCAAGTCT CTGATGCGAT TCAAATGCAT ACGCAAATCT
121 TGGTGCACTC TTATCAATAG TCCATGTTTT GTGGCCAAAC ATCTCAGCGA TTCTGTGGAC
181 AACAAACTCT CATCCTCCAC TTGTATCCTT CTCAACTGTT CTCAGGCTCA CGTTTGCTCG
241 GAACAGAGTT GGAAACAAGA AGTTTCATGG TCCGTGATTA ATCTTCCAT TGATGGTGT
301 GAGCTTCATT ATGATATTGA GGACCTAACT ACTGTACCGT TTCTAAAGGA TGACCCCTCAT
361 GAAGTAGAGA TTCACGGTTA TTGCGATGGG ATTGTTGTG TAACAGTAGA CGAAAATTCC
421 TTTTGTGCA ATCCTGCAAC GGGGAAATTC AGGCAACTTC CTGATTGATG CCTTCTTCTA
481 CCCCTTCCCG GGGTAAAAGA AAAATTCGGA TTGGAAACGA CACTTAAAGG ACTGGGATT
541 GGTTATGATT GCAAAGCTAA AGAATACAAG GTTGTGCGAA TTATAGATAA TTATGATTGT
601 GAGTATTTCAG ATGATGGAGA AACATATATG GAGCATATTG CTCTTCCTTA CACTGCTGAA
661 GTATACACCA TGGCTGCTAA CTCTTGGAAA GAGATCACGA TTGATATACT AAGTAAAATA
721 TTATCATCAT ATAGCGAACC ATATTCTTAT TCAGTGTATT TGAAGGGTT TTGTTATTGG
781 TTGTCATGCG ATGTAGAGGA ATACATATTT TCATTTGATT TAGCTAATGA AATATCTGAT
841 ATGATAGAAT TGCCTTTAG GGGAGAATTT GGTTTTAAGC GTGATGGTAT TTTTCTGTAT
901 AATGAATCCC TCACTTATTA TTGCAGTAGT TACGAAGAGC CTTCCACATT ATTTGAAATA
961 TGGGTAATGG ACTACGATGA CGGATTTAAG AGTTCATGGA CAAAACACCT AACTGCTGGA
1021 CCTTTTACAG ATATGGAGTT TCCATTGACA CCTTGGAAAC GTGACGAGCT TCTTATGATT
1081 GCCTCCGATG GAAGAGCTGC CTCTTATAAT TCTTGTACCG GAAATTCAA GTATCTTCAT
1141 ATTCCCTGTAA TTATTAATCA GAATAGGGTT GTAGATTATG TGAAAAGTAT TATTCTAGTC
1201 AA

SEQUENZE

Sequenza MRB Gamma A

Varietà: 'Max Red Bartlett'; coppia di primer: Ppγfor-rev

```
1 AATAAAATTG CCGAAATGTC CCAGGTGCGT GAAAGTGAAA CTCTGAAGA TAGGATGGTC
61 GAAATCTTGT CCAGGTTGCC GCCCAAGTCT CTGATGCGAT TCAAATGCAT ACGCAAATCT
121 TGGTGCACTC TTATCAATAG TCCATGTTT GTGGCCAAAC ATCTCAGCGA TTCTGTGGAC
181 AACAAACTCT CATCCTCCAC TTGTATCCTT CTCAACTGTT CTCAGGCTCA CGTTGCTCG
241 GAAGAGAGTT GGAAACAAGA AGTTTCATGG TCCGTGATTA ATATTTCCAT TGATGGTGAT
301 GAGCTTCATT ATGATATTGA GGACCTAACT AATGTACCGC TTCTAAAGGA TGACCCICAT
361 GAAGTTGAGA TTCACGGTTA TTGCGATGGG ATTGTTGTG TAACAGTAGA CGAAAATTTC
421 TTTTGTGCA ATCCTGCAAC GGGGAATTC AGGCAACTTC CTGATTGATG CCTTCTTCTA
481 CCCCTTCCCCG GGGTAAAAGA AAAATTGGA TTGGAAACGA CACTTAAAGG ACTGGGATTT
541 GGTTATGATT GCAAAGCTAA AGAATACAAG GTTGTGCGAA TTATAGATAA TTATGATTGT
601 GAGTATTTCAG ATGATGGAGA AACATATATG GAGCATATTG CTCTTCCTTA CACTGCTGAA
661 GTATACACCA TGGCTGCTAA CTCTTGAAA GAGATCACGA TTGATATACT AAGTAAAATA
721 TTATCATCAT ATAGCGAACC ATATTCTTAT TCAGTGTATT TGAAGGGGTT TTGTTATTGG
781 TTGTCATGCG ATGTAGAGGA ATACATATTT TCATTTGATT TAGCTAATGA AATATCTGAT
841 ATGATAGAAT TGCCTTTAG GGGAGAATTC GGTTTAAGC GTGATGGTAT TTTTCTGTAT
901 AATGAATCCC TCACTTATTA TTGCAGTAGT TACGAAGAGC CTTCCACATT ATTTGAAATA
961 TGGGTAATGG ACTACGATGA TGGATCTAAG AGTTTATGGA CAAAACACCT AACTGCTGGA
1021 CCTTTAATG ATATGGAGTT TCCATTGACA CCTTGAAAT GTGACGAGCT TCTTATGATT
1081 GCCTCCGATG GAAGAGCTGC CTCTTATAAT TCTTGTACCG GAAATTCAA GTATCTTCAT
1141 ATTCTGTAA TTATTAATCA GAATAGGGTT GTAGATTACG TGAAAAGTAT TATTCTAGTC
1201 AA
```

Sequenza MRB Gamma B

Varietà: 'Max Red Bartlett'; coppia di primer: Ppγfor-rev

1 AACAAAATTG CCGAAATGTC CCAGGTGCGT GAAAGTGAAA CTCCTGAAGA TAGGATGGTC
61 GAAATCTTGT CCAGGTTGCC ACCCAAGTCT CTGATGCGAT TCAAATGCAT ACGCAAATCT
121 TGGTGCACTC TTATCAATAG TCCATGTTT GTGGCCAAAC ATCTCAGCGA CTCTGTGGAC
181 AACAAACTCT CATCCTCCAC TTGTATCCTT CTCAACTGTT CTCAGGCTCA CGTTTGCTCG
241 GAAGAGAGTT GGAAACAAGA AGTTTCATGG TCCGTGATTA ATCTTCCAT TGATGGTGT
301 GAGCTTCATT ATGATATTGA GGACCTAACT AATGTACCGC TTCTAAAGGA TGACCCTCAT
361 GAAGTTGAGA TTCACGGTTA TTGCGATGGG ATTGTTGTG TAACAGTAGA CGAAAATTTC
421 TTTTGTGCA ATCCTGCAAC GGGGAATTG AGGCAACTTC CTGATTGATG CCTTCTTCTA
481 CCCCTTCCCG GGGTAAAAGA AAAATTCGGA TTGGAAACGA CACTTAAAGG ACTGGGATT
541 GGTTATGATT GCAAAGCTAA AGAATACAAG GTTGTGCGAA TTATAGATAA TTATGATTGT
601 GAGTATTCAAG ATGATGGAGA AACATATATC GAGCATATTG CTCTTCCTTA CACTGCTGAA
661 GTATACACCA TGGCTGCTAA CTCTTGGAAA GAGATCACCGC TTGATATACC AAGTAAAATA
721 TTATCATCAT ATAGCGAACC ATATTCTTAT TCAGTGTATT TGAAGGGTT TTGTTATTGG
781 TTGTCATGCG ATGTAGAGGA ATACATATTT TCATTTGATT TAGCTAATGA AATATCTGAT
841 ATGATAGAAT TGCCTTTAG GGGAGAATTG GTTTTAAGC GTGATGGTAT TTTTCTGTAT
901 AATGAATCCC TCACTTATTA TTGCAGTAGT TACGAAGAGC CTTCCACATT ATTTGAAATA
961 TGGGTAATGG ACTACGATGA CGGATTTAAG AGTTCATGGA CAAAACACCT AACTGCTGGA
1021 CCTTTTACAG ATATGGAGTT TCCATTGACA CCTTGGAAAC GTGACGAGCT TCTTATGATT
1081 GCCTCCGATG GAAGAGCTGC CTCTTATAAT TCTTGTACCG GAAATTCAA GTATCTCGT
1141 ATTCCCTGTAA TTATTAATCA GAATAGGGTT GTAGATTACG TGAAAACAT TATTCTAGTC
1201 AA

SEQUENZE

Sequenza Cons Gamma A

Varietà: ‘Conseiller a La Coeur’; coppia di primer: Ppγfor-rev

```
1 AACAAAATTG CCGAAATGTC CCAGGTGCGT GAAAGTGAAA CTCTGAAGA TAGGATAGTC
61 GAAATCTTGT CCAGGTTGCC ACCCAAGTCT CTGATGCGAT TCAAATGCAT ACGCAAATCT
121 TGGTGCACTC TTATCAATAG TCCATGTTT GTGGCCAAAC ATCTCCGCGA CTCTGTGGAC
181 AACAAACTCT CATCCTCCAC TTGTATCCTT CTCAACTGTT CTCAGGCTCA CGTTGCTCG
241 GAAGAGAGTT GGAAACAAGA AGTTTCATGG TCCGTGATTA ATCTTTCCAT TGATGGTGAT
301 GAGCTTCATT ATGATATTGA GGACCTAACT AATGTACCGC TTCTAAAGGA TGACCCICAT
361 GAAGTTGAGA TTCACGGTTA TTGCGATGGG ATTGTTGTG TAACAGTAGA CGAAAATTTC
421 TTTTGTGCA ATCCTGCAAC GGGGAATTC AGGCAACTTC CTGATTGATG CCTTCTTCTA
481 CCCCTTCCCCG GGGTAAAAGA AAAATTGGA TTGGAAACGA CACTTAAAGG ACTGGGATTT
541 GGTTATGATT GCAAAGCTAA AGAATACAAG GTTGTGCGAA TTATAGATAA TTATGATTGT
601 GAGTATTTCAG ATGATGGAGA AACATATATC GAGCATATTG CTCTTCCTTA CACTGCTGAA
661 GTATACACCA TGGCTGCTAA CTCTTGAAA GAGATCACGA TTGATATACC AAGTAAAATA
721 TTATCATCAT ATAGCGAACC ATATTCTTAT TCAGTGTATT TGAAGGGGTT TTGTTATTGG
781 TTGTCATGCG ATGTAGAGGA ATACATATTT TCATTTGATT TAGCTAATGA AATATCTGAT
841 ATGATAGAAT TGCCTTTAG GGGAGAATTC GGTTTAAGC GTGATGGTAT TTTTCTGTAT
901 AATGAATCCC TCACTTATTA TTGCAGTAGT TACGAAGAGC CTTCCACATT ATTTGAAATA
961 TGGGTAATGG ACTACGATGA CGGATTAAAG AGTTCATGGA CAAAACACCT AACTGCTGGA
1021 CCTTTTACAG ATATGGAGTT TCCATTGACA CCTTGAAAC GTGACGAGCT TCTTATGATT
1081 GCCTCCGATG GAAGAGCTGC CTCTTATAAT TCTTGTACCG GAAATTCAA GTATCTTCAT
1141 ATTCTGTAA TTATTAATCA GAATAGAGTT GTAGATTACG TGAAAAGTAT TATTCTAGTC
1201 AA
```

Sequenza Cons Gamma B

Varietà: 'Conseiller a La Coeur'; coppia di primer: P γ for-rev

1 AACAAAATTG CCGAAATGTC CCAGGTGCGT GAAAGTGAAA CTCCTGAAGA TAGGATGGTC
61 GAAATCTTGT CCAGGTTGCC ACCCAAGTCT CTGATGCGAT TCAAATGCAT ACGCAAATCT
121 TGGTGCACTC TTATCAATAG TCCATGTTT GTGGCCAAAC ACCTCAGCGA TTCTGTGGAC
181 AACAAACTCT CATCCTCCAC TTGTATCCTT CTCAACTGTT CTCAGGCTCA CGTTTGCTCG
241 GAAGAGAGTT GGAAACAAGA AGTTTCATGG TCCGTGATTA ATCTTCCAT TGATGGTGT
301 GAGCTTCATT ATGATATTGA GGACCTAACT AATGTACCGC TTCTAAAGGA TGACCCTCAT
361 GAAGTTGAGA TTCACGGTTA TTGCGATGGG ATTGTTGTG TAACAGTAGA CGAAAATTTC
421 TTTTGTGCA ATCCTGCAAC GGGGAATTG AGGCAACTTC CTGATTGATG CCTTCTTCTA
481 CCCCTTCCCG GGGTAAAAGA AAAATTGCGA TTGGAAACGA CACTTAAAGG ACTGGGATT
541 GGTTATGATT GCAAAGCTAA AGAATACAAG GTTGTGCGAA TTATAGATAA TTATGATTGT
601 GAGTATTTCAG ATGATGGAGA AACATATATG GAGCATATTG CTCTTCCTTA CACTGCTGAA
661 GTATACACCA TGGCTGCTAA CTCTTGGAAA GAGATCACGA TTGATATACT AAGTAAAATA
721 TTATCATCAT ATAGCGAACC ATATTCTTAT TCAGTGTATT TGAAGGGTT TTGTTATTGG
781 TTGTCATGCG ATGTAGAGGA ATACATATTT TCATTTGATT TAGCTAATGA AATATCTGAT
841 ATGATAGAAT TGCCTTTAG GGGAGAATTG GTTTTAAGC GTGATGGTAT TTTTCTGTAT
901 AATGAATCCC TCACTTATTA TTGCAGTAGT TACGAAGAGC CTTCCACATT ATTTGAAATA
961 TGGGTAATGG ACTACGATGA CGGATTTAAG AGTTCATGGA CAAAACACCT AACTGCTGGA
1021 CCTTTTACAG ACATGGAGTT TCCATTGACA CCTTGGAAAT GTGACGAGCT TCTTATGATT
1081 GCCTCCGATG GAAGAGCTGC CTCTTATAAT TCTTGTACCG GAAATTCAA GTATCTTCAT
1141 ATTCCCTGTTA TTATTAATCA GAATAGAGTT GTAGATTACG TGAAAAGTAT TATTCTAGTC
1201 AA

SEQUENZE

Sequenza Wild Gamma A

Varietà: 'Wilder'; coppia di primer: Ppγfor-rev

```
1 AATAAAATTG CCGAAATGTC CCAGGTGCGT GAAAGTGAAA CTCTGAAGA TAGGATGGTC
61 GAAATCTTGT CCAGGTTGCC GCCCAAGTCT CTGATGCGAT TCAAATGCAT ACGCAAATCT
121 TGGTGCACTC TTATCAATAG TCCATGTTT GTGGCCAAAC ATCTCAGCGA TTCTGTGGAC
181 AACAAACTCT CATCCTCCAC TTGTATCCTT CTCAACTGTT CTCAGGCTCA CGTTGCTCG
241 GAAGAGAGTT GGAAACAAGA AGTTTCATGG TCCGTGATTA ATATTTCCAT TGATGGTGAT
301 GAGCTTCATT ATGATATTGA GGACCTAACT AATGTACCGC TTCTAAAGGA TGACCCICAT
361 GAAGTTGAGA TTCACGGTTA TTGCGATGGG ATTGTTGTG TAACAGTAGA CGAAAATTTC
421 TTTTGTGCA ATCCTGCAAC GGGGAATTC AGGCAACTTC CTGATTGATG CCTTCTTCTA
481 CCCCTTCCCCG GGGTAAAAGA AAAATTGGA TTGGAAACGA CACTTAAAGG ACTGGGATTT
541 GGTTATGATT GCAAAGCTAA AGAATACAAG GTTGTGCGAA TTATAGATAA TTATGATTGT
601 GAGTATTTCAG ATGATGGAGA AACATATATG GAGCATATTG CTCTTCCTTA CACTGCTGAA
661 GTATACACCA TGGCTGCTAA CTCTTGAAA GAGATCACGA TTGATATACT AAGTAAAATA
721 TTATCATCAT ATAGCGAACC ATATTCTTAT TCAGTGTATT TGAAGGGGTT TTGTTATTGG
781 TTGTCATGCG ATGTAGAGGA ATACATATTT TCATTTGATT TAGCTAATGA AATATCTGAT
841 ATGATAGAAT TGCCTTTAG GGGAGAATTC GGTTTAAGC GTGATGGTAT TTTTCTGTAT
901 AATGAATCCC TCACTTATTA TTGCAGTAGT TACGAAGAGC CTTCCACATT ATTTGAAATA
961 TGGGTAATGG ACTACGATGA TGGATCTAAG AGTTTATGGA CAAAACACCT AACTGCTGGA
1021 CCTTTAATG ATATGGAGTT TCCATTGACA CCTTGAAAT GTGACGAGCT TCTTATGATT
1081 GCCTCCGATG GAAGAGCTGC CTCTTATAAT TCTTGTACCG GAAATTCAA GTATCTTCAT
1141 ATTCTGTAA TTATTAATCA GAATAGGGTT GTAGATTACG TGAAAAGTAT TATTCTAGTC
1201 AA
```

Sequenza Wild Gamma B

Varietà: 'Wilder'; coppia di primer: Pp γ for-rev

```
1 AACAAAATTG CCGAAATGTC CCAGGTGCGT GAAAGTGAAA CTCCTGAAGA TAGGATAGTC
61 GAAATCTTGT CCAGGTTGCC ACCCAAGTCT CTGATGCGAT TCAAATGCAT ACGCAAATCT
121 TGGTGCACTC TTATCAATAG TCCATGTTTT GTGGCCAAAC ATCTCAGCGA CTCTGTGGAC
181 AACAAACTCT CATCCTCCAC TTGTATCCTT CTCAACTGTT CTCAGGCTCA CGTTTGCTCG
241 GAAAAAAAGTT GGAAACAAGA AGTTTCATGG TCCGTGATTA ATCTTCCAT TGATGGTGT
301 GAGCTTCATT ATGATATTGA GGACCTAACT ATTGTACCGT TTCTAAAGGA TGACCCTCAT
361 GAAGTAGAGA TTCACGGTTA TTGCGATGGG ATTGTTGTG TAACAGTAGA CGAAAATTTC
421 TTTTTGTGCA ATCCTGCAAC GGGGAAATTC AGGCAACTTC CTGATTGATG CCTTCTTCTA
481 CCCCTTCCCG GGGTAAAAGA AAAATTCGGA TTGGAAACGA CACTTAAAGG ACTGGGATT
541 GGTTATGATT GCAAAGCTAA AGAATACAAG GTTGTGCGAA TTATAGATAA TTATGATTGT
601 GAGTATTTCAG ATGATGGAGA AACATATATC GAGCATATTG CTCTTCCTTA CACTGCTGAA
661 GTATACACCA TGGCTGCTAA CTCTTGGAAA GAGATCACGA TTGATATACC AAGTAAAATA
721 TTATCATCAT ATAGCGAACC ATATTCTTAT TCAGTGTATT TGAAGGGTT TTGTTATTGG
781 TTGTCATGCG ATGTAGAGGA ATACATATTT TCATTTGATT TAGCTAATGA AATATCTGAT
841 ATGATAGAAT TGCCTTTAG GGGAGAATTC GTGTTTAAGC GTGATGGTAT TTTTCTGTAT
901 AATGAATCCC TCACTTATTA TTGCAGTAGT TACGAAGAGC CTTCCACATT ATTTGAAATA
961 TGGGTAATGG ACTACGATGA CGGATTTAAG AGTTCATGGA CAAAACACCT AACTGCTGGA
1021 CCTTTTACAG ATATGGAGTT TCCATTGACA CCTTGGAAAC GTGACGAGCT TCTTATGATT
1081 GCCTCCGATG GAAGAGCTGC CTCTTATAAT TCTTGTACCG GAAATTCAA GTATCTCGT
1141 ATTCCCTGTTA TTATTAATCA GAATAGGGTT GTAGATTACG TGAAAACAT TATTCTAGTC
1201 AA
```

SEQUENZE

Sequenza Pack Gamma A

Varietà: 'Packham's Triumph'; coppia di primer: Ppγfor-rev

```
1 AATAAAATTG CCGAAATGTC CCAGGTGCGT GAAAGTGAAA CTCTGAAGA TAGGATGGTC
61 GAAATCTTGT CCAGGTTGCC GCCCAAGTCT CTGATGCGAT TCAAATGCAT ACGCAAATCT
121 TGGTGCACTC TTATCAATAG TCCATGTTT GTGGCCAAAC ATCTCAGCGA TTCTGTGGAC
181 AACAAACTCT CATCCTCCAC TTGTATCCTT CTCAACTGTT CTCAGGCTCA CGTTGCTCG
241 GAAGAGAGTT GGAAACAAGA AGTTTCATGG TCCGTGATTA ATATTTCCAT TGATGGTGAT
301 GAGCTTCATT ATGATATTGA GGACCTAACT AATGTACCGC TTCTAAAGGA TGACCCICAT
361 GAAGTTGAGA TTCACGGTTA TTGCGATGGG ATTGTTGTG TAACAGTAGA CGAAAATTTC
421 TTTTGTGCA ATCCTGCAAC GGGGAATTC AGGCAACTTC CTGATTGATG CCTTCTTCTA
481 CCCCTTCCCCG GGGTAAAAGA AAAATTGGA TTGGAAACGA CACTTAAAGG ACTGGGATTT
541 GGTTATGATT GCAAAGCTAA AGAATACAAG GTTGTGCGAA TTATAGATAA TTATGATTGT
601 GAGTATTTCAG ATGATGGAGA AACATATATG GAGCATATTG CTCTTCCTTA CACTGCTGAA
661 GTATACACCA TGGCTGCTAA CTCTTGAAA GAGATCACGA TTGATATACT AAGTAAAATA
721 TTATCATCAT ATAGCGAACC ATATTCTTAT TCAGTGTATT TGAAGGGGTT TTGTTATTGG
781 TTGTCATGCG ATGTAGAGGA ATACATATTT TCATTTGATT TAGCTAATGA AATATCTGAT
841 ATGATAGAAT TGCCTTTAG GGGAGAATTC GGTTTAAGC GTGATGGTAT TTTTCTGTAT
901 AATGAATCCC TCACTTATTA TTGCAGTAGT TACGAAGAGC CTTCCACATT ATTTGAAATA
961 TGGGTAATGG ACTACGATGA TGGATCTAAG AGTTTATGGA CAAAACACCT AACTGCTGGA
1021 CCTTTAATG ATATGGAGTT TCCATTGACA CCTTGAAAT GTGACGAGCT TCTTATGATT
1081 GCCTCCGATG GAAGAGCTGC CTCTTATAAT TCTTGTACCG GAAATTCAA GTATCTTCAT
1141 ATTCTGTAA TTATTAATCA GAATAGGGTT GTAGATTACG TGAAAAGTAT TATTCTAGTC
1201 AA
```

Sequenza Pack Gamma B

Varietà: 'Packham's Triumph'; coppia di primer: Pp γ for-rev

1 AACAAAATTG CCGAAATGTC CCAGGTGCGT GAAAGTGAAA CTCCTGAAGA TAGGATGGTC
61 GAAATCTTGT CCAGGTTGCC ACCCAAGTCT CTGATGCGAT TCAAATGCAT ACGCAAATCT
121 TGGTGCACTC TTATCAATAG TCCATGTTT GTGGCCAAAC ACCTCAGCGA TTCTGTGGAC
181 AACAAACTCT CATCCTCCAC TTGTATCCTT CTCAACTGTT CTCAGGCTCA CGTTTGCTCG
241 GAAGAGAGTT GGAAACAAGA AGTTTCATGG TCCGTGATTA ATCTTCCAT TGATGGTGT
301 GAGCTTCATT ATGATATTGA GGACCTAACT AATGTACCGC TTCTAAAGGA TGACCCTCAT
361 GAAGTTGAGA TTCACGGTTA TTGCGATGGG ATTGTTGTG TAACAGTAGA CGAAAATTTC
421 TTTTGTGCA ATCCTGCAAC GGGGAAATTC AGGCAACTTC CTGATTGATG CCTTCTTCTA
481 CCCCTTCCCG GGGTAAAAGA AAAATTCGGA TTGGAAACGA CACTTAAAGG ACTGGGATT
541 GGTTATGATT GCAAAGCTAA AGAATACAAG GTTGTGCGAA TTATAGATAA TTATGATTGT
601 GAGTATTCAAG ATGATGGAGA AACATATATG GAGCATATTG CTCTTCCTTA CACTGCTGAA
661 GTATACACCA TGGCTGCTAA CTCTTGAAA GAGATCACGA TTGATATACT AAGTAAAATA
721 TTATCATCAT ATAGCGAACC ATATTCTTAT TCAGTGTATT TGAAGGGTT TTGTTATTGG
781 TTGTCATGCG ATGTAGAGGA ATACATATTT TCATTTGATT TAGCTAATGA AATATCTGAT
841 ATGATAGAAT TGCCTTTAG GGGAGAATTC GTGTTTAAGC GTGATGGTAT TTTTCTGTAT
901 AATGAATCCC TCACTTATTA TTGCAGTAGT TACGAAGAGC CTTCCACATT ATTTGAAATA
961 TGGGTAATGG ACTACGATGA CGGATTTAAG AGTTCATGGA CAAAACACCT AACTGCTGGA
1021 CCTTTTACAG ACATGGAGTT TCCATTGACA CCTTGGAAAT GTGACGAGCT TCTTATGATT
1081 GCCTCCGATG GAAGAGCTGC CTCTTATAAT TCTTGTACCG GAAATTCAA GTATCTTCAT
1141 ATTCCCTGTTA TTATTAATCA GAATAGAGTT GTAGATTACG TGAAAAGTAT TATTCTAGTC
1201 AA

SEQUENZE

Sequenza Fuji Gamma A

Varietà: 'Fuji'; coppia di primer: Ppγfor-rev

```
1 AACAAAATTG CCGAAATGTC CCAGGTGCGT GAAAGTGAAA CTCTGAAGA TAGGATGGTC
61 GAAATCTTGT CCAGGTTGCC ACCCAAGTCT CTGATGCGAT TCAAATGCAT ACGCAAATCT
121 TGGTGCACTC TTATCAATAG TCCATGTTT GTAGCCAAAC ACCTCAGCGA TTCAGTGGAC
181 AACAAACTCT CATCCTCCAC TTGTATCCTT CTCAACTGTT CTAAGGCTCA CGTTGCTCG
241 GAAGAGAGTT GGAAACAAGG AGTTTATGG TCCGTGATTA ATCTTCCAT TGATGGTGAT
301 GAGCTTCATT ATGATATTGA GGACCTAACT AATGTACCGT TTCTAAGGGA TGACCAACAT
361 GAATTAGAGA TTCACGGTTA TTGCGATGGG ATTATTGTG TAACGGTAAA CGAAAATTTC
421 TTTTGTGCA ATCCTGCAAC GGGGAATTC AGGCAACTTC CTGATTGATG CCTTCTTCTA
481 CCCCTTCCCCG GTGTAAAAGA AAAATTGGA TTGGAAACGA CACTTAAAGG ACTGGGATTT
541 GGTTATGATT GCAAAGCTAA AGAATACAAG GTTGTGCGAA TTATAGATAA TTATGATTGT
601 GAGTATTTCAG ATGATGGAGA AACATATATC GAGCATATTG CTCTTCCTCA CACTGCTGAA
661 GTATACACCA TGGCTGCTAA CTCTTGGAAA GAGATCACGA TTGATATATT AAGTAAAATA
721 TTATCATCAT ATAGCGAACC ATATTCTTAT TCAGTGTATT TGAAAGGGTT TTGTTATTGG
781 TTGTCATGCG ATGTAGAGGA ATACATATT TCATTTGATT TAGCTAATGA AATATCTGAT
841 ATGATAGAAT TGCCTTTAG GGGAGAATTC GGTTTAAGC GTGATGGTAT TTTTCTGTAT
901 AATGAATCCC TCACTTATTA TTGCTCTAGT TACGAAGAGC CTTCCACATT ATTGAAATA
961 TGGGTATGG ATTACAATGA CGGATTAAAG AGTCCATGGA CAAAACACTT AACTGCTGGA
1021 CCTTTAAAG ACATGGAGTT TCCATTGACA CCTTGGAAAC GTAACGAGCT TCTTATGATT
1081 ACCTCCGATG GAAGAGTTGC TTCTTATAAT TCTTGTAGCG GAAATTCAA GTATCTTCAT
1141 ATTCTGTAA TTATTAATGA GAATAGGGTT GTAGATTACG TGAAAAGTAT TATTCTAGTC
1201 AA
```

Sequenza McInt Gamma A

Varietà: 'McIntosh'; coppia di primer: Ppγfor-rev

```
1 AACAAAATTG CCGAAATGTC CCAGGTGCGT GAAAGTGAAA CTCCTGAAGA TAGGATGGTC
 61 GAAATCTTGT CCAGGTTGCC ACCCAAGTCT TTGATGCGTT TCAAATGCAT ACGCAAATCT
121 TGGTGCACTC TTATCAATAG TCCATGTTTT GTGGCCAAAC ACCTCAGCGA TTCTGTGGAC
181 AACAAACTCT CATCCTCCAC TTGTATCCTT CTCAACTGTT CTCAGGCTCA CGTTTGCTCG
241 GAAGAGAGTT GGAAACAAGA AGTTTATGG TCCGTGATTA ATCTTCCAT TGATGGTAC
301 GAGCTTCATT ATGATATTGA GGGCCTAACT AATGTACCGT TTCTAAAGGA TGACCATCCT
361 GAAGTAGAGA TTCACGGTTA TTGCGATGGG ATTGTTGTG TAACAGTAGA CGAAAATTTC
421 TTTTGTGCA ATCCTGCAAC GGGGAATTG AGGCAACTTC CTGATTGATG CCTTCTTCTA
481 CCCCTTCCCG GGGTAAAAGA AAAATTCGGA TTGGAAACGA CACTTAAAGG ACTGGGATT
541 GGTTATGATT GCAAAGCTAA AGAATACAAG GTTGTGCGAA TTATAGATAA TTATGATTGT
601 GAGTATTCAAG ATGATGGAGA AACATATATC GAGCATATTG CTCTTCCTCA CACTGCTGAA
661 GTATACACCA TGGCTGCTAA CTCTTGGAAA GAGATCACGA TTGATATATT AAGTAAAATA
721 TTATCATCAT ATAGCGAACC ATATTCTTAT TCAGTGTGTT TGAAAGGGTT TTGTTATTGG
781 TTGTCATGCG ATGTAGAGGA ATACATATTT TCATTTGATT TAGCTAATGA AATATCTGAT
841 ATGATAGAAT TGCCTTTAG GGGGAATTG GTTTTAAGC GTGATGGTAT TTTTCTGTAT
901 AATGAATCCC TCACTTATTA TTGCACTAGT TACGAAGAGC CTTCCACATT ATTTGAAATA
961 TGGGTAAATGG ACTACGATGA CGGATTTAAG AGTTCATGGA CAAAACATCT AACTGCTGGA
1021 CCTTTAAAG ACATGGAGTT TCCATTGACA CCTTGGAAAT GTGACGAGCT TCTTATGATT
1081 GCCTCCGATG GAAGAGCTGC CTCTTATAAT TCTTGTACCG GAAATTCAA GTATCTTCAT
1141 ATTCCGTGTTA TTATTAATGA GAATAGGGTT GTAGATTACG TGAAAAGTAT TAGTCTAGTC
1201 AA
```

SEQUENZE

Sequenza McIntosh Gamma B

Varietà: 'McIntosh'; coppia di primer: Ppγfor-rev

```
1 AACAAAATTG CCGAAATGTC CCAGGTGCGT GAAAGTGAAA CTCTGAAGA TAGGATGGTC
61 GAAATCTTGT CCAGGTTGCC ACCCAAGTCT TTGATGCGTT TCAAATGCAT ACGCAAATCT
121 TGGTGCCTC TTATCAATAG TCCATGTTT GTGGCCAAAC ACCTCAGCGA TTCTGTGGAC
181 AACAAACTCT CATCCTCCAC TTGTATCCTT CTCAACTGTT CTCAGGCTCA CGTTGCTCG
241 GAAGAGAGTT GGAAACAAGA AGTTTATGG TCCGTGATTA ATCTTCCAT TGATGGTGAC
301 GAGCTTCATT ATGATATTGA GGGCCTAACT AATGTACCGT TTCTAAAGGA TGACCATCCT
361 GAAGTAGAGA TTCACGGTTA TTGCGATGGG ATTGTTGTG TAACAGTAGA CGAAAATTTC
421 TTTTGTGCA ATCCTGCAAC GGGGAATTC AGGCAACTTC CTGATTGATG CCTTCTTCTA
481 CCCCTTCCCCG GGGTAAAAGA AAAATTGGA TTGGAAACGA CACTTAAAGG ACTGGGATTT
541 GGTTATGATT GCAAAGCTAA AGAATACAAG GTTGTGCGAA TTATAGATAA TTATGATTGT
601 GAGTATTTCAG ATGATGGAGA AACATATATT GAGCATATTG CTCTTCCTCA CACTGCTGAA
661 GTATACACCA TGGCTGCTAA CTCTTGGAAA GAGATCACGA TTGATATATT AAGTAAAATA
721 TTATCATCAT ATAGCGAACC ATATTCTTGT TCAGTGTGTT TGAAAGGGTT TTGTTATTGG
781 TTGTCATGCG ATGTAGAGGA ATACATATT TCATTTGATT TAGCTAATGA AATATCTGAT
841 ATGATAGAAT TGCCTTTAG GGGGAATTC GGTTTAAGC GTGATGGTAT TTTTCTGTAT
901 AATGAATCCC TCACTTATTA TTGCACTAGT TACGAAGAGC CTTCCACATT ATTTGAAATA
961 TGGGTAATGG ACTACGATGA CGGATTAAAG AGTTCATGGA CAAAACATCT AACTGCTGGA
1021 CCTTTAAAG ACATGGAGTT TCCATTGACA CCTTGAAAT GTGACGAGCT TCTTATGATT
1081 GCCTCCGATG GAAGAGCTGC CTCTTATAAT TCTTGTACCG GAAATTCAA GTATCTTCAT
1141 ATTCTGTGTTA TTATTAATGA GAATAGGGTT GTAGATTACG TGAAAAGTAT TAGTCTAGTC
1201 AA
```

Sequenza Kumoi Gamma A

Varietà: 'Kumoi'; coppia di primer: Pp γ for-rev

1 AACAAAATTG CCGAAATGTC TCAGGTGCGT GAAAGTGAAA CTCTTGAAGA TAGGATGGTC
61 GAAATCTTGT CCAGGTTGCC ACCCAAGTCT CTGATGCGAT TCAAATGCAT ACGCAAATCT
121 TGGTGCACTC TTATCAATAG TCCATGTTT GTGGCCAAAC ACCTCAGCGA TTCTGTGGAC
181 AACAAACTCT CATCCTCCAC TTGTATCCTT CTCAACTGTT CTCAGGCTCA CGTTTGCTCG
241 GAAAAGAGTT GGAAACAAGA AGTTTCATGG TCCGTGATTA ATCTTCCAT TGATGGTGT
301 GAGCTTCATT ATGATATTGA GGACCTAACT ATTGTACCGT TTCTAAAGGA TGGCCCTCAT
361 GAAGTAGAGA TTCACGGTTA TTGCGATGGG ATTGTTGTG TAACAGTAGA CGAAAATTTC
421 TTTTGTGCA ATCCTGCAAC GGGGAAATTC AGGCAACTTC CTGATTGATG CCTTCTTCTA
481 CCCCTTCCCG GGGTAAAAGA AAAATTCGGA TTGGAAACGA CACTTAAAGG ACTGGGATT
541 GGTTATGATT GCAAAGCTAA AGAATACAAG GTTGTGCGAA TTATAGATAA TTATGATTGT
601 GAGTATTTCAG AAGATGGAGA AACATATATC GAGCATATTG CTCTTCTTA CACTGCTGAA
661 GTATACACCA TGGCTGCTAA CTCTTGGAAA GAGATCACGA TTGATATACT AAGTAAAATA
721 TTATCATCAT ATAGCGAACC ATATTCTTAT TCAGTGTATT TGAAGGGTT TTGTTATTGG
781 TTGTCATGCG ATGTCGAGGA ATATATATTT TCATTTGATT TAGCTAATGA AATATCTGAT
841 ATGATAGAAT TGCCTTTAG GGGAGAATTC GTTTTAAAC GTGATGGTAT TTTTCTGTAC
901 AATGAATCCC TCACTTATTA TTGCAGTAGT TATGAAGAGC CTTCCACATT ATTTGAGATA
961 TGGGTAATGG ACTACGATGA CGGATTTAAG AGTTCATGGA CAAAACACCT AACTGCTGGA
1021 CCTTTTACAG ATATGGAGTT TCCATTGACA CCTTGGAAAC GTGACGAGCT TCTTATGATT
1081 GCCTCCGATG GAAGAGCTGC CTCTTATAAT TCTTGTACCG GAAATTCAA GTATCTTCAT
1141 ATTCCCTGTTA TTATTAATCA GAATAGGGTT GTAGATTACG TGAAAAGTAT TATTCTAGTC
1201 AA

SEQUENZE

Sequenza Kumoi Gamma B

Varietà: 'Kumoi'; coppia di primer: Ppγfor-rev

```
1 AACAAAATTG CCGAAATGTC CCAGGTGCGT GAAAGTGAAA CTCTGAAGA TAGGATGGTC
61 GAAATCTTGT CCAGGTTGCC ACCCAAGTCT CTGATGCGAT TCAAATGCAT ACGCAAATCT
121 TGGTGCACTC TTATCAATAG TCCATGTTT GTGGCCAAAC ATCTCAGCGA TTCTGTGGAC
181 AACAAACTCT CATCCTCCAC TTGTATCCTT CTCAACTGTT CTCAGGCTCA TGTTGCTCG
241 GAAAAGAGTT GGAAACAAGA AGTTTCATGG TCCGTGATTA ATCTTCCAT TGATGGTGAT
301 GAGCTTCATT ATGATATTGA GGACCTAACT ATTGTACCGT TTCTAAAGGA TGGCCCTCAT
361 GAAGTAGAGA TTCACGGTTA TTGCGATGGG ATTGTTGTG TAACAGTAGA CGAAAATTTC
421 TTTTGTGCA ATCCTGCAAC GGGGAATTC AGGCAACTTC CTGATTGATG CCTTCTTCTA
481 CCCCTTCCCCG GGGTAAAAGA AAAATTGGA TTGGAAACGA CACTTAAAGG ACTGGGATTT
541 GGTTATGATT GCAAAGCTAA AGAATACAAG GTTGTGCGAA TTATAGATAA TTATGATTGT
601 GAGTATTTCAG AAGATGGAGA AACATATATC GAGCATATTG CTCTTCCTTA CACTGCTGAA
661 GTATACACCA TGGCTGCTAA CTCTTGAAA GAGATCACGA TTGATATACT AAGTAAAATA
721 TTATCATCAT ATAGCGAACC ATATTCTTAT TCAGTGTATT TGAAGGGGTT TTGTTATTGG
781 TTGTCATGCG ATGTAGAGGA ATACATATTT TCATTTGATT TAGCTAATGA AATATCTGAT
841 ATGATAGAAT TGCCTTTAG GGGAGAATTC GGTTTAAGC GTGATGGTAT TTTTCTGTAT
901 AATGAATCCC TCACTTATTA TTGCAGTAGT TACGAAGAGC CTTCCACATT ATTTGAGATA
961 TGGGTAATGG ACTACGATGA CGGATTAAAG AGTTCATGGA CAAAACACCT AACTGCTGGA
1021 CCTTTTACAG ATATGGAGTT TCCATTGACA CCTTGAAAT GTGACGAGCT TCTTATGATT
1081 GCCTCCGATG GAAGAGCTGC CTCTTATAAT TCTTGTACCG GAAATTCAA GTATCTTCAT
1141 ATTCTGTAA TTATTAATCA GAATAGGGTT GTAGATTACG TGAAAAGTAT TATTCTAGTC
1201 AA
```

Sequenza Cho Gamma A

Varietà: 'Chojuro'; coppia di primer: Pp γ for-rev

1 AACAAAATTG CCGAAATGTC CCAGGTGCGT GAAAGCGAAA CTCCTGAAGA TAGGATGGTC
61 GAAATCTTGT CCAGGTTGCC ACCCAAGTCT CTGATGCGAT TCAAATGCAT ACGCAAATCT
121 TGGTGCACTC TTATCAATAG TCCATGTTT GTGGCCAAAC ACCTCAGCGA TTCTGTGGAC
181 AACAAACTCT CATCCTCCAC TTGTATCCTT CTCAACTGTT CTCAGGCTCA CGTTTGCTCG
241 GAAAAGAGTT GGAAACAAGA AGTTTCATGG TCCGTGATTA ATCTTCCAT TGATGGTGT
301 GAGCTTCATT ATGATATTGA GGACCTAACT ATTGTACCGT TTCTAAAGGA TGGCCCTCAT
361 GAAGTAGAGA TTCACGGTTA TTGCGATGGG ATTGTTGTG TAACAGTAGA CGAAAATTTC
421 TTTTGTGCA ATCCTGCAAC GGGGAAATTC AGGCAACTTC CTGATTGATG CCTTCTTCTA
481 CCCCTTCCCG GGGTAAAAGA AAAATTCGGA TTGGAAACGA CACTTAAAGG ACTGGGATT
541 GGTTATGATT GCAAGGCTAA AGAATACAAG GTTGTGCGAA TTATAGATAA TTATGATTGT
601 GAGTATTTCAG ATGATGGAGA AACATATATC GAGCATATTG CTCTTCCTTA CACTGCTGAA
661 GTATACACCA TGGCTGCTAA CTCTTGGAAA GAGATCACGA TTGATATACT AAGTAAAATA
721 TTATCATCAT ATAGCGAACC ATACTCTTAT TCAGTGTATT TGAAGGGTT TTGTTATTGG
781 TTGTCATGCG ATGTAGAGGA ATACATATTT TCATTTGATT TAGCTAATGA AATATCTGAT
841 ATGATAGAAT TGCCTTTAG GGGAGAATTC GTTTTAAAC GTGATGGTAT TTTTCTGTAC
901 AATGAATCCC TCACTTATTA TTGCAGTAGT TATGAAGAGC CTTCCACATT ATTTGAGATA
961 TGGGTAATGG ACTACGATGA CGGATTTAAG AGTTCATGGA CAAAACACCT AACTGCTGGA
1021 CCTTTTACAG ATATGGAGTT TCCATTGACA CCTTGGAAAC GTGACGAGCT TCTTATGATT
1081 GCCTCCGATG GAAGAGCTGC CTCTTATAAT TCTTGTACCG GAAATTCAA GTATCTTCAT
1141 ATTCCCTGTTG TTATTAATCA GAATAGGATT GTAGATTACG TGAAAAGTAT TATTCTAGTC
1201 AA

SEQUENZE

Sequenza Cho Gamma B

Varietà: ‘Chojuro’; coppia di primer: Ppγfor-rev

```
1 AACAAAATTG CCGAAATGTC CCAGGTGCGT GAAAGTGAAA CTCTGAAGA TAGGATGGTC
61 GAAATCTTGT CCAGGTTGCC ACCCAAGTCT CTGATGCGAT TCAAATGCAT ACGCAAATCT
121 TGGTGCACTC TTATCAATAG TCCATGTTT GTGGCCAAAC ATCTCAGCGA TTCTGTGGAC
181 AACAAACTCT CATCCTCCAC TTGTATCCTT CTCAACTGTT CTCAGGCTCA TGTTGCTCG
241 GAAAAGAGTT GGAAACAAGA AGTTTCATGG TCCGTGATTA ATCTTCCAT TGATGGTGAT
301 GAGCTTCATT ATGATATTGA GGACCTAACT ATTGTACCGT TTCTAAAGGA TGGCCCTCAT
361 GAAGTAGAGA TTCACGGTTA TTGCGATGGG ATTGTTGTG TAACAGTAGA CGAAAATTTC
421 TTTTGTGCA ATCCTGCAAC GGGGAATTC AGGCAACTTC CTGATTGATG CCTTCTTCTA
481 CCCCTTCCCCG GGGTAAAAGA AAAATTGGA TTGGAAACGA CACTTAAAGG ACTGGGATTT
541 GGTTATGATT GCAAAGCTAA AGAATACAAG GTTGTGCGAA TTATAGATAA TTATGATTGT
601 GAGTATTTCAG AAGATGGAGA AACATATATC GAGCATATTG CTCTTCCTTA CACTGCTGAA
661 GTATACACCA TGGCTGCTAA CTCTTGAAA GAGATCACGA TTGATATACT AAGTAAAATA
721 TTATCATCAT ATAGCGAACC ATATTCTTAT TCAGTGTATT TGAAGGGGTT TTGTTATTGG
781 TTGTCATGCG ATGTAGAGGA ATACATATTT TCATTTGATT TAGCTAATGA AATATCTGAT
841 ATGATAGAAT TGCCTTTAG GGGAGAATTC GGTTTAAGC GTGATGGTAT TTTTCTGTAT
901 AATGAATCCC TCACTTATTA TTGCAGTAGT TACGAAGAGC CTTCCACATT ATTGAGATA
961 TGGGTAATGG ACTACGATGA CGGATTAAAG AGTTCATGGA CAAAACACCT AACTGCTGGA
1021 CCTTTTACAG ATATGGAGTT TCCATTGACA CCTTGAAAT GTGACGAGCT TCTTATGATT
1081 GCCTCCGATG GAAGAGCTGC CTCTTATAAT TCTTGTACCG GAAATTCAA GTATCTTCAT
1141 ATTCTGTAA TTATTAATCA GAATAGGGTT GTAGATTACG TGAAAAGTAT TATTCTAGTC
1201 AA
```

Sequenza MRB S9Beta A

Varietà: 'Max Red Bartlett'; coppia di primer: Md9βfor-Md9rev

1 AAATGTCCA GGTGTGTGAA AGTGAGACTC CTGAAGATAA AGTGGTCGAA ATCTTGTCCA
61 AGTTGCCGCC CAAGTCTCTG ATGAGATTCA AATGCATACG CAAGTCTTGG TGCACATATCA
121 TCTGTAGTCC AAGTTTGTG GCCAACACCC TCAGCAATT CATGGACAAC AAACTCTCAT
181 CCACCGCTTG TATCCTTCTC TACCGTTGTC AGGTTCATGT TTTCACGCAC ACGAGTTGGA
241 AACAAAGACGT TTTCTGGTCC ATGATTAATC ATTCCATTGA TAGTGATAAC CTTCAATTATG
301 ATGTTGAGAA CCTACATATA CCGTTCCAA TGGAAGATCA AGACAAACGTA GAGCTTCACG
361 GTTATTGCAA TGGGATTGTC TGTTTAATAG TAGGGAAAAAA TGTTCTTTA TGCAATCCTG
421 CAACAGGAGA ATTCAGGCAA CTTCCCGATT CATCCCTCT TCTACCCCTT CCCAAGGGAA
481 GATTGGATT GGAAACGATC TTTAAGGGAA TGGGATTGTT TTATGATTGC AAAGCTAAAG
541 AATACAAGGT TGTGCGAATT ATAGAAAATT GTGATTGTGA GTATTGGAA GATGGAGAAT
601 CATACTATGA GCGTATTCTT CTTCCCTACA CGGCTGAGGT ATACACCACG ACTACTAACT
661 CTTGGAAAAAA GATCAAGATT GATATATCAA TTGAAACTCG TTGGTATTGC ATTCCCTTT
721 CTGGTTCACT GTACTTGAAG GGATTGTT ATTGGTTGTC ATACGATAAC GGGGAGTACG
781 TATTTTCATT TGATTTAGGT GATGAGATAT TTCATAGAAT AGAATTGCCT TCTAGGAGAG
841 AATCCGATT CAAGTTTAT GGTATTTTC TGTATAATGA ATCTGTCACT TCGTATTGCT
901 ATCGTCATGA AGATGATTGT GAATTATTTG AAATATGGGT AATGGACGAC TATAATGGAG
961 TTCAGAGTTC ATGGACAAAAA TTGCTAACCG TTGGACCCCT TAAAGACATT GATTATCCAT
1021 TGACACTTG GAAATGTGAC GAGATTCTTA TGCTTGGCTC ATATGGAAAA GCTGCCTCAT
1081 GTAATTCTAT TACTGGAAAT CTCAAGTATC TTCATATTCC TCCTATTATC AAATGGATGA
1141 TGAATTATGT GAAAAGTATT GTTCCAGTCA AGTGAATTGA GGGAAAAGTT CTATTTCTC
1201 CTATTTAATT TGTATGCATG ATACAAGGCT TGAGTTT

SEQUENZE

Sequenza MRB S9Beta B

Varietà: 'Max Red Bartlett'; coppia di primer: Md9 β for-Md9rev

```
1 AAATGTCCC GGTGTGTGAA AGTGAGACTC CTGAAGATAA AGTGGTCGAA ATCTTGTCCA
 61 AGTTGCCGCC CAAGTCTCTG ATGAGATTCA AATGCATACG CAAGTCTTGG TGCACATATCA
121 TCTGTAGTCC AAGTTTGTG GCCAAACACC TCAGCAATT CATGGACAAC AAACTCTCAT
181 CCACCGCTTG TATCCTTCTC TACCGTTGTC AGGTTCATGT TTTCACGCAC ACGAGTTGGA
241 AACAAAGACGT TTTCTGGTCC ATGATTAATC TTTCCATTGA TAGTGATAAC CTTCATTATG
301 ATGTTGAGAA CCTAAATATA CCGTTTCCAA TGGAAGATCA AGACAACGTA GAGCTTCACG
361 GTTATTGCAA TGGGATTGTC TGTTTAATAG TAGGGAAAAA TGTTCTTTA TGCAATCCTG
421 CAACAGGAGA ATTCAAGGCAA CTTCCCGATT CATCCCTCTC TCTACCCCTT CCCAAGGGAA
481 GATTGGATT GGAAACGATC TTTAAGGGAA TGGGATTGG TTATGATTGC AAAGCTAAAG
541 AATACAAGGT TGTGCGAATT ATAGAAAATT GTGATTGTGA GTATTGGAA GATGGAGAAT
601 CATACTATGA CGGTATTCTT CTTCTCACA CGGCTGAGGT ATACACCACG ACTACTAACT
661 CTTGGAAAGA GATCAAGATT GATATATCAA TTGAAACTCG TTGGTATTGC ATTCCCTTT
721 CTGGTTCACT GTACTTGAAG GGATTTGTT ATTGGTTTGC ATATGATAAC GGGGAGTACG
781 TATTTTCATT TGATTTAGGT GATGAGATAT TTCATAGAAT AGAATTGCCT TCTAGGAGAG
841 AATCCGAATT CAAGTTTAT GGTATTTTC TGTATAATGA ATCTGTCACT TCGTATTGCT
901 ATCGTCATGA AGATGATTGT GAATTATTTG AAATATGGAT AATGGACGAC TATGATGGAG
961 TTCAGAGTTC ATGGACAAAAA TTGCTAACCA TTGGACCCCT TAAAGACATT GATTATCCAT
1021 TGACACTTG GAAATGTGAC GAGATTCTTA TGCTTGGCTC ATATGGAAGA GCTGCCTCTT
1081 GTAATTCTAT TACTGGAAAT CTCAAGTATC TTCATATTCC TCCTATTATC AAATGGATGA
1141 TGAATTATGT GAAAAGTATT GTTCCAATCA AGTGAATTGA GGGAAAAGTT CTATTTCTC
1201 CTATTTAATT CGTATGCATG ATACAAGGCT TGAGTTT
```

Sequenza Cons S9Alfa

Varietà: ‘Conseiller a La Coeur’; coppia di primer: Md9αfor-Md9rev

1 CGAAATGTCC CAGGTGCGTG AAAGTGAAC TCCTGAAGAT CAGGTGGTCG AAATCCTGTC
61 TAGTTGCCG CCCAAGTCTC TGATGAGATT CAAATGCATA CGCAAGTCAT GGTGCACTAT
121 CATCAATAGT TCAAGTTTG TGGCCAAACA CCTCAGCAAT TCCATAGGCA ACAAACTCTC
181 ATCCTCCACT GGTATCCTTC TTAACCGTTG TCAGGTTCAT GTTTTCTCGG ATAGGAGTTG
241 GAAACAAGAC GTTTCTGGT CCATGATTAA TCTTCCATT GATAGTGATA ATAATAACCT
301 TCATTCTGAT GTTGAGGACC TAAATATAACC ATTTCCAATG GAAGATCAGG ACAATGTAGA
361 GCTTCACGGT TATTGCAATG GGATTGTCTG TGTAATAGTA GGGAAAAATG TTCTTTATG
421 CAATCCTGCA ACTGGAGAAT TCAGGCAACT TCCCGATTCA TCCCTCTTC TACCTCTTC
481 CAAGGGAAGA TTCGGATTGG AAACGGCTT TAAGGGATTG GGATTGGCT ATGATTGCAA
541 AGCTAAAGAA TACAAGGTG TGCGAATTAT AGAAAATTGT GATTGTGAGT ATTCAAGAAGG
601 TGAAGAATCA TATTATGAGC GTATTCTTCT TCCTCACACG GCTGAAGTAT ACACCATGAC
661 TGCTAACTCT TGGAAAGAGA TCAAGATTGA TGTATCAAGT GATACTGATC CGTATTGCAT
721 TCCTTATTCT TGTCAGTGC ACTTGAAGGG ATTTGTTAT TGTTGCAT GCGATAACGG
781 GGAATACATA TTTTCATTG ATTTAGGTGA TGAGATATT CATATAATAG AATTGCCTTC
841 TAGGAGAGAA TTTGGTTTA AATTTATGG TATTTTTTG TATAATGAAT CCATCACTTC
901 TTATTGCTCT CGTTACGAAG AGGATTGTAA ATTATTTGAA ATATGGTAA TGGACGACTA
961 TGATGGAGTT AAGAGTTCAT GGACAAAATT GCTAACCGTT GGACCCTTA AAGACATTGA
1021 TTATCCATTG ACACTAGGGA AATGTGACGA GGTTCTTATG CTTGGCTCGT ATGGAAGAGC
1081 CGCCTTTGT AATTCTAGTA CCGGAAATCT CAAGTATCTT CATATTCCCC CTATTATCAA
1141 TTGGATGATA GATTATGTGA AAAGTATTGT TCCAGTCAAC TGAATTAAGG GAAAAGTTCC
1201 CTTTTTCTT GTTTCATTG TATGCATGAT ATGAAGCTTG AGTTT

SEQUENZE

Sequenza Cons S9Beta

Varietà: ‘Conseiller a La Coeur’; coppia di primer: Md9 β for-Md9rev

```
1 AAATGTCCA GGTGTGTGAA AGTGAGACTC CTGAAGATAA AGTGGTCGAA ATCCTGTCCA
61 AGTTGCCGCC CAAGTCTCTG ATGAGATTCA AATGCATACG CAAGTCTTGG TGCACATATCA
121 TCTGTAGTCC AAGTTTGTG GCCAAACACC TCAGCAATT CATGGACAAC AAACTCTCAT
181 CCACCGCTTG TATCCTCTC TACCGTTGTC AGGTTCATGT TTTCACGCAC ACGAGTTGGA
241 AACAAAGACGT TTTCTGGTCC ATGATTAATC TTTCCATTGA TAGTGATAAC CTTCATTATG
301 ATGTTGAGAA CATAAATATA CCGTTTCAA TGGAAGATCA AGACAACGTA GAGCTTCACG
361 GTTATTGCAA TGGGATTGTC TGTTTAATAG TAGGGAAAAG TGTTCTTTA TGCAATCCTG
421 CAACAGGAGA ATTCAAGGCAA CTTCCCGATT CATCCCTCT TCTACCCCTT CCCAAGGGAA
481 GATTGGATT GGAAACGATC TTTAAGGGAA TGGGATTGG TTATGATTGC AAAGCTAAAG
541 AATACAAGGT TGTGCGAATT ATAGAAAATT GTGATTGTGA GTATTGGAA GATGGAGAAT
601 CATACTATGA GCGTATTCTT CTTCCCTACA CGGCTGAGGT ATACACCACG ACTACTAACT
661 CTTGGAAAGA GATCAAGATT GATATATCAA TTGAAACTCG TTGGTATTGC ATTCCCTTT
721 CTGGTTCACT GTACTTGAAG GGATTTGTT ATTGGTTTGC ATACGATAAC GGGGAGTACG
781 TATTTTCATT TGATTTAGGT GATGAGATAT TTCATAGAAT AGAATTGCCT TCTAGGAGAG
841 AATCCGATT CAAGTTTAT GGTATTTTC TGTATAATGA ATCTGTCGCT TCGTATTGCT
901 ATCGTCATGA AGATGATTGT GAATTATTTG AAATATGGGT AATGGACCAC TATGATGGAA
961 TTCAGAGTTC ATGGACAAAA TTGCTAACCA TTGGACCCCT TAAAGACATT GATTATCCAT
1021 TGACACTTG GAAATGTGAC GAGATTCTTA TGCTTGCTC ATATGGAAGA GCTGCCTCTT
1081 GTAATTCTAT TACCGGAAAT CTCAAGTATC TTCATATTCC TCCTATTATC AAATGGATGA
1141 TGGATTATGT GAAAAGTATT GTTCCAGTCA AGTGAATTGA GGGAAAAGTT CCATTTCTC
1201 CTATTTAATT TGTATGCATG ATACAAGGCT TGAGTTT
```

Sequenza Wild S9Beta

Varietà: 'Wilder'; coppia di primer: Md9βfor-Md9rev

```
1 AAATGTCCA GGTGTGTGAA AGTGAGACTC CTGAAGATAA AGTGGTCGAA ATCTTGTCCA
61 AGTTGCCGCC CAAGTCTCTG ATGAGATTCA AATGCATACG CAAGTCTTGG TGCACATATCA
121 TCTGTAGTCC AAGTTTGTG GCCAACACCC TCAGCAATT CATGGACAAC AAACTCTCAT
181 CCACCGCTTG TATCCTTCTC TACCGTTGTC AGGTTCATGT TTTCACGCAC ACGAGTTGGA
241 AACAAAGACGT TTTCTGGTCC ATGATTAATC TTTCCATTGA TAGTGATAAC CTTCAATTATG
301 ATGTTGAGAA CCTAAATATA CCGTTTCAA TGGAAGATCA AGACAAACGTA GAGCTTCACG
361 GTTATTGCAA TGGGATTGTC TGTTTAATAG TAGGGAAAAAA TGTTCTTTA TGCAATCCTG
421 CAACAGGAGA ATTCAAGGCAA CTTCCCGATT CATCCCTCT TCTACCCCTT CCCAAGGGAA
481 GATTGGATT GGAAACGATC TTTAAGGGAA TGGGATTGG TTATGATTGC AAAGCTAAAG
541 AATACAAGGT TGTGCGAATT ATAGAAAATT GTGATTGTGA GTATTGGAA GATGGAGAAT
601 CATACTATGA GCGTATTCTT CTTCCCTACA CGGCTGAGGT ATACACCACG ACTACTAACT
661 CTTGGAAAGA GATCAAGATT GATATATCAA TTGAAACTCG TTGGTATTGC ATTCCCTTT
721 CTGGTTCACT GTACTTGAAG GGATTGGTT ATTGGTTGC ATATGATAAC GGGGAGTAGC
781 TATTTTCATT TGATTTAGGT GATGAGATAT TTCATAGAAT AGAATTGCCT TCTAGGAGAG
841 AATCCGAATT CAAGTTTAT GGTATTTTC TGTATAATGA ATCTGTCACT TCGTATTGCT
901 ATCGTCATGA AGATGATTGT GAATTATTTG AAATATGGAT AATGGACGAC TATGATGGAG
961 TTCAGAGTTC ATGGACAAAAA TTGCTAACCA TTGGACCCCT TAAAGACATT GATTATCCAT
1021 TGACACTTG GAAATGTGAC GAGATTCTTA TGCTTGGCTC ATATGGAAGA GCTGCCTCTT
1081 GTAATTCTAT TACTGGAAAT CTCAAGTATC TTCATATTCC TCCTATTATC AAATGGATGA
1141 TGAATTATGT GAAAAGTATT GTTCCAATCA AGTGAATTGA GGGAAAAGTT CTATTTCTC
1201 CTATTTAATT CGTATGCATG ATACAAGGCT TGAGTTT
```

SEQUENZE

Sequenza Pack S9Beta A

Varietà: ‘‘; coppia di primer: Md9 β for-Md9rev

```
1 AAATGTCCA GGTGTGTGAA AGTGAGACTC CTGAAGATAA AGTGGTCGAA ATCCTGTCCA
61 AGTTGCCGCC CAAGTCTCTG ATGAGATTCA AATGCATACG CAAGTCTTGG TGCACATATCA
121 TCTGTAGTCC AAGTTTGTC GCCAAACACC TCAGCAATT CATGGACAAC AAACTCTCAT
181 CCACCGCTTG TATCCTCTC TACCGTTGTC AGGTTCATGT TTTCACGCAC ACGAGTTGGA
241 AACAAAGACGT TTTCTGGTCC ATGATTAATC TTTCCATTGA TAGTGATAAC CTTCATTATG
301 ATGTTGAGAA CATAAATATA CCGTTTCAA TGGAAGATCA AGACAACGTA GAGCTTCACG
361 GTTATTGCAA TGGGATTGTC TGTTTAATAG TAGGGAAAAG TGTTCTTTA TGCAATCCTG
421 CAACAGGAGA ATTCAAGGCAA CTTCCCGATT CATCCCTCT TCTACCCCTT CCCAAGGGAA
481 GATTGGATT GGAAACGATC TTTAAGGGAA TGGGATTGG TTATGATTGC AAAGCTAAAG
541 AATACAAGGT TGTGCGAATT ATAGAAAATT GTGATTGTGA GTATTGGAA GATGGAGAAT
601 CATACTATGA GCGTATTCTT CTTCCCTACA CGGCTGAGGT ATACACCACG ACTACTAACT
661 CTTGGAAAGA GATCAAGATT GATATATCAA TTGAAACTCG TTGGTATTGC ATTCCCTTT
721 CTGGTTCACT GTACTTGAAG GGATTTGTT ATTGGTTTGC ATACGATAAC GGGGAGTACG
781 TATTTTCATT TGATTTAGGT GATGAGATAT TTCATAGAAT AGAATTGCCT TCTAGGAGAG
841 AATCCGATT CAAGTTTAT GGTATTTTC TGTATAATGA ATCTGTCGCT TCGTATTGCT
901 ATCGTCATGA AGATGATTGT GAATTATTTG AAATATGGGT AATGGACCAC TATGATGGAA
961 TTCAGAGTTC ATGGACAAAA TTGCTAACCA TTGGACCCCT TAAAGACATT GATTATCCAT
1021 TGACACTTG GAAATGTGAC GAGATTCTTA TGCTTGGCTC ATATGGAAGA GCTGCCTCTT
1081 GTAATTCTAT TACCGGAAAT CTCAGTATC TTCATATTCC TCCTATTATC AAATGGATGA
1141 TGGATTATGT GAAAAGTATT GTTCCAGTCA AGTGAATTGA GGGAAAAGTT CCATTTCTC
1201 CTATTTAATT TGTATGCATG ATACAAGGCT TGAGTTT
```

Sequenza Pack S9Beta B

Varietà: 'Packham's Triumph'; coppia di primer: Md9βfor-Md9rev

1 AAATGTCCA GGTGTGTGAA AGTGAGACTC CTGAAGATAA AGTGGTCGAA ATCTTGTCCA
61 AGTTGCCGCC CAAGTCTCTG ATGAGATTCA AATGCATACG CAAGTCTTGG TGCACTATCA
121 TCTGTAGTCC AAGTTTGTG GCCAACACCC TCAGCAATT CATGGACAAC AAACTCTCAT
181 CCACCGCTTG TATCCTTCTC TACCGTTGTC AGGTTCATGT TTTCACGCAC ACGAGTTGGA
241 AACAAAGACGT TTTCTGGTCC ATGATTAATC TTTCCATTGA TAGTGATAAC CTTCATTATG
301 ATGTTGAGAA CCTAAATATA CCGTTCCAA TGGAAGATCA AGACAAACGTA GAGCTTCACG
361 GTTATTGCAA TGGGATTGTC TGTTTAATAG TAGGGAAAAAA TGTTCTTTA TGCAATCCTG
421 CAACAGGAGA ATTCAAGGCAA CTTCCCGATT CATCCCTCT TCTACCCCTT CCCAAGGGAA
481 GATTGGATT GGAAACGATC TTTAAGGGAA TGGGATTGTT TTATGATTGC AAAGCTAAAG
541 AATACAAGGT TGTGCGAATT ATAGAAAATT GTGATTGTGA GTATTGGAA GATGGAGAAT
601 CATACTATGA GCGTATTCTT CTTCCCTACA CGGCTGAGGT ATACACCACG ACTACTAACT
661 CTTGGAAAGA GATCAAGATT GATATATCAA TTGAAACTCG TTGGTATTGC ATTCCCTTT
721 CTGGTTCACT GTACTTGAAG GGATTGTT ATTGGTTGCA ATATGATAAC GGGGAGTACG
781 TATTTTCATT TGATTTAGGT GATGAGATAT TTCATAGAAT AGAATTGCCT TCTAGGAGAG
841 AATCCGAATT CAAGTTTAT GGTATTTTC TGTATAATGA ATCTGTCACT TCGTATTGCT
901 ATCGTCATGA AGATGATTGT GAATTATTTG AAATATGGAT AATGGACGAC TATGATGGAG
961 TTCAGAGTTC ATGGACAAAAA TTGCTAACCA TTGGACCCCT TAAAGACATT GATTATCCAT
1021 TGACACTTG GAAATGTGAC GAGATTCTTA TGCTTGGCTC ATATGGAAGA GCTGCCTCTT
1081 GTAATTCTAT TACTGGAAAT CTCAAGTATC TTCATATTCC TCCTATTATC AAATGGATGA
1141 TGAATTATGT GAAAAGTATT GTTCCAATCA AGTGAATTGA GGGAAAAGTT CTATTTCTC
1201 CTATTTAATT CGTATGCATG ATACAAGGCT TGAGTTT

SEQUENZE

Sequenza McInt S9Beta

Varietà: 'McIntosh'; coppia di primer: Md9βfor-Md9rev

```
1 GAATGTCCCC TGAAAGTGAA ACTCCTGAAG ATAAGATGGT CGAAATCTTG TCCAAGTTGC
61 CGCCCAAGTC TCTGATGAGA TTCAAATGCA TACGCAAATC TTGGTGCACT ATCATCAATA
121 GTCCAAGTTT TGTGGCCAAA CACCTCAGCA ATTCCATGGA CAACAAACTC TCATCCACCA
181 CTTGTATCCT TCTCAACCGT TGTCAAGGTT ACAGTTTCCC GGACAGGAGT TGGAAACAAG
241 ACGTTTCTG GTCCATGATT AATCTTCCA TTGATAGTGA TGAGCACAAC CTTCATTATG
301 ATGTTGAGAA CCTAAAGATA CCGTTTCAA TGGAAGATCA AGACAATGTA GAGCTTCACG
361 GTTATTGCAA TGGGATTGTC TGTGTAATAG CAGGGAAAAA TGTTCTTTA TGCAATCCTG
421 CAACAGGAGA ATTCAAGGCAA CTTCCCAATT CATCTATTCT TCTACCCCTT CCCAAGGGAA
481 GATTGGATT GGAAACGACC TTTAAAGGAA TGGGATTGG CTATGATTGC AAAACTAAAG
541 AATACAAGGT TGTGCGAATT ATAGAAAATT GTGATTGTGA GTATTCAAG GATGGAGAAA
601 CATACAATGA GCGTATTCTT CTTCTCACA CGGCTGAGGT ATACACCACG ACTGCTAACT
661 CTTGGAAAGA GATCAAGATT GATATATCAA TTGAAACTCG TTGGTATTGC ATTCCCTATT
721 CTGGTTCACT GTACTTGAAG GGATTTGTT ATTGGTTTGC ATACGATAAC GGGGAGTACG
781 TATTTTCATT TGATTTAGGT GATGAGATAT TTCATAGAAT AGAATTGCCT TCTAGGAGAG
841 AATCCGATT CAAGTTTAT GGTATTTTC TATATAATGA ATCCGTCACT TCGTATTGCT
901 ATCGTCACGA AGAGGGATGT CAATTATTTG AAATATGGGT AATGGACGAA TATGATGGAG
961 TTAAGAGTTT ATGGACAAAAA CTGCTAACCA TTGGACCCCT TAAAGACATT GATTATCCAT
1021 TGACACTTTG GAAATGTGAC GAGATTCTTA TGCTTGCTC ATATGGAAGA GCTGCCTCTT
1081 GTAATTCTAG TAGTGGAAAT CTCAAGTATC TTCATATTCC TCCTATTATC GAATGGATGG
1141 TGGATTATGT GAAAAGTATT GTTCCAGTCA AGTGCATTGA GGGAAAAGTT CCATTTCTC
1201 CTATTTAATT TGTATGCATG ATGTAAGGCT TGAGTTT
```

Sequenza Kum S9Beta

Varietà: 'Kumoi'; coppia di primer: Md9βfor-Md9rev

```
1 AAATGTCTCA GGTGTGTGAA AGTGAGACTC CTGAAGATAA AGTGGTCGAA ATCCTGTCTA
61 AGTTGCCGCC CAAGTCTCTG ATGAGATTCA AATGCATACG CAAGTCTTGG TGCACTATCA
121 TCTGTAGTCC AAGTTTGTG GCCAACACCC TCAGCAATT CATGGACAAC AAACTCTCAT
181 CCACCGCTTG TATCCTTCTC TACCGTTGTC AGGTTCATGT TTTCACGAAC ACGAGTTGGA
241 AACAAAGACGT TTTCTGGTGC ATGATTAATC TTTCCATTGA TAGTGATAAC CTTCAATTATG
301 ATGTTGAGAA CCTAAATATA CCGTTCCAA TGGAAGATGA AGACAAACGTA GAGCTTCACG
361 GTTATTGCAA TGGGATTGTC TGTTTAATAG TAGGGAAAAAA TGTTCTTTA TGCAATCCTG
421 CAACAGGAGA ATTCAAGGCAA CTTCCGGATT CATCCCTCT TCTACCCCTT CCCAAGGGAA
481 GATTGGATT GGAAACGATC TTTAAGGGAA TGGGATTGTT TTATGATTGC AAAGCTAAAG
541 AATACAAGGT TGTGCGAATT ATAGAAAATT GTGATTGTGA GTATTGGAA GATGGAGAAT
601 CATACTATGA GCGTATTCTT CTTCCCTACA CGGCTGAGGT ATACACCACG ACTACTAACT
661 CTTGGAAAGA GATCAAGATT GATATATCAA TTGAAACTCG TTGGTATTGC ATTCCCTTT
721 CTGGTTCACT GTACTTGAAG GGATTGGTT ATTGGTTGTC ATATGATAAC GGGGAGTAGC
781 TATTTTCATT TGATTTAGGT GATGAGATAT TTCATAGAAT AGAATTGCCT TCTAGGAGAG
841 AATCCGATT CAAGTTTAT GGTATTTTC TGTATAATGA ATCTGTCGCT TCGTATTGCT
901 ATCGTCATGA AGATGATTGT GAATTATTTG AAATATGGAT AATGGACGAC TGTGATGGAG
961 TTCAGAGTTC ATGGACAAAAA TTGCTAACCA TTGGACCCCT TAAAGACATT GATTATCCAT
1021 TGACACCTTG GAAATGTGAC GAGATTCTTA TGCTTGGCTC ATATGGAAGA GCTGCCTCTT
1081 GTAATTCTAT TACTGGAAAT CTCACGTATC TTCATATTCC TCCTATTATC AAATGGATGA
1141 TGAATTATGT GAAAAGTATT GTTCCAGTCA AGTGAATTGA GGGAAAAGTT CTACTTTCTC
1201 CTATTTAATT TGTATGCATG ATACAAGGCT TGAGTTT
```

SEQUENZE

Sequenza Cho S9Beta

Varietà: 'Chojuro'; coppia di primer: Md9 β for-Md9rev

```
1 AAATGTCTCA GGTGTGTGAA AGTGAGACTC CTGAAGATAA ACTGGTCGAA ATCCTGTCTA
61 AGTTGCCGCC CAAGTCTCTG ATGAGATTCA AATGCATACG CAAGTCTTGG TGCACATATCA
121 TCTGTAGTCC AAGTTTGTC GCCAAACACC TCAGCAATT CATGGACAAC AAACTCTCAT
181 CCACCGCTTG TATCCTCTC TACCGTTGTC AGGTTCATGT TTTCACGAAC ACGAGTTGGA
241 AACAAAGACGT TTTCTGGTGC ATGATTAATC TTTCCATTGA TAGTGATAAC CTTCATTATG
301 ATGTTGAGAA CCTAAATATA CCGTTTCAA TGGAAGATGA AGACAACGTA GAGCTTCACG
361 GTTATTGCAA TGGGATTGTC TGTTTAATAG TAGGGAAAAA TGTTCTTTA TGCAATCCTG
421 CAACAGGAGA ATTCAAGGCAA CTTCCGGATT CATCCCTCT TCTACCCCTT CCCAAGGGAA
481 GATTGGATT GGAAACGATC TTTAAGGGAA TGGGATTGG TTATGATTGC AAAGCTAAAG
541 AATACAAGGT TGTGCGAATT ATAGAAAATT GTGATTGTGA GTATTGGAA GATGGAGAAT
601 CATACTATGA CGGTATTCTT CTTCCCTACA CGGCTGAGGT ATACACCACG ACTACTAACT
661 CTTGGAAAGA GATCAAGATT GATATATCAA TTGAAACTCG TTGGTATTGC ATTCCCTTT
721 CTGGTTCACT GTACTTGAAG GGATTTGTT ATTGGTTTGC ATATGATAAC GGGGAGTACG
781 TATTTTCATT TGATTTAGGT GATGAGATAT TTCATAGAAT AGAATTGCCT TCTAGGAGAG
841 AATCCGATT CAAGTTTAT GGTATTTTC TGTATAATGA ATCTGTCGCT TCGTATTGCT
901 ATCGTCATGA AGATGATTGT GAATTATTTG AAATATGGAT AATGGACGAC TGTGATGGAG
961 TTCAGAGTTTC ATGGACAAAAA TTGCTAACCA TTGGACCCCT TAAAGACATT GATTATCCAT
1021 TGACACCTTG GAAATGTGAC GAGATTCTTA TGCTTGGCTC ATATGGAAGA GCTGCCTCTT
1081 GTAATTCTAT TACTGGAAAT CTCACGTATC TTCATATTCC TCCTATTATC AAATGGATGA
1141 TGAATTATGT GAAAAGTATT GTTCCAGTCA AGTGAATTGA GGGAAAAGTT CTACTTCTC
1201 CTATTTAATT TGTATGCATG ATACAAGGCT TGAGTTT
```

Sequenza AF S3 A

Varietà: 'Abate Fétel'; coppia di primer: Md3for-rev

1 TTTCCCAGA CCAGAGTTGG AAACAAGAAG TTTCTGGTC CACGATTAAT CTTCCATTG
61 ATAGTGACGA GCATAACCTT CATTATGATG TTGAGGACCT AATTATACCG TTTCCATTGG
121 AAGATCATGA TTTGTACTG ATTTCGGCT ATTGCAATGG GATTATCTGT GTAGATGCAG
181 GGAAAAATGT TCTTTATGC AATCCTGCAA CGAGAGAATT TAGGCAACTT CCCAATTCA
241 GCCTTCTTCT ACCCCCTCCC AAGGGAAAAT TTGAATTGGA AACGACCTTT CAAGCATTGG
301 GATTGGCTA TGACTGCAAT GCTAAAGAAT ACAAGGTTGT GCGAATTATA GAAAATTGTG
361 AGTATTCAAGA CGATGAGCAA ACATTTCATC ATCGTATTGC TCTTCCTCAT ACAGCTGAGG
421 TATACACCAC GGCTGCTAAC TCTTGGAAAG AAATCAAGAT TGATATACCA AGTCAAACCT
481 ATCATTGTTG TTGTTCAGTG TACTTGAAGG GATTTTGTG TTGGTTTGCA AGCGATAGCG
541 AGGAATACAT ACTTCATT TATGTAAGTG ATGAAACATT TCATATAATA CAATTGCCTT
601 CTAGGAGAGA ATCCGGTTT ACGTTGATT ATATTTTCT CCGAAATGAA TCCCTTGCTT
661 CTTTTGCTC TCCCTACAAT CCAAGTGAGG ATTTAAATT ATTTGAAATA TGGGTAATGG
721 ACAACTATGA TGGAGATAAG ACTTTATGGA CAAAACCTCCT AACCAATTGGA CCCTTAAAG
781 GCATTGAGTA TCCATTGGCA CTTTGGAAAT ATGACGAGGT TCTTATGCTT GCGTCTGACG
841 GAAGAGGCCAC CTCTTATAAT TCTGGTATCG GAAATCTCAA GTATCTCAT ATTCCCTCCTG
901 TTCTCAATAA GGTT

SEQUENZE

Sequenza MRB S3 A

Varietà: 'Max Red Bartlett'; coppia di primer: Md3for-rev

```
1 TTTTCCCAGA CCAGAGTTGG AAACAAGAAG TTTTCTGGTC CACTATTGAT CTTTCCATTG
61 ATAGTGATGA GCATAACCTT CATTATGATG TGGAGGACCT AATTATACCG TTTCCATTGG
121 AAGATCATGA TTTTGTACTG ATTTTTGGTT ACTGCAATGG GATTGTTTGT GTAGATGTAG
181 GGAAAAATGT AACTTTATGC AATCCTGCAA CGAGAGAATT TAGGCAACTT CCCGATTCAT
241 GCCTTCTTCT ACCCCCTCCC AAGGGAAAAT TTGAATTGGA AACGACCTT CTAGCGTTGG
301 GATTTGGCTA CGACTGCAAG TCTAAAGAAT ACAAGGTTGT GCGAATTATA GAAAATTGTG
361 AGTATTCAAGA TGATGAGCAA ACATTTCATC ATCGTATTGC TCTTCCTCAC ACAGCTGAGG
421 TATACACCAC GGCTGCTAAC TCTTGGAAAG AGATCAAGTT TGATATATCA AGTCAAACCT
481 ATCATTGTTT TTGTTCAGTG TACTTGAAGG GTTTTTGTTA TTGGTTTGCA AGCGATAACG
541 AGGAATACAT ACTTTCATTT TATTTAGGTG ATGAGACATT TCATATAATA CAATTGCCTT
601 CTAGGAGAGA ATCCGGTTT ACGTTTGATT ATATTTTCT CCAAAATGAA TCCCTTGCTT
661 CTTTTGCTC TCCCTACAGT CCAAGTGAGG ATTCTAAATT ATTTGAAATA TGGGTAATGG
721 ATGACTATGA TGGAGTTAAC AGTTCATGGA CAAAACTCCT AACTGTTGGA CCTTTAAAG
781 GCATTGAGTA TCCATTGACA CTTTGGAAAT TTGACGAGCT TCTTATGCTT GCGTCCGATG
841 GAAAAGCCAC CTCTTATAAT TCTAGTACCG GAAATCTCAA GTATCTTCAT ATTCCCTCCC
901 TTCTCAATAA GGTT
```

Sequenza MRB S3 B

Varietà: ‘Max Red Bartlett’; coppia di primer: Md3for-rev

1 TTTCCCCAGA CCAGAGTTGG AAACAAGAAG TTTTCTGGTC CACGATTAAT CTTTCTATTG
61 ATAGCGATGA GCATAACCTT CATTATGATG TTGAGGACCT AATTATACCG TTTCCATTGG
121 AAGATCATGA TTTTGTACTG ATTTTGTT ATTGCAATGG GATTATCTGT GTAGATGTAG
181 GGAAAAATGT TCTTTTATGC AATCCTGCAA CAAGAGAATT TAGGCAACTT CCCAATTCA
241 GCCTTCTTCT ACCCCCCTCCC AAGGGAAAAT TCGAGTTGGA AACGACCTTT CAAGCATTGG
301 GATTGGCTA TGACTGCAAT GCTAAAGAAT ACAAGGTTGT GCGAATTATA GAAAATTGTG
361 AGTATTCAAG TGATGAGCAA ACATTTCATC ATCGTATTGC TCTTCCTCAC ACAGCTGAGG
421 TATACACAAC GGCTGCTAAC TCTTGGAAAG AGATCAAGAT TGATATATCA AGTCAAACCT
481 ATCATTGTTG TTGTTCAGTG TACTTGAAGG GATTTTGTG TTGGTTTGCA AGCGATAGCG
541 AGGAATACAT ACTTTCATT TATTTAGGTG ATGAGACATT TCATATAATA CAATTGCCTT
601 CTAGGAAAGA ATCCGGTTTT ACGTTGATT ATATTTTCT CCGAAATGAA TCCCTCGCTT
661 CTTTTGCTC TCCCTACAGT CCAAGTGAGG ATTCTAAATT ATTTGAAATT TGGGTAATGG
721 ATGACTTTGA TGGAGTTAAG AGTTCATGGA CAAAACCTCCT AACCAATTGGA CCCTTTAAAG
781 GCATTGAGTA TCCATTGACA CTTTGGAAAT GTGATGAGCT TCTTATGCTT GCGTCCGATG
841 GAAGAGGCCAC CTCTTATAAT TCTAGTACCG GAAATCTCAA ATATCTTCAT ATTCCCTCCTA
901 TTCTCAGTAA GGTT

SEQUENZE

Sequenza Cons S3 A

Varietà: ‘Conseiller a La Coeur’; coppia di primer: Md3for-rev

```
1 TTTTCCCAGA CCAGAGTTGG AAACAAGAAG TTTTCTGGTC CGCGATTAAT CTTTCCATTG
61 ATAGTGATGA GCATAACCTT CATTATGATG TTGAGGACTT AATTATACCG TTTCCATTGG
121 AAGATCATGA TTTTGTACTG ATTTTGTT ATTGTAATGG GATTATTTGT GTAGATGCAG
181 GGAAAAATGT TCTTTTATGC AATCCTGCAA TGAGAGAATT TAGGCAACTT CCGGATTCAT
241 GCCTTCTTCT ACCCCCTCCC AAGGGAAAAT TCGAATTGGA AACGACCTT CAAGCATTGG
301 GATTTGGCTA TGACTGCAAT TCTAAAGAAT ACAAAAGTTGT GCAAATTATA GAAAATTGTG
361 AGTATTCAAGA TGATGAGCAA ACATTTCATC ATCGTATTGC TCTTCCTCAC ACAGCTGAGG
421 TATACACCAC GGCTGCTAAC TCTTGGAAAG AGATCAAGAT TGATATATCA AGTCAAACCT
481 ATCATTGTTT TTGTTGGTG TACTTGAAGG GATTTGTTA TTGGTTTGCA AGCGATAGCG
541 AGGAATACAT ACTTTCATTT TATTTAGGTG ATGAGACATT TCATATAATA CAATTGCCTT
601 CTAGGAGAGA ATCCGGTTT TCATTTGATT ATATTTTCT CCGAAATGAA TCCCTTGCTT
661 CTTTTGCTC TCCCTACAAT CCAAGTGAGG ATTCTAAATT ATTTGAAATA TGGGTAATGG
721 ATGACTATGA TGGAGTTAAC AGTTCATGGA CAAAACCTCCT AACTGTTGGA CCCTTTAAAG
781 GCATTGAGTA TCCATTGACA CTTTGGAAAT GTGACGAGCT TCTTATGCTT GCTTCCGATG
841 GAAGAGCCAC CTCTTATAAT TCTAGTACAG GAAATCTCAA GTATCTTCAT ATTCCCTCCTA
901 TTCTCAGTAA GGTT
```

Sequenza Cons S3 B

Varietà: 'Conseiller a La Coeur'; coppia di primer: Md3for-rev

1 TTTCCCAGA CCAGAGTTGG AAACAAGAAG TTTCTGGTC CACGATTAAT CTTCCATTG
61 ATAGTGATGA ACACAACCTT CATTATGATG TTGAGGACCT AATTATAACCG TTTCCATTGG
121 AAGATCATGA TTTGTACTG ATTTCGGTT ATTGCAATGG GGTTGTCTGT GTAGATGCAG
181 GGAAACATGT TCTTTATGC AATCCTGCAA CGAGAGAATT TAGGCAACTT CCCGATTCAT
241 GCCTTCTTAA ACCCCCTCCC AAGGGAAAAT TCGAATTGGA AACGAACTTT CAAGCATTAG
301 GATTGGCTA TGATTGCAAT ACTAAAGAAT ACAAGGTTGT GCGAATTGTA GAAAATTG TG
361 AGTATTCAAGA TGATGAGCAA ACATTTATC ATCGTATTGC ACTTCCTCAC ACAGCTGAGG
421 TATACACTAC GGCTGCTAAC TCTTGGAAAG AGATCAAGAT TGATATATCA ATTAAAACCT
481 ATCATTGTTG TTGTTCAGTG TACTTGAAGG GATTTTGT TA TTGGTTGCC AGCGATAACG
541 AGGAATACAT ACTTCATT TATTTAGGTG ATGAGACATT TCATATAATA CAATTGCCTT
601 CTAGGAGAGA ATCCGGTTT ACGTTGATT ATATTTTCT CCGAAATGAA TCCCTTGCCTG
661 CTTTTGCTC TCCCTACAAT CCAAGTGAGG ATTCTAAATT ATTTGAAATA TGGGTAATGG
721 ACGACTATGA TCCAATTAGG AGTCATGGA CAAACTCAT AACCGTTGGA CCCTTCAAG
781 GCATTGAGTA TCCCTTGACA CTTTGGAAAT GTGACGAGCT TCTTATGCTT GCATCCGATG
841 GAAGAGCTAC CTCGTATAAT TCTAGCACCA GAAATCTTAA GTATCTCCAT ATTCCCTCCTA
901 TTCTCAATAA GGTT

SEQUENZE

Sequenza Wild S3 A

Varietà: 'Wilder'; coppia di primer: Md3for-rev

```
1 TTTTCCCAGA CCAGAGTTGG AAACAAGAAG TTTTCTGGTC CACTATTGAT CTTTCCATTG
61 ATAGTGATGA GCATAACCTT CATTATGATG TGGAGGACCT AATTATACCG TTTCCATTGG
121 AAGATCATGA TTTTGTACTG ATTTTTGGTT ACTGCAATGG GATTGTTTGT GTAGATGTAG
181 GGAAAAATGT AACTTTATGC AATCCTGCAA CGAGAGAATT TAGGCAACTT CCCGATTCAT
241 GCCTTCTTCT ACCCCCTCCC AAGGGAAAAT TTGAATTGGA AACGACCTT CTAGCGTTGG
301 GATTTGGCTA CGACTGCAAG TCTAAAGAAT ACAAGGTTGT GCGAATTATA GAAAATTGTG
361 AGTATTCAAGA TGATGAGCAA ACATTTCATC ATCGTATTGC TCTTCCTCAC ACAGCTGAGG
421 TATACACCAC GGCTGCTAAC TCTTGGAAAG AGATCAAGTT TGATATATCA AGTCAAACCT
481 ATCATTGTTT TTGTTCAGTG TACTTGAAGG GTTTTTGTTA TTGGTTTGCA AGCGATAACG
541 AGGAATACAT ACTTTCATTT TATTTAGGTG ATGAGACATT TCATATAATA CAATTGCCTT
601 CTAGGAGAGA ATCCGGTTT ACGTTTGATT ATATTTTCT CCAAAATGAA TCCCTTGCTT
661 CTTTTGCTC TCCCTACAGT CCAAGTGAGG ATTCTAAATT ATTTGAAATA TGGGTAATGG
721 ATGACTATGA TGGAGTTAAC AGTTCATGGA CAAAACTCCT AACTGTTGGA CCTTTAAAG
781 GCATTGAGTA TCCATTGACA CTTTGGAAAT TTGACGAGCT TCTTATGCTT GCGTCCGATG
841 GAAAAGCCAC CTCTTATAAT TCTAGTACCG GAAATCTCAA GTATCTTCAT ATTCCCTCCC
901 TTCTCAATAA GGTT
```

Sequenza Pack S3 A

Varietà: 'Wilder'; coppia di primer: Md3for-rev

1 TTTCCCAGA CCAGAGTTGG AAACAAGAAG TTTCTGGTC CACTATTGAT CTTTCCATTG
61 ATAGTGATGA GCATAACCTT CATTATGATG TGGAGGACCT AATTATACCG TTTCCATTGG
121 AAGATCATGA TTTGTACTG ATTTTGGTT ACTGCAATGG GATTGTTGT GTAGATGTAG
181 GGAAAAATGT AACTTTATGC AATCCTGCAA CGAGAGAATT TAGGCAACTT CCCGATTCAT
241 GCCTTCTTCT ACCCCCTCCC AAGGGAAAAT TTGAATTGGA AACGACCTTT CTAGCGTTGG
301 GATTGGCTA CGACTGCAAG TCTAAAGAAT ACAAGGTTGT GCGAATTATA GAAAATTGTG
361 AGTATTCAAG TGATGAGCAA ACATTCATC ATCGTATTGC TCTTCCTCAC ACAGCTGAGG
421 TATACACCAC GGCTGCTAAC TCTTGGAAAG AGATCAAGTT TGATATATCA AGTCAAACCT
481 ATCATTGTTG TTGTTCAGTG TACTTGAAGG GTTTTTGTTA TTGGTTGCA AGCGATAACG
541 AGGAATACAT ACTTTCATT TATTTAGGTG ATGAGACATT TCATATAATA CAATTGCCTT
601 CTAGGAGAGA ATCCGGTTT ACGTTGATT ATATTTTCT CCAAATGAA TCCCTTGCTT
661 CTTTTGCTC TCCCTACAGT CCAAGTGAGG ATTCTAAATT ATTTGAAATA TGGGTAATGG
721 ATGACTATGA TGGAGTTAAG AGTCATGGA CAAAACCTCCT AACTGTTGGA CCTTTAAAG
781 GCATTGAGTA TCCATTGACA CTTTGGAAAT TTGACGAGCT TCTTATGCTT GCGTCCGATG
841 GAAAAGCCAC CTCTTATAAT TCTAGTACCG GAAATCTCAA GTATCTTCAT ATTCCCTCCCA
901 TTCTCAATAA GGTT

SEQUENZE

Sequenza Pack S3 B

Varietà: 'Packham's Triumph'; coppia di primer: Md3for-rev

```
1 TTTTCCCAGA CCAGAGTTGG AAACAAGAAG TTTTCTGGTC CACGATTAAT CTTTCCATTG
61 ATAGTGATGA ACACAACCTT CATTATGATG TTGAGGACCT AATTATACCG TTTCCATTGG
121 AAGATCATGA TTTTGTACTG ATTTTCGGTT ATTGCAATGG GGTTGTCTGT GTAGATGCAG
181 GGAAACATGT TCTTTTATGC AATCCTGCAA CGAGAGAATT TAGGCAACTT CCCGATTCTAT
241 GCCTTCTTAA ACCCCCTCCC AAGGGAAAAT TCGAATTGGA AACGAACTTT CAAGCATTAG
301 GATTTGGCTA TGATTGCAAT ACTAAAGAAT ACAAGGTTGT GCGAATTGTA GAAAATTGTTG
361 AGTATTCAAGA TGATGAGCAA ACATTTTATC ATCGTATTGC ACTTCCTCAC ACAGCTGAGG
421 TATACACTAC GGCTGCTAAC TCTTGGAAAG AGATCAAGAT TGATATATCA ATTAACACCT
481 ATCATTGTTT TTGTTCAAGT TACTTGAAGG GATTTGTTA TTGGTTGCC AGCGATAACG
541 AGGAATACAT ACTTTCATTT TATTTAGGTG ATGAGACATT TCATATAATA CAATTGCCTT
601 CTAGGAGAGA ATCCGGTTT ACGTTTGATT ATATTTTCT CCGAAATGAA TCCCTTGCCT
661 CTTTTGCTC TCCCTACAAT CCAAGTGAGG ATTCTAAATT ATTTGAAATA TGGGTAATGG
721 ACGACTATGA TGGAATTAGG AGTTCATGGA CAAAACTCAT AACCGTTGGA CCCTTCAAG
781 GCATTGAGTA TCCTTGACA CTTGGAAAT GTGACGAGCT TCTTATGCTT GCATCCGATG
841 GAAGAGCTAC CTCGTATAAT TCTAGCACCA GAAATCTTAA GTATCTCCAT ATTCCCTCCTA
901 TTCTCAATAA GGTT
```

Sequenza Fuji S3 A

Varietà: 'Fuji'; coppia di primer: Md3for-rev

1 TTTCCCAGA CCAGAGTTGG AAACAAGAAG TTTCTGGTC CACGATTAAT CTTCCATTG
61 ATAGTGATGA GCATAACCTT CATTATGATG TTGAGGACTT AATTATACCG TTTCCATTAG
121 AAGATCATGA TTTGTACTG ATTTTGGTT ATTGTAATGG GATTATTGT GTAGATGCAG
181 GGAAAAATGT TCTTTATGC AATCCTGCAA CGAGAGAATT TAGGCAACTT CCCCATTCAT
241 GCCTTCTTCT ACCCCCTCCC AAGGGAAAAT TCGAATTGGA ACAACCTTT CAAGCATTGG
301 GATTGGCTA TGACTGCAAT TCTAAAGATT ACAAGGTTGT GCAAATTATA GAAAATTGTG
361 AGTATTCAAGA TGATGAGCAA ACATTTCATC ATCGTATTGC TCTTCCTCAC ACAGCTGAGG
421 TATACACCAC GGCTGCTAAC TCTTGGAAAG AGATCAAGAT TGAAATATCA AGTCAAACCT
481 ATCATTGTTG TTGTTCAGTG TACTTGAAGG GATTCTGTTA TTGGTTGCA AGCGATAGCG
541 AGGAATACAT ACTTCATT TATTTAGGTG ATGAGACATT TCATATAATA CAATTACCTT
601 CTAGGAGAGA ATCCGGTTT ACATTGATT ATATTTTCT CCTAAATGAA TCCCTTGCTT
661 CTTTTGCTC TCCCTACAAT CCAAGTGAGG ACTCTAAATT ATTTGAAATA TGGGTAATGG
721 ATGACTATGA TGGAGTTAAG AGTTCATGGA CAAAACCTCCT AACTGTTGGA CCCTTTAAAG
781 GCATTGAGTA TCCATTGACA CTTTGGAAAT GTGACGAGCT TCTTATGCTT GCTTCCGATG
841 GAAGAGGCCAC CTCTTATAAT TCTAGTACAG GAAATCTCAA GTATCTTCAT ATTCCCTCCTA
901 TTCTCAATAA GGTT

SEQUENZE

Sequenza McInt S3 A

Varietà: 'McIntosh'; coppia di primer: Md3for-rev

```
1 TTTTCCCAGA CCAGAGTTGG AAACAAGAAG TTTTCTGGTC CACGATTAAT CTTTCCATTG
61 ATAGTGATGA GCATAACCTT CATTATGATG TTGAGGACCT AATTATACCG TTTCCATTGG
121 AAGATCATGA TTTTGTACTG ATTTTGTTT ATTGCAATGG GATTATTTGT GTAGATGCAG
181 GGAAAAATGT TCTATTATGC AATCCTGCAA CAAGAGAATT TAGGCAACTT CCCGATTCAT
241 GCCTTCTTCT ACCGCCTCCA AAGGGAAAAT TCGAATTGGA AACGACCTT CAAGCATTGG
301 GATTTGGCTA TGACTGCAAT TCTAAAGAAT ACAAGGTTGT GCGAATTATA GAAAATTGTG
361 AGTATTCAAGA TGATGAGCAA ACATTCATC ATCGTATTGC TCTCCTCAC ACAGCTGAGG
421 TATACACCAC GGCTGCTAAC TCTTGGAAAG AGATCAAGAT TGATATATCA AGTCAAACCT
481 ATCATTGTTT TTGTTCAGTG TACTTGAATG GATTCTGTTA TTGGTTTGCA AGCGATAGCG
541 AGGAATACAT ACTTTCATTT TATTTAGGTG ATGAGACATT TCATATAATA CAATTGCCTT
601 CTAGGAGAGA ATCCGGTTT ACGTTTGATT ATATTTTCT CCGAAATGAA TCCCTTGCTT
661 CTTTTGCTC TCCCTACAAT CCAAGTGAGG ATTCTAAATT ATTTGAAATA TGGGTAATGG
721 ATGACTATGA CGGAGTTAAC AGTTCATGGA CAAAACCTCCT AACCGTTGGG CCCTTAAAG
781 GCATTGAGTA TCCATTGACA CTTTGGAAAT GTGACGAGCT TCTTATGCTT GCTTCCGATG
841 GAAGAGCCAC CTCTTATAAT TCTAGTACAG GAAATCTCAA GTATCTTCAT ATTCCCTCCTA
901 TTCTCAATAA GGTT
```

Sequenza McInt S3 B

Varietà: 'McIntosh'; coppia di primer: Md3for-rev

1 TTTTCCCAGA CCAGAGTTGG AAACAAGAAG TTTTCTGGTC CACGATTAAT CTTTCCATTG
61 ATAGTGATGA ACACAACCTT CATTATGATG TTGAGGACCT AATTATAACCG TTTCCATTGG
121 ATGATCATGA TTTTGTACTG ATTTTCGGTT ATTGCAATGG GATTGTCTGT GTAGATGCAG
181 GGAAAAATGT TCTTTTATGC AATCCTGCAA CGAGAGAATT TAGGCAACTT CCCGATTCAT
241 GCCTTCTTAA ACCCCCTCCC AAGGGAAAAT TCGAATTGGA AACGAACTTT CAAGCATTAG
301 GATTGGTTA TGGTTGCAAT ACTAAAGAAT ACAAGGTTGT GCGAATTGTA GAAAATTG TG
361 AGTATTCAAGA TGATGAGCAA ACATTTTATC ATCGTATTGC ACTTCCTCAC ACAGCAGAGG
421 TATACACTAC CGCTGCTAAC TCTTGGAAAG AGATCAAGAT TGATATATCA ATTTCAACCT
481 ATCATTGTTT TTGTTTCAGTG TACTTCAAGG GATTTTGT TA TTGGTTTGCA AGCGATAACG
541 AGGAATACAT ACTTTCATT TATTTAGGTG ATGAGACATT TCATATAATA CAATTGCCTT
601 CTAGGAGAGA ATCCGGTTT ACGTTGATT ATATTTTCT CCGAAATGAA TCCCTTGCTT
661 CTTTTTGCTC TCCCTACAAT CCAAGTGAGG ATTCTAAATT ATATGAAATA TGGGTAATGG
721 ACGACTATGA TGGAGTTAGT AGTTCATGGA CAAAACCTCCT AACCGTTGGA CCCTTTAAAG
781 GCATTGAGTA TCCTTGACA CTTTGGAAAT GTGACGAGCT TCTTATGCTT GCATCCGATG
841 GAAGAGCTAC CTCTTATAAT TCTAGTACCG GAAATCTTAA ATATCTCCAT ATTCCCTCCTA
901 TTCTCAATAA GGTT

SEQUENZE

Sequenza Cho S3 A

Varietà: 'Chojuro'; coppia di primer: Md3for-rev

```
1 TTTTCCTGA CCAGAGTTGG AAACAAGAAG TTTTCTGGTC CACGATTAAT CTTTCCATTG
61 ATAGTGATGA GCATAACCTT CATTACGATG TTGAGGACCT AATTATACCG TTTCCATTGG
121 AAGATCATGA TTTTGTACTG ATTTTTGGTT ACTGCAATGG GATTCTTGTT GTAGATGTAG
181 GGAAAAATGT TCTTTTATGC AATCCTGCAA CGAGACAATT TAGGCAACTT CCCGATTCTAT
241 GCCTTCTTCT ACCCCCTCCC AAGGGAAAAT TCGAACTGGA AACGACCTTT CAAGCATTGG
301 GATTTGGCTA TGACTGCAAT TCTAAAGAAT ACAAGGTTGT GCGAATTATA GAAAATTGTG
361 AGTATTCAAGA TGATGAGCAA ACATTTCATC ATCGTATTGC TCTTCCTCAC ACAGCTGAGG
421 TATACACCAC GACTGCTAAT TCTTGGAAAG AGATCAAGAT TGATATATCA AGTCAAACCT
481 ATCATTGTTT TTGTTCAGTG TACTTGAAGG GTTTTTGTTA TTGGTTTGCA AGCGATAACG
541 AGGAATACAT ACTTTCATTT TATTTAGGTG ATGAGACATT TCATATAATA CAATTGCCTT
601 CTAGGAGAGA ATCCGGTTT ACGTTTGATT ATATTTCTT CCGAAATGAA TCTCTTGCTT
661 CTTTTGCTC CCCCTACAGT CCAAGTGAGG ATTCTAAGTT ATTTGAAATA TGGGTAATGG
721 ATGACAATGA TGGAGTTAAC AGTTCATGGA CAAAACCTCCT AACTGTTGGA CCCTTAAAG
781 GCATTGAGTA TCCATTGACA CTGTGGAAAT GTGACGAGCT TCTTATGCTT GCATCCGATG
841 GAAGAGCCAT CTCTTATAAT TCTAGTACCG GAAATTCAA GTATCTTCAT ATTCTTCCTA
901 TTCTCAATAA GGTT
```

Sequenza Cho S3 B

Varietà: 'Chojuro'; coppia di primer: Md3for-rev

1 TTTCCCAGA CCAGAGTTGG AAACAAGAAG TTTCTGGTC CATGATTAAT TTTCCATTG
61 ACAGTGATGA GAACAACCTT TATTATGATG TTGAGGACCT AAATATAACCA TTTCCATTGA
121 AAGATCATGA TTTGTACTG ATTTTGGTT ATTGCAATGG GATTGCTGC GTAGAAGCAG
181 GGAAAAATGC TCTTTATGC AACCTGCAA CGAGGAAATT CAGGCAACTT CCAGATTCAT
241 CTCTTCTTCT ACCTTCCCCT CCTGAGGGAA AATCGAATT GGAAACGAGC TTTCAAGCAT
301 TGGGATTG TGATGATTGC AATGCTAAAG AATACAAGGT TGTGCGAATT ATAGAAAAC
361 GTGAGTATTC AGATGAAGAA CGAACATTTT ATCATCGTAT TGCTCTCCT CACACGGCTG
421 AGTTATACAC CACAACGTCT AACTCTTGGAA AAGAGATCAA GATTGATATA TCAAGTACAA
481 CCTATTCTTG TTCTCGTTCA GTGTTCTTGA AGAGATTTG TTATTGGTAT GCAACGGATG
541 GCGAGGAATA CATACTTTCT TTTGATTTAG GTGATGACAC ATTTCATATA ATACAACGTG
601 CTTCTAGGAG AGAATTGGT TTTAGGTTTT ATTATATTTT TCTGCGAAAT GAATCCCTTG
661 CTTCTTTTG CTCTCGTTAC GATCGGAGTG AGGATTCTGA ATCATGTGAA ATATGGTAA
721 TGGATGATTA TAACAGAGTT AAAAGGTCA GGACAAAAGT CTTAACCAATT GGACCCCTTAC
781 AAGGCATTAA GAAGCCATTG ACATTTGGAA AAAGTGACGA GCTTCTTATG CTTGATTCCG
841 ATGGAAGAGC CACCTCTTAT AATTCTAGTA CCGGAAATCT CAATTATCTT CATATTCTC
901 CGATTCTCAA GAGGGTT

SEQUENZE

TDF02

MseC -

1 AACTAATCAC TCGAATTACC CTGCTTCATT ACAAAATCTC TAGCCGAAA AGATTGGTG
61 ACTCGCAAAT TGAACACAGG AGCATCAGAA GAGGAGGAAA GATGTGCTGA TTAGTGCAGA
121 TCAGCAGC

- *EcoA*

TDF03

MseC -

1 AGCAACTCCG TCTGATCAAT AGTCAATCTA TCTAGTATTG GAATCTGAAA GAGTGGATTG
61 ATTGGATAGG ATGGATTGTA TTCTGAGTAT TGTAGATCTG TGATGGTGT GTGTAATGCG
121 CTTAGGTGTT TGTTAGGGGG AGGAGGGAGG AA

- *EcoA*

TDF04

MseC -

1 AACAGGTGAT CAACAGCCAA GAAGTAGAAG TGTGGCCTCG TATCACATGG AAGCCAAAAT
61 GGGCTCTCAC TTTCACAGAC ATAAAAAGCA AAGTCAGTGG AAGCTGCTCA ATTTCTCAGA
121 GGTCTACATT GGTTATCAA GCCCGGAATG TCTTTATCAA TTCTCTCTCC TTGGATGGGG
181 CTCTGTTAT TGACCCAGTT GATGACGCAG AGGTAAAAGT GGAGGGCTCG GTCGTAAACA
241 AGGGTTGGGT CCTCGAACAC GTCGATTACA AAGATCCGTC GGTACCGGAG GAACTGAGAA
301 CAAGGGGCTT CAGAATCAAC AAGATTGAAG AGCTGGAGAA GAAGTGAAGA AACGTCTTCT
361 AAGC

- *EcoA*

TDF05

EcoA -

1 CCTTCCTCCA TCCCTTCACC TACATACCAA TGCGCAAATG CCCGCTTGGAA ATACATAAGG
61 TCAAATTAT GGTCAATTG GGAGAAGACC TCAGCTACTG CAGTGTT

- *MseC*

TDF06

EcoA -

1 GCCGGGTTTC CGTGATTGAA GGGTCCCACA TGTTCACCTT CCATCAGACG CATCAGACCT
61 TCCACCAGAT CAGAACATA TTGGAAACTC CTTGTTGCT TCCCGTCACC ATAAACCGTC
121 ATCGGTTCTT TCCTCAACGC CTGAGCAACA AAGTTGCTAA CAACACGGCC GTCATCTATG
181 CACATTCTTG GCCCGTAAGT

- *MseC*

TDF07

EcoA -

1 TAGCAACACA GAAGAAAGTA AATGAAGATT CTCTACTAAG CTAGCAAAGA GAAGTTATAC
61 ACCACGTAAG TCAAACACCT AAAAAAAGGT CCCAGGTAAG GGG

- *MseC*

SEQUENZE

TDF09

MseC -

```
1 CTTTGATTC GAATAGTCGA GAGAGGCAAA GTACACAAAA CAATCCA ACT CTCTAAAGTC  
61 TAGACTAAC A GATGCAAGAG GAGCACTGTA CGGTTAGGAG GGATTTGTCT CAAGATTACA  
121 CACAAC TATC ATCTAACCTA TGTTTGGCTT CTTGCTATTG CGGATACGAG GGAGGCTGAT  
181 ATGCCGGTGG AGCACACATTC GAGTAATTAT ATGGGGCGTA GTTGGTCTGG CCGCCACCAT  
241 AAGCACC ACT GCTTCCAAAC CCAGCAGCGC CCATGCTGTC CCCAGGGAGG GAGTAGTGTT  
301 GAGGAAGAGC AGCGGGCTT TGAGCAGGGG GTGCACCATA TGAGGATCCA TACAATGGTG  
361 CCGTTGGACC ATCGAACACA CTTTGGCTCG GGTAACTGTA AGGACCAGAA TATCTTGTG  
421 CGGGGCTATG TTGTGGAAGA GGATTTGGGT TCCTCCTGGT AAAGGAGGGG TA
```

- *EcoA*

TDF11

EcoA -

```
1 CGGGTCACGC TTTCTAAATT AGAACGGAA ACAGGGAGCT GTTCAGAAAA TACAAAAGAA  
61 AAACCAACCA CCATAAAAAG CCCACACAGA TGGTGGCGTT G
```

- *MseC*

TDF12

EcoA -

```
1 CTATTTACA CGAATGGTT TAGTTCTTCT TCCGCACGCA GATAACATAC AAGACTCAAT  
61 GGCAATTCAAT GGAAATCAA A CACATGAACC ACGAAAAAAT AAATCCACAG CAGACGTAAA  
121 GCTAAATTCT ACAGAACCTG TACAAAAGTT ATTACAGTAG ATTGATAGAC GGGTTGGAAA  
181 ATAGCTTCA CAAAATCCTG TGTTTATAAC
```

- *MseC*

TDF14

EcoA -

1 TCTTCTTCCC CACCCATTCC TCACGGTTCT ATAACATACAA ACTTGAGGTT GCTAAAAATT
61 TCTTCACCAA TGATTAGAAT GGGCTCAGGA CCACTCTGAT CCCTTAGTGG CTCTGCCTAT
121 GTCTGCC

- *MseC*

TDF15

EcoA -

1 GAGGTTGTGC TTTGTTATTG CGAACCGTAA GTGCCGGATG AAAATCCGGA TATTCACTAA
61 ATATGTGTCC TAGATCATCA ACAACAGTGA TATCTGAGTC GGTGAAGATG TAATGGGTAT
121 GCTTCTGATT CTGAGGAAGC TCCTCCATCC TAGATTCTAG GAAGGCAATG TAAGACCTGC
181 TTCTCTGAAG CATCAACTTG TCTCGTGAAT ATTACACCTTG AATTGGATAT ACAGTGACCT
241 TGTTTCTGCG TATTGAAAGA TCAGCTGCCG GGTCTGTTAG AATGACTACA CTGCTCCGGG
301 GCATAGCCAG CTGAATGAA

- *MseC*

TDF16

EcoA -

1 GAAAATAATG AAGACGAATG GGATGAAATA CTGAAACATT TGTTACCTAA ATATGCCAGA
61 AGCTGAGACT GCCGAGCGTC TTTCATTAGC AATGCAA

- *MseC*

SEQUENZE

TDF18

EcoA -

1 ACCTAATGTC AAGACATATA CTATAATGAT TCGTGGATTG TGTAAATGGGG GGCAAATATG
61 TGAAGCGGAA AACTTGCTTA GAGAAATGGA AGAGAAAGGC TGTTCTCCAA ATGGTTGGAC
121 GTACAACACA ATTATCCGAG GCTTTATCAA TAACAACGAG ACATCAATGG GAGTGAGGCT
181 TATTCAAGAA ATGGTGGAGA GGGGTTTTTC TGCAGATGCG TCAACTATTG AGTTGATT

- *MseC*

TDF19

EcoA -

1 AACACGTGACC ACATTGGAAG ATGCTGAACG TATTTGACT GCTGAAAGTA AAGACGTTTT
61 GGGCTACCTC AACTCTCTGG TGGGTCCAGA GAGTGACGAG CTTGCTGCTG CTTCAAGACT
121 TGAGGATGAG GTCACCTTT ACCAAACTGT AGATCCAAG GTGGCAAAAC TTTTCCATCT
181 TGATGCTGAA

- *MseC*

TDF20

EcoA -

1 AACACGTGACC ACATTGGAAG ATGCTGAACG TATTTGACT GCTGAAAGTA AAGACGTTTT
61 GGGCTACCTC AACTCTCTGG TGGGTCCCTGA GAGTGACGAG CTTGCTGCTG CTTCAAGACT
121 TGAAGATGAG GTCACCTTT ACCAAACTGT AGATCCAAG GTGGCAAAAC TTTTCCATCT
181 TGATGCTGGAA

- *MseC*

TDF21

MseC -

1 TCTGATGGTG CGTTGCAGAG CCATACAAAG GCAAAGCACA GTGCTGCAAA GTGAAAGGCA
61 GATTAGTCTC CAGCCTCCAC CATCTTGATG TTTTCCAATT CATGAGAAGA AAGTAGGTTT
121 AGTAAGATAA CGGAGATAAT AGCGTTTAT TCGTTACTAA CTGAACGGT TCTGTTGAA
181 CCGGCGTGGG TGAGAAACTT TTTCAGGTGA TCTGGGAGGC ATTTTGCTAC AACTATTT

- *EcoA*

TDF23

MseC -

1 TAGGGATCAA AGTACTTTGT GTGCATTTG ATGTTGGCT GTCTCGTGAA TGTTTATCGC
61 TAGTTATGAA ATGAGAACAG GATGAAGGGG CTAACAGTTT CTTGAAAATA TGGTGTGCAT
121 TGCTTCTTAG CATTACTCAG TGTTCACGAG ATACAGTAAA TGTACAAAAG GCACAAACAC
181 ATGCAAAACG CCTTGGCGGT GGTCGTCTGT ATGTCGTAAG TTTTATGAAT TATGACGCAC
241 AACACGTATA TGGCACGCTG TAAAGGGTCG GCATGTTTA TAACCCATTG GCTGCTGCTC
301 AGTTG

- *EcoA*

TDF24

MseC -

1 TATTTCTTT TGAGATCTCT GAAAATTAGG GTAGATGGTG ATTGGAAGCT TTTCAGACAA
61 ATTTTCGAAT TGAATCTGCG ATTGGTGTAT AGTGGAAATT TTCTCCGAGG CCTCCAACCA
121 TCGTCAAGT ATAGAATGGG GTTCTCTTCT CTCTCATCCG TTGGTGTGT TAGAATTGT
181 ATAATATTGG TAGAATGTGG TGATAAAATAG ATACGGTTGG GTCTGTTTG CATAGCACAT
241 GTACATTGCT AAGTACTGCG AGTCTGCGAC CCGTCTAAAT TTGGATGACT TGTTTTG
301 TTTGGTGCTG ACAGATTGAG GATGCTTGG TGGATACAAA ATTAGATAGC CTGTAAACCA
361 ACTTCACTCA TG

- *EcoA*

SEQUENZE

TDF26

MseC -

```
1 AGATATTGGT CCTCACTTTG GTCCAAAACC AAACCACTGT GCCAGGAAGA ACTTATTCTT  
61 TTTTCGGGAG GCATCAGGTG CGGCTTTGC AGGTGAAGGG GATTGACAG GCGAAGAGCT  
121 TGTTTAGCT AATTTGGGG AAACCCCTT GGCATTCTT GCATCGTTAG GACTCTGTC  
181 TGAGTTTGG ATGGTGGTT AGTTGCGGGA AATAGAGGTT GATTTCGCT CGGAAACCTT  
241 CTGCTCCACA CGTTCTCTGC TCTCACCCCC ACTTCATTA GGAGGCTTCC CATAATTTG  
301 CCGCAAAGCT TCAAGAAAGG AATCATCTCT TTGGTCTTGT GTCAATTGAT CAAAAAG
```

- *EcoA*

TDF27

EcoA -

```
1 CAAATTGCTA CAGATGTAGG TTCTCCTCCT GTAGAGCAAG CACCCAATGT TTCTGAACCA  
61 GCAATAGTAC AAGCAGTTCC CACACCTTCC CTAGAGCCTC GAAGCATGTC ACAAGAACCC  
121 ATTTGGGAAG CTCCCCTACA CACAAAGAAA ATGCCAGCCT TGAAGAAATT TAGACTGAGC  
181 AAAGAACTGG TTCAGGAAAG AGTGAAGGAT AACGTCAATTA TTGTGACCTT TGGGAACATAT  
241 GCATTCAATGG ATTTTATCCT GACTTGG
```

- *MseC*

TDF28

EcoA -

```
1 CAACTGACCA TATATGGCAA TTCAGAACCT GAAGTTGCGG TAGGAGATGG ATGCACCTCA  
61 AGCTCCAAAG AGAATGAATC ACTTTCTATC CAAATTCAAGA ATGCGAAGCA GAACCTTCT  
121 GTTGTTCCTA AAACTTTGT TGGCAACGAG TTATTAGATG GAAAGACG
```

- *MseC*

TDF30

EcoA -

1 CGATTTTATA CTCTACACGA AGAATAAGTA TGGTGATCCA ATCATTACA TTACTGAGAA
61 TGGCGTTGAT GAGTTCAATG ATCCCAACTT ATCACTAGAT GATGCCCTCC ATGATCCATT
121 TAGGATTGAC TACTACAATC GCCACCTTG TTACGTTCAT GCAGCAATCA AGAAGGGTAG
181 TAATGTGAAA GGATACATTG CATGGGCAAT TTTGGACAAC TTTCAATGGA GTGAAGGCTA
241 CACAGTCGA TTTGGTATTA CTCAGGACTC ATCGTCACTT GGCTGCAAAG GAATCACAAA
301 TTTTGTGGCT AGCAAAATGT CGAAAATGTG CATCATTGGT GGTGTTATTG CTATTTTTT
361 CATTGGGTTG CCATTCAATT TGTA

- *MseC*

TDF31

EcoA -

1 TACAGGTATC TCACAATCAC AGATAGACTC ACAAAATGAAT GGAATCATAG GACTATCGCT
61 AACAAAACAT GTTCTGCTTT TTGTTATGCC TTGAGATTTT GTGAGACATC GTAACATTAT
121 TGAACTTCA AGTCATTGAA CTGGTTCACT TGCCCTAAAT ACATAAACTC CAAGAGTGCG
181 CATCAAAAGG GACAACACAG CAATCCCAAC AATCTTCAAT GGCAAGCCAA TCTTGATCAT
241 GTCTTGGACC TCAATGTGGC CAGTGGCGAA TCCTACGGTA TTTGAAGGA

- *MseC*

TDF32

EcoA -

1 TATAAAATAGA AAACAGAACCC CAAAATTCTA GCTTGGGTTT ACAACTATAA ATATTGATCA
61 CCTTGTTCCT TGCAAAGTTG GTCTCCGCCG TGGGCAAAGT CGGTGCATAT TTTAGATTGT
121 AAGCATAGAA TAGAGTGGCG GCGTGAGGGT AGCTGCAAAA TGCTGCCAAA TTGCCATACA
181 TGTTCAAAGC ACATAGATCG ATCTGTCCAA GAAGCTGCAA GGACCACTGA AACAGAAGCA
241 TCTTATACCA

- *MseC*

SEQUENZE

TDF33

EcoA -

1 TAGAAGGTGT GTTTCTGTGG AAGTGATTCA TGAAGGTTCT GGATTACAGT TTTCGGGGTT
61 AGATTCTGA ATCTATGGGA TTTCCTTATC AATTATCGTT TCAAGGGGTG AAAAACAGTG
121 AGGGACGACA CAGGAAGAGG GGAGAGAGAG GACAAAATAA TGGTTTCTGC TACTTTCAAT
181 GCTTTGG

- *MseC*

TDF34

EcoA -

1 ACACAAAAAG GAACAGTCTG ATTATTAGAG AGAAACCTA GAAATGTGAA CACTGAATGT
61 GCATTTCAT TTCTTGTAAC GAGCTACCTC ATGCC

- *MseC*

TDF35

EcoA -

1 AGAAATGTGA ATAGGATGAT GAAGACTTCA TCGACAGAGG AACCAACACC TGTGAGGGTA
61 TGAGATGTGT TTTGCGGGC TTTCCAGCG AGTCCATGCT GTCAGGAATG GCACTGATGC
121 CTGAAGATGA ATGATTGTTG TCAAAGCTGC TCCCTGCA

- *MseC*

TDF36

MseC -

```
1 TTTCAAAAGA TGCAGCAATC AAGGTGAAAA TGACTACATC CTGGGTTGCT AACCAAATAC
61 TATATTGAAC CTGCGGATAT CTAATATCTG TACATACACC TCCGGAAACA CAGACCAAAG
121 GCGATTTAGT ATTTGTAACC CGACAAACAC AAGTCTTCTT GTAAGCTTGA GAACTATAACA
181 CCCAGAGGAC CCTAAAATTG GGATTGAGAG TTACTTCCAC CACCAGAACT GTCTAACAA
241 GTATATTTTC CTCATCCGAG CATCGTATGC CATGAAGGCT CGCGCTTCTA CAGGGTCAGC
301 ATTCAAATAC TCAAATGCAT ACATCTGTT AGCCTCTTCC AAACCATCAA TCTCCATCAC
361 AGCCTCTAGT AGTGAGAGG CGTCAATTGA GTATTTGCTT TGCTCCATTG CATCAGCCAA
421 GCGACGAATG CTTGACGCCA CAGCCATCAT TGCATCCTGA AGGGCTTCTG AGCCACGAGG
481 GCGTTTCGAA AGTTGTCTAA GTGGCTGGAT CAGAGGGGGG TCT
```

- *EcoA*

SEQUENZE

Sequenza genomica del gene della TGasi di pero europeo, cv ‘Abate Fétel’
(esoni 1-14)

1 GACAAGATGG TGGCTCGGAG CTTCCAGGTT CACCACCAGG ACTCCACTTT CTCCGTTGAC
61 TACGACACCG ACGACGGCCT TGAAGTATCT CTGTCTCCCT CTCTCTCTCT AAAACTCTCT
121 TTCTCTCTCT AACATCCAAT TCATTGCAGG TCCTCAAATT TCAACTGTTC TCCCTCACCT
181 CCGTTCCCCC CGACGAGCAA AAGGTTGAC AGTCTCTTG TATCTGAAAA TTGTGAAATT
241 TCGAGCTTAA TTTTAGCTCA AGTTTGATTG AAATTGAATT ACTCTACTTT CTGTAAAGTT
301 AATTGGATTG GATGGAGATT CCGTTGTTTC GGACGATTG GGCGCTCGTT CGATTGCGA
361 GAAGCTCCGA TTGGTTTCGA TCAGCGAAGA ACAACAACAG CAAGAAGAAT CAGCGGCTCA
421 GAACGACGAA TTGCTGAAAT CGGACGAGGA ATTGGCTAGA ATGTTGCAGG TTTGTTTACA
481 GTTCCGTTGC TTATCAAAT TTTCTTGAAA TTTTGATCAA TTTTAACTCT TAATTTATTA
541 TTGTGTTGGA AAAAAAAAAG AAAAAAAAAG GCAGAGGAGG AAGCACTTTT GTTCAGCAG
601 TACGCTGCCCT CTGAAGATGA TGAAAATTC GAGCAAAAC TGCGGCCCTA TGTCAGTCAA
661 GTTCTTATGG TAATGTTCTT TCTCATTGCT TAGTGCCTT GGTTCCCGGG AAACCGATCG
721 AAAACAGTGG AAAATAAAGA TTTGGAATT AGAGGTTTAT TTTGCTTCGG ACACGAGAAA
781 GCAATGAGCT TAGGGTGCTT AGATTTGAA TAATAGTTAA CTTGTATTTT TGTACCTCTC
841 CAATTACGC ATTGATTTAA ACATACTTGC TAAATGATGT TTCCGTTGGG TTTGGCCTG
901 TTGTTGGTTT AGTACGAGGA CCCGGTGCAG CAGGAGGCTG CTCGGAAAAC AGTCCTATA
961 GAAGAGCTTG AGGAGAAGGC ATTGGTCAGT TTGGCCAAGG TGAGAGCACT TGTCTCTGT
1021 CTCAGAAAAT ATATGTTTA AGTCCCATT TTGTTGGTTT TTCTGTAGGA CTTTACTGGT
1081 GTGTAGAAAT ATATGAATTG GCACTCTGCT AAGATGTTT GGTGATAAGT AAATCTGATT
1141 AAAATGTTT AGGAGGGGAA CTTAACTCCG TCAAAAAATG AGCAAGATCA TGCTTCCCTG
1201 CTGCAGCTAC TTTTTGGTT CAAACAGTCT TTCAGGTGTT CTGTTGCTTC GTGGCTTAT
1261 ACTATTGAGT TGTTCTAAT AAAAGTTTAT TTGTTGTCGT TTTAACCAAA CTTCCGTTTC
1321 ACTTTCATCA TTCATAGCTA CATGCTGAAT ATTGCATAAT TGTGTTCTGT CTGGTTTATT
1381 TATTGCAGTT GGGTTAACGC ACCTGCCTGT GATAGTTGTG GCAATAACAC CGTAAATAGT
1441 GGCATGGCTA ATGCAATTCC TTCAGAAATC CGATATGGAG CTTCTCGAGT TGAGATCTAT
1501 AGGTATGCTA TAGAAATTAG AATATACTCA TTTGTATCGA TGCATAGTTT ACATAGTAAT
1561 TTTCTTCTT TACTGTTCCA CTATTATATA TCTAGCCTT CATTGGGGTA ACTGCTGAC
1621 AATAATGGTT CTGGTAAAGAG ATATAATTGAT GTAGGCTTTC TTTGTCTGAT TTAAGATCAA
1681 AGATAGCTGA AATTGAAAAG ACTTTCCAC TGTAAACTTG GATCCTTCCA CTATCACAGA
1741 TGTGGAAGCA TTCACATCTA TATTGTTCAAG TTTAAGCGTT TTTAGGTGAG AACCTCATGT
1801 CACAAAACAT TGACAAACTT CTATGTTCAT CACAACCTTT AACCATAGAC ATTACTTTA
1861 CTTATTATAT TTCCCTTTTC TTGTTCTTA GCTTCTTATA TTTTGTTGA TGCATAAGTG
1921 AATTTTCACA TACATATCTA GATTCAAAAT ATTTAACTAT AATGACATT ATTGTTTTT

1981 TTTCTTCTAT CCAGATGCAA TATTTCCT ACAGTGACTC GTTTCCCACG CTACAATGAT
2041 CCACTAAAGG TATTTACTAT TTATGAATCT TGCCCTCGTT AAGAACGCTA TTGGATATTT
2101 TATGTCTCCG TCAATTCTT TTTCCTGTT TCCTCAATGC AGCTTGTGGA AACAAAGAAGA
2161 GGGCGTTGTG GGGAAATGGC CAATTGCTTT ACGCTTTATT GCCGAGCTTT TGGATATGAA
2221 CCCCCGCTTG TTAGTCATT TCTATCTGAC TTTCTTAATA TTCAAATATG GATATGCTTA
2281 AAGCAATATG AATATTTTA ATTCACTCCTG TACCACATT GGAGTTGAGC TTCAATGCTG
2341 GAATCTCATT ATACGTTTC GGCTGAAAAT AGATAATTAA GTAGTTCGT TGTGTCCCTT
2401 TTTCCCTAGA CTGAGGGAGC TTACTTGGAC CCATACTTGC TGTTACTGGT GACAGATTTC
2461 TATTAATTAT GTTTTCATT TCAGATCTTG GATTCACGG ATCATGTTG GACAGAGTGC
2521 TTCTCACAAAT CTTGGGAAG GTAACTTCA TTTACGAAC AGTGCTATTT ATTTAACTTA
2581 GGAGATTGG AAAGCCAATA ATATATGCCT ATAATCTCT TTTGATGCTT TGTTTTCA
2641 ATGGATGCAT CTTGATCCTT GTGAAGCAGT GTATGATAAA CCCCTGTTAT ATGAAAGCGG
2701 GTACTTTCT TAATTAGTCT GTTCATTCA TAGATGACTT ACTTTACCTT GACTTATCAG
2761 CATTAGAATA TAACTCAAG TATTTTCGG AAGGTGGAAC AAGAAATTGA ATTATGTAAT
2821 TGCCATCACA AAAGATGGTG TTTGTGATGT AACCAAACGC TATACGAGGA AGTGGCATGA
2881 GGTAATCACA CTAAGTGGTA CTGGCTTAA TTAATTGCC TAGATTTCA TTAGGAGATC
2941 TACCATGCGA ACTTTATTTT GAGCCGTGAT GAGGAAGACT TCTTTTGTT TTTGCAGGTA
3001 CTTTCTCGAC GTAACATCAT TACAGAGCCT GCATTGTCAG CTGTGCTTGC TAATATAACA
3061 AAAGATTGTC GAAGAGGGTT TACTTCTAA GTACTTCTG TACTTGAAGA GCGTGATGAG
3121 AAGGAAAGAC AAGAACCTGA AAGAGGTTG CATTCTACAG ACAATGACTC AACCTCATTA
3181 CCTGGGAGAC GAAAGTGGGA CAAGGAATGG CGCAAGTCAA GATTAGAATG TGGTTCTGAT
3241 GAGAGTTGCT CCTTGAGTGG TTCTTCTTGT CCAGTTGTT CATGCTTGA CGAGCACGTG
3301 ACCAAAATTTC ATAATGCATT TCTTCCAATT CTTTCAAAGC TTGTTGAGGA AGAATTCCA
3361 AAGTCAAGGG CCGTTGAAGT ACTTGAGACT CTAAAAGGCA TTCTCATGGA TCTTAAGAAA
3421 TCACCTTTA AAACAAGGAG GACCACAATC GATTCAAGT CTAATATCAA CCAATCACCT
3481 GTTCATCAGT TGCTGCCCTC TTTCAGTGG TTACTTAATG CTCTTCGAT GAGTGTATG
3541 GTAGATGGTG ATGGGAAGGT CGACATTCT CTGTCTGGAA GTGCTGTTAA AACCTCTTG
3601 GCACTACCTG TTGCATTGGA TGCTTGGAC AACACAATCA ATAATCTAA CAGTTGTGAT
3661 AACTTTGTTG AAAAGTCTCT TTGCTTGCCT CTTTGAAGC TAAACAGAAAT ACATTCTGGT
3721 TTAGTCCTTG CAAAGTGGGA AGAAATTCCC TTTGGAATTG TGAGTTTTAT TTGGTTTTGC
3781 GGTCATCTT TGTACCATT CATTAAAAA GCTTCTCAAT CTCCCCGGTA AATTCAGGC
3841 CACATCAGCA TTTGATGGGA TACGCATGTC TAAGTGGAA GAACCAAATG GTG

SEQUENZE

Sequenza del cDNA del gene della TGasi di pero europeo, cv ‘Abate Fétel’

1 GACAAGATGG TGGCTCGGAG CTTCCAGGTT CACCACCAGG ACTCCACTTT CTCCGTTGAC
61 TACGACACCG ACGACGGCCT TGAAGTCCTC AAATTTCAAC TGTTCTCCCT CACCTCCGTT
121 CCCCCCGACG AGCAAAGTT AATTGGATTG GATGGAGATT CCGTTGTTTC GGACGATTG
181 GGCCCTCGTT CGATTTGCGA GAAGCTCCGA TTGGTTCGA TCAGCGAAGA ACAACAACAG
241 CAAGAAGAACAT CAGCGGCTCA GAACGACGAA TTGCTGAAAT CGGACGAGGA ATTGGCTAGA
301 ATGTTGCAGG CAGAGGAGGA AGCACTTTG TTTCAGCAGT ACGCTGCCCT TGAAGATGAT
361 GGAAAATTGAG AGCAAAAAACT GCGGCCTTAT GTCAGTCAAG TTCTTATGTA CGAGGACCCG
421 GTGCGCCAGG AGGCTGCTCG GAAAACAGTC CCTATAGAAG AGCTTGAGGA GAAGGCATTG
481 GTCAGTTGGG CCAAGGAGGG GAACTTAACCT CCGTCAAAAAA ATGAGCAAGA TCATGCTTC
541 CTGCTGCAGC TACTTTTTG GTTCAAACAG TCTTCAGTT GGGTTAACGC ACCTGCCGT
601 GATAGTTGTG GCAATAACAC CGTAAATAGT GGCATGGCTA ATGCAATTCC TTCAGAAATC
661 CGATATGGAG CTTCTCGAGT TGAGATCTAT AGATGCAATA TTTGTCCTAC GGTGACTCGT
721 TTCCCACGCT ACAATGATCC ACTAAAGCTT GTGAAACAA GAAGAGGGCG TTGTGGGAA
781 TGGGCCAATT GCTTTACGCT TTATTGCCGA GCTTTGGAT ATGAACCCCG TCTTATCTTG
841 GATTCACGG ATCATTTTG GACAGAGTGC TTCTCACAAAT CTTGGGAAG ATGGATGCAT
901 CTTGATCCTT GTGAAGCAGT GTATGATAAA CCCCTGTTAT ATGAAAGCGG GTGGAACAAG
961 AAATTGAATT ATGTAATTGC CATCACAAAA GATGGTGTGTT GTGATGTAAC CAAACGCTAT
1021 ACGAGGAAGT GGCATGAGGT ACTTTCTCGA CGTAACATCA TTACAGAGCC TGCATTGTCA
1081 GCTGTGCTTG CTAATATAAC AAAAGATTGT CGAAGAGGGT TTACTTCTCA AGTACTTTCT
1141 GTACTTGAAG AGCGTGATGA GAAGGAAAGA CAAGAACCTG AAAGAGGTTT GCATTCTACA
1201 GACAATGACT CAACCTCATT ACCTGGGAGA CGAAGTGGGG ACAAGGAATG GCGCAAGTCA
1261 AGATTAGAAT GTGGTTCTGA TGAGAGTTGC TCCTTGAGTG GTTCTTCTTG TCCAGTTCGT
1321 TCATGCTTTG ACGAGCACGT GACCAAAATT CATAATGCAT TTCTTCCAAT TCTTCAAAG
1381 CTTGTTGAGG AAGAATTCC AAAGTCAAGG GCCGTTGAAG TACTTGAGAC TCTAAAAGGC
1441 ATTCTCATGG ATCTTAAGAA ATCACCTTT AAAACAAGGA GGACCACAAT CGATTCAAGT
1501 TCTAATATCA ACCAATCACC TGTTCATCAG TTGCTGCCCT CTTTCACTGA GTTACTTAAT
1561 GCTCTTCGA TGAGTGTAT GGTAGATGGT GATGGGAAGG TCGACATTTC TCTGTCTGGA
1621 AGTGCTGTTA AAACCTCTT GGCACACTACCT GTTGCATTGG ATGCTTTGGA CAACACAATC
1681 AATAATCTTA ACAGTTGTGA TAACCTTGTT GAAAAGTCTC TTTGCTTGCC TCTTTGAAG
1741 CTAACAGAA TACATTCTGG TTAGTCCTT GCAAGTGGGG AAGAAATTCC CTTTGGAAATT
1801 GCCACATCAG CATTGATGG GATACGCATG TCTAAGTGGG AAGAACCAA TGGTGCACAA
1861 GGTTGCTGGA TCATGTATAA AGTATCTGAG AACCAAGATGC ACCAACATTGT GGCATATGAG
1921 TTAATGTCAG CCAGCGATGC ACCAGAAAGG GATCCCATGG ATTGGTTGT TGAAGGAAGC

1981 AATGATGAGG GATCAAGCTG GCATCTGTTG GATAAACGAA CTTCTCAAGT ATTTGATAGT
2041 CGTTTCAGC GTAAAACATT TCAGATTGCT TCTCAAGGTT TCCTCGCAAA TGCTTCAGG
2101 TTTAGATTAA TGGCCGTTAA AGACGTCCAA TCAAATTCCGC GGCTGCAATT AGGTAGCATT
2161 GACCTCTATT CTAGAAGCAG TTGATTCTTA CAGATCAGAA TCTCTCCATT TGGATACTCG
2221 ATTCCAGTGC GTTGAAGAAG CTTGACGCTG CCGTTTCATT TGTTTCAGCT GCCTGTAAGT
2281 CGCTCTCCTC CTGTCTTAAG GCATAGGGAG ACTGCCCATG GGATTTAGGA TCTATCCTAA
2341 AACTCCTTAC CAAGATGTTT CATATTTCCA TTGGGAATCT AGGAAAAACT GTTTCAAAA
2401 GAGACTAAAT ATGTGGAGAA TTTATGGAGG AATTAACCTG GCTCCCTCAA TATTCGCTAT
2461 GTGACCTGCT TACGGAACCTT CATATTTATG ATCGGAACCTT TTATATGTAT GATTGCAATG
2521 TTCGTATTAT AAAGCATTAT CTAACGACGA TAAAAAAAAA AAAAAAAAAA

SEQUENZE

Sequenza proteica dedotta per la TGasi di pero europeo, cv ‘Abate Fétel’

```
1 MVARSFQVHH QDSTFSVDYD TDDGLEVLKF QLFSLTSVPP DEQKLIGFDG DSVVSDDSGL
61 VSICEKLRLV SISSEEQQQE ESAAQNDELL KSDEELARML QAEEEALLFQ QYAAPEDDGK
121 FEQKLRPYVS QVLMYEDPVR QEAARKTVPI EELEEKALVS LAKEGNLTPS KNEQDHAFLL
181 QLLFWFKQSF SWVNAPACDS CGNNNTVNSGM ANAIPSEIRY GASRVEIYRC NICPTVTRFP
241 RYNDPLKLVE TRRGRCGEWA NCFTLYCRAF GYEPRLILDF TDHVWTECFS QSLGRWMHLD
301 PCEAVYDKPL LYESGWNKKL NYVIAITKDG VCDVTKRYTR KWHEVLSRRN IITEPALSAY
361 LANITKDCRR GFTSQVLSVL EERDEKERQE LERGLHSTDN DSTSLPGRRS GDKEWRKSRL
421 ECGSDESCSL SGSSCPVRSC FDEHVTKIHN AFLPILSKLV EEEFPKSRAV EVLETLKGI
481 MDLKKSPFKT RRTTIDSVSN INQSPVHQLL PSFTELLNAL SMSVMVDGDG KVDISLSGSA
541 VKTSLALPVA LDALDNTINN LNSCDNFVEK SLCLPLLKLN RIHSGLVLAS GEEIPFGIAT
601 SAFDGIRMSK WEEPNGAQGC WIMYKVSENQ MHELVAYELM SASDAPERDP MDWVVEGSND
661 EGSSWHLLDK RTSQVFDSRF QRKTFQIASQ GFLANAFRFR FLAVKDVQSN SRLQLGSI
721 YSRSS
```

Appendice B

Allineamenti

ALLINEAMENTI

Figura B.1: allineamento fra le sequenze dei geni SFBB di pero giapponese e melo; le regioni su cui sono stati disegnati i primer sono colorate secondo lo schema riportato alla fine dell'allineamento.

MdSFBB3-alpha	TCTTGGTTCTCTCATCAACAATCTAAGTTTGTCGCCA	342
MdSFBB3-beta	TCTTGGTGCACCTCATCAATAGACCAAGTTTGTCGCCA	158
MdSFBB9-alpha	TCATGGTGCACATCATCAATAGTCAAGTTTGTCGCCA	192
MdSFBB9-beta	TCTTGGTGCACATCATCAATAGTCAAGTTTGTCGCCA	187
PpSFBB4-alpha	TCATGGTGCACATCATCAATAGTCAAGTTTGTCGCCA	243
PpSFBB5-alpha	TCATGGTGCACATCATCAATAGTCAAGTTTGTCGCCA	173
PpSFBB4-gamma	TCTTGGTGCACCTTATCAATAGTCCATGTTTGTCGCCA	198
PpSFBB5-gamma	TCTTGGTGCACCTTATCAATAGTCCATGTTTGTCGCCA	203
PpSFBB4-beta	TCTTGGGGCACGATCATCAACAATCCAAGTTTATGCCA	288
PpSFBB5-beta	TCTTGGTGCACGGTCATCAACAATCCAAGTTTATGCCA	228
	*** * *** * * * * * * * * * * * * * *	
MdSFBB3-alpha	AACACCTCAGCAATTCCGGACAACAAACTCTCATCCTC	382
MdSFBB3-beta	AACACCTAACAAATTCTGTGGACAACAAACTCTCATCCTC	198
MdSFBB9-alpha	AACACCTCAGCAATTCCATAGACAACAAACTTTCATCCTC	232
MdSFBB9-beta	AACACCTAACAAATTCCATGGACTACAAACTCTCGTCCAC	227
PpSFBB4-alpha	AACACCTCAGCAATTCCGGACAACAAATTCTCATCCTT	283
PpSFBB5-alpha	AACACCTCAGCAATTCCGGACAACAAATTCTCATCCTT	213
PpSFBB4-gamma	AACACCTCAGCGATTCTGTGGACAACAAACTCTCATCCTC	238
PpSFBB5-gamma	AACATCTCAGCGATTCTGTGGACAACAAACTCTCATCCTC	243
PpSFBB4-beta	AACACCTCAGCAATTCCGGTTGACAACAAATTCTCATCCTC	328
PpSFBB5-beta	AACACCTCAGCAATTCCGGTTGACAACAAAAATTCTCATCCTC	268
	**** * * * * * * * * * * * * * * * * * * *	
MdSFBB3-alpha	CACTTGTATCCTTCTCAACCAGTTCTCAGGCTCACATTTC	422
MdSFBB3-beta	CACTTGTATCCTTCTCAACCAGTTCTCAGGCTCACATTTC	238
MdSFBB9-alpha	CACTGGTATCCTTCTTAACCAGTTGTCAGGTTCATGTTTC	272
MdSFBB9-beta	CACTTGTATCCTTCTCAACCAGTTGTCAGGTTCATGTTTC	267
PpSFBB4-alpha	CACTTGCATCCTTCAACCAGATCTCAGGTTCATGTTTC	323
PpSFBB5-alpha	CACTTGCATCCTTCAACCAGATCTCAGGTTCATGTTTC	253
PpSFBB4-gamma	CACATGTATCCTTCTCAACTGTTCTCAGGCTCACGTTGC	278
PpSFBB5-gamma	CACTTGTATCCTTCTCAACTGTTCTCAGGCTCAAGTTGC	283
PpSFBB4-beta	CACTTCTATCCTTCTCCACCGTTCTCAGATGCCGTTTC	368
PpSFBB5-beta	CACTTGTATCCTTCTCCACCGTTCTCATATGCCGTTTC	308
	*** * * * * * * * * * * * * * * * * * * *	
MdSFBB3-alpha	CCAGACCAGAGTTGGAAACAAGAAGTTTCTGGTCCATGA	462
MdSFBB3-beta	CCGGACCAGAGTTGGAAACAAGAAGTTTCTGGTCCACGA	278
MdSFBB9-alpha	TCGGATAGGAGTTGGAAACAAGACGTTTCTGGTCCATGA	312
MdSFBB9-beta	CCGGACAGGAGTTGGAAACAAGACGTTTCTGGTCCATGA	307
PpSFBB4-alpha	GC GGACAGGAGTTGGAAAAGAGATGTTTCTGGTCTATGA	363
PpSFBB5-alpha	GC GGACAGGAGTTGGAAAAGAGATGTTTCTGGTCTATGG	293
PpSFBB4-gamma	TCGGAAAAGAGTTGGAAACAAGAAGTTCATGGTCCGTGA	318
PpSFBB5-gamma	TCGGAAAAGAGTTGGAAACAAGAAGTTCATGGTCCGTGA	323
PpSFBB4-beta	CCGGACAGAAAGTTGGAAACGAGAATATTCTGGTCCATGA	408
PpSFBB5-beta	CCGGACAGGAAGTTGGAAACGAGAAGTATTCTGGTCCATGA	348
	* * * * * * * * * * * * * * * * * * *	

ALLINEAMENTI

MdSFBB3-alpha	TTAATTTTCCATTGATAGTGATGAGAACAACCTTCATTA	502
MdSFBB3-beta	TTAATCTTCCATTGATAGTGATGAAACACAACCTTCATTA	318
MdSFBB9-alpha	TTAATCTTCCATTGATAGTGATAAGAATAAACCTTATTA	352
MdSFBB9-beta	TTAATCTTCCATTGATAGTGATGAGCACAAACCTTCATTA	347
PpSFBB4-alpha	TTAATCTTCCATTGAAAGTGATGAGCACAAACCTTGATTA	403
PpSFBB5-alpha	TTAATCTTCCATTGATAGTGATGAGCACAAACCTTCATTA	333
PpSFBB4-gamma	TTAATCTTCCATTGATGGTGATGAG.....CTTCATTA	352
PpSFBB5-gamma	TTAATCTTCCATTGATGGTGATGAG.....CTTCATTA	357
PpSFBB4-beta	TTAATCTTCCCATTGATAGTGATGAGTACAACCTTATTA	448
PpSFBB5-beta	TTAATCTTCCGTATTGATAGTGATGAGCACAAACCTTATTA	388
	***** * * * * * * * * * * * * * * * *	
MdSFBB3-alpha	CGATGTTGAGGACCTAAATAT...ACCGTTGCATTGAAA	539
MdSFBB3-beta	TGATGTTGAGGACCTAATTAT...ACCGTTCCATTGGA	355
MdSFBB9-alpha	TGATGTTGAGGACCTAAATAT...ACCATTCCAATGGAA	389
MdSFBB9-beta	TGATGTTGAGGACATAAATAT...ACCGTTCCAATGGAA	384
PpSFBB4-alpha	TGATGTCGAGGACCTAAATAT...ACCCTTCCATATGGAA	440
PpSFBB5-alpha	TGATGTCAGGACCTAAATAT...ACCCTTCCATATGGAA	370
PpSFBB4-gamma	TGATATTGAGGACCTAACTATTGACCGTTCTAAAGGAT	392
PpSFBB5-gamma	TGATATTGAGGACCTAACTATTGACCGTTCTAAAGGAT	397
PpSFBB4-beta	TGATGTTGAGGACCTAAATAT...ACAATTCCATTGGA	485
PpSFBB5-beta	TGATGTTGAGGACCTAAATGT...ACAATTCCATTGGA	425
	*** * * * * * * * * * * * * * * *	
MdSFBB3-alpha	GATCATGATTTGACTGATTTGGTTATTGCAATGGGA	579
MdSFBB3-beta	GATCATGATTTGACTGATTTGGTTATTGCAATGGGA	395
MdSFBB9-alpha	GATCAGGACAATGTAGAGCTTCACGGTTATTGCAATGGGA	429
MdSFBB9-beta	GATCAAGACAATGTAGAGCTTCACGGTTACTGCAATGGGA	424
PpSFBB4-alpha	GTTCAAGACAATGTACAGCTTACGGTTATTGCAATGGGA	480
PpSFBB5-alpha	GTTCAAGACAATGTACAGCTTACGGTTACTGCAATGGAA	410
PpSFBB4-gamma	GGCCCTCATGAAGTAGAGATTACCGGTTATTGCGATGGGA	432
PpSFBB5-gamma	GGCCCTCATGAAGTAGAGATTACCGGTTATTGCGATGGGA	437
PpSFBB4-beta	GATCATGATCATGTATCGATTACGGCTATTGCAATGGGA	525
PpSFBB5-beta	GATCATGAACATATACGGTTACGGATATTGCAATGGGA	465
	* * * * * * * * * * * * * * * *	
MdSFBB3-alpha	TACTCTGTGAGAACCTGGAAAAATGTTCTTTATGCAA	619
MdSFBB3-beta	TTGTCTGTGAGATGCAGGGAAAAATGTTCTTTATGCAA	435
MdSFBB9-alpha	TTGTCTGTGATAATAGTAGGGAAAAATGTTCTTTATGCAA	469
MdSFBB9-beta	TTGTCTGTGATAATAGTAGGGAAAAATGTTCTTTATGCAA	464
PpSFBB4-alpha	TTGTCTGTGATAATAGTAGGGGAAAAATGTTCTTCTATGCAA	520
PpSFBB5-alpha	TTGTCTGTGATAATAGTAGGGGAAAAATGTTCTTCTATGCAA	450
PpSFBB4-gamma	TTGTTTGTGAAACAGTAGACGAAAATTCTTTGTGCAA	472
PpSFBB5-gamma	TTGTTTGTGAAACAGTAGACGAAAATTCTTTGTGCAA	477
PpSFBB4-beta	TTGTCTGTCTGATAAGTAGGGAAAAATGCTTTTATACAA	565
PpSFBB5-beta	TTGTCTGTCTAATAGTAGGGAAAAATGCTTTTATACAA	505
	* * *** * * * * * * * * * * *	

MdSFBB3-alpha	TCCTGCAACGAGGAATTCAAGCAACTTCCGATTCATGC	659
MdSFBB3-beta	TCCTGCAACGAGAGAATTAGCAACTTCCGGATTCATGC	475
MdSFBB9-alpha	TCCTGCAACTGGAGAATTCAAGCAACTTCCGATTCATCC	509
MdSFBB9-beta	TCCTGCAACGGAGAATTCAAGCAACTTCCAATTCACCT	504
PpSFBB4-alpha	TCCTGCAACAAGAGAATTCAAGCAACTTCCGATTCATCC	560
PpSFBB5-alpha	TCCTGCAACAAGAGAATTCAAGCAACTTCCGATTCATCC	490
PpSFBB4-gamma	TCCTGCAACGGGGAAATTCAAGCAACTTCCGATTCATGC	512
PpSFBB5-gamma	TCCTGCAACGGGGAAATTCAAGCAACTTCCGATTCATGC	517
PpSFBB4-beta	TCCTGCAACGAGGAACCTGAAGCAACTACCTGATTCATGC	605
PpSFBB5-beta	TCCTGCAACGAGGAACCTCAAGCAACTACCTGATTCATGC	545
***** * * * * * * * * *		
MdSFBB3-alpha	CTTCTTCTACCTTCCCCTC...CTGAGAGAAAATTGAAAT	696
MdSFBB3-beta	CTTCTTCAAC...CCCCTC...CCAAGGGAAAATTGAAAT	509
MdSFBB9-alpha	CTTCTTCTACCTCTTCCC.....AAGGAAAGATTCGGAT	543
MdSFBB9-beta	CTTCTTCTACCCCTTCCC.....AAGGAAAGATTCGGAT	538
PpSFBB4-alpha	CTTCTTCTACCCCTTCCC.....ACGGGAAAATTCGGAT	594
PpSFBB5-alpha	CTTCTTCTACCCCTTCCC.....ACGGGAAAGATTCGGAT	524
PpSFBB4-gamma	CTTCTTCTACCCCTTCCC...CGGGGGGTAAAAGAAAAATTG	552
PpSFBB5-gamma	CTTCTTCTACCCCTTCCC...CGGGGGGTAAAAGAAAAATTG	557
PpSFBB4-beta	CTTCTTCTACCTTCCCCTC...CGGAGGGAAAATTGAAAT	642
PpSFBB5-beta	CTTCTTCTACCTTCCCCTC...CGGAAGGAAAATTGAAAT	582
***** * * * * * * * * *		
MdSFBB3-alpha	TGGAAACTAACTTCAAGCTTGGAATTGGATATGATTG	736
MdSFBB3-beta	TGGAAACGACTTTCAAGCATTAGGATTGGCTATGATTG	549
MdSFBB9-alpha	TGGAAACGGTCTTAAGGGATTGGGATTGGCTATGATTG	583
MdSFBB9-beta	TGGAAACGACTTTAAAGGAATGGGATTGGCTATGATTG	578
PpSFBB4-alpha	TGGAAACGCTCTTAAAGGATTGGGATTGGCTATGATTG	634
PpSFBB5-alpha	TGGAAACGCTCTTAAAGGATTGGGATTGGCTATGATTG	564
PpSFBB4-gamma	TGGAAACGACACTAAAGGACTGGGATTGGTTATGATTG	592
PpSFBB5-gamma	TGGAAACGACACTTAAGGGACTGGGATTGGTTATGATTG	597
PpSFBB4-beta	TGGAATCGACCTTCAAGGAATGGGATTGGCTATGATAG	682
PpSFBB5-beta	TGGAATCGACCTTCAAGGAATGGGATTGGCTATGACAG	622
***** * * * * * * * * *		
MdSFBB3-alpha	CAATGCTAAAGAATACAAGGTTGTGCGAATTATAGAAAAT	776
MdSFBB3-beta	CAATGCTAAAGAATACAAGGTTGTGCGAATTGTGGAAAAT	589
MdSFBB9-alpha	CAAAGCTAAAGAATACAAGGTCGTGCGAATTATAGAAAAT	623
MdSFBB9-beta	CAAAGCTAAAGAATACAAGGTTGTGCGAATAATAGAAAAT	618
PpSFBB4-alpha	CAAAGCTAAAGAATATAAGGTTGTGCGAATTATAGAAAAT	674
PpSFBB5-alpha	CAAAGCTAAAGAATATAAGGTTGTGCGAATTATAGAAAAT	604
PpSFBB4-gamma	CAAAGCTAAAGAATACAAGGTTGTGCGAATTATAGATAAT	632
PpSFBB5-gamma	CAAAGCTAAAGAATACAAGGTTGTGCGAATTATAGATAAT	637
PpSFBB4-beta	CAAAGCTAAAGAATACAAGGTTGTGAAAATTATAGAAAAT	722
PpSFBB5-beta	CAAAGCTAAAGAATACAAGGTTGTGAAAATTATAGAAAAT	662
*** * * * * * * * * *		

ALLINEAMENTI

MdSFBB3-alpha	T.....GTGAGTATTCA	GATGATGAACGAACATATTATT	810
MdSFBB3-beta	T.....GTGAGTATTCA	GATGATGAGCAAACATTTATC	623
MdSFBB9-alpha	TGTGATTGTGAGTATTCA	GAAAGGTGAAGAACATATTATG	663
MdSFBB9-beta	TGTGATTGTGAGTATTCA	GAGATGGAGAACATACTATG	658
PpSFBB4-alpha	TGTGATTGTGAGTATTCA	GAAAGTAAAGAACATATTATG	714
PpSFBB5-alpha	TGTGATTGTGAGTATTCA	GAAAGTAAAGAACATATTATG	644
PpSFBB4-gamma	TATGATTGTGAGTATTCA	GAAAGATGGAGAACATATATCG	672
PpSFBB5-gamma	TATGATTGTGAGTATTCA	GAAAGATGGAGAACATATATCG	677
PpSFBB4-beta	T.....GTGAGTATTCA	GAGATGCAACATTTCTC	756
PpSFBB5-beta	T.....GTGAGTATTCA	GAGATGCGAACATTTCTC	696
	*	*****	*
		*****	*
		*****	*

MdSFBB3-alpha	ATCGTATTGCTTCTCACACGGCTGAGTATA	CACACCAC	850
MdSFBB3-beta	ATCGTATAGCATTCTCACACAGCTGAGGTATA	ACACCAC	663
MdSFBB9-alpha	AGCGTATTCTTCTTCCTCACACGGCTGAGGTATA	ACACCAT	703
MdSFBB9-beta	AGCGTATTCTTCTTCCTCACACGGCTGAGGTATA	ACACCAT	698
PpSFBB4-alpha	AGCGTATTCTTCTTCCTCACACGGCTGAGGTATA	ACACACCAC	754
PpSFBB5-alpha	AGCGTATTCTTCTTCCTCACACGGCTGAGGTATA	ACACACCAC	684
PpSFBB4-gamma	AGCATATTGCTTCTTACACTGCTGAAGTATA	ACACCAT	712
PpSFBB5-gamma	AGCATATTGCTTCTTACACTGCTGAAGTATA	ACACCAT	717
PpSFBB4-beta	ATCGTATTGCTTCTCACACGGCTGAGGTATATG	TTAC	796
PpSFBB5-beta	ATCGTATTGCTTCTCACACGGCTGAGGTATGT	TAC	736
	*	***	*
		*****	*
		*****	*
		*****	*

MdSFBB3-alpha	AACTGCTAATTCTTGAAGAGATCAAGATTGATATATCA	890					
MdSFBB3-beta	GGCTGCTAACTTTGAAAGAGATCAAGATTGATATATCA	703					
MdSFBB9-alpha	GACTGCTGACTCTTGAAGAGATCAAGATTGATGTATCA	743					
MdSFBB9-beta	GACTGCTAACTCTTGAAGAGATCAAGATTGATATATCA	738					
PpSFBB4-alpha	GGCTGCTAACTCTTGAAGAGATCAAGATTGATACATCA	794					
PpSFBB5-alpha	GGCTGCTAACTCTTGAAGAGATCAAGATTGATACATCA	724					
PpSFBB4-gamma	GGCTGCTAACTCTTGAAGAGATCACGATTGATATACTA	752					
PpSFBB5-gamma	GGCTGCTAACTCTTGAAGAGATCACGATTGATATACTA	757					
PpSFBB4-beta	GACTACTAACTCTTGGAGAGTGATCGAGATTGAAATATCA	836					
PpSFBB5-beta	GACTACTAACTCTTGGAGAGTGATGAGATTGAAATATCA	776					
	***	***	*****	***	*****	*	*

MdSFBB3-alpha	AGTACAAC.....CTATTCTTGTCTCGTT	915		
MdSFBB3-beta	ATTAACAC.....CTATCATGTTCTTGT	728		
MdSFBB9-alpha	AGTGATAC.TGATC..CGTATTGCATTCTTATTCTGT	780		
MdSFBB9-beta	ATTGAAAC.TCGTT..GGTATTGCATTCCGTATTCTGT	775		
PpSFBB4-alpha	AGTGATAC.TGATC..CGTATTGCATTCCCTATTCTGT	831		
PpSFBB5-alpha	AGTGATAC.TGATC..CGTATTGCATTCCCTATTCTGT	761		
PpSFBB4-gamma	AGTAAAATATTATCATATAGCGAACCATATTCTATT	792		
PpSFBB5-gamma	AGTAAAATATTATCATATAGCGAACCATATTCTATT	797		
PpSFBB4-beta	AGTGATAC.....CTATAATTGTTCTTGT	861		
PpSFBB5-beta	AGTGATAC.....CTATAACTGTTCTTGT	801		
	*	*	*****	**

MdSFBB3-alpha	CAGTGTTCATGAAGGGATTTGTTATTGGTATGCAACAGA	955
MdSFBB3-beta	CAGTGTACTTGAAGGGATTTGTTATTGGTTGCAGCGA	768
MdSFBB9-alpha	CAGTGTACTTGAAGGGATTTGTTATTGGTTGCATGCCA	820
MdSFBB9-beta	CAGTGTACTTGAATGGATTTGTTATTGGTTGCATATGA	815
PpSFBB4-alpha	CAGTGTACTTGAAGGGATTTGTTATTGGTTGCAAACGA	871
PpSFBB5-alpha	CAGTGTACTTGAAGGGATTTGTTATTGGTTGCAAACGA	801
PpSFBB4-gamma	CAGTGTATTGAAAGGGGTTTGTTATTGGTTGCATGCCA	832
PpSFBB5-gamma	CAGTGTATTGAAAGGGGTTTGTTATTGGTTGCATGCCA	837
PpSFBB4-beta	CAGTATACTTGAAGGGATTTGTTATTGGTTGCAGCGA	901
PpSFBB5-beta	CAGTATACTTGAAGGAATTGTTATTGGTTGCAGCGA	841
	***** * **** * ***** * ** **	
 MdSFBB3-alpha	 TGGCGAGGAATACATACCTTCTTTGATTTAGGTGATGAC	995
MdSFBB3-beta	TAACGGAGGAATACATACCTGCATTTATTAGGTGATGAG	808
MdSFBB9-alpha	TAACGGGGAAATACATATTTCATTGATTTAGGTGATGAG	860
MdSFBB9-beta	TAACGGGGAGTACGTATTTCATTGATTTAGGTGATGAG	855
PpSFBB4-alpha	TAACGGGGAAATACATATTTCATTGATTTAGGTGATGAG	911
PpSFBB5-alpha	TAACGGGGAAATACATATTTCATTGATTTAGGTGATGAG	841
PpSFBB4-gamma	TGTAGAGGAATACATATTTCATTGATTTAGCTAATGAA	872
PpSFBB5-gamma	TGTAGAGGAATACATATTTCATTGATTTAGCTAATGAA	877
PpSFBB4-beta	TGACGAGAAATACGTACTTCATTGATTTAGGTGATGAG	941
PpSFBB5-beta	TGACGAGGAATGCATACTTCATTGATTTAGGTGATGAG	881
	* * * * * * * * * *	
 MdSFBB3-alpha	 ACATTTCATATAATACAAC TG CTTCTAGGAGAGAACCCG	1035
MdSFBB3-beta	ACATTTCATATAATACAATTGCCTTCTAGGAGAGAACCCG	848
MdSFBB9-alpha	ATATTCATATAATAGAATTGCCTTCTAGGAGAGAACCCG	900
MdSFBB9-beta	ATATTCATAAAATAGACTTG CTTCTAGGAGAGAACCCG	895
PpSFBB4-alpha	ATATTCGTAGAATAGAATTGCCTTTAGGAGAGAACCCG	951
PpSFBB5-alpha	ATATTCGTAGAATAGAATTGCCTTTAGGAGAGAACCCG	881
PpSFBB4-gamma	ATATCTGATATGATAGAATTGCCTTTAGGGAGAACCCG	912
PpSFBB5-gamma	ATATCTGATATGATAGAATTGCCTTTAGGGAGAACCCG	917
PpSFBB4-beta	ATATTCATAGAATACAATTGCCTTATAGGAAAGAACCCG	981
PpSFBB5-beta	ATATTCATAGAATACAATTGCCTTGTAGGAAAGAACCCG	921
	* * * * * * * * * *	
 MdSFBB3-alpha	 GTTTTAGTTTATTATTTCTACGAAATGAATCCCT	1075
MdSFBB3-beta	GTTTTACGTTGATTATTTCTGC GAAATGAATCCCT	888
MdSFBB9-alpha	GTTTTAAATTATGGTATTCTGTATAATGAATCCAT	940
MdSFBB9-beta	ATTTTAAGTTTATGGTATTCTGTATAATGAATCTGT	935
PpSFBB4-alpha	ATTTTAATT TATGGTCTTTCTGTATAATGAATCCGT	991
PpSFBB5-alpha	ATTTTAATT TATGGTCTTTCTGTATAATGAATCCGT	921
PpSFBB4-gamma	GTTTTAACGTGATGGTATTCTGTATAATGAATCCCT	952
PpSFBB5-gamma	GTTTTAACGTGATGGTATTCTGTACAATGAATCCCT	957
PpSFBB4-beta	GTTTTTGTATTGATCTTTCTGTATAATGAATCCAT	1021
PpSFBB5-beta	GCTTTTATTGATCTTTCTGTATAATGAATCCAT	961
	*** * * * * * * * *	

ALLINEAMENTI

MdSFBB3-alpha	TGCTTCTTTTGCTCTCGTTATGATAGGAGTGAGGATTCT	1115
MdSFBB3-beta	TGCTTCTTTTGCTCTCCCTATAATCCAAGTGAGGATTCT	928
MdSFBB9-alpha	CACTTCTTATTGCTCTCGTTATGAA.....GAGGATTGT	974
MdSFBB9-beta	CACTTCATATTGCTATCGTCACGAA.....GAGGATTGT	969
PpSFBB4-alpha	CGCTTCTTATTGCTCTCGTTACGAA.....GAGGATTGT	1025
PpSFBB5-alpha	CGCTTCTTATTGCTCTCGTTACGAA.....GAGGATTGT	955
PpSFBB4-gamma	CACTTATTATTG CAGTAGTTACGAA.....GAGCCTTCC	986
PpSFBB5-gamma	CACTTATTATTG CAGTAGTTATGAA.....GAGCCTTCC	991
PpSFBB4-beta	CGCTTCTTTTGCTCTCATTATGATAA...TGACAATGCT	1058
PpSFBB5-beta	CGCTTCTTTTGCTCTCATTATGATGAAAGTGACAATTCT	1001
	*** * **** * * * * *	

MdSFBB3-alphaGAATCATGTGAAATATGGTAATGGATGACT	1146
MdSFBB3-betaAAATTATTGAAATATGGTAATGGACGACT	959
MdSFBB9-alphaAAATTATTGAAATATGGTAATGGACGACT	1005
MdSFBB9-betaGAATTATTGAAATATGGTAATGGACGACT	1000
PpSFBB4-alphaAAATTGCTGAAATATGGTAATGGACGACC	1056
PpSFBB5-alphaAAATTGCTGAAATATGGTAATGGACGACT	986
PpSFBB4-gammaACATTATTGAAATATGGTAATGGACTACG	1017
PpSFBB5-gammaACATTATTGAGATATGGTAATGGACTACG	1022
PpSFBB4-beta	GGAATATTGAAATACTTGAAATATGGTAATGGACGACT	1098
PpSFBB5-beta	GGAATATTGAAAATACTTGAAATATGGTAATGGACGACT	1041
	* *** ***** * **	

MdSFBB3-alpha	ATGACGGTGATAAAAGTTCATGGACAAACCTTTAACAT	1186
MdSFBB3-beta	ATGATGGAGTTAGCAGTTCATGGACAAACCTCTAACTGT	999
MdSFBB9-alpha	ATGACGGAGTTAAGAGTTCATGGACAAACCTCTAACTGT	1045
MdSFBB9-beta	ATGATGGAGTTAAGAGTTCATGGACAAACCTACTAACGAT	1040
PpSFBB4-alpha	ATGATGGAGTGAAGAGTTCATGGACAAACCTCTAACCGT	1096
PpSFBB5-alpha	ATGATGGAGTGAAGCGTTCATGGACAAACCTCTAACCGT	1026
PpSFBB4-gamma	ATGACGGATTTAAGAGTTCATGGACAAACACCTAACTGC	1057
PpSFBB5-gamma	ATGACGGATTTAAGAGTTCATGGACAAACACCTAACTGC	1062
PpSFBB4-beta	GTGACGGAGTCAAGAGTTCATGGACAAACACTAACCCCT	1138
PpSFBB5-beta	GTGATGGAGTTAAGAGTTCGTGGACAAACTGCTAACCCCT	1081
	*** * * *** * ***** * **	

MdSFBB3-alpha	TGGACCCCTTACAAGGCATTAAGAAGGCCCTGACATTTGG	1226
MdSFBB3-beta	TGGACCCCTTAAAGGC GTT GAGTATCCTTGACACTTTGG	1039
MdSFBB9-alpha	TGGACCCCTTAAAGACATTGATTATCATTGACACTAGGG	1085
MdSFBB9-beta	TGGACCCCTTAAAGACATTGATTATCATTGACACTTTGG	1080
PpSFBB4-alpha	TGGACCCCTTAAAGACATTGAGTCTCCTTCGACATTTGG	1136
PpSFBB5-alpha	TGGACCCCTTAAAGACATTGAGTCTCCTTCGACATTTGG	1066
PpSFBB4-gamma	TGGACCTTTATAGATATGGAGTTCCATTGACACCTTGG	1097
PpSFBB5-gamma	TGGACCTTTCAAGATATGGAGTTCCATTGACACCTTGG	1102
PpSFBB4-beta	TGGACCCCTTGAAGACAATGAGAATTATTAAACATTGG	1178
PpSFBB5-beta	TGGACCCCTTAAAGGCAATGAGAATTATTAAACATTGG	1121
	***** * * * * *** * **	

MdSFBB3-alpha	AGAAGTGATGAGCTTCTTATGCTTGATTCCGATGGAAGAG	1266
MdSFBB3-beta	AAATGTGATGAGCTTCTTATGCTGCATCCGATGGAAGGG	1079
MdSFBB9-alpha	AAATTTGACGAGGTCTTATGCTTGGCTCGTATGGAAGAG	1125
MdSFBB9-beta	AAATGTGACGAGGTCTTATGCTTGGCTCATATGGAAGAG	1120
PpSFBB4-alpha	AAATGTGACGAGGTCTTATCCTTCCTCATATGAAAAG	1176
PpSFBB5-alpha	AAATGTGACGAGGTCTTATCCTTCCTCATATGAAAAG	1106
PpSFBB4-gamma	AAACGTGATGAGCTTCTTATGATTGCTTCCGATGGAAGAG	1137
PpSFBB5-gamma	AAACGTGACGAGCTTCTTATGATTGCTTCCGATGGAAGAG	1142
PpSFBB4-beta	AAAAGTGATGAGCTTCTTATGGTTACCTCCGATAAAAGAG	1218
PpSFBB5-beta	AAAAGTGACGAGCTTCTTATTGTTACCTCCGATCAAAGAG	1161
	* * *** * * * * * *	
MdSFBB3-alpha	CCACCTCTTATAATTATGACTAGAATCTCAAGTATCT	1306
MdSFBB3-beta	CTACCTCTTATAATTCTAGTACCGGAAATCTTAAGTATCT	1119
MdSFBB9-alpha	CCGCCTTTGTAATTCTAGTACCGGAAATCTCAAGTATCT	1165
MdSFBB9-beta	CAGCCTCTTGTAATTCTAGTACCGGAAATCTTAGGTATCT	1160
PpSFBB4-alpha	CCACCTCTTATAATTCTGGTACCGGAAATCTCAAGTATCT	1216
PpSFBB5-alpha	CCACCTCTTATAATTCTAGTACCGGAAATCTCAAGTATCT	1146
PpSFBB4-gamma	CTGCCTCTTATAATTCTGTACCGGAAATTCAAATATCT	1177
PpSFBB5-gamma	CTGCCTCTTATAATTCTGTACCGGAAATTCAAGTATCT	1182
PpSFBB4-beta	CCATCTCTTTAATTCTAGTACCGGAAATCTCAAGTATAT	1258
PpSFBB5-beta	CCATCTCTTATAATTCTAGTACCGGAAATCGCAAGTATAT	1201
	* * *** * * * * * *	
MdSFBB3-alpha	TCATATTCCCTCTTCTCAATAGGGTTGTGGATTTGAA	1346
MdSFBB3-beta	TCATATTCCCTCTTCTCAATAAGGGTTGTGGATTTGAA	1159
MdSFBB9-alpha	TCATATTCCCCCTATTATCAATT.....GGATGATAGA	1198
MdSFBB9-beta	TCATATTCCCTCTTATTATCAAGT.....GGATGATGGA	1193
PpSFBB4-alpha	TCATATTCCCTCTTATTATCAATT.....GGATGATAGA	1249
PpSFBB5-alpha	TCATATTCCCTCTTATTATCAATT.....GGATGATAGA	1179
PpSFBB4-gamma	TCATATTCCCTGTATTATTAATCAGAATA.GGTTGTCGA	1216
PpSFBB5-gamma	TCATATTCCCTGTTATTATTAATCAGAATA.GGATTGTAGA	1221
PpSFBB4-beta	TCATATTCCCTCTTATTATGAATAAGGTTACAGATTCGAA	1298
PpSFBB5-beta	TCATATTCCCTCTTATTATCAATAAGATTAACAGATTCGAA	1241
	***** * * * * * * * * *	
MdSFBB3-alpha	GTTCTTATTATGTGAAAAGTATTGTTCATGTCAGTGAA	1386
MdSFBB3-beta	GGTCTTATTATGTGAAAAGTATTGTTCCACTCAAGTGAG	1199
MdSFBB9-alphaTTATGTGAAAAGTATTGTTCCAGTCAGTGAA	1230
MdSFBB9-betaTTATGTGAAAAGTATTGTTCCAGTCAGTGAA	1225
PpSFBB4-alphaTTATGTGAAAACTATTGTTCCAGTCAGTGAA	1281
PpSFBB5-alphaTTATGTGAAAACTATTGTTCCAGTCAGTGAA	1211
PpSFBB4-gammaTTACGTGAAAAGTATTATCTAGTCATTGAG	1248
PpSFBB5-gammaTTACGTGAAAAGTATTATCTAGTCATTGAG	1253
PpSFBB4-beta	GCTCTTATTATGTGAAAAGTATTGTTCAAGTGAG	1338
PpSFBB5-beta	GCTCTTATTATGTGAAAAGTATTGTTCAAGTGAG	1281
	*** * * * * * * * * *	

ALLINEAMENTI

MdSFBB3-alpha	TTGAGGA . AAAAGTTCCATTTCTCCTAATTAAATTGTT	1425
MdSFBB3-beta	TTGAGGG . AGAAGTTCCATTTCTCCTATTAAATTGTT . . .	1234
MdSFBB9-alpha	TTGAGGG . AAAAGTTACCTTTCTCTTATTAAATTGTT	1269
MdSFBB9-beta	TTGAGGG . AAAAGTTCCATTTCTCCTATTAAATTGTT	1264
PpSFBB4-alpha	TTAAGGA . CAAA GTTCC ATTTAATTGTT	1310
PpSFBB5-alpha	TTGAGGA . CAAA GTTCC ATTTAATTGTT	1240
PpSFBB4-gamma	TTGAGGG . AACGTTCC A	1265
PpSFBB5-gamma	TTGAGGG . AACGTTCC ATTTCTCCGAA	1282
PpSFBB4-beta	TTGAGGG . CAAACTCCATTTCTCCTATTAAATTGTT	1377
PpSFBB5-beta	TTGAGGG GCAAAGTTC	1297
	*** * *** *	

MdSFBB3-alpha	GCCTGACATGAGGCTTGAATTGCATCTTTAATTAAATC	1465
MdSFBB3-beta	1234
MdSFBB9-alpha	GCATGATATAAAAGCTTGAGTT GCATCTCTAATTGCT	1309
MdSFBB9-beta	GCATGATACAAGGCTTGAGTT GCATCTCTAATTGCT	1304
PpSFBB4-alpha	GCATGATATA AGGGTTGAGTTTCTTCTTCAAGTTTGT	1350
PpSFBB5-alpha	GCATGATATA AGGGTTGAGTTTCTTCTTCAAGTTTGT	1280
PpSFBB4-gamma	1265
PpSFBB5-gamma	AAAAAAA.....	1293
PpSFBB4-beta	GCATGATATAATGCTTGAGTTGCATTTTAATTGG	1417
PpSFBB5-beta	1297

MdSFBB3-alpha	TGCTTGTTG	1475
MdSFBB3-beta	1234
MdSFBB9-alpha	TTGTGGC CTTG TACTATGTTGCTT	1335
MdSFBB9-beta	TTGTGGC CTTG TATTATTGTATAA	1330
PpSFBB4-alpha	TTGCGGCCTTG TACATGTTGCTTA	1376
PpSFBB5-alpha	TTGTGGCCTTG TACATGTTGCTTA	1306
PpSFBB4-gamma	1265
PpSFBB5-gamma	1293
PpSFBB4-beta	TTTGCGGCCTTGAAAAA.....	1443
PpSFBB5-beta	1297

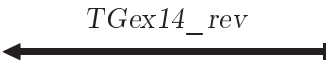
- Pp α -for/rev
- Pp β -for/rev/FL-rev
- Pp γ -for/rev
- Md9 α -for
- Md9 β -for
- Md9-rev
- Md3 α -for/rev
- Md3 β -for/rev
- Md3-for/rev

Figura B.2: allineamento fra la EST MD4C477240 e il cDNA di *AtPng1p*; sono segnalate le regioni sulle quali sono stati realizzati i primer per l'amplificazione del gene omologo di pero.

AtPng1p	AATTGAATTATGTCATTGCGATTCTAAGGACGGGGTTTGATG	1045
MD4C477240	9

<i>TGex12_for</i>		
AtPng1p	TTACCAAGCGATATAACAAAGAAATGGCATGAGGTTTATCTAGAA	1090
MD4C477240	TAACCAAACGCTATACGAGGAAGTGGCTTGAAGTTCTTCGAC	54
	***** * * * * * * * * * * * * * * * * * * *	
AtPng1p	GAACCTCTCACAACTGAATCATCTTGCAAGATGGCTTCGAACCC	1135
MD4C477240	GTAACATCATTACAGAGCCTGCATTGTCAGCTGTGCTTGCTAATA	99
	* * *** * * * * * * * * * * * * * * *	
AtPng1p	TGACAAGGGAACGACGACGTAGCTTAATGTTGAATCTCTATCTA	1180
MD4C477240	TAACAAAAGACTGTCGAAGAGGGTTACTTCTCAAGTACTTTCTG	144
	* *	
<i>TGex13_rev</i>		
AtPng1p	AGCTTGAAATTACGAGACAGAAATGAGCAGGAAGAACTAGAGAGAA	1225
MD4C477240	TACTTGAAGAGCGTGATGAGAAGGAAAGGCAAGAACCTCGAAAGAG	189
	***** * * * * * * * * * * * * * * * * * * *	
AtPng1p	ATCTGCATTCCGCAGATAATGCCTCAGTTCTTACCCGGAAAGGC	1270
MD4C477240	GTTTGCATTCTACAGACAATGACTCAAGCTCATTACCTGGGAGAC	234
	* *	
AtPng1p	AAAGTGGGACAGGGAATGGCGTATTATGAGATCAGAATTGGTT	1315
MD4C477240	GAAGTGGGACAAGGAATGGCGCAAGTCAAGATTAGAATGTGGTT	279
	***** *	
AtPng1p	CAGACGAAAACTCATCTGTCAAGCTCTTCCCTTGGCCAGTCGCA	1360
MD4C477240	CTGATGAGAGTTGCTCCTTGAGTGGTTCTTGTGTCAGTCGTT	324
	* *	
AtPng1p	AATGCGTTATGACCATGTGACCAACATTATGACTCGTTCTAC	1405
MD4C477240	CATGCTTGA CGAGCACGTGACCAAAATTCTATAATGCATTTCTCC	369
	*** *	
AtPng1p	CTATCCTTACTCAGTTGAGGACGGCTTACCTGTAGCAAGAA	1450
MD4C477240	CAATTCTTCAAAGCTTGTGAGGAAGAATTCCAAGTCAAGGG	414
	* *	

ALLINEAMENTI

AtPng1p	CAAATGAGGTACTTAAGATGATCAAGCAAGTCCTAGTGGATCTGA	1495
MD4C477240	CCGTTGAAGTACTTGAGATTCTAAAAGGCATTCTCATGGATCTTA	459
	* *** ***** *** * * * * * *** *	
AtPng1p	AGAATGCCCTTACAAAACAAGGAAGGCTCGATTGACTTAGATT	1540
MD4C477240	AGAAATCACCTTTAAAACAAGGAGGGCCACAATCGATTCA	504
	*** * *** * **** * *** * * * * * *	
AtPng1p	CAGATAACTCAAGTTCATTCGGAGCAGTTCTCCGCACTAG	1585
MD4C477240	CTAATATCAACCAATCACTTGTTCATCAGTTGTTGCCCTTTCA	549
	* *** * *** * * * * * *** * * * *	
AtPng1p	GCGATTGCTTCTCGCTTTCTTAAAGAGCGAGAGAGACACAA	1630
MD4C477240	CTGAGTTACTTAATGCTCTTCATGAGTGTATGGTAGATGGTG	594
	** *** *** * **** * * * * * ***	
AtPng1p	ACGGTAAAAGTGTACAATATCCGTAGACGGAAACTCACTAAAA	1675
MD4C477240	ATGGGAAAGTTGACA...TTCTCTGGCTGAAAGTGCTGTTAAAA	636
	* *** *** *	
AtPng1p	CTGCTATAGCATTGCCAGTTGCATTGGACGCCGTTAAGGGAACTTG	1720
MD4C477240	CTCTTTGGCACTACCTGTTGCATTGGATGCTTGGACGACACAA	681
	*** * *** *	
AtPng1p	TTGCTGACCTCAGCAAATACCAAAACTTAAACAAAGATTCACTGT	1765
MD4C477240	TAAATAATCTAACAAATTGTGATAACTTGTGAAAGTCTCTTT	726
	* *	
AtPng1p	CTTTCCACTTGTAAACAGAACAGGGTATGCTCTGGTCTGTCC	1810
MD4C477240	GCTTGCCTCTCTGAAGCTAACAGAACATACATTCTGGTCAGTCC	771
	*** * *** *	
AtPng1p	TCGCAAGTGGTGAAGAGCTTCTCTGGCATTGCAACCGCAGCTT	1855
MD4C477240	TTGCAAGTGGCGAACAAATTCTCTTGGAAATTGCCACTTCAGCGT	816
	* *	
		
AtPng1p	TTGATGGAATCCAAGAGTCCAAATGGAAAGAACCAAATGGTGC	1900
MD4C477240	TTGATGGATACGCAAGTCTAAGTGGAAAGAACCAAATGGTGCAC	861
	***** *	
AtPng1p	AAGGCTGTTGGATCGTGTACAAAACACTCTACAAACCAGATGCACC	1945
MD4C477240	GAGGTTGTTGGATCATGTATAAGTATCAGAGAACCAAGATGCACG	906
	*** *	

AtPng1p	AACTCATAGCATACGAACTCATGTCAGCTAATGATGCCAGAGA	1990
MD4C477240	AACTGTGGCGTATGAGTTAATGTCAGCCAACGATGTACCAAGAAA	951
	***** *	
AtPng1p	GAGACCCCCAAAGATTGGATTCTTGAAGGAAGTAACGATGGTGGTT	2035
MD4C477240	GGGATCCCATGGATTGGGTTGAACGAAGCAATGATGAGGGAT	996
	* *	
AtPng1p	CGACATGGTGTGTCCTAGACAAGCAAACTAGTCAGGTATTGAGG	2080
MD4C477240	CAAGCTGGCATCTGCTGGATAAACAAACTTCTCAAGTATTTGATA	1041
	* *	
AtPng1p	AACGGTTCCAACGCAAATCCTACAAAATAACTACACCTGGATTCC	2125
MD4C477240	GTCATTTTCAGCGTAAAACATTTCAAATTGCTCTCAAAGTTCC	1086
	* *	
AtPng1p	AAGCAAATCTTTCAGGTTCCGGTTTTAAGTGTACGAGACGTGA	2170
MD4C477240	TCGCAAAC.....	1094

ALLINEAMENTI

Figura B.3: allineamento fra la EST MD4C271570 e il cDNA di *AtPng1p*; sono segnalate le regioni sulle quali sono stati realizzati i primer per l'amplificazione del gene omologo di pero.

		<i>TG_5'_for</i>	
AtPng1pAAAAGACTTGGATCAAACAAACTTGAGAGATCATTTGG	40	
MD4C271570	TCGATTGGCTTCGCTTCCAT.TTGCACCGATCATTCCG	44	
	* *** * * ** * * ***** *		
		<i>TG_atg_for</i>	
AtPng1p	..AATTCAATAATCTGAG....AAAATGTTGCTCGGAAATTG	79	
MD4C271570	CCACTGTCACCGCCGAAAGGACAAGATGTTGCTCGGAGCGTCC	89	
	* * *** * ** ***** * ***** *		
		<i>Start</i>	
AtPng1p	TCGTCCGCCATGAAGATTGAGCTTCGATGTCGACTACAAACACTG	124	
MD4C271570	AGGTTCACCAAGGACTCCACTTCTCCGTTGACTACGACACCG	134	
	* * *** * * * * *** ** ***** * *** *		
		<i>TGex2_for</i>	
AtPng1p	AAGATGGCTTGAGGTTTACGATTCTAATCTTCTCCCTCACTT	169	
MD4C271570	ACGACGGTCTTGAAGTCTCAAATTCAACTGTTCTCCCTCACCT	179	
	* * ***** * * * **** * * * ***** *		
AtPng1p	→ TAGTTCCCTCTGAAGAACAAAAGATCGTGCAGAGATGATAATC	214	
MD4C271570	CCGTTCCCCCGACGAACAAAAGTTAATTGGATTGATGGAGATT	224	
	***** * * * ***** * *** *** *		
AtPng1p	GATTGGTGTCTGATGAGTCTGATCTCGCTTATCTGAGAGAC	259	
MD4C271570	CCGTTGGTTCGGACGATTGGACCTCGTTGATTATTGAGAAC	269	
	* * * * * * * * *** * * * * * *		
AtPng1p	TTCGATTAGTTTCAGTTGGAGAAGATT.....CTGTAGAGAA...	296	
MD4C271570	TCCGATTGGTTCGATCAGCGAAGAACAAACCGCAAGAAGAAT	314	
	* ***** * * * * * * * * * * * * *		
AtPng1pCTCAGA.TGCAGAAATGTTGAAATCAGATGAGAATTGG	334	
MD4C271570	CAACGGTTCAGAACGACGAAATTGCTAAATCGGACGAGGAATTGG	359	
	***** * * * * * * * * *** * * * * * * * * *		
AtPng1p	CTCGAATGTTGCAGGCAGAAGAAGATGCTATTATGTTAACAGT	379	
MD4C271570	CTAGAATGTTGCAGGCAGAGGAGGAAGCACTTTGTTCAAGCT	404	
	*** *		

AtPng1p	TTGTCGCTGCACGAGATAACGGGAATTCAAGGGAGAATTAGGC	424
MD4C271570	ACGCTGCCATGAAGATGATGGAAAATTCAAGCAACAATACGGC	449
	* *	
AtPng1p	CTTATGTTAGTCAGTTCTCATGTATGAAGATCCAGTCCGCCAAG	469
MD4C271570	CTTATGTCAGTCAGTTCTTATGTATGAGGACACGGTGCGCCAGG	494
	* *	
AtPng1p	ATGCTGCTCGAAAGACTGTTCTAAAGACGAGCTTGAGGAGAAAG	514
MD4C271570	AGGCTGCTCGAAAACAGTCCCTATAGAAGAGCTTGAGGAGAAGG	539
	* *	
AtPng1p	CATTGGTTCTCTGGCCAAGGAAGGGATTGGAGCCATCGAAAG	559
MD4C271570	CATTGGTCAGTTGGCCAAGGAGGGAACTTAACCTCGTCAAAAA	584
	* *	
AtPng1p	AGGAAAGAGACTACGCTTCCTGCTTCAGCTTCTTTCTGGTTCA	604
MD4C271570	ATGAGCAAGATCATGCTTCCTGCTGCAGCTACTTTTGGTTCA	629
	* *	
<i>TGex7_for</i>		
AtPng1p	AAAAATCCTTCAGATGGGTCAATGAACCTCCTTGTGACTTTTG	649
MD4C271570	AACAGTCTTCAGTTGGTTAACCTCGCCTGCTGTGATAGTTGTG	674
	* *	
<i>TGex7_rev</i>		
AtPng1p	GTAACAAAACCATAAGGCCAGGGATGGAAACCCACTTACCTCGG	694
MD4C271570	GCAATAACACCGTAAATATTGGCATGGCTACTGCAATTCTTCAG	719
	* *	
AtPng1p	AGCTTGCTTATGGAGCAAATCGAGTTGAAATATATCGCTGTACCA	739
MD4C271570	AAATGCGATATGGAGCTCTCGAGTTGAGACCTATAAGATGCAATA	764
	* *	
<i>TGex8_for</i>		
AtPng1p	TGTGTCCAACAACACTCGATTCCCTCGGTACAACGATCCGCTAA	784
MD4C271570	TTTGGTCTACGGTGACTCGTTCCCACGCTACAATGATCCACTAA	809
	* *	
<i>TGex9_rev</i>		
AtPng1p	AGCTCGTAGAACAAAGAAAGGTGCGTGCAGAGAGTGGCGAACT	829
MD4C271570	AGCTTGTGAAACAAGAAGAGGGCGTTGTGGGAATGGGCCAACT	854
	* *	

ALLINEAMENTI

AtPng1p	GCCTTACGCTATACTGCCGCACGTTGGCTATGATTCTCGTTGA	874
MD4C271570	GCCTTACGCTTATTGCCGAGCTTTGGATATGAATCCCGTCTTA	899
	***** *	
AtPng1p	TAATGGACTTCACAGATCACGTGTGGACAGAATGCTACTCTCACT	919
MD4C271570	TCTTGGATTTCACAGATCATGTTGGACAGAGTGCTTCTACAAT	944
	* *	
AtPng1p	CGTTAAAGAGGTGGATCCATCTGACCCCTGTGAAGGAGTGTATG	964
MD4C271570	CTTGGAAGATGGATGCATCTGATCCTTGTGAAGCAG.....	983
	* * * * * * * * * * * * * * *	
AtPng1p	ATAAACCCATGTTATATGAGAAAGGATGGAATAAAAATTGAATT	1009
MD4C271570	983

Figura B.4: allineamento fra la sequenza genomica di *AtPng1p*, la EST MD4C477240 di melo e i primi due frammenti del gene omologo di pero, clonati dalle varietà ‘Abate Fétel’ (sequenza “AF_ex12-14”) e ‘William’ (sequenza “Wil_ex12-14”). Sono marcate le porzioni codificanti, corrispondenti agli esoni 12, 13 e 14 del gene.

Esone 12

AtPng1p	TAAGGACGGGGTTGTATGTTACCAAGCGATATAACAAAG	2480
MD4C477240TTTGTGATGTAACCAAACGCTATACGAGG	29
AF_ex12-14CGCTATACGAGG	12
Wil_ex12-14CGCTATACGAGG	12
	** * * * *	
AtPng1p	AAATGGCATGAGGTAATGCTACACGAAAACAGTGACTGTT	2520
MD4C477240	AAATGGCATGAGGTAATGCTACACGAAAACAGTGACTGTT	43
AF_ex12-14	AAATGGCATGAGGTAATCACACTAACGAAAGACTGGTACTGGCTTTA	52
Wil_ex12-14	AAATGGCATGAGGTAATCACACTAACGAAAGACTGGTACTGGCTTTA	52
	** * * * *	
AtPng1p	TTGTTCTCGACACCAAAAACAGTGACTTCTATTAAATCAC	2560
MD4C477240	43
AF_ex12-14	ATTAATTGCCTAGATTTCTATTAGGAGATCTACCATGCG	92
Wil_ex12-14	ATTAATTGCCTAGATTTCTATTAGGAGATCTACCATGCG	92
AtPng1p	TCATGGCTTGCTGTTGTTTCCACTGTAGGT.....	2592
MD4C477240	43
AF_ex12-14	AACTTTATTTGAGCCGTGATGAGGAAGACTTCTTTGT	132
Wil_ex12-14	AACTTTATTTGAGCCGTGATGAGGAAGATTCTTTGT	132

Esone 13

AtPng1pTTTATCTAGAAGAACTCTCACAACTGAATC	2622
MD4C477240TCTTCTCGACGTAACATCATTACAGAGCC	73
AF_ex12-14	TTTGCAGGTACTTCTCGACGTAACATCATTACAGAGCC	172
Wil_ex12-14	TTTGCAGGTACTTCTCGACGTAACATCATTACAGAGCC	172
	* * * * * * * * * * * *	
AtPng1p	ATCTTGCAGATGGCTTCAACCTGACAAGGAAACGA	2662
MD4C477240	TGCATTGTCAGCTGTGCTTCTAATATAACAAAAGACTGT	113
AF_ex12-14	TGCATTGTCAGCTGTGCTTCTAATATAACAAAAGATTGT	212
Wil_ex12-14	TGCATTGTCAGCTGTGCTTCTAATATAACAAAAGATTGT	212
	* * * * * * * * * * * *	

ALLINEAMENTI

AtPng1p	CGACGTAGCTTAATGTTGAATCTCTATCTAACGCTTGAAT	2702
MD4C477240	CGAAGAGGGTTTACTTCTCAAGTACTTCTGTACTTGAAG	153
AF_ex12-14	CGAAGAGGGTTTACTTCTCAAGTACTTCTGTACTTGAAG	252
Wil_ex12-14	CGAAGAGGGTTTACTTCTCAAGTACTTCTGTACTTGAAG	252
	***** *	
AtPng1p	TACGAGACAGAAATGAGCAGGAAGAACTAGAGAGAAATCT	2742
MD4C477240	AGCGTGATGAGAAGGAAAGGCAAGAACTCGAAAGAGGTTT	193
AF_ex12-14	AGCGTGATGAGAAGGAAAGACAAGAACTTGAAAGAGGTTT	292
Wil_ex12-14	AGCGTGATGAGAAGGAAAGACAAGAACTTGAAAGAGGTTT	292
	*** *	
AtPng1p	GCATTCCGCAGATAATGCCTCAGTTCTTACCCGGAAGG	2782
MD4C477240	GCATTCTACAGACAATGACTCAAGCTCATTACCTGGGAGA	233
AF_ex12-14	GCATTCTACAGACAATGACTCAACCTCATTACCTGGGAGA	332
Wil_ex12-14	GCATTCTACAGACAATGACTCAACCTCATTACCTGGGAGA	332
	***** *	
AtPng1p	CAAAGTGGGGACAGGAATGGCGTATTATGAGATCAGAAT	2822
MD4C477240	CGAAGTGGGGACAGGAATGGCGCAAGTCAGATTAGAAT	273
AF_ex12-14	CGAAGTGGGGACAGGAATGGCGCAAGTCAGATTAGAAT	372
Wil_ex12-14	CGAAGTGGGGGCAGGAATGGCGCAAGTCAGATTAGAAT	372
	* ***** *	
AtPng1p	TTGGTTCAAGACGAAAACTCATCTGTCAGCTCTTCTTGT	2862
MD4C477240	GTGGTTCTGATGAGAGTTGCTCCTTGAGTGGTTCTTGTG	313
AF_ex12-14	GTGGTTCTGATGAGAGTTGCTCCTTGAGTGGTTCTTCTG	412
Wil_ex12-14	GTGGTTCTGATGAGAGTTGCTCCTTGAGTGGTTCTTCTG	412
	***** *	
AtPng1p	CCCAGTTCGCAAATGCGTTGATGACCATGTGACCAACATT	2902
MD4C477240	TCCAGTTCGTTCATGCTTGTACGAGCACGTGACCAAAATT	353
AF_ex12-14	TCCAGTTCGTTCATGCTTGTACGAGCACGTGACCAAAATT	452
Wil_ex12-14	TCCAGTTCGTTCATGCTTGTACGAGCACGTGACCAAAATT	452
	***** *	
AtPng1p	TATGACTCGTTCTACCTATCCTTACTCAGTCGTTGAGG	2942
MD4C477240	CATAATGCATTCTCCAAATTCTTCAAAGCTTGTGAGG	393
AF_ex12-14	CATAATGCATTCTCCAAATTCTTCAAAGCTTGTGAGG	492
Wil_ex12-14	CATAATGCATTCTCCAAATTCTTCAAAGCTTGTGAGG	492
	*** *	

AtPng1p	ACGGCTTACCTGTAGCAAGAACAAATGAGGTACTTAAGAT	2982
MD4C477240	AAGAATTTCAAAGTCAAGGGCCGTTGAAGTACTTGAGAT	433
AF_ex12-14	AAGAATTTCAAAGTCAAGGGCCGTTGAAGTACTTGAGAC	532
Wil_ex12-14	AAGAATTTCAAAGTCAAGGGCCGTTGAAGTACTTGAGAC	532
	* * * * * *** * *** * * * * * * *	
AtPng1p	GATCAAGCAAGTCTAGTGGATCTGAAGAACATGCCCTTAC	3022
MD4C477240	TCTAAAAGGCATTCTCATGGATCTTAAGAACATCACCTTT	473
AF_ex12-14	TCTAAAAGGCATTCTCATGGATCTTAAGAACATCACCTTT	572
Wil_ex12-14	TCTAAAAGGCATTCTCATGGATCTTAAGAACATCACCTTT	572
	* * * * * * * * * * * * * * * * * *	
AtPng1p	AAAACAAGGAAGGCTGATTGACTTTAGATTAGATAACT	3062
MD4C477240	AAAACAAGGAGGGCCACAATCGATTGACTTTCTAATATCA	513
AF_ex12-14	AAAACAAGGAGGACCACAATCGATTGACTTTCTAATATCA	612
Wil_ex12-14	AAAACAAGGAGGACCACAATCGATTGACTTTCTAATATCA	612
	* *	
AtPng1p	CAAGTTCATTCGGAGCAGTTCTTCCGCACTAGGCGA	3102
MD4C477240	ACCAATCACTTGTTCATCAGTTGCTGCCCTTTCACTGA	553
AF_ex12-14	ACCAATCACCTGTTCATCAGTTGCTGCCCTTTCACTGA	652
Wil_ex12-14	ACCAATCACCTGTTCATCAGTTGCTGCCCTTTCACTGA	652
	* * * * * * * * * * * * * * * * * *	
AtPng1p	TTTGCTTCTCGCTTTCTTAAAGAGCGAGAGAGACACA	3142
MD4C477240	GTTACTTAATGCTCTTCAATGAGTGTATGGTAGATGGT	593
AF_ex12-14	GTTACTTAATGCTCTTCAATGAGTGTATGGTAGATGGT	692
Wil_ex12-14	GTTACTTAATGCTCTTCAATGAGTGTATGGTAGATGGT	692
	* * * * * * * * * * * * * * *	
AtPng1p	AACGGTAAAAGTGTACAAATATCCGTAGACGGGAAACTCA	3182
MD4C477240	GATGGGAAA...GTTGACATTCTCTGGCTGGAAAGTGTG	630
AF_ex12-14	GATGGGAAAG...GTCGACATTCTCTGGCTGGAAAGTGTG	729
Wil_ex12-14	GATGGGAAAG...GTCGACATTCTCTGGCTGGAAAGTGTG	729
	* * * * * * * * * * * * * * *	
AtPng1p	CTAAAAACTGCTATAGCATTGCCAGTTGCATTGGACGCGTT	3222
MD4C477240	TTAAAAACTCTTGGCACTACCTGTTGCATTGGATGCTTT	670
AF_ex12-14	TTAAAAACCTCTTGGCACTACCTGTTGCATTGGATGCTTT	769
Wil_ex12-14	TTAAAAACCTCTTGGCACTACCTGTTGCATTGGATGCTTT	769
	* *	

ALLINEAMENTI

AtPng1p	AAGGGAACTTGTTGCTGACCTCAGCAAATACCAAAACTTA	3262
MD4C477240	GGACGACACAATAATAATCTTAACAATTGTGATAACTTT	710
AF_ex12-14	GGACAAACACAATCAATAATCTTAACAGTTGTGATAACTTT	809
Wil_ex12-14	GGACAAACACAATCAATAATCTTAACAGTTGTGATAACTTT	809
	* * * * * * * * * * * * * * *	

AtPng1p	AACAAAGATTCACTGTCTTCCACTTGTAAACAGAACAA	3302
MD4C477240	GTTGAAAAGTCTCTTGCTTGCCTCTTCTGAAGCTAAACA	750
AF_ex12-14	GTTGAAAAGTCTCTTGCTTGCCTCTTCTGAAGCTAAACA	849
Wil_ex12-14	GTTGAAAAGTCTCTTGCTTGCCTCTTCTGAAGCTAAACA	849
	* * * * * * * * * * * * * * *	

AtPng1p	GGGTATGCTCTGGTTCTGCCTCGCAAGTGGTGAAAGAGCT	3342
MD4C477240	GAATACATTCTGGTTAGTCCTTGCAAGTGGCGAAGAAAT	790
AF_ex12-14	GAATACATTCTGGTTAGTCCTTGCAAGTGGGGAAAGAAAT	889
Wil_ex12-14	GAATACATTCTGGTTAGTCCTTGCAAGTGGGGAAAGAAAT	889
	* * * * * * * * * * * * * * *	

AtPng1p	TCCTTCTGGCATTG.....TAAGTAGTATCCTATTACAAG	3377
MD4C477240	TCCTTTGGATTG.....	804
AF_ex12-14	TCCCTTGGATTGTGAGTTTATTGGTTTGCCTTC	929
Wil_ex12-14	TCCCTTGGATTGTGAGTTTATTGGTTTGCCTTC	929
	* * * * * * * * *	

AtPng1p	TCTCATCTTACCATTTAACAAACTTGTGTTGGTTATTCC	3417
MD4C477240	804
AF_ex12-14	TCTTGTACCATTCAATTCAAAAGCTTCTCAATCTCCCC	969
Wil_ex12-14	TCTTGTACCATTCAAAAGCTTCTCAATCTCCCC	969

AtPng1p	TAAATATCATGCCTCACTCACTGCCTCAGGCAACCGCAGC	3457
MD4C477240	814
AF_ex12-14	GGTAAATTCAGG.....	992
Wil_ex12-14	AGTAAATTCAGG.....	992
	* * * * *	

Esone 14

AtPng1p	TTTGATGGAATCCAAGAGTCCAAATGGGAAGAACCAAAT	3497
MD4C477240	TTTGATGGATACGCAAGTCTAAGTGGGAAGAACCAAAT	854
AF_ex12-14	ATTTGATGGGATACGCATGTCTAAGTGGGAAGAACCAAAT	1032
Wil_ex12-14	ATTTGATGGGATACGCATGTCTAAGTGGGAAGAACCAAAT	1032
	* * * * * * * * * * * * * * *	

AtPng1p	GGTGC AAAAGGTATGAAATATAGCCTGATCCAAA ACTATG	3537
MD4C477240	GGTGCACGAGG	865
AF_ex12-14	GGTG	1036
Wil_ex12-14	GGTG	1036

ALLINEAMENTI

Figura B.5: allineamento fra il cDNA di *AtPng1p* e la sequenza assemblata per il cDNA del gene omologo di pero. I codoni di start (ATG) e stop (TGA) della traduzione sono marcati nei box; sono inoltre riportate le regioni dei due primer realizzati per il clonaggio da cDNA della sequenza codificante “full-length” del gene.

Pc_cDNA	0
AtPng1p	AAAAGACTTGGGATCAAACAACTTGAGAGATCATTGGAATT	45
	<i>TG_FL_for</i>	
Pc_cDNAGACAAGATGGTGGCTCGGAGCTTCCAGGTTCACCA	36
AtPng1p	CAATAATCTGAGAAAATGGTTGCTCGAAATTGTCGTCCGCAT	90
	*** *	
	<i>Start</i>	
Pc_cDNA	CAGGACTCCACTTCTCCGTTGACTACGACACCGACGACGGCCT	81
AtPng1p	GAAGATTGAGCTTCGATGTCGACTACAAACACTGAAGATGGTCTT	135
	* * * * * *** *	
Pc_cDNA	GAAGTCCTCAAATTCAACTGTTCTCCCTCACCTCCGTTCCCCC	126
AtPng1p	GAGGTTTACGATTTCTAATCTTCTCCCTACTTAGTTCTCCT	180
	** *	
Pc_cDNA	GACGAGCAAAAGTTAATTGGATTGATGGAGATTCCGTTGTTCG	171
AtPng1p	GAAGAACAAAAGATCGTTGCCAGATGATAATCGATTGGTGTCT	225
	* *	
Pc_cDNA	GACGATTGGGCCTCGTTGATTGCGAGAAGCTCCGATTGGTT	216
AtPng1p	GATGAGTCTGATCTCGTTCTTATCTGAGAGACTTCGATTAGTT	270
	* *	
Pc_cDNA	TCGATCAGCGAAGAACACAAACAGCAAGAAGAACATCGCGCTCAG	261
AtPng1p	TCAGTTGGAGAAGATT.....CTGTAGAGAA.....CTCAG	301
	* *	
Pc_cDNA	AACGACGAATTGCTGAAATCGGACGAGGAATTGGCTAGAACATTG	306
AtPng1p	A.TGCAGAAATGTTGAAATCAGATGAAGAACATTGGCTCGAACATTG	345
	* *	
Pc_cDNA	CAGGCAGAGGAGGAAGCAGTTGTTCAGCAGTACGCTGCCCT	351
AtPng1p	CAGGCAGAAGAAGATGCTATTATGTTAACAGTTGTCGCTGCA	390
	***** *	

ALLINEAMENTI

Pc_cDNA	ACGGATCATTTGGACAGAGTGCTTCTACAATCTTGGGAAGA	891
AtPng1p	ACAGATCACGTGTTGGACAGAAATGCTACTCTCACTCGTTAAAGAGG	930
	*** * ***** * * * * * * * * * * * * * * * *	
Pc_cDNA	TGGATGCATCTGATCCTGTGAAGCAGTGTATGATAAACCCCTG	936
AtPng1p	TGGATCCATCTGACCCTGTGAAGGAGTGTATGATAAACCCATG	975
	***** *	
Pc_cDNA	TTATATGAAAGCGGGTGGAACAGAAATTGAATTATGTAATTGCC	981
AtPng1p	TTATATGAGAAAGGATGGAATAAAAATTGAATTATGTCATTGCG	1020
	***** *	
Pc_cDNA	ATCACAAAAGATGGTGTGTTGTGATGTAACCAAACGCTATACGAGG	1026
AtPng1p	ATTCTAAGGACGGGGTTGTGATGTTACCAAGCGATATAACAAAG	1065
	** *	
Pc_cDNA	AAGTGGCATGAGGTACTTCTCGACGTAACATCATTACAGAGCCT	1071
AtPng1p	AAATGGCATGAGGTGTATCTAGAAGAACTCTACAACGTGAATCA	1110
	** * * * * * * * * * * * * * * * * * * *	
Pc_cDNA	GCATTGTCAGCTGTGCTTGCTAATATAACAAAAGATTGTCGAAGA	1116
AtPng1p	TCTTGCAAGATGGTCTTCGAACCTGACAAGGGAACGACGACGT	1155
	* *** * * * * * * * * * * * * * * * * * *	
Pc_cDNA	GGGTTTACTTCTCAAGTACTTCTGTACTTGAAGAGCGTGATGAG	1161
AtPng1p	AGCTTAATGTTGAATCTCTATCTAAGCTGAATTACGAGACAGA	1200
	* * * * * * * * * * * * * * * * * * *	
Pc_cDNA	AAGGAAAGACAAGAACTTGAAAGAGGTTGCATTCTACAGACAAT	1206
AtPng1p	AATGAGCAGGAAGAACTAGAGAGAAATCTGCATTCCGCAGATAAT	1245
	** * * * * * * * * * * * * * * * * * * *	
Pc_cDNA	GACTCAACCTCATTACCTGGGAGACGAAGTGGGACAAGGAATGG	1251
AtPng1p	GCCTCAGTTCTTACCGGAAGGCAAAGTGGGACAGGGAAATGG	1290
	* *** * * * * * * * * * * * * * * * * * *	
Pc_cDNA	CGCAAGTCAAGATTAGAATGTGGTTCTGATGAGAGTTGCTCCTG	1296
AtPng1p	CGTATTATGAGATCAGAATTGGTTCAGACGAAAATCTGTC	1335
	*** * * * * * * * * * * * * * * * * * *	
Pc_cDNA	AGTGGTTCTTCTTGTCCAGTTCGTTCATGCTTGAAGAGCAGTG	1341
AtPng1p	AGCTCTTCCTCTTGCCTCAGTCGCAAATGCGTTGATGACCATGTG	1380
	** * * * * * * * * * * * * * * * * * *	

Pc_cDNA	ACCAAAATTCTATAATGCATTTCTTCAATTCTTCAAAGCTTGT	1386
AtPng1p	ACCAACATTTATGACTCGTTCTACCTATCCTTACTCAGTCGT	1425
	***** * *** * * * * ***** * * * * * * * * *	
Pc_cDNA	GAGGAAGAATTCCAAGTCAAGGCCGTTGAAGTACTTGAGACT	1431
AtPng1p	GAGGACGGCTTACCTGTAGCAAGAACAAATGAGGTACTTAAGATG	1470
	***** *	
Pc_cDNA	CTAAAAGGCATTCTCATGGATCTTAAGAAATCACCTTTAAACA	1476
AtPng1p	ATCAAGCAAGTCCTAGTGGATCTGAAGAACATGCGCCTACAAACA	1515
	* *	
Pc_cDNA	AGGAGGACCACAATCGATTCAAGTTCTAATATCAACCAATCACCT	1521
AtPng1p	AGGAAGGCTCGATTGACTTTAGATTCAAGATAACTCAAGTTCAATT	1560
	**** *	
Pc_cDNA	GTTCATCAGTTGCTGCCCTCTTCACTGAGTTACTTAATGCTCTT	1566
AtPng1p	CCGGAGCAGTTCTTCCCGCACTAGGCGATTGCTTCGCTCTT	1605
	* *	
Pc_cDNA	TCGATGAGTGTATGGTAGATGGTATGGGAAG...GTCGACATT	1608
AtPng1p	TCTTTAAAGAGCGAGAGAGACACAAACGGTAAAGTGTACAATA	1650
	** *	
Pc_cDNA	TCTCTGTCTGGAAAGTGCTGTTAAACCTCTTGGCACTACCTGTT	1653
AtPng1p	TCCGTAGACGGGAAACTCACTAAACTGCTATAGCATTGCCAGTT	1695
	** *	
Pc_cDNA	GCATGGATGCTTGGACAAACACAATCAATAATCTAACAGTTGT	1698
AtPng1p	GCATGGACCGCTTAAGGAAACTGTTGCTGACCTCAGCAAATAC	1740
	***** *	
Pc_cDNA	GATAACTTGTGAAAAGTCTCTTGCTTGCCTCTTGAAGCTA	1743
AtPng1p	CAAAACTTAAACAAAGATTCACTGTCTTCCACTTGTAAACAG	1785
	* *	
Pc_cDNA	AACAGAAATACATTCTGGTTAGTCCTTGCAAGTGGGAAGAAATT	1788
AtPng1p	AACAGGGTATGCTCTGGTCTGTCCCTGCAAGTGGTGAAGAGCTT	1830
	***** *	
Pc_cDNA	CCCTTGGATTGCCACATCAGCATTTGATGGGATACGCATGTCT	1833
AtPng1p	CCTTCTGGCATTGCAACCGCAGCTTGTGAATCCAAGAGTC	1875
	*** * *** * * * * * * * * * * * * * * * * * *	

ALLINEAMENTI

Pc_cDNA	AAG TGG GAA GA ACC AA AT GG TG CA CA AG GTT GCT GG AT CAT GT AT	1878
AtPng1p	AAAT TGG GAA AGA ACC AA AT GG TG CAAA AGG CT GTT GG AT CGT GT AC	1920
	***** *	
Pc_cDNA	AAAG TAT CTG AGA ACC AG AT GC AC GA ACT TGT GGC AT ATG AG TT A	1923
AtPng1p	AAA AC ACT CT ACA ACC AG AT GC ACC AACT CAT AG CA TA CG A ACT C	1965
	* *	
Pc_cDNA	ATG TCAG CCAG CG AT GC ACC AG AA AGG GAT CCC AT GG ATT GGG TT	1968
AtPng1p	ATG TCT GCT AAT GAT GCC CAG AG AG AG AC CCA AAG ATT GG ATT	2010
	***** *	
Pc_cDNA	GTT GAA AGG AAG CA AT GAT GAG GG AT CA AGC TGG C AT CT GT TGG AT	2013
AtPng1p	CTT GAA AGG AAG TA AC GAT GG TG GTT CG AC AT GG TG TC CT AG AC	2055
	***** *	
Pc_cDNA	AAAC GAA ACT TCT CA AGT ATT TG AT AGT CG TTT CAG CG TAA AAC A	2058
AtPng1p	AA GCAA ACT AGTC AGG TATT CG AGG AAC GGT TCC AAC GCA AT CC	2100
	* *	
Pc_cDNA	TTT CAG ATT GCT TCT CA AGG TTT CTC GCA AT GCT T T CAG G T T	2103
AtPng1p	TAC AAA ATA ACT ACAC CT GG ATT CC AAG CAA AT CT T T CAG G T T C	2145
	* *	
Pc_cDNA	AGA TTT TGG CCG TTAA AGAC GT CC AAT CAA ATT CG CG GCT G CAA	2148
AtPng1p	CGG TTT TAAGT GTAC GAG AC GTGA ATT CG AC CT CG AG A CT A CAA	2190
	* *	
<i>TG_FL_rev</i>		
Pc_cDNA	TTAG GTAG CATT GAC CT CT ATT CT AGA AGC AGT TG ATT CT TAC AG	2193
AtPng1p	CTAG GGAG C AT CG AT CT GT AC AGA AGT CACC AG TG ATT.....	2228
	**** *	
<i>Stop</i>		
Pc_cDNA	ATC AGA AT CT CT CC ATT GG AT ACT CG AT TCC AGT GCG TT GAA AGA	2238
AtPng1p	.TAAT GAT GC ATT CAT GC AC AT CAA AT GT AT .AAATA	2263
	* *	
Pc_cDNA	AGCT T GAC GCT GCC GTT CATT TG TT CAG CT G C CT G TAAG T C G C	2283
AtPng1p	TTCC AAAA ACAT CA ATT GT TT GT CT TCA CT TT CT G CAC AT TGA	2308
	* *	
Pc_cDNA	TCT CCT CCT G . . TCT T AAG G C AT AG G G AG A CT G C C AT G G G AT T T	2326
AtPng1p	TGT ATT CCG TATT CGT GAG GG A ATT GG C CTT GCT ATT GCT AT G A	2353
	* *	

Pc_cDNA	AGGATCTATCCTAAAACCTCCTTACCAAGATGTTCATATTCCAT	2371
AtPng1p	AACACCTCTGTCTTAGACAGAGGCTTACA.GACTCATGGTCACAG	2397
	* * * * * * * * * * * * * * * *	
Pc_cDNA	TGGGAATCTAGGAAAAACT.GTTTCAAAAGAGACTAAATATGTG	2415
AtPng1p	TTGTTATCAACGAATAATAAGCCTCACGTGTAACCTAAC... .	2438
	* * *** * *** * * * * * * * * *	
Pc_cDNA	GAGAATTATGGAGGAATTAACCTGGCTCCCTCAATATCGCTAT	2460
AtPng1p	2438
Pc_cDNA	GTGACCTGCTTACGGAACTTCATATTTATGATCGGAACTTTATA	2505
AtPng1p	2438
Pc_cDNA	TGTATGATTGCAATGTTGTATTATAAGCATTATCTAACGACGA	2550
AtPng1p	2438
Pc_cDNA	TAAAAAAAAAAAAAAAAAAA	2569
AtPng1p	2438

ALLINEAMENTI

Figura B.6: allineamento fra la sequenza della proteina *AtPng1p* e la sequenza aminoacidica dedotta per il gene omologo di pero; la regione del dominio catalitico è segnalata e sono marcati i residui della triade catalitica Cys-His-Asp.

Pc_SP AtPng1p	MVARSRFQVHHQDSTFSVDYDTDDGLEVLKFQLFSLTSVPPDEQKL MVARKFVVRHEDSSFDVDYNTEDGLEVLRLIFSLTLVPPEEQKI ***** * *. * ***.* *** * .*****.* .**** ***.***.	45
Pc_SP AtPng1p	IGFDGDSVVSDDSGLVSICEKRLVSISEEQQQQEESAAQNDELL VAEDDNRLVSDESDLASL SERLRLVSVGEDSVENSD.....AEML . * .***.* * *. * .****. *. * .*	90 85
Pc_SP AtPng1p	KSDEELARMLQAEEEALLFQQYAAPEDDGKFEQKLRPYVSQVLMY KSDEELARMLQAEEADAIMFQQFVAARDNGEFEGRIRPYVSQVLMY *****.*****.*****. * . * * * .*****.*****	135 130
Pc_SP AtPng1p	EDPVRQEAARKTVPIEELEEKALVSLAKEGNLTPSKNEQDHAFLL EDPVRQDAARKTVPKDEEAKALVSLAKEGNFEPSSKEERDYAFLL *****.*****.*****.***** * * * * .*****	180 175
Pc_SP AtPng1p	QLLFWFKQSF SWVNAPACDSCGNNTVNSGMANAIPSEIRYGASRV QLLFWFKKSF R WVNEPPCDFCGNKTIGQGMGNPLTSELAYGANRV ***** * * * * . * . * * * . * * . * . * * * * . * * *	225 220
<i>Cys-256</i>		
Pc_SP AtPng1p	EIYRCNICPTVTRFPRYNDPLKL VETRRGRG[]GEWANCFTLYCRAF EIYRCTMCPTTRFPRYNDPLKL VETKKGRG[]GEWANCFTLYCRTF ***** . *** *****.*****.*****.*****.*****	270 265
<i>dominio catalitico</i>		
<i>Hys-283 Asp-300</i>		
Pc_SP AtPng1p	GYEPRLILDFTD[]HVWTECFSQSLGRWMHL[]PCEAVYDKPLL YESG GYDSRLIMDFTD[]HVWTECYSHSLKRWIHL[]PCEGVYDKPMLYEKG **. . **. *****.*****. * . * * * . * * * . * * * * . * * *	315 310
<i>dominio catalitico</i>		
Pc_SP AtPng1p	WNKKLN YVIAITKDGVC DVTKRYTRKWHEVLSRRNIITEPALS A V WNKKLN YVIAIS KDGVC DVTKRYTKK WHEVLSRRLTTESSLQDG *****.*****.*****.*****.*****. * . * . * . *	360 355
Pc_SP AtPng1p	LANITKDCRRGFTSQVLSVLEERDEKERQELERGLHSTDNDSTS L LRTLTRERRSLMFESLSKELDRNEQEELERNLHSADNASVSL * . * . * . * . * . * . * . * . * . * . * . * . * . * . *	405 400

Pc_SP	PGRRSGDKEWRKSRL ECG SDESCSL SGSSCPVRSCFDEHVTKIHN	450
AtPng1p	PGRQSGDREWRIMRSEFGSDENSSVSSSSCPVRKCVDDHVTNIYD	445
	*** ***.*** * * .**** .*. * ***** * *.*** *.	
Pc_SP	AFLPILSKLVEEEFPKSRAVEVLETLKGILMDLKKSPFKTRRTTI	495
AtPng1p	SFLPILTQFVEDGLPVARTNEVLKMIKQVLVDLKNAPYKTRKARL	490
	*****. **. * * *** .*. *.*** *.***. .	
Pc_SP	DSVSНИNQSPVHQLLPSFTELLNALSMSVMVGDGK . VDISLGS	539
AtPng1p	TLDSDNSSFPEQFLPALGDLLALSLKSERDTNGKSVTISVDGK	535
	* * . . . * * * .** ***. * * *.* * *, *	
Pc_SP	AVKTSLALPVALDALDNТИNNLNCDNFVEKSLCLPLLKLNRIHS	584
AtPng1p	LTKTAIALPVALDALRELVADLSKYQNLNKDSLSPFLVKQNRVCS	580
	** .*****. . * . * . * * . * * . * * . *	
Pc_SP	GLVLASGEEIPFGIATSAFDGIRMSKWEEPNGAQGCWIMYKVSEN	629
AtPng1p	GSVLASGEELPSGIATAAFDGIQESKWEEPNGAKGCWIVYKTLYN	625
	* *****.* *** * **** * ***** * *****.* * *	
Pc_SP	QMHELVAYELMSASDAPERDPMDWVVEGSNDEGSSWHL LDKRTSQ	674
AtPng1p	QMHQLIAYELMSANDAPERDPKD WILEGSNDGGSTWCVLDKQTSQ	670
	*** * .***** * ***** * *. .***** * *. * .*** ***	
Pc_SP	VFD SRFQRKTFQIASQGF LANAFRFRFLAVKDVQSNSRLQLGSID	719
AtPng1p	VFEERFQRKSYKITTPGFQANLFRFRFLSVRDVNSTSRLQLGSID	715
	. *.. * .** * **** * .**.* **** ***	
Pc_SP	LYSRSS 725	
AtPng1p	LYRSHQ 721	
	** .	

ALLINEAMENTI

Bibliografia

- [1] Potter D., Eriksson T., Evans R. C., Oh S. H., Smedmark J. E. E., Morgan D. R., Kerr M., Robertson K. R., Arsenault M. P., Dickinson T. A., Campbell C. S. (2007). Phylogeny and classification of Rosaceae. *Pl. Syst. Evol.* 266: 5-43.
- [2] Campbell C. S., Evans R. C., Morgan D. R., Dickinson T. A., Arsenault M. P. (2007). Phylogeny of subtribe Pyrinae (formerly the Maloideae, Rosaceae): limited resolution of a complex evolutionary history. *Pl. Syst. Evol.* 266: 119-145
- [3] Sax K. (1933). The origin of the Pomoideae. *Proc. Amer. Soc. Hort. Sci.* 30: 147-150
- [4] Evans R. C., Campbell C. S. (2002). The origin of the apple subfamily (Maloideae; Rosaceae) is clarified by DNA sequence data from duplicated GBSSI genes. *Amer. J. Bot.* 89: 1478-1484
- [5] Sansavini S., Ancarani V. (2008). Miglioramento genetico e nuove varietà in Europa. *Frutticoltura* 10: 28-36
- [6] Silva N. F., Goring D. R. (2001). Mechanisms of self-incompatibility in flowering plants. *Cell. Mol. Life Sci.* 58: 1988-2007
- [7] AA. VV. (2007). Il Pero. Bayer CropScience, Milano
- [8] Takayama S., Isogai A. (2005). Self-incompatibility in plants. *Annu Rev Plant Biol.* 2005;56: 467-89
- [9] Stein J. C., Howlett B., Boyes D. C., Nasrallah M. E., Nasrallah J. B. (1991). Molecular cloning of a putative receptor protein kinase gene encoded at the self-incompatibility locus of *Brassica oleracea*. *Proc. Natl. Acad. Sci. USA* 88: 8816-20

BIBLIOGRAFIA

- [10] Schopfer C. R., Nasrallah M. E., Nasrallah J.B. (1999). The male determinant of self-incompatibility in *Brassica*. *Science* 286: 1697-700
- [11] Suzuki G., Kai N., Hirose T., Fukui K., Nishio T., Takayama S., Isogai A., Watanabe M. and Hinata K. (1999). Genomic organization of the S locus: identification and characterization of genes in SLG/SRK region of S9 haplotype of *Brassica campestris* (syn. *rapa*). *Genetics* 153: 391-400
- [12] Foote H. C., Ride J. P., Franklin-Tong V. E., Walker E. A., Lawrence M. J., Franklin F. C. (1994). Cloning and expression of a distinctive class of self-incompatibility (S) gene from *Papaver rhoesas* L. *Proc. Natl. Acad. Sci. USA* 91: 2265-9
- [13] Franklin-Tong V. E., Holdway-Clarke T. L., Straatman K. R., Kunkel J. G., Hepler P. K. (2002). Involvement of extracellular calcium influx in the self-incompatibility response of *Papaver rhoesas*. *Plant Journal* 29: 333-345
- [14] Geitmann A., Snowman B. N., Emons A. M. C., Franklin-Tong V. E. (2000). Alterations in the actin cytoskeleton of pollen tubes are induced by the self-incompatibility reaction in *Papaver rhoesas*. *Plant Cell* 12: 1239-52
- [15] Thomas S. G. and Franklin-Tong V. E. (2004). Self-incompatibility triggers programmed cell death in *Papaver* pollen. *Nature* 429: 305-9
- [16] Bredemeijer G. M. M., Blaas J. (1981). S-specific proteins in styles of self-incompatible *Nicotiana alata*. *Theor. Appl. Genet.* 59: 185-190
- [17] Anderson M. A., Cornish E. C., Mau S.-L., Williams E. G., Hoggart R., Atkinson A., Bonig I., Grego B., Simpson R., Roche P. J., Haley J. D., Penschow J. D., Niall H. D., Tregebar G. W., Coglan J. P., Crawford R. J., Clarke A. E. (1986). Cloning of cDNA for a stylar glycoprotein associated with expression of self-incompatibility in *Nicotiana alata*. *Nature* 321: 38 - 44
- [18] McClure B. A., Haring V., Ebert P. R., Anderson M. A., Simpson R. J., Sakiyama F. Clarke A. E. (1989). Style self-incompatibility gene products of *Nicotiana alata* are ribonucleases. *Nature* 342: 955 - 957
- [19] Lee H. S., Huang S., Kao T. H. (1994). S proteins control rejection of incompatible pollen in *Petunia inflata*. *Nature* 367: 560-63

BIBLIOGRAFIA

- [20] Murfett J., Atherton T.L., Mou B., Gasser C.S., McClure B.A. (1994). S-RNase expressed in transgenic Nicotiana causes S-allele-specific pollen rejection. *Nature* 367: 563-66
- [21] Karunanananda B., Huang S., Kao T. H. (1994). Carbohydrate moiety of the *Petunia inflata* S₃ protein is not required for self-incompatibility interactions between pollen and pistil. *Plant Cell.* 6: 1933-1940
- [22] McCubbin A.G., Kao T. H. (2000). Molecular recognition and response in pollen and pistil interactions. *Annu. Rev. Cell. Dev. Biol.* 16: 333-64
- [23] Vieira C. P., Charlesworth D. (2002). Molecular variation at the self-incompatibility locus in natural populations of the genera *Antirrhinum* and *Misopates*. *Heredity* 88: 172-81
- [24] Ida K., Norioka S., Yamamoto M., Kumazaka T., Yamashita E., Newbiggin E., Clarke A. E., Sakiyama F., Sato M. (2001). The 1.55 Å resolution structure of *Nicotiana alata* SF11-RNase associated with gametophytic self-incompatibility. *J. Mol. Biol.* 314:103-12
- [25] Matsuura T., Sakai H., Unno M., Ida K., Sato M., Sakiyama F., Norioka S. (2001). Crystal structure at 1.5 Å resolution of *Pyrus pyrifolia* pistil ribonuclease responsible for gametophytic self-incompatibility. *J. Biol. Chem.* 276: 45261-69
- [26] Sassa H., Nishio T., Kowyama Y., Hirano H., Koba T., Ikehashi H. (1996). Self-incompatibility (S) alleles of the Rosaceae encode members of a distinct class of the T2/S ribonuclease superfamily. *Mol. Gen. Genet.* 250: 547-557
- [27] Zisovich A. H., Stern R. A., Sapir G., Shafir S., Goldway M. (2004). The RHV region of S-RNase in the European pear (*Pyrus communis*) is not required for the determination of specific pollen rejection. *Sex. Plant Reprod.* 17: 151-156
- [28] Sassa H., Hirano H., Ikehashi H. (1992). Self-Incompatibility-related RNases in styles of Japanese pear (*Pyrus serotina* Rehd.) *Plant and Cell Physiology* 33: 811-814
- [29] Zuccherelli S., Tassinari P., Broothaerts W., Tartarini S., Dondini L., Sansavini S. (2002). S-allele characterization in self-incompatible pear (*Pyrus communis* L.). *Sex. Plant Reprod.* 15: 153-158

BIBLIOGRAFIA

- [30] Zisovich A. H., Stern R. A., Shafir S., Goldway M. (2004) Identification of seven S-alleles from the European pear (*Pyrus communis*) and the determination of compatibility among cultivars. *J. Hort. Sci. Biot.* 80: 143-146
- [31] Takasaki T., Moriya Y., Okada K., Yamamoto K., Iwanami H., Bessho H., Nakanishi T. (2006). cDNA cloning of nine S alleles and establishment of a PCR-RFLP system for genotyping European pear cultivars. *Theor. Appl. Genet.* 112: 1543-52
- [32] Sanzol J., Sutherland B. G., Robbins T. P. (2006). Identification and characterization of genomic DNA sequences of the S-ribonuclease gene associated with self-incompatibility alleles S₁ to S₅ in European pear. *Plant Breed.* 125: 513-518
- [33] Sanzol J., Robbins T. P. (2008). Combined analysis of s alleles in European pear by fertilisation efficiency of pollinations and PCR based S-genotyping: correlation between S phenotypes and S-RNase genotype. *J. Amer. Soc. Hort. Sci.* 133: 213-224
- [34] Sanzol J., Herrero M. (2002). Identification of self-incompatibility alleles in pear cultivars (*Pyrus communis* L.). *Euphytica* 128: 325-331
- [35] Goldway M., Takasaki T., Sanzol J., Mota M., Zisovich A. H., Stern R. A., Sansavini S. (2008). Renumbering the S-RNase alleles of European pears (*Pyrus communis* L.) and cloning the S₁₀₉ RNase allele. *Sci. Hortic.*, in press
- [36] Dowd P. E., McCubbin A. G., Wang X., Verica J. A., Tsukamoto T., Ando T., Kao T. H. (2000). Use of *Petunia* as a model for the study of solanaceous type self-incompatibility. *Ann. Bot. Suppl. A* 85: 87-93
- [37] Li J. H., Nass N., Kusaba M., Dodds P. N., Treloar N., Clarke A. E., Newbigin E. (2000). A genetic map of the *Nicotiana alata* S locus that includes three pollen-expressed genes. *Theor. Appl. Genet.* 100: 956-964
- [38] McCubbin A. G., Wang X., Kao T. H. (2000). Identification of self-incompatibility (S-) locus linked pollen cDNA markers in *Petunia inflata*. *Genome* 43: 619-627
- [39] Entani T., Iwano M., Shiba H., Takayama S., Fukui K., Isogai A. (1999). Centromeric localization of an S-RNase gene in *Petunia hybrida* Vilm. *Theor. Appl. Genet.* 99: 391-397

BIBLIOGRAFIA

- [40] Kao T. H., Tsukamoto T. (2004). The molecular and genetic bases of S-RNase-based self-incompatibility. *Plant Cell* 16 Suppl: S72-83
- [41] Lai Z., Ma W., Han B., Liang L., Zhang Y., Hong G., Xue Y. (2002). An F-box gene linked to the self-incompatibility (S) locus of *Antirrhinum* is expressed specifically in pollen and tapetum. *Plant Mol. Biol.* 50: 29-42
- [42] Ushijima K., Sassa H., Dandekar A. M., Gradziel T. M., Tao R., Hirano H. (2003). Structural and transcriptional analysis of the self-incompatibility locus of almond: identification of a pollen-expressed F-box gene with haplotype-specific polymorphism. *Plant Cell* 15: 771-81
- [43] Entani T., Iwano M., Shiba H., Che F. S., Isogai A., Takayama S. (2003). Comparative analysis of the self-incompatibility (S-) locus region of *Prunus mume*: identification of a pollen-expressed F-box gene with allelic diversity. *Genes Cells* 8: 203-13
- [44] Ikeda K., Igic B., Ushijima K., Yamane H., Hauck N. R., Nakano R., Sassa H., Iezzoni A. F., Kohn J. R., Tao R. (2004). Primary structural features of the S haplotype-specific F-box protein, SFB, in *Prunus*. *Sex. Plant Reprod.* 16: 235-243
- [45] Sijacic P., Wang X., Skirpan A. L., Wang Y., Dowd P. E., McCubbin A. G., Huang S., Kao T. H. (2004). Identification of the pollen determinant of S-RNase-mediated self-incompatibility. *Nature* 429: 302-5
- [46] Entani T., Takayama S., Iwano M., Shiba H., Che F. S., Isogai A. (1999). Relationship between polyploidy and pollen self-incompatibility phenotype in *Petunia hybrida* Vilm. *Biosci. Biotechnol. Biochem.* 63: 1882-8
- [47] Ushijima K., Yamane H., Watari A., Kakehi E., Ikeda K., Hauck N. R., Iezzoni A. F., Tao R. (2004). The S haplotype-specific F-box protein gene, SFB, is defective in self-compatible haplotypes of *Prunus avium* and *P. mume*. *Plant J.* 39: 573-86
- [48] Sonneveld T., Tobutt K. R., Vaughan S. P., Robbins T. P. Loss of pollen-S function in two self-compatible selections of *Prunus avium* is associated with deletion/mutation of an S haplotype-specific F-box gene. *Plant Cell*. 17: 37-51
- [49] Hauck N. R., Ikeda K., Tao R., Iezzoni A. F. (2006). The mutated S1-haplotype in sour cherry has an altered S-haplotype-specific F-box protein gene. *J. Hered.* 97: 514-20

BIBLIOGRAFIA

- [50] Tsukamoto T., Hauck N. R., Tao R., Jiang N., Iezzoni A. F. (2006). Molecular characterization of three non-functional S-haplotypes in sour cherry (*Prunus cerasus*). *Plant Mol. Biol.* 62: 371-383
- [51] Cheng J., Han Z., Xu X., Li T. (2006). Isolation and identification of the pollen-expressed polymorphic F-box genes linked to the S-locus in apple (*Malus × domestica*). *Sex. Plant Reprod.* 19: 175-183
- [52] Sassa H., Kakui H., Miyamoto M., Suzuki Y., Hanada T., Ushijima K., Kusaba M., Hirano H., Koba T. (2007). S locus F-box brothers: multiple and pollen-specific F-box genes with S haplotype-specific polymorphisms in apple and Japanese pear. *Genetics* 175: 1869-81
- [53] Huang S., Lee H. S., Karunanananda B., Kao T. H. (1996) Ribonuclease activity of *Petunia inflata* S proteins is essential for rejection of self-pollen. *Plant Cell* 6: 1021-8
- [54] McClure B. A., Gray J. E., Anderson M. A., Clarke A. E. (1990). Self-incompatibility in *Nicotiana alata* involves degradation of pollen rRNA. *Nature* 347: 757-760
- [55] Thompson R., Kirch H. (1992). The S-locus of flowering plants: when self-rejection is self-interest. *Trends Genet.* 8: 381-387
- [56] Kao T. H., McCubbin A. G. (1996). How flowering plants discriminate between self and non-self pollen to prevent inbreeding. *Proc. Natl. Acad. Sci. USA.* 1996 93: 12059-65
- [57] Luu D. T., Qin X., Morse D., Cappadocia M. (2000). S-RNase uptake by compatible pollen tubes in gametophytic self-incompatibility. *Nature* 407: 649-51
- [58] Luu D. T., Qin X., Laublin G., Yang Q., Morse D., Cappadocia M. (2001). Rejection of S-heteroallelic pollen by a dual-specific S-RNase in *Solanum chacoense* predicts a multimeric SI pollen component. *Genetics* 159: 329-35
- [59] Hua Z., Meng X., Kao T. H. (2007). Comparison of *Petunia inflata* S-Locus F-box protein (Pi SLF) with Pi SLF like proteins reveals its unique function in S-RNase based self-incompatibility. *Plant Cell* 19: 3593-609
- [60] Cardozo T., Pagano M. (2004). The SCF ubiquitin ligase: insights into a molecular machine. *Nat. Rev. Mol. Cell. Biol.* 5: 739-51

BIBLIOGRAFIA

- [61] Moon J., Parry G., Estelle M. (2004). The ubiquitin-proteasome pathway and plant development. *Plant Cell* 16: 3181-95
- [62] Smalle J., Vierstra R. D. (2004). The ubiquitin 26S proteasome proteolytic pathway. *Annu. Rev. Plant. Biol.* 55: 555-90
- [63] Qiao H., Wang H., Zhao L., Zhou J., Huang J., Zhang Y., Xue Y. (2004). The F-box protein AhSLF-S2 physically interacts with S-RNases that may be inhibited by the ubiquitin/26S proteasome pathway of protein degradation during compatible pollination in *Antirrhinum*. *Plant Cell*. 16: 582-95
- [64] Huang J., Zhao L., Yang Q., Xue Y. (2006). AhSSK1, a novel SKP1-like protein that interacts with the S-locus F-box protein SLF. *Plant J.* 46: 780-93
- [65] Hua Z., Kao T. H. (2006). Identification and characterization of components of a putative *Petunia* S-locus F-box-containing E3 ligase complex involved in S-RNase-based self-incompatibility. *Plant Cell* 18: 2531-53
- [66] Hua Z., Kao T. H. (2008). Identification of major lysine residues of S₃-RNase of *Petunia inflata* involved in ubiquitin-26S proteasome-mediated degradation in vitro. *Plant J.* 54: 1094-1104
- [67] Hua Z., Fields A., Kao T.H. (2008). Biochemical models for S-RNase-based self-incompatibility. *Mol. Plant* 1: 575-585
- [68] Goldraij A., Kondo K., Lee C. B., Ha[cock C. N., Sivaguru M., Vazquez-Santana S., Kim S., Phillips T. E., Cruz-Garcia F., McClure B. A. (2006). Compartmentalization of S-RNase and HT-B degradation in self-incompatible *Nicotiana*. *Nature* 439: 805-10
- [69] Olden E. J., Nybom N. (1968). On the origin of *Prunus cerasus* L. *Hereditas* 59: 327-45
- [70] Huang S. X., Wu H. Q., Li Y. R., Wu J., Zhang S. J., Heng W., Zhang S. L. (2008). Competitive interaction between two functional S-haplotypes confer self-compatibility on tetraploid Chinese cherry (*Prunus pseudocerasus* Lindl. CV. Nanjing Chuisi). *Plant Cell Rep.* 27: 1075-85
- [71] Newbigin E., Anderson M. A., Clarke A. E. (1993). Gametophytic self-incompatibility systems. *Plant Cell* 5: 1315-24

BIBLIOGRAFIA

- [72] Anderson M. A., McFadden G. I., Bernatzky R., Atkinson A., Orpin T., Dedman H., Tregear G., Fernley R., Clarke A. E. (1989). Sequence variability of three alleles of the self-incompatibility gene of *Nicotiana alata*. Plant Cell 1: 483-91
- [73] Ai Y. J., Kron E., Kao T. H. (1991). S-alleles are retained and expressed in a self-compatible cultivar of *Petunia hybrida*. Mol. Gen. Genet. 230: 353-358
- [74] Bernatzky R., Glaven R. H., Rivers B. A. (1995). S-related protein can be recombined with self-compatibility in interspecific derivatives of *Lycopersicon*. Biochem. Genet. 33: 215-25
- [75] Tsukamoto T., Ando T., Kokubun H., Watanabe H., Sato T., Masada M., Marchesi E., Kao T. H. (2003). Breakdown of self-incompatibility in a natural population of *Petunia axillaris* caused by a modifier locus that suppresses the expression of an S-RNase gene. Sex. Plant Reprod. 15: 255-63
- [76] McClure B. A., Cruz-Garcia F., Beecher B. S., Sulaman W. (2000). Factors affecting inter- and intra-specific pollen rejection in *Nicotiana*. Ann. Bot. 85: 113-23
- [77] McClure B. A., Canevascini S., Bernatzky R. (1999). A small asparagine-rich protein required for S-allele-specific pollen rejection in *Nicotiana*. Proc. Natl. Acad. Sci. USA. 96: 13548-53
- [78] O'Brien M., Kapfer C., Major G., Laurin M., Bertrand C., Kondo K., Kowyama Y., Matton D. P. (2002). Molecular analysis of the stylar-expressed *Solanum chacoense* small asparagine-rich protein family related to the HT modifier of gametophytic self-incompatibility in *Nicotiana*. Plant J. 32: 985-96
- [79] Hancock C. N., Kent L., McClure B. A. (2005). The stylar 120 kDa glycoprotein is required for S-specific pollen rejection in *Nicotiana*. Plant J. 43: 716-23
- [80] Liu Z. Q., Xu G. H., Zhang S. L. (2007). *Pyrus pyrifolia* stylar S-RNase induces alterations in the actin cytoskeleton in self-pollen and tubes in vitro. Protoplasma 232: 61-67
- [81] Tirlapur U. K., Cai G., Faleri C., Moscatelli A., Scali M., Del Casino C., Tiezzi A., Cresti M. (1995). Confocal imaging and immunogold electron microscopy of changes in distribution of myosin during pollen hydration, germination and pollen tube growth in *Nicotiana tabacum* L. Eur. J. Cell Biol. 67: 209-17

BIBLIOGRAFIA

- [82] Hepler P. K., Vidali L., Cheung A. Y. (2001). Polarized cell growth in higher plants. *Annu. Rev. Cell. Dev. Biol.* 17: 159-187
- [83] Vidali L., McKenna S. T., Hepler P. K. (2001). Actin polymerization is necessary for pollen tube growth. *Mol. Biol. Cell.* 12: 2534-45
- [84] Janmey P. A. (1998). The cytoskeleton and cell signaling: component localization and mechanical coupling. *Physiol. Rev.* 78: 763-81
- [85] Morley S. C., Sun G. P., Bierer B. E. (2003). Inhibition of actin polymerization enhances commitment to and execution of apoptosis induced by withdrawal of trophic support. *J. Cell. Biochem.* 88: 1066-76
- [86] Thomas S. G., Huang S., Li S., Staiger C. J., Franklin-Tong V.E. (2006). Actin depolymerization is sufficient to induce programmed cell death in self-incompatible pollen. *J. Cell Biol.* 174: 221-29
- [87] Wang C. L., Xu G. H., Jiang X. T., Chen G., Jun W., Wu J., Wu H. Q., Zhang S. L. (2009). S-RNase triggers mitochondrial alteration and DNA degradation in the incompatible pollen tube of *Pyrus pyrifolia* *in vitro*. *Plant J.* 57: 220-229
- [88] Del Duca S., Serafini-Fracassini D. (2005). Transglutaminases of higher, lower plants and fungi. In Metha K., Eckert R. (eds): *Transglutaminases*. Prog. Exp. Tum. Res. Basel, Karger, 38: 223-247
- [89] Serafini-Fracassini D., Del Duca S. (2008). Transglutaminases: widespread cross-linking enzymes in plants. *Ann. Bot.* 102: 145-52
- [90] Mukherjee B. B., Nemir M., Beninati S., Cordella-Miele E., Singh K., Chackala-parampil I., Shanmugam V., DeVouge M. W., Mukherjee A. B. (1995). Interaction of osteopontin with fibronectin and other extracellular matrix molecules. *Ann. N. Y. Acad. Sci.* 760: 201-12
- [91] Lentini A., Abbruzzese A., Caraglia M., Marra M., Beninati S. (2004). Protein-polyamine conjugation by transglutaminase in cancer cell differentiation. *Amino Acids* 26: 331-37
- [92] Del Duca S., Bregoli A. M., Bergamini C., Serafini-Fracassini D. (1997). Transglutaminase catalyzed modification of cytoskeletal proteins by polyamines during the germination of *Malus domestica* pollen. *Sex. Plant Reprod.* 10: 89-95

BIBLIOGRAFIA

- [93] Fesus L., Madi A., Balajthy Z., Nemes Z., Szondy Z. (1996). Transglutaminase induction by various cell death and apoptosis pathways. *Experientia*. 52: 942-49
- [94] Autuori F., Farrace M. G., Oliverio S., Piredda L., Piacentini M. (1998). "Tissue" transglutaminase and apoptosis. *Adv. Biochem. Eng. Biotechnol.* 62: 129-36
- [95] Della Mea M., Serafini-Fracassini D., Del Duca S. (2007). Programmed cell death: similarities and differences in animals and plants. A flower paradigm. *Amino Acids* 33: 395-404
- [96] Piredda L., Farrace M. G., Lo Bello M., Malorni W., Melino G., Petruzzelli R., Piacentini M. (1999). Identification of 'tissue' transglutaminase binding proteins in neural cells committed to apoptosis. *FASEB J.* 13: 355-64
- [97] Di Sandro A, Serafini-Fracassini D., Del Duca S., Faleri C., Cai G., De Franceschi P., Dondini L., Sansavini S. (2008). Pollen transglutaminase in pear self incompatibility and relationships with S-RNases and S-Allele variability. *Acta Horticulturae* 800: 423-430
- [98] Goldway M., Shai O., Yehuda H., Matityahu A., Stern R. A. (1999). 'Jonathan' apple is a lower-potency pollenizer of 'Topred' than 'Golden Delicious' due to partial S-allele incompatibility. *J. Hortic. Sci. Biotechnol.* 74: 381-85
- [99] Yamane H., Ikeda K., Hauck N. R., Iezzoni A. F., Tao R. (2003.) Self-incompatibility (S) locus region of the mutated S₆-haplotypes of sour cherry (*Prunus cerasus*) contains a functional pollen S-allele and a non-functional pistil S-allele. *J. Exp. Bot.* 54: 2431-34
- [100] Bošković R., Tobutt K. R., Duval H., Batlle I., Dicenta F., Vargas F. J. (1999). A stylar ribonuclease assay to detect self-compatible seedlings, on almond progenies. *Theor. Appl. Genet.* 99: 800-810
- [101] Watari A., Hanada T., Yamane H., Esumi T., Tao R., Yaegaki H., Yamaguchi M., Beppu K., Kataoka I. (2007). A low transcriptional level of S_e-RNase in the S_e-haplotype confers self-compatibility in Japanese plum. *J. Am. Soc. Hortic. Sci.* 132: 396-406
- [102] Wünsch A., Hormaza J. I. (2004). Genetic and molecular analysis in Cristobalina sweet cherry, a spontaneous self-compatible mutant. *Sex. Plant Reprod.* 17:203-210

BIBLIOGRAFIA

- [103] Norioka N., Norioka S., Ohnishi Y., Ishimizu T., Oneyama C., Nakanishi T., Sakiyama F. (1996). Molecular cloning and nucleotide sequences of cDNAs encoding S-allele specific stylar RNases in a self-incompatible cultivar and its self-compatible mutant of Japanese pear, *Pyrus pyrifolia* Nakai. J. Biochem. 120: 335-45
- [104] Sassa H., Hirano H., Nishio T., Koba T. (1997). Style-specific self-compatible mutation caused by deletion of the S-RNase gene in Japanese pear (*Pyrus serotina*). Plant J. 12: 223-27
- [105] Okada K., Tonaka N., Moriya Y., Norioka N., Sawamura Y., Matsumoto T., Nakanishi T., Takasaki-Yasuda T. (2008). Deletion of a 236 kb region around S₄-RNase in a stylar-part mutant S₄sm-haplotype of Japanese pear. Plant Mol. Biol. 66: 389-400
- [106] Matsumoto S., Komori S., Kitahara K., Imazu S., Soejima J. (1999). S-genotypes of 15 apple cultivars and self-compatibility of 'Megumi'. J. Jpn. Soc. Hortic. Sci. 68: 236-41
- [107] Sanzol J. (2009). Pistil-function breakdown in a new S-allele of European pear, S₂₁, confers self-compatibility. Plant Cell Rep., in press.
- [108] Witte C. P., Le Q. H., Bureau T., Kumar A. (2001). Terminal-repeat retrotransposons in miniature (TRIM) are involved in restructuring plant genomes. Proc. Natl. Acad. Sci. USA 98: 13778-83
- [109] Broothaerts W., Keulemans J., Van Nerum I. (2004). Self-fertile apple resulting from S-RNase gene silencing. Plant Cell Rep. 22: 497-501
- [110] Brodersen P., Voinnet O. (2006). The diversity of RNA silencing pathways in plants. Trends Genet. 22: 268-80
- [111] Eamens A., Wang M. B., Smith N. A., Waterhouse P. M. (2008). RNA silencing in plants: yesterday, today, and tomorrow. Plant Physiol. 147: 456-68
- [112] Steinbachs J. E., Holsinger K. E. (2002). S-RNase-mediated gametophytic self-incompatibility is ancestral in eudicots. Mol. Biol. Evol. 19: 825-9
- [113] Lawrence M. J. (2000). Population genetics of the homomorphic self-incompatibility polymorphisms in flowering plants. Ann. Bot. 85: 221-226

BIBLIOGRAFIA

- [114] Takahata N. (1990). A simple genealogical structure of strongly balanced allelic lines and trans-species evolution of polymorphism. Proc. Natl. Acad. Sci. USA. 87: 2419-23
- [115] Vekemans X., Slatkin M. (1994). Gene and allelic genealogies at a gametophytic self-incompatibility locus. Genetics 137: 1157-65
- [116] Richman A. D., Uyenoyama M. K., Kohn J. R. (1996) Allelic diversity and gene genealogy at the self-incompatibility locus in the Solanaceae. Science 273: 1212-6
- [117] Ioerger T. R., Clark A. G., Kao T. H. (1990). Polymorphism at the self-incompatibility locus in Solanaceae predates speciation. Proc. Natl. Acad. Sci. USA. 87: 9732-5
- [118] Ioerger T. R., Gohlke J. R., Xu B., Kao T. H. (1991). Primary structural features of the self-incompatibility protein in Solanaceae. Sex. Plant Reprod. 4: 81-87
- [119] Ishimizu T., Endo T., Yamaguchi-Kabata Y., Nakamura K. T., Sakiyama F., Norioka S. (1998). Identification of regions in which positive selection may operate in S-RNase of Rosaceae: implication for S-allele-specific recognition sites in S-RNase. FEBS Lett. 440: 337-342
- [120] Takebayashi N., Brewer P. B., Newbigin E., Uyenoyama M. K. (2003). Patterns of variation within self-incompatibility loci. Mol. Biol. Evol. 20: 1778-1794
- [121] Igic B., Smith W. A., Robertson K. A., Schaal B. A., Kohn J. R. (2007). Studies of self-incompatibility in wild tomatoes: I. S-allele diversity in *Solanum chilense* (Dun.) Reiche (Solanaceae). Heredity 99: 553-561
- [122] Vieira J., Morales-Hojas R., Santos R. A. M., Vieira C. P. (2007). Different positively selected sites at the gametophytic self-incompatibility pistil S-RNase gene in the Solanaceae and Rosaceae (*Prunus*, *Pyrus*, and *Malus*). J. Mol. Evol. 65: 175-185
- [123] Uyenoyama M. K., Newbigin E. (2000). Evolutionary dynamics of dual-specificity self-incompatibility alleles. Plant Cell 12: 310-12
- [124] Uyenoyama M. K., Zhang Y, Newbigin E. (2001). On the origin of self-incompatibility haplotypes: transition through self-compatible intermediates. Genetics 157: 1805-17

BIBLIOGRAFIA

- [125] Newbigin E., Uyenoyama M. K. (2005). The evolutionary dynamics of self-incompatibility systems. *Trends Genet.* 21: 500-5
- [126] Charlesworth D., Vekemans X., Castric V., Glémin S. (2005). Plant self-incompatibility systems: a molecular evolutionary perspective. *New Phytol.* 168: 61-69
- [127] Kakui H., Tsuzuki T., Koba T., Sassa H. (2007). Polymorphism of SFBB-gamma and its use for S genotyping in Japanese pear (*Pyrus pyrifolia*). *Plant Cell Rep.* 26: 1619-25
- [128] Pierantoni L., Cho K. H., Shin I. S., Chiodini R., Tartarini S., Dondini L., Kang S. J., Sansavini S. (2004). Characterisation and transferability of apple SSRs to two European pear F1 populations. *Theor. Appl. Genet.* 109: 1519-24
- [129] Dondini L., Pierantoni L., Gaiotti F., Chiodini R., Tartarini S., Bazzi C., Sansavini S. (2004). Identifying QTLs for fire-blight resistance via a European pear (*Pyrus communis* L.) genetic linkage map. *Mol. Breed.* 14: 407-18
- [130] Pierantoni L., Dondini L., Cho K.-H., Shin I.-S., Gennari F., Chiodini R., Tartarini S., Kang S.-J., Sansavini S. (2007). Pear scab resistance QTLs via a European pear (*Pyrus communis*) linkage map. *Tree Genetics and Genomes* 4: 311-317
- [131] Dondini L., Pierantoni L., Ancarani V., D'Angelo M., Cho K.-H., Shin I.-S., Musacchi S., Kang, S.-J. Sansavini S. (2008). The inheritance of the red colour character in European pear (*Pyrus communis* L.) and its map position in the mutated cultivar 'Max Red Bartlett'. *Plant Breeding* 127: 524-526
- [132] Bachem C. W. B., Oomen R. J. F. J., Visser R. G. F. (1998). Transcript imaging with cDNA-AFLP: a step-by-step protocol. *Plant Molecular Biology Reports* 16: 157-173
- [133] Breyne P., Zabeau M. (2001). Genome-wide expression analysis of plant cell cycle modulated genes. *Curr. Opin. Plant Biol.* 4: 136-42
- [134] Donson J., Fang Y., Espiritu-Santo G., Xing W., Salazar A., Miyamoto S., Armendarez V., Volkmuth W. (2002). Comprehensive gene expression analysis by transcript profiling. *Plant Mol. Biol.* 48: 75-97
- [135] Della Mea M., Caparrós-Ruiz D., Claparols I., Serafini-Fracassini D., Rigau J. (2004). AtPng1p. The first plant transglutaminase. *Plant Physiol.* 135: 2046-54

BIBLIOGRAFIA

- [136] Rozen S., Skaletsky H. (2000) Primer3 on the WWW for general users and for biologist programmers. In: Krawetz S, Misener S (eds) Bioinformatics Methods and Protocols: Methods in Molecular Biology. Humana Press, Totowa, NJ, pp 365-386
- [137] Zamboni A., Pierantoni L., De Franceschi P. (2008). Total RNA extraction from strawberry tree (*Arbutus unedo*) and several other woody-plants. iForest 1: 122-125
- [138] Vos P., Hogers R., Bleeker M., Reijans M., van de Lee T., Hornes M., Frijters A., Pot J., Peleman J., Kuiper M. (1995). AFLP: a new technique for DNA fingerprinting. Nucleic Acids Res. 23: 4407-14
- [139] Vuylsteke M., Mank R., Antonise R., Bastiaans E., Senior M. L., Stuber C. W., Melchinger A. E., Lübbertedt T., Xia X. C., Stam P., Zabeau M., Kuiper M. (1999). Two high-density AFLP linkage maps of *Zea mays* L.: analysis of distribution of AFLP markers. Theor. Appl. Genet. 99: 921-35
- [140] Larkin M. A., Blackshields G., Brown N. P., Chenna R., McGgettigan P. A., McWilliam H., Valentin F., Wallace I. M., Wilm A., Lopez R., Thompson J. D., Gibson T. J., Higgins D. G. (2007). Clustal W and Clustal X version 2.0. Bioinformatics 23: 2947-48
- [141] Altschul S. F., Madden T. L., Schaffer A. A., Zhang J., Zhang Z., Miller W., Lipman D.J. (1997). Gapped BLAST and PSI-BLAST: a new generation of protein database search programs. Nucleic Acids Research 25: 3389-3402
- [142] Mackey A. J., Haystead T. A., Pearson W. R. (2002). Getting more from less: algorithms for rapid protein identification with multiple short peptide sequences. Molecular and Cellular Proteomics 1: 139-147
- [143] Tamura K., Dudley J., Nei M., Kumar S. (2007). MEGA4: Molecular Evolutionary Genetics Analysis (MEGA) software version 4.0. Mol. Biol. Evol. 24: 1596-9
- [144] Van Ooijen J. W., Voorrips R. W. (2002). Joinmap 3.0, Software for the calculation of genetic linkage maps. Plant Research International, Wageningen, The Netherlands.
- [145] Voorrips RE (2002) MapChart: Software for the graphical presentation of linkage maps and QTLs. J. Hered. 93: 77-78

BIBLIOGRAFIA

- [146] Maliepaard C., Alston F. H., Van Arkel G., Brown L. M., Chevreau E., Duneemann F., Evans K. M., Gardiner S., Guilford P., Van Heusden A. W., Janse J., Laurens F., Lynn J. R., Manganaris A. G., Den Nijs A. P. M., Periam N., Rikkerink E., Roche P., Ryder C., Sansavini S., Schmidt H., Tartarini S., Verhaegh J. J., Ginkel M. Vrielink-Van, King G. J. (1998). Aligning male and female linkage maps of apple (*Malus pumila* Mill.) using multi-allelic markers. *Theor. Appl. Genet.* 97: 60-73
- [147] Yamamoto T., Kimura T., Shoda M., Imai T., Saito T., Sawamura Y., Kotobuki K., Hayashi T., Matsuta N. (2002). Genetic linkage maps constructed by using an interspecific cross between Japanese and European pears. *Theor. Appl. Genet.* 106: 9-18
- [148] Liebhard R., Gianfranceschi L., Koller B., Ryder C. D., Tarchini R., Van De Weg E., Gessler C. (2002). Development and characterization of 140 new microsatellites in apple (*Malus × domestica* Borkh.). *Mol. Breed.* 10: 217-241
- [149] Liebhard R., Koller B., Gianfranceschi L., Gessler C. (2003). Creating a saturated reference map for the apple (*Malus × domestica* Borkh.) genome. *Theor Appl Genet* 106:1497–1508
- [150] Silfverberg-Dilworth E., Matasci C. L., Van de Weg W. E., Van Kaauwen M. P. W., Walser M., Kodde L. P., Soglio V., Gianfranceschi L., Durel C. E., Costa F., Yamamoto T., Koller B., Gessler C., Patocchi A. (2006). Microsatellite markers spanning the apple (*Malus × domestica* Borkh) genome. *Tree Genetics Genomes* 2: 202-224
- [151] Wang Y., Tsukamoto T., Yi K. W., Wang X., Huang S., McCubbin A. G., Kao T. H. (2004). Chromosome walking in the *Petunia inflata* self-incompatibility (S-) locus and gene identification in an 881-kb contig containing S₂-RNase. *Plant Mol. Biol.* 54: 727-42
- [152] Herrero M., Dickinson H. G. (1981). Pollen tube development in *Petunia hybrida* following compatible and incompatible intraspecific matings. *Journal of Cell Science* 47: 365-383
- [153] Dumas C., Knox R. B. (1983). Callose and determination of pistil viability and incompatibility. *Theor. Appl. Genet.* 67: 1-10
- [154] Lush W. M., A. E. Clarke (1997). Observations of pollen tube growth in *Nicotiana alata* and their implications for the mechanism of self-incompatibility.

BIBLIOGRAFIA

Sex. Plant. Reprod. 10: 27-35

- [155] Kim J., Mayfield S. P. (1997). Protein disulfide isomerase as a regulator of chloroplast translational activation. *Science* 278, 1954-1957
- [156] Houston N. L., Fan C., Xiang Q. Y., Schulze J. M., Jung R., Boston R. S. (2005). Phylogenetic analyses identify 10 classes of the protein disulfide isomerase family in plants, including single-domain protein disulfide isomerase-related proteins. *Plant Physiol.* 137: 762-778
- [157] Litterer L. A., Schnurr J. A., Plaisance K. L., Storey K. K., Gronwald J. W., Somers D. A. (2006). Characterization and expression of *Arabidopsis* UDP-sugar pyrophosphorylase. *Plant Physiology and Biochemistry* 44: 171-180
- [158] Schnurr J. A., Storey K. K., Jung H. J. G., Somers D. A., Gronwald J. W. (2006). UDP-sugar pyrophosphorylase is essential for pollen development in *Arabidopsis*. *Planta* 224: 520-532
- [159] Small I. D., Peeters N. (2000). The PPR motif - a TPR-related motif prevalent in plant organellar proteins. *Trends in Biochemical Sciences* 25: 45-47
- [160] Lusser A., Kölle D., Loidl P. (2001). Histone acetylation: lessons from the plant kingdom. *Trends in Plant Science* 6: 59-65
- [161] Harper A. D., Bar-Peled M. (2002). Biosynthesis of UDP-xylose. Cloning and characterization of a novel *Arabidopsis* gene family, UXS, encoding soluble and putative membrane-bound UDP-glucuronic acid decarboxylase isoforms. *Plant Physiol.* 130, 2188-2198
- [162] Zheng L., Poulton J.E. (1995). Temporal and spatial expression of amygdalin hydrolase and (R)-(+)-mandelonitrile lyase in black cherry seeds. *Plant Physiol.* 109: 31-9
- [163] Sanabria N., Goring D., Nürnberg T., Dubery I. (2008). Self/nonself perception and recognition mechanisms in plants: a comparison of self-incompatibility and innate immunity. *New Phytol.* 178: 503-14
- [164] Campalans A., Pagès M., Messeguer R. (2001). Identification of differentially expressed genes by the cDNA-AFLP technique during dehydration of almond (*Prunus amygdalus*). *Tree Physiol.* 21: 633-43

BIBLIOGRAFIA

- [165] Zamboni A., Dondini L., Tonon G. (2005) cDNA-AFLP study of gene expression during somatic embryogenesis in *Fraxinus angustifolia* Vhal. J. Hortic. Sci. Biotech. 80: 240-244
- [166] Grimplet J., Romieu C., Audergon J. M., Marty I., Albagnac G., Lambert P., Bouchet J. P., Terrier N. (2005). Transcriptomic study of apricot fruit (*Prunus armeniaca*) ripening among 13,006 expressed sequence tags. Physiol. Plant. 125: 281-292
- [167] Yao Y. X., Li M., Liu Z., Hao Y. J., Zhai H. (2007). A novel gene, screened by cDNA-AFLP approach, contributes to lowering the acidity of fruit in apple. Plant Physiol. Biochem. 45: 139-45
- [168] Polesani M., Desario F., Ferrarini A., Zamboni A., Pezzotti M., Kortekamp A., Polverari A. (2008). cDNA-AFLP analysis of plant and pathogen genes expressed in grapevine infected with *Plasmopara viticola*. BMC Genomics 2008, 9: 142
- [169] Liang P., Pardee A. B. (1992): Differential display of eukaryotic messenger RNA by means of the polymerase chain reaction. Science 257: 967-971